

**Distribuidor Autorizado:**



**Rolamentos CBF Ltda.**  
Tel +55 11 3824-6400  
E-mail: vendas@cbfcorp.com.br  
[www.rolamentoscbf.com.br](http://www.rolamentoscbf.com.br)

## **ÍNDICE DO CATÁLOGO DE ROLAMENTOS DE ROLOS CILÍNDRICOS**

|  |   |
|--|---|
| VISÃO GERAL DA TIMKEN .....                          | 2 |
| POLÍTICA DE TEMPO DE ESTOQUE .....                   | 6 |
| INTRODUÇÃO AOS ROLAMENTOS DE ROLOS CILÍNDRICOS ..... | 8 |

### **ENGENHARIA**

|  |    |
|--|----|
| Tipos de rolamento e porta-rolos .....                 | 10 |
| Tolerâncias no sistema métrico .....                   | 13 |
| Normas de montagem, ajuste, encaixe e instalação ..... | 16 |
| Ajustes do eixo e do mancal .....                      | 22 |
| Temperaturas operacionais.....                         | 40 |
| Geração e dissipação de calor .....                    | 43 |
| Torque .....   | 44 |
| Lubrificação .....                                     | 45 |

### **ROLAMENTOS DE ROLOS CILÍNDRICOS**

|  |     |
|--|-----|
| Introdução.....                        | 55  |
| Nomenclatura.....                      | 56  |
| Série métrica ISO de uma carreira..... | 58  |
| Série padrão de uma carreira .....     | 72  |
| Complemento total (NCF) .....          | 74  |
| Duas carreiras .....                   | 76  |
| Quatro carreiras.....                  | 82  |
| Série HJ .....                         | 96  |
| Anéis internos.....                    | 100 |
| Série métrica 5200, A5200 .....        | 102 |





## **TIMKEN. PRESENTE EM TODO MOVIMENTO.**

Recorra à Timken para ultrapassar os concorrentes e destacar-se como líder no seu setor.

Quando você conta com a Timken recebe mais do que produtos e serviços de alta qualidade; você tem acesso a uma equipe mundial de colaboradores altamente treinados e experientes, prontos para ajudá-lo a maximizar a produtividade da sua empresa e o reduzir o tempo de parada.

Seja com um conjunto de rolamento de rodas para veículos leves ou rolamentos preparados para um equipamento de perfuração de petróleo em águas profundas, serviços de reparos para rolamentos ferroviários ou aço para o eixo de um motor de aeronave, nós fornecemos produtos e serviços que ajudam a manter o mundo em movimento.

## **SOLUÇÕES PARA O GERENCIAMENTO DO ATRITO – UMA ABORDAGEM GLOBAL DO SISTEMA**

Seu setor está sujeito a constantes mudanças, da evolução dos sistemas avançados de controle de movimento às demandas dos seus clientes. Recorra à Timken para permanecer à frente das tendências.

Usamos o nosso know-how em gerenciamento do atrito para oferecer soluções que maximizam o desempenho, a economia de combustível e a vida útil do equipamento. Também oferecemos serviços integrados que vão muito além de rolamentos, incluindo sistemas e serviços para monitoramento de condição, codificadores e sensores, vedações, lubrificantes premium e lubrificadores.

A grande variedade de soluções para gerenciamento do atrito da Timken pode incluir avaliações de todo o seu sistema, não apenas componentes individuais. Isso oferece soluções econômicas ajudando a alcançar objetivos específicos da aplicação. Trabalhando juntos, ajudamos você a atender a essas demandas e garantir que todos os seus sistemas funcionem suavemente.

## TECNOLOGIA QUE MOVE O MUNDO

Inovação é um dos nossos valores principais. Somos conhecidos pela nossa capacidade de resolver desafios de engenharia.

Nosso foco é a melhoria de desempenho nas aplicações mais difíceis e nossa paixão é criar soluções e serviços técnicos que ajudam o seu equipamento a funcionar de forma mais rápida, robusta, regular e eficiente.

Para fazer isso, investimos em:

- **Pessoas**, atraindo e contratando estudantes de engenharia, engenheiros e especialistas de todo o mundo que sejam da área de transmissão de potência mecânica, desenhos de rolamentos, tribologia, metalurgia, produção de aço limpo, manufatura de precisão, metrologia e tecnologia de acabamento superficial e revestimentos.
- **Ferramentas**, incluindo laboratórios, computadores e equipamentos de produção de última geração.
- **Futuro**, identificando novos conceitos que façam de você um destaque no seu setor nos próximos anos. Nosso investimento constante em atividades de pesquisa e desenvolvimento nos permite aumentar nossa capacidade e expandir nosso portfólio de produtos e serviços, agregando valor a longo prazo.

Estamos comprometidos com a busca de novos caminhos para a sustentabilidade do sistema. Na área de densidade de potência, estamos criando sistemas em que substituímos componentes grandes e incômodos por rolamentos menores e mais eficientes para contribuir para a melhora do desempenho do sistema.

Onde quer que você esteja, poderá contar conosco nos centros de tecnologia na América do Norte, Europa e Ásia, além de nossas instalações de produção e escritórios nos seis continentes, para desenvolver ideias e recursos para transformar seus conceitos em realidade.





## **UMA MARCA NA QUAL VOCÊ PODE CONFIAR**

A marca Timken é sinônimo de qualidade, inovação e confiabilidade.

Temos orgulho da qualidade do nosso trabalho e você tem a tranquilidade de saber que cada caixa contém um produto no qual o mercado confia. Como já disse nosso fundador, Henry Timken, “Não coloque o seu nome em algo que possa vir a envergonhá-lo”.

Continuamos com essa mentalidade através do TQMS (Sistema de gerenciamento da qualidade da Timken).

Com o TQMS, promovemos melhorias contínuas da qualidade nos nossos produtos e serviços para nossas operações globais e redes da cadeia de suprimentos. Ele nos ajuda a garantir a aplicação coerente das normas de gerenciamento da qualidade em toda a empresa. Também registramos cada uma das nossas instalações de produção e centros de distribuição para os padrões de sistema de qualidade apropriados aos setores por eles atendidos.

## **SOBRE THE TIMKEN COMPANY**

A Timken Company mantém o mundo girando com produtos e serviços inovadores para gerenciamento do atrito e transmissão de potência que são críticos para ajudar os equipamentos industriais a funcionarem de forma eficiente e confiável. Com vendas de US\$ 5,2 bilhões em 2011, operando em 30 países e com aproximadamente 30 mil funcionários, a Timken está presente em todo movimento por um desempenho melhor.

## SOBRE ESTE CATÁLOGO

A Timken oferece uma ampla linha de rolamentos e acessórios em diversos tamanhos nas dimensões métrica e polegada. Para sua conveniência, as faixas de tamanho são indicadas em milímetros e também em polegadas. Entre em contato com o representante de vendas da Timken para saber mais sobre nossa linha completa para atender as necessidades especiais de sua aplicação.

## COMO USAR ESTE CATÁLOGO

Nosso compromisso é fornecer a nossos clientes atendimento e qualidade máxima. Este catálogo contém dimensões, tolerâncias e capacidades de cargas, além de uma seção de engenharia que descreve as normas de ajuste de eixos e mancais, folgas internas, materiais e outras características dos rolamentos. Ela pode ser de valiosa assistência no processo inicial de consideração do tipo e características do rolamento mais adequado às suas necessidades específicas.

Todo o esforço possível foi empregado para assegurar a precisão das informações contidas neste texto, mas não será aceita responsabilidade por erros, omissões ou por qualquer outro motivo.

Os produtos da Timken são vendidos de acordo com os Termos e condições de venda da Timken, incluindo sua garantia e indenização limitadas. Entre em contato com seu representante Timken em caso de dúvida.

## CARACTERÍSTICAS DO CATÁLOGO

Os dados de dimensões e capacidades de cargas dos diversos tipos e estilos de rolamentos estão organizados por tamanho.

Este catálogo utiliza as siglas ISO e ANSI/ABMA para referir-se à International Organization for Standardization, e à American National Standards Institute/American Bearing Manufacturers Association.



## OBSERVAÇÃO

*O desempenho dos produtos é afetado por muitos fatores que escapam do controle da Timken. Este catálogo foi elaborado exclusivamente com o propósito de fornecer a você, cliente da Timken, dados para auxiliá-lo em seu projeto. Nenhuma garantia, expressa ou implícita, incluindo qualquer garantia de adequação para um determinado fim, é fornecida pela Timken. Os produtos e serviços Timken são vendidos com Garantia Limitada.*

*Você pode consultar o representante da Timken para obter mais informações.*

## **TEMPO DE ESTOQUE E ARMAZENAMENTO DE ROLAMENTOS E COMPONENTES LUBRIFICADOS COM GRAXA**

As diretrizes da Timken para o tempo de estoque dos rolamentos, componentes e conjuntos lubrificados com graxa são estabelecidas a seguir. As informações sobre o tempo de validade baseiam-se em dados de teste e na experiência. O tempo de estoque deve ser diferenciado da vida útil do rolamento/componente lubrificado conforme indicado a seguir:

### **POLÍTICA DE TEMPO DE ESTOQUE**

O tempo de estoque do componente/rolamento lubrificado a graxa representa o período de tempo antes do uso ou da instalação. O tempo de estoque é uma parte da vida útil de projeto agregada antecipada. É impossível prever a vida útil de projeto com precisão devido a variações das taxas de sangria de lubrificante, migração de óleo, condições operacionais, condições de instalação, temperatura, umidade e armazenamento prolongado.

Os tempos de estoque disponíveis na Timken representam um limite máximo e obedecem às diretrizes de armazenamento e manuseio sugeridas pela empresa. Desvios das diretrizes de armazenamento e manuseio fornecidos pela Timken podem reduzir a vida útil do rolamento. Qualquer especificação ou norma operacional que defina um tempo de estoque mais curto pode ser usado. A Timken não pode prever o desempenho da graxa lubrificante depois que o rolamento ou componente é instalado ou colocado em serviço.

### **A TIMKEN NÃO SE RESPONSABILIZA PELO TEMPO DE ESTOQUE DE NENHUM ROLAMENTO/ COMPONENTE LUBRIFICADO POR TERCEIROS.**

## **ARMAZENAMENTO**

A Timken sugere as seguintes recomendações para o armazenamento para seus produtos acabados (rolamentos, componentes e conjuntos, doravante chamados de "Produtos"):

- Salvo instruções em contrário da Timken, os Produtos devem ser mantidos em suas embalagens originais até estarem prontos para serem colocados em serviço.
- Não remova nem altere nenhuma etiqueta ou marcação da embalagem.
- Os Produtos devem ser armazenados de modo que a embalagem não seja perfurada, esmagada ou danificada de alguma outra forma.
- Depois que um Produto for removido de sua embalagem, ele deve ser colocado em serviço assim que possível.
- Ao remover de um container de produtos a granel um Produto que não seja embalado individualmente, o container deve ter a vedação restaurada depois da retirada do Produto.
- Não use um Produto que tenha ultrapassado o prazo de validade, conforme definido nas diretrizes de prazo de validade da Timken.
- A temperatura da área de armazenamento deverá ser mantida entre 0 °C (32 °F) e 40 °C (104 °F); flutuações de temperatura devem ser minimizadas.
- A umidade relativa deve ser mantida abaixo de 60 por cento e as superfícies devem ser conservadas secas.
- A área de armazenamento deve ser mantida livre de contaminantes presentes no ar, como poeira, sujeira, vapores perigosos etc., não se limitando a eles.
- A área de armazenamento deve ser isolada da vibração indevida.
- Condições extremas de qualquer tipo devem ser evitadas.

Como a Timken não está familiarizada com as condições de armazenamento específicas de cada cliente, estas diretrizes são enfaticamente recomendadas. No entanto, é possível que circunstâncias ou requisitos governamentais exijam do cliente a obediência a requisitos de armazenamento mais rigorosos.



A maioria dos tipos de rolamentos é normalmente enviada protegida por um óleo protetivo para evitar a corrosão que não é um lubrificante.

Tais rolamentos podem ser usados em aplicações com lubrificação a óleo sem a remoção do composto para prevenção de corrosão.

Ao usar algumas graxas específicas, é recomendável remover o composto para prevenção de corrosão antes de aplicar a graxa adequada nos rolamentos.

Alguns tipos de rolamentos deste catálogo são pré-lubrificados com graxa comum, adequada para sua aplicação normal. O reabastecimento frequente de graxa pode ser necessário para obter desempenho de alta qualidade.

A seleção do lubrificante deve ser cuidadosa, no entanto, pois é frequente que lubrificantes diferentes sejam incompatíveis.

Quando especificado pelo cliente, outros rolamentos podem ser solicitados pré-lubrificados.

Ao receber uma remessa de rolamentos, certifique-se de que os rolamentos não sejam removidos das suas embalagens até estarem prontos para montagem, para que não sejam oxidados ou contaminados. Os rolamentos devem ser armazenados em uma atmosfera apropriada, para que permaneçam protegidos durante o período necessário.

Quaisquer dúvidas relacionadas ao prazo de validade ou armazenamento devem ser encaminhadas ao seu escritório de vendas da Timken.

### ATENÇÃO

*A não observância das advertências a seguir pode criar um risco de morte ou acidentes pessoais graves.*

Normas de manutenção e de manuseio adequadas são vitais. Sempre siga as instruções de instalação e mantenha a lubrificação apropriada.

Nunca use ar comprimido para girar um rolamento.  
Os rolos podem ser expelidos à força.

## ROLAMENTOS DE ROLOS CILÍNDRICOS DA TIMKEN® - OFERECEM SELEÇÃO E DESEMPENHO SUPERIOR

O seu sucesso depende do desempenho do seu equipamento, especialmente quando ele enfrenta ambientes hostis e cargas radiais elevadas. Para maximizar o tempo de funcionamento e minimizar o tempo de parada, recorra aos rolamentos de rolos cilíndricos da Timken®.

## PRESENÇA NA INDÚSTRIA

Os rolamentos de rolos cilíndricos da Timken reduzem o atrito de forma eficaz e ajudam a transmitir potência em aplicações como:

- Geração de energia      ● Processamento de agregados
- Petróleo                  ● Bombas
- Guihotinas                ● Laminadores
- Caixas de transmissão   ● Ponta de eixo planetárias
- Guinchos                 ● Energia eólica
- Equipamentos do        ● Outros equipamentos  
segmento de siderurgia    industriais
- Mineração

## A DIFERÊNCIA DA TIMKEN

Temperaturas de operação mais baixas. Alta durabilidade. Desempenho duradouro. Ampla gama de tamanhos. Nossa marca é sinônimo de alta qualidade, confiabilidade e desempenho notável. Suas aplicações podem operar melhor, produzir mais e ter tempo de funcionamento mais longo quando equipadas com os rolamentos de rolos cilíndricos da Timken. Como resultado, você perceberá uma redução nos custos operacionais gerais.

Cada rolamento tem o respaldo de uma habilidosa equipe de especialistas globais, fornecendo a você o melhor projeto, conhecimento de aplicações e suporte de engenharia no campo.

## CARACTERÍSTICAS DO PROJETO

Dotados de porta-rolos Premium, geometrias internas exclusivas, texturas superficiais aprimoradas e projetos compactos, esses rolamentos atendem ou excedem as expectativas de vida útil mais longa.

Um rolamento radial de rolos cilíndricos consiste em um anel interno e/ou anel externo e um complemento de rolos cilíndricos de contorno controlado. Dependendo do tipo do rolamento, o anel interno ou o externo terá duas flanges no guia de rolos. O anel externo, destacável do conjunto, tem uma ou nenhuma flange. O anel com duas flanges faz o posicionamento axial do conjunto de rolos. Os diâmetros dessas flanges podem ser usados para apoiar o rolo. Uma das flanges pode suportar cargas axiais leves quando uma flange oposta for fornecida no anel de contato.

## GARANTIA DA QUALIDADE

A qualidade dos nossos materiais é tão importante quanto os nossos projetos para ajudar as máquinas a operarem de forma mais eficiente. Somos o único fabricante de rolamentos do mundo que produz seu próprio aço. Usando aço de alta liga puro nos nossos rolamentos de rolos cilíndricos, podemos garantir a qualidade geral do nosso produto.

Também implementamos os nossos Padrões de qualidade mundiais em cada unidade de fabricação, de modo que cada rolamento atenda aos mesmos padrões de desempenho, independentemente do lugar do mundo em que é fabricado.

## OFERTA DE PRODUTOS

Você pode selecionar um produto em uma linha completa de rolamentos de rolos cilíndricos de alto desempenho. A nossa linha de produtos inclui uma grande variedade de desenhos com o número máximo de rolos de complemento com uma, duas e quatro carreiras, todos desenvolvidos para atender às suas exigências de aplicação. Os tamanhos variam de 60 mm (2,5591 pol.) a 2000 mm (78,7402 pol.)

São feitas atualizações periódicas deste catálogo. Acesse [www.timken.com](http://www.timken.com) para obter a versão mais atualizada do Catálogo de rolamentos de rolos cilíndricos.

**TABELA 1. TIPOS E TAMANHOS DE ROLAMENTOS RADIAIS DE ROLOS CILÍNDRICOS**

| Tipo de rolamento       | Variedades de tamanho disponíveis     |
|-------------------------|---------------------------------------|
| Uma carreira            | 60 - 2000 mm (2,3622 - 78,7402 pol.)  |
| Complemento total (NCF) | 100 - 2000 mm (3,9370 - 78,7402 pol.) |
| Duas carreiras          | 80 - 2000 mm (3,1496 - 78,7402 pol.)  |
| Quatro carreiras        | 140 - 2000 mm (4,7244 - 78,7402 pol.) |

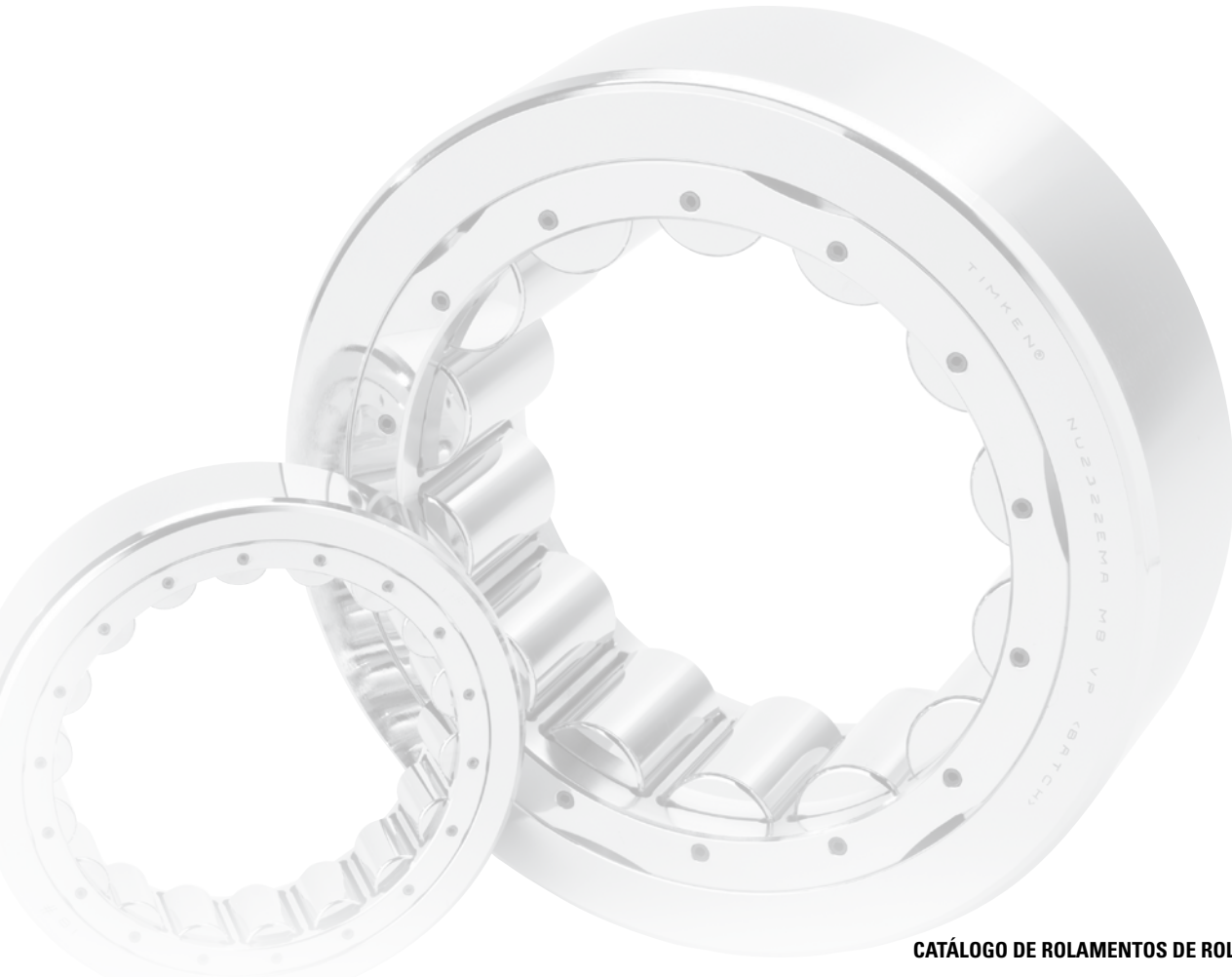
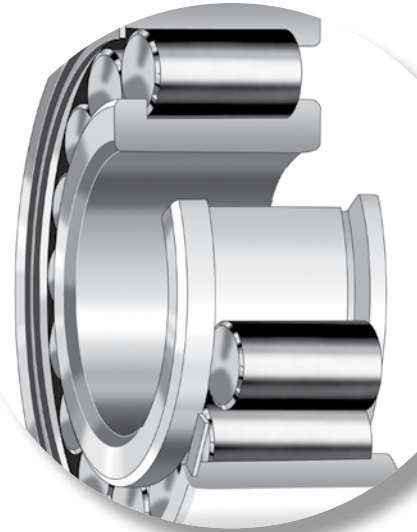
## ENGENHARIA

Os seguintes tópicos estão incluídos nesta seção de engenharia.

- Tipos de desenho de rolamento de rolos cilíndricos.
- Tipos de desenho de porta-rolos.
- Norma de ajuste e recomendações de montagem.
- Recomendações de lubrificação.

Esta seção de engenharia não tem a finalidade de ser completa, mas serve como um guia útil para a seleção de rolamentos de rolos cilíndricos.

Para visualizar o catálogo de engenharia completo, acesse [www.timken.com](http://www.timken.com). Para solicitar o catálogo, entre em contato com o seu engenheiro da Timken e solicite uma cópia do Manual de engenharia da Timken, número do catálogo 10424.



## TIPOS E PORTA-ROLOS DE ROLAMENTOS RADIAIS DE ROLOS CILÍNDRICOS

Os rolamentos radiais de rolos cilíndricos podem oferecer maior capacidade de carga radial que outros desenhos de rolamentos.

A The Timken Company oferece uma grande variedade de desenhos com o número máximo de rolos com uma, duas e quatro carreiras para atender a diversas exigências de aplicação.

### ROLAMENTOS DE ROLOS CILÍNDRICOS RADIAIS

#### TIPOS PADRÃO

Os rolamentos de rolos cilíndricos Timken® consistem em um anel interno e um anel externo, um porta-rolos e um complemento de rolos cilíndricos de contorno controlado. Dependendo do tipo do rolamento, o anel interno ou o externo terá dois flanges guiados pelos rolos. O anel externo é destacável do conjunto e tem um ou nenhum flange. O anel com dois flanges faz o posicionamento axial do conjunto de rolos. Os diâmetros de base desses flanges podem ser usados para apoiar o porta-rolos. Um desses flanges pode ser usado para suportar cargas axiais leves quando um flange oposto for fornecido.

A decisão de qual anel deve ter dois flanges normalmente é determinada considerando-se os procedimentos de montagem e instalação do rolamento na aplicação.

O tipo NU tem dois flanges integrados no anel externo e anel interno sem flanges. O tipo N tem dois flanges integrados no anel interno e anel externo sem flanges. O uso de qualquer um desses tipos em uma posição em um eixo é ideal para acomodar a expansão ou a contração do eixo. O deslocamento axial relativo de um anel para outro ocorre com o mínimo de atrito enquanto o rolamento está girando. Esses rolamentos podem ser usados em duas posições para suporte do eixo, se outros meios de posicionamento axial forem fornecidos.

O tipo NJ tem dois flanges integrados no anel externo e um no anel interno. O tipo NF tem anel interno com dois flanges e anel externo com flange simples. Ambos os tipos podem suportar cargas radiais elevadas, bem como cargas axiais unidirecionais leves. A carga axial é transmitida entre as faces dos flanges opostos diagonalmente em uma ação de deslizamento. A lubrificação pode se tornar crítica quando condições axiais de limite forem atingidas. Seu engenheiro da Timken deverá ser consultado para prestar assistência em tais aplicações. Quando as cargas axiais são muito leves, esses rolamentos podem ser usados em uma montagem oposta para posicionar o eixo. Nesses casos, a folga lateral do eixo deverá ser ajustada no momento da montagem.

O Tipo NUP tem anel externo com dois flanges e anel interno com flange simples, com anel de encosto que permite que o rolamento forneça posicionamento axial nas duas direções. O Tipo NP tem um anel interno com dois flanges e um anel externo com flange simples e um anel de encosto separável. Os dois tipos podem suportar cargas radiais elevadas e cargas axiais leves nas duas direções. Os fatores que controlam a capacidade axial são os mesmos dos rolamentos dos tipos NJ e NF.

Um rolamento do Tipo NUP ou NP pode ser usado junto com rolamentos do Tipo N ou NU para aplicações em que é prevista a expansão axial do eixo. Nesses casos, o rolamento N ou NU acomoda a expansão do eixo. O rolamento NUP ou NP é considerado o rolamento fixo porque os flanges restringem o movimento axial do elemento rolante. O rolamento fixo geralmente é posicionado mais próximo da extremidade de acionamento do eixo para minimizar as variações de alinhamento no acionamento. A folga lateral do eixo (ou flutuação) é determinada pela folga axial no rolamento fixo.

Os tipos NU, N, NJ, NF, NUP e NP estão em conformidade com as normas ISO e DIN para anéis de flanges (anéis axiais) e diâmetros industriais típicos sobre e sob o rolo.

As designações dos rolamentos de rolos cilíndricos estão de acordo com a ISO 15. Eles são compostos de quatro dígitos, os dois primeiros identificam a série dimensional e os dois últimos são o tamanho do furo dividido por 5. Na série dimensional, o primeiro dígito é a série da largura e o segundo, a série do diâmetro (externo). A série da largura aumenta a largura na sequência 8 0 1 2 3 4 5 6 7. A série do diâmetro aumenta a seção radial na sequência 7 8 9 0 1 2 3 4.

Os tipos com prefixo R têm construção similar aos seus correspondentes N. No entanto, eles foram projetados para conformidade com as normas ABMA.

Rolamentos com tamanhos em polegadas são identificados pela letra "I" no número da peça. RIU, por exemplo, indica um rolamento com dimensão em polegadas, enquanto RU indica o tipo equivalente em dimensões métricas.

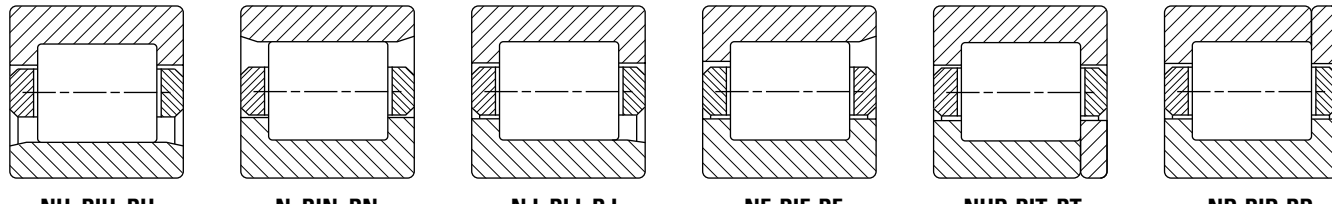


Fig. 1. Rolamentos radiais de rolos cilíndricos.

## SÉRIE EMA

Os rolamentos de rolos cilíndricos da série EMA de uma carreira da Timken® incorporam um desenho de porta-rolos de características únicas, geometria interna exclusiva e acabamento especial de superfície. Essas características ajudam a melhorar o desempenho do rolamento e podem ajudar a aumentar o tempo de operação e reduzir os custos de manutenção.

O porta-rolos tem desenho em peça única de bronze com bolsos usinados. Este porta-rolos é guiado pelo anel externo, ao contrário do porta-rolos tradicionalmente guiado pelos rolos, isso minimiza a ação de resistência sob os rolos. Isso reduz a geração de calor e melhora a vida útil do rolamento. A rigidez do porta-rolos permite acomodar mais rolos do que é possível com outras configurações de porta-rolos de bronze.

Perfis exclusivos dos anéis e/ou dos rolos aumentam a capacidade de suportar cargas mais altas em relação aos desenhos concorrentes.

Os processos de acabamento dos anéis e rolos proporcionam superfícies aprimoradas, resultando em menos atrito, temperaturas de operação mais baixas e vida útil mais longa do rolamento.

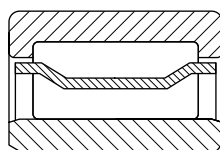
Os rolamentos da série EMA estão disponíveis nos tipos N, NU, NJ e NUP.

## COMPLEMENTO TOTAL (NCF)

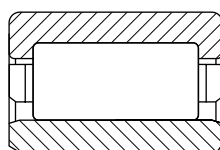
Os rolamentos de carreira única com complemento total (NCF) incluem flanges integrais nos anéis interno e externo. Esses rolamentos também podem suportar cargas axiais em uma direção e permitir pequenos deslocamentos axiais.

## SÉRIE MÉTRICA 5200

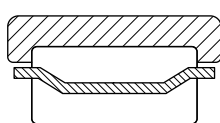
Esta série pode suportar cargas radiais mais elevadas devido às proporções do seu desenho interno. Nesta série, o anel externo



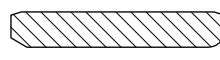
A-52xx-WS



A-52xx-WM



52xx-WS



A-52xx

Fig. 2. Rolamentos da série métrica 5200.

tem dois flanges e o anel interno tem largura completa com D.E. cilíndrico. O rolamento também pode ser fornecido sem anel interno para aplicações onde o espaço radial é limitado. Quando usado dessa forma, o mancal do eixo deve ser endurecido até o mínimo de HRC 58 e o acabamento superficial deve ser no máximo 15 RMS. A designação W no sufixo indica que o anel externo é fornecido. O anel interno também pode ser pedido separadamente. O prefixo A indica que o anel interno é fornecido separadamente ou como parte do conjunto.

O rolamento é fornecido normalmente com um porta-rolos robusto de aço estampado (designação S) e é aplicado em situações onde o porta-rolos necessita ser guiado pelo anel externo. O porta-rolos tem barras rebaixadas, que não apenas proporcionam espaçamento uniforme dos rolos, mas também os retém como um conjunto completo com o anel externo. Porta-rolos de bronze usinado (designação M) estão disponíveis para aplicações em que cargas de inversão ou altas velocidades possam indicar sua necessidade. Os anéis externos são feitos de aços-liga para rolamentos. Os anéis internos são cementados para acomodar as tensões no aro resultantes de ajustes de alta pressão.

O rolamento padrão é produzido com folgas radiais internas com a designação R6. Outras folgas internas podem ser fornecidas por encomenda. A orientação apropriada dos rolos é garantida pelos flanges integrais e pelo controle de folga do rolo.

## ROLAMENTOS DE DUAS CARREIRAS

Os rolamentos de rolos cilíndricos de duas carreiras ou de carreira dupla oferecem capacidade radial extra em comparação com os tipos tradicionais de uma carreira. Esses rolamentos são intercambiáveis, de maneira que as dimensões e o diâmetro sob os rolos (tipo NNU) e o diâmetro sobre os rolos (tipo NN) são mantidos conforme uma norma ISO/DPol. O modelo de porta-rolos em latão usinado do tipo pente duplo é orientado pelos rolos.

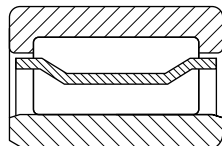
## ROLAMENTOS DE QUATRO CARREIRAS

Os rolamentos de rolos cilíndricos de quatro carreiras possuem capacidade de carga radial extremamente alta, mas não possuem capacidade axial. Este tipo de rolamento é mais utilizado em aplicações para pESCOÇO de cilindro e cilindros de trabalho em laminadores. Estão disponíveis desenhos com furos cônicos e retos.

## PORTE-ROLOS DE ROLAMENTOS DE ROLOS CILÍNDRICOS

### PORTE-ROLOS DE AÇO ESTAMPADO

Porta-rolos de aço estampados para rolamentos de rolos cilíndricos de aço de baixo carbono, fabricados usando uma série de operações de corte, conformação e puncionamento. Esses porta-rolos estão disponíveis em grande variedade de configurações de desenhos e são adequados para a maioria das aplicações de rolamentos de rolos cilíndricos de uso geral. Um tipo específico é o desenho do tipo S, para o rolamento de rolos cilíndricos da série 5200, que é um porta-rolos guiado pelos flanges do anel externo. Esse desenho tem porta-rolos com espaçamento uniforme entre os elementos rolantes retendo-os no anel interno. Porta-rolos de aço estampado são produzidos em larga escala e podem ser usados em ambientes com alta temperatura e lubrificante agressivo.



**Fig. 3. Porta-rolos tipo S.**

### PORTE-ROLOS USINADOS

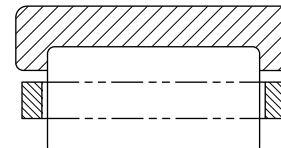
Os porta-rolos usinados são uma opção para os tamanhos menores de rolamentos de rolos cilíndricos e são feitos normalmente em bronze. Os desenhos de porta-rolos usinados para rolamentos de rolos cilíndricos oferecem maior resistência para aplicações mais rigorosas.

Os desenhos podem ser de porta-rolos de peça única ou bipartidos. Desenhos de peça única podem ser do tipo pente estampado, conforme mostrado na fig. 4, ou uma configuração de porta-rolos padrão, com bolsos totalmente usinados. O porta-rolos de peça única tipo de pente estampado e o desenho de porta-rolos bipartido (fig. 5) são mais comuns nos rolamentos de rolos cilíndricos padrão. Eles também são guiados pelos rolos.

A versão de peça única com bolsos totalmente usinados (fig. 6) é o nosso porta-rolos premium. Esse porta-rolos é usado nos nossos rolamentos da série EMA. Ao contrário dos porta-rolos guiados pelos rolos, este modelo é guiado pelo anel externo, o que minimiza a ação de resistência sob os rolos. Isso minimiza a geração de calor, resultando em aumento da vida útil do rolamento. Comparado a um desenho bipartido, esse porta-rolos em peça única também reduz o calor e o desgaste ao aumentar o fluxo de lubrificação.

### PORTE-ROLOS TIPO PINO

Porta-rolos tipo pino para rolamentos de rolos cilíndricos consistem em dois anéis e uma série de pinos que passam pelo centro dos elementos rolantes. Esses porta-rolos são usados para rolamentos de rolos cilíndricos de diâmetros maiores, para os quais os porta-rolos de bronze usinados não estão disponíveis. Com este desenho, normalmente rolos adicionais podem ser adicionados, resultando em maior capacidade de carga.



**Fig. 7. Porta-rolos tipo pino.**



**Fig. 4. Porta-rolos do tipo pente estampado de peça única.**



**Fig. 5. Porta-rolos de bronze bipartido.**



**Fig. 6. Porta-rolos premium de peça única.**

## **TOLERÂNCIAS NO SISTEMA MÉTRICO**

### **ROLAMENTOS DE ROLOS CILÍNDRICOS**

Rolamentos de rolos cilíndricos são fabricados de acordo com várias especificações, cada uma com classes que definem tolerâncias para dimensões como furo, D.E., largura e excentricidade. Os rolamentos métricos foram fabricados com tolerâncias negativas.

As tolerâncias de dimensões-limite para o uso de rolamento de rolos cilíndricos são indicadas nas tabelas a seguir. Essas tolerâncias são fornecidas para uso na seleção de rolamentos para aplicações gerais, juntamente com as normas de montagem e ajuste de rolamentos oferecidas nas seções que estão descritas a diante.

A tabela a seguir resume as diferentes especificações e classes de rolamentos de rolos cilíndricos.

**TABELA 2. ESPECIFICAÇÕES E CLASSES DE ROLAMENTOS**

| Sistema  | Especificações | Tipo de rolamento              | Classe de rolamento comum |        | Classe de rolamento de precisão |        |        |     |
|----------|----------------|--------------------------------|---------------------------|--------|---------------------------------|--------|--------|-----|
| Métrico  | Timken         | Rolamentos de rolos cônicos    | K                         | N      | C                               | B      | A      | AA  |
|          | ISO/DIN        | Todos os tipos de rolamento    | P0                        | P6     | P5                              | P4     | P2     | -   |
|          | ABMA           | Cilíndricos, autocompensadores | RBEC 1                    | RBEC 3 | RBEC 5                          | RBEC 7 | RBEC 9 | -   |
|          |                | Rolamentos de esferas          | ABEC 1                    | ABEC 3 | ABEC 5                          | ABEC 7 | ABEC 9 | -   |
|          |                | Rolamentos de rolos cônicos    | K                         | N      | C                               | B      | A      | -   |
| Polegada | Timken         | Rolamentos de rolos cônicos    | 4                         | 2      | 3                               | 0      | 00     | 000 |
|          | ABMA           | Rolamentos de rolos cônicos    | 4                         | 2      | 3                               | 0      | 00     | -   |

Os rolamentos radiais de rolos cilíndricos padrão da Timken mantêm as tolerâncias normais de acordo com a ISO 492. As tabelas 3 e 4 relacionam as tolerâncias críticas desses rolamentos radiais de rolos cilíndricos. Para aplicações em que a tolerância de funcionamento é crítica, recomenda-se as tolerâncias P6 ou P5.

O termo desvio é definido como a diferença entre uma dimensão de anel único e a dimensão nominal. Para as tolerâncias métricas, a dimensão nominal tem tolerância de +0 mm (0 pol.) O desvio é faixa de tolerância para o parâmetro indicado. A variação é definida como a diferença entre a maior e a menor medida de um determinado parâmetro para um anel individual.

TABELA 3. TOLERÂNCIAS DO ROLAMENTO DE ROLOS CILÍNDRICOS – ANEL INTERNO (MÉTRICAS)<sup>(1)</sup>

| Euro do rolamento  |                    | Desvio do furo <sup>(2)</sup><br>$\Delta_{dmp}$ |                   |                   | Variação de largura<br>$V_{BS}$ |                 |                 | Excentricidade radial<br>$K_{ia}$ |                 |                 | Excentri-<br>cidade<br>da face<br>com furo<br>$S_d$ | Excentri-<br>cidade<br>axial<br>$S_{ia}$ | Desvio da largura<br>dos anéis interno<br>e externo <sup>(2)</sup><br>$\Delta_{B_s}$ e $\Delta_{C_s}$ |                   |
|--------------------|--------------------|---|-------------------|-------------------|---------------------------------|-----------------|-----------------|-----------------------------------|-----------------|-----------------|---|--|---|-------------------|
| Acima              | Incl.              | P0  | P6                | P5                | P0                              | P6              | P5              | P0                                | P6              | P5              | P5  | P5                                       | P0, P6  | P5                |
| mm<br>pol.         | mm<br>pol.         | mm<br>pol.                                      | mm<br>pol.        | mm<br>pol.        | mm<br>pol.                      | mm<br>pol.      | mm<br>pol.      | mm<br>pol.                        | mm<br>pol.      | mm<br>pol.      | mm<br>pol.  | mm<br>pol.                               | mm<br>pol.  | mm<br>pol.        |
| 2,5000<br>0,0984   | 10,000<br>0,3937   | -0,008<br>-0,0003                               | -0,007<br>-0,0003 | -0,005<br>-0,0002 | 0,015<br>0,0006                 | 0,015<br>0,0006 | 0,005<br>0,0002 | 0,010<br>0,0004                   | 0,006<br>0,0002 | 0,004<br>0,0002 | 0,007<br>0,0003                                     | 0,007<br>0,0003                          | -0,120<br>-0,0047   | -0,040<br>-0,0157 |
| 10,000<br>0,3937   | 18,000<br>0,7087   | -0,008<br>-0,0003                               | -0,007<br>-0,0003 | -0,005<br>-0,0002 | 0,020<br>0,0008                 | 0,020<br>0,0008 | 0,005<br>0,0002 | 0,010<br>0,0004                   | 0,007<br>0,0003 | 0,004<br>0,0002 | 0,007<br>0,0003                                     | 0,007<br>0,0003                          | -0,120<br>-0,0047   | -0,080<br>-0,0031 |
| 18,000<br>0,7087   | 30,000<br>1,1811   | -0,010<br>-0,0004                               | -0,008<br>-0,0003 | -0,006<br>-0,0002 | 0,020<br>0,0008                 | 0,020<br>0,0008 | 0,005<br>0,0002 | 0,013<br>0,0005                   | 0,008<br>0,0003 | 0,004<br>0,0002 | 0,008<br>0,0003                                     | 0,008<br>0,0003                          | -0,120<br>-0,0047   | -0,120<br>-0,0047 |
| 30,000<br>1,1811   | 50,000<br>1,9685   | -0,012<br>-0,0005                               | -0,010<br>-0,0004 | -0,008<br>-0,0003 | 0,020<br>0,0008                 | 0,020<br>0,0008 | 0,005<br>0,0002 | 0,015<br>0,0006                   | 0,010<br>0,0004 | 0,005<br>0,0002 | 0,008<br>0,0003                                     | 0,008<br>0,0003                          | -0,120<br>-0,0047   | -0,120<br>-0,0047 |
| 50,000<br>1,9685   | 80,000<br>3,1496   | -0,015<br>-0,0006                               | -0,012<br>-0,0005 | -0,009<br>-0,0004 | 0,025<br>0,0010                 | 0,025<br>0,0010 | 0,006<br>0,0002 | 0,020<br>0,0008                   | 0,010<br>0,0004 | 0,005<br>0,0002 | 0,008<br>0,0003                                     | 0,008<br>0,0003                          | -0,150<br>-0,0059   | -0,150<br>-0,0059 |
| 80,000<br>3,1496   | 120,000<br>4,7244  | -0,020<br>-0,0008                               | -0,015<br>-0,0006 | -0,010<br>-0,0004 | 0,025<br>0,0010                 | 0,025<br>0,0010 | 0,007<br>0,0003 | 0,025<br>0,0010                   | 0,013<br>0,0005 | 0,006<br>0,0002 | 0,009<br>0,0004                                     | 0,009<br>0,0004                          | -0,200<br>-0,0079   | -0,200<br>-0,0079 |
| 120,000<br>4,7244  | 150,000<br>5,9055  | -0,025<br>-0,0010                               | -0,018<br>-0,0007 | -0,013<br>-0,0005 | 0,030<br>0,0012                 | 0,030<br>0,0012 | 0,008<br>0,0003 | 0,030<br>0,0012                   | 0,018<br>0,0007 | 0,008<br>0,0003 | 0,010<br>0,0004                                     | 0,010<br>0,0004                          | -0,250<br>-0,0098   | -0,250<br>-0,0098 |
| 150,000<br>5,9055  | 180,000<br>7,0866  | -0,025<br>-0,0010                               | -0,018<br>-0,0007 | -0,013<br>-0,0005 | 0,030<br>0,0012                 | 0,030<br>0,0012 | 0,008<br>0,0003 | 0,030<br>0,0012                   | 0,018<br>0,0007 | 0,008<br>0,0003 | 0,010<br>0,0004                                     | 0,010<br>0,0004                          | -0,250<br>-0,0098   | -0,250<br>-0,0098 |
| 180,000<br>7,0866  | 250,000<br>9,8425  | -0,030<br>-0,0012                               | -0,022<br>-0,0009 | -0,015<br>-0,0006 | 0,030<br>0,0012                 | 0,030<br>0,0012 | 0,010<br>0,0004 | 0,040<br>0,0016                   | 0,020<br>0,0008 | 0,010<br>0,0004 | 0,011<br>0,0004                                     | 0,013<br>0,0005                          | -0,300<br>-0,0018   | -0,300<br>-0,0018 |
| 250,000<br>9,8425  | 315,000<br>12,4016 | -0,035<br>-0,0014                               | -0,025<br>-0,0010 | -0,018<br>-0,0007 | 0,035<br>0,0014                 | 0,035<br>0,0014 | 0,013<br>0,0005 | 0,050<br>0,0020                   | 0,025<br>0,0010 | 0,013<br>0,0005 | 0,013<br>0,0005                                     | 0,015<br>0,0006                          | -0,350<br>-0,0138   | -0,350<br>-0,0138 |
| 315,000<br>12,4016 | 400,000<br>15,7480 | -0,040<br>-0,0016                               | -0,030<br>-0,0012 | -0,023<br>-0,0009 | 0,040<br>0,0016                 | 0,040<br>0,0016 | 0,015<br>0,0006 | 0,060<br>0,0024                   | 0,030<br>0,0012 | 0,015<br>0,0006 | 0,015<br>0,0006                                     | 0,020<br>0,0008                          | -0,400<br>-0,0157   | -0,400<br>-0,0157 |
| 400,000<br>15,7480 | 500,000<br>19,6850 | -0,045<br>-0,0018                               | -0,035<br>-0,0014 | —                 | 0,050<br>0,0020                 | 0,045<br>0,0018 | —               | 0,065<br>0,0026                   | 0,035<br>0,0014 | —               | —   | —  | -0,450<br>-0,0177   | —                 |
| 500,000<br>19,6850 | 630,000<br>24,8031 | -0,050<br>-0,0020                               | -0,040<br>-0,0016 | —                 | 0,060<br>0,0024                 | 0,050<br>0,0020 | —               | 0,070<br>0,0028                   | 0,040<br>0,0016 | —               | —   | —  | -0,500<br>-0,0197   | —                 |
| 630,000<br>24,8031 | 800,000<br>31,4961 | -0,075<br>-0,0030                               | —                 | —                 | 0,070<br>0,0028                 | —<br>—          | —<br>—          | 0,080<br>0,0031                   | —<br>—          | —               | —   | —  | -0,750<br>-0,0295   | —                 |

<sup>(1)</sup>As definições dos símbolos estão nas páginas 32 e 33 do Manual de engenharia da Timken (nº do catálogo 10424).<sup>(2)</sup>A faixa de tolerância é de +0 até o valor indicado.

TABELA 4. TOLERÂNCIAS DO ROLAMENTO DE ROLOS CILÍNDRICOS – ANEL EXTERNO (MÉTRICAS)<sup>(1)</sup>

| D.E. do rolamento |          | Desvio externo <sup>(2)</sup><br>$\Delta_{Dmp}$ |         |          | Variação de largura<br>$V_{cs}$ |         | Excentricidade radial<br>$K_{ea}$ |        |         | Excentri-<br>cidade axial<br>$S_{ea}$ | Excentri-<br>cidade do<br>diâmetro<br>externo com<br>a face<br>$S_D$ | Excentri-<br>cidade do<br>diâmetro<br>externo com<br>a face<br>$S_D$ |
|-------------------|----------|---|---------|----------|---------------------------------|---------|-----------------------------------|--------|---------|---------------------------------------|--|--|
| Acima             | Incl.    | P0  | P6      | P5       | P0                              | P6      | P0                                | P6     | P5      |                                       |  |  |
| mm                | mm       | mm  | mm      | mm       | mm                              | mm      | mm                                | mm     | mm      | mm                                    | mm   | mm   |
| 0,000             | 18,000   | -0,008  | -0,007  | -0,005   | 0,015                           | 0,005   | 0,015                             | 0,008  | 0,005   | 0,008                                 | 0,0003   | 0,0003   |
| 0,0000            | 0,7087   | -0,0003   | -0,0003 | -0,0002  | 0,0006                          | 0,0002  | 0,0006                            | 0,0003 | 0,0002  | 0,0003                                | 0,0003   | 0,0003   |
| 18,000            | 30,000   | -0,009  | -0,008  | -0,006   | 0,020                           | 0,005   | 0,015                             | 0,009  | 0,006   | 0,008                                 | 0,0003   | 0,0003   |
| 0,7087            | 1,1811   | -0,0004   | -0,0003 | -0,00024 | 0,0008                          | 0,0002  | 0,0006                            | 0,0004 | 0,00024 | 0,0003                                | 0,0003   | 0,0003   |
| 30,000            | 50,000   | -0,011  | -0,009  | -0,007   | 0,020                           | 0,005   | 0,020                             | 0,010  | 0,007   | 0,008                                 | 0,0003   | 0,0003   |
| 1,1811            | 1,9685   | -0,0004   | -0,0004 | -0,0003  | 0,0008                          | 0,0002  | 0,0008                            | 0,0004 | 0,0003  | 0,0003                                | 0,0003   | 0,0003   |
| 50,000            | 80,000   | -0,013  | -0,011  | -0,009   | 0,025                           | 0,006   | 0,025                             | 0,013  | 0,008   | 0,010                                 | 0,0004   | 0,0003   |
| 1,9685            | 3,1496   | -0,0005   | -0,0004 | -0,0004  | 0,0010                          | 0,00024 | 0,0010                            | 0,0005 | 0,0003  | 0,0004                                | 0,0004   | 0,0003   |
| 80,000            | 120,000  | -0,015  | -0,013  | -0,010   | 0,025                           | 0,008   | 0,035                             | 0,018  | 0,010   | 0,011                                 | 0,0004   | 0,0004   |
| 3,1496            | 4,7244   | -0,0006   | -0,0005 | -0,0004  | 0,0010                          | 0,0003  | 0,0014                            | 0,0007 | 0,0004  | 0,0004                                | 0,0004   | 0,0004   |
| 120,000           | 150,000  | -0,018  | -0,015  | -0,011   | 0,030                           | 0,008   | 0,040                             | 0,020  | 0,011   | 0,013                                 | 0,0005   | 0,0004   |
| 4,7244            | 5,9055   | -0,0007   | -0,0006 | -0,0004  | 0,0012                          | 0,0003  | 0,0016                            | 0,0008 | 0,0004  | 0,0005                                | 0,0005   | 0,0004   |
| 150,000           | 180,000  | -0,025  | -0,018  | -0,013   | 0,030                           | 0,008   | 0,045                             | 0,023  | 0,013   | 0,014                                 | 0,0006   | 0,0004   |
| 5,9055            | 7,0866   | -0,0010   | -0,0007 | -0,0005  | 0,0012                          | 0,0003  | 0,0018                            | 0,0009 | 0,0005  | 0,0006                                | 0,0006   | 0,0004   |
| 180,000           | 250,000  | -0,030  | -0,020  | -0,015   | 0,030                           | 0,010   | 0,050                             | 0,025  | 0,015   | 0,015                                 | 0,0006   | 0,0004   |
| 7,0866            | 9,8425   | -0,0012   | -0,0008 | -0,0006  | 0,0012                          | 0,0004  | 0,0020                            | 0,0010 | 0,0006  | 0,0006                                | 0,0006   | 0,0004   |
| 250,000           | 315,000  | -0,035  | -0,025  | -0,018   | 0,035                           | 0,011   | 0,060                             | 0,030  | 0,018   | 0,018                                 | 0,0007   | 0,0005   |
| 9,8425            | 12,4016  | -0,0014   | -0,0010 | -0,0007  | 0,0014                          | 0,0004  | 0,0024                            | 0,0012 | 0,0007  | 0,0007                                | 0,0007   | 0,0005   |
| 315,000           | 400,000  | -0,040  | -0,028  | -0,020   | 0,040                           | 0,013   | 0,070                             | 0,035  | 0,020   | 0,020                                 | 0,0008   | 0,0005   |
| 12,4016           | 15,7480  | -0,0016   | -0,0011 | -0,0008  | 0,0016                          | 0,0005  | 0,0028                            | 0,0014 | 0,0008  | 0,0008                                | 0,0008   | 0,0005   |
| 400,000           | 500,000  | -0,045  | -0,033  | -0,023   | 0,045                           | 0,015   | 0,080                             | 0,040  | 0,023   | 0,023                                 | 0,0009   | 0,0006   |
| 15,7480           | 19,6850  | -0,0018   | -0,0013 | -0,0009  | 0,0018                          | 0,0006  | 0,0031                            | 0,0016 | 0,0009  | 0,0009                                | 0,0009   | 0,0006   |
| 500,000           | 630,000  | -0,050  | -0,038  | -0,028   | 0,050                           | 0,018   | 0,100                             | 0,050  | 0,025   | 0,025                                 | 0,0010   | 0,0007   |
| 19,6850           | 24,8031  | -0,0020   | -0,0015 | -0,0011  | 0,0020                          | 0,0007  | 0,0039                            | 0,0020 | 0,0010  | 0,0010                                | 0,0010   | 0,0007   |
| 630,000           | 800,000  | -0,075  | -0,045  | -0,035   | —                               | 0,020   | 0,120                             | 0,060  | 0,030   | 0,030                                 | 0,0012   | 0,0008   |
| 24,8031           | 31,4961  | -0,0030   | -0,0018 | -0,0014  | —                               | 0,0008  | 0,0047                            | 0,0024 | 0,0012  | 0,0012                                | 0,0012   | 0,0008   |
| 800,000           | 1000,000 | -0,100  | -0,060  | —        | —                               | —       | 0,140                             | 0,075  | —       | —                                     | —  | —  |
| 31,4961           | 39,3701  | -0,0040   | -0,0024 | —        | —                               | —       | 0,0055                            | 0,0030 | —       | —                                     | —  | —  |
| 1000,000          | 1250,000 | -0,125  | —       | —        | —                               | —       | 0,160                             | —      | —       | —                                     | —  | —  |
| 39,3701           | 49,2126  | -0,0050   | —       | —        | —                               | —       | 0,0063                            | —      | —       | —                                     | —  | —  |

<sup>(1)</sup>As definições dos símbolos estão nas páginas 32 e 33 do Manual de engenharia da Timken (nº do catálogo 10424).<sup>(2)</sup>A faixa de tolerância é de +0 até o valor indicado.

## MONTAGEM, ENCAIXE, AJUSTE E INSTALAÇÃO DO ROLAMENTO DE ROLOS CILÍNDRICOS

### MONTAGEM

Rolamentos de rolos cilíndricos podem ser montados individualmente, mas frequentemente são montados em combinação com outro rolamento de rolos cilíndricos, um rolamento autocompensador de rolos ou um rolamento de rolos cônicos.

A fig. 8 mostra um conjunto de roda de pulverizador em que um rolamento autocompensador de rolos de duas carreiras é montado combinado com um rolamento de rolos cilíndricos. Nessa aplicação, o rolamento de rolos cilíndricos permite que o eixo flutue em relação ao mancal.

A fig. 9 mostra um redutor de engrenagem de redução única com engrenagens espinha-de-peixe. Um rolamento de rolos cônicos é montado em combinação com um rolamento de rolos cilíndricos no eixo superior e dois rolamentos de rolos cilíndricos são montados no eixo inferior.

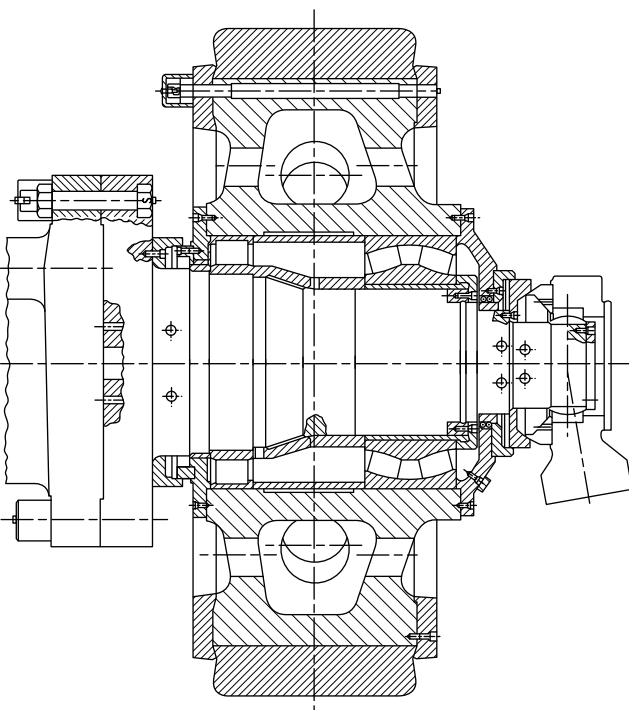


Fig. 8. Conjunto da roda do pulverizador.

### NORMA DE AJUSTE

As tabelas 6 a 18 nas páginas 22 a 39 indicam a norma de ajuste recomendada para rolamentos de rolos cilíndricos. As tabelas assumem que:

- O rolamento é de precisão normal.
- O mancal é espesso e fabricado em aço ou ferro fundido.
- O eixo é maciço e fabricado de aço.
- Os assentos dos rolamentos são retificados ou torneados com precisão, com acabamento melhor que  $1,6 \mu\text{m Ra}$ , aproximadamente.

Os símbolos de ajuste sugeridos estão de acordo com a ISO 286. Para obter ajuda em relação às normas de ajuste recomendadas, entre em contato com o seu representante Timken.

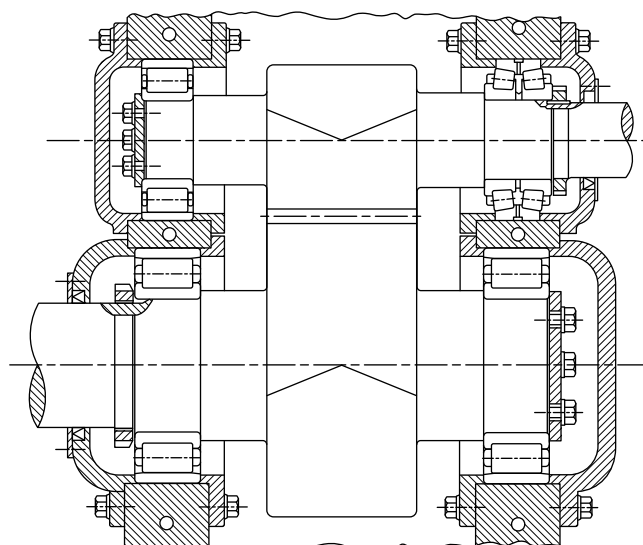


Fig. 9. Redutor de engrenagem de redução única.

#### ATENÇÃO

*A não observância das advertências a seguir pode criar um risco de morte ou acidentes pessoais graves.*

Normas de manutenção e de manuseio adequadas são vitais. Sempre siga as instruções de instalação e mantenha a lubrificação apropriada.

Nunca use ar comprimido para girar um rolamento.  
Os rolos podem ser expelidos à força.

Como orientação geral, anéis internos rotativos devem ser aplicados com ajuste de interferência. Ajustes frouxos podem permitir que os anéis internos se desloquem ou girem e desgastem o eixo e o ressalto de reforço. Esse desgaste pode resultar em folga excessiva do rolamento e possíveis danos ao rolamento e ao eixo. Além disso, partículas de metal abrasivas resultantes do deslocamento ou do giro podem entrar no rolamento e causar danos e vibração.

A norma de ajuste do anel interno estacionário depende da carga da aplicação. As condições de carga e as dimensões do conjunto do rolamento devem ser usadas para selecionar o ajuste do eixo sugerido nas tabelas.

De forma similar, aplicações de anel externo rotativo devem usar um ajuste de interferência entre o anel externo e o mancal.

Anéis externos estacionários geralmente são montados com ajustes folgados para permitir a montagem e a desmontagem.

Mancais de paredes finas, mancais de liga leve ou eixos ocos devem usar ajustes de pressão mais apertados que os exigidos para mancais com paredes espessas, mancais de aço ou ferro fundido ou eixos maciços. Ajustes mais apertados também são exigidos na montagem do rolamento em superfícies relativamente rugosas ou não retificadas.

## AJUSTE

Para obter a folga operacional apropriada, deve-se prestar atenção aos efeitos que a norma de ajuste e os gradientes térmicos têm no mancal.

## NORMA DE AJUSTE

- Um ajuste de interferência entre o anel interno e um eixo de aço maciço reduzirá a folga radial dentro do rolamento de aproximadamente 85 por cento do ajuste.
- Ajustes de interferência entre o anel externo e o mancal de aço ou ferro fundido reduzirão a folga radial de aproximadamente 60 por cento.

## GRADIENTES TÉRMICOS

- Os gradientes térmicos dentro do rolamento são uma função primária da velocidade de rotação do rolamento. À medida que a velocidade aumenta, os gradientes térmicos aumentam, ocorre expansão térmica e a folga radial é reduzida.
- Como regra norma, a folga radial deve ser maior para velocidades maiores que 70 por cento da taxa de velocidade.

Para obter ajuda na seleção da folga radial interna correta para a sua aplicação, consulte o seu representante Timken.

As tolerâncias de folga radial interna são indicadas na tabela 5.

Rolamentos de rolos cilíndricos são encomendados com um valor específico de folga interna radial padrão ou não padrão. As folgas internas radiais padrão são designadas C2, C0 (normal), C3, C4 ou C5 e estão de acordo com a ISO 5753. C2 representa a folga mínima e C5 representa a folga máxima. Valores não padronizados também estão disponíveis por encomenda.

A folga exigida para uma determinada aplicação depende da precisão operacional desejada, da velocidade de rotação do rolamento e da norma de ajuste usada. A maioria das aplicações usa uma folga normal ou C3. Normalmente, uma folga maior reduz a zona de carga operacional do rolamento, aumenta a carga máxima do rolo e reduz a vida útil esperada do rolamento. No entanto, um rolamento de rolos cilíndricos que tenha sido colocado em uma condição de pré-carga pode apresentar danos prematuros no rolamento causados por geração excessiva de calor e/ou fadiga do material. Como orientação geral, os rolamentos de rolos cilíndricos não devem operar em condição de pré-carga.

TABELA 5. LIMITES DE FOLGA RADIAL INTERNA – ROLAMENTOS DE ROLOS CILÍNDRICOS – FURO CILÍNDRICO

| Furo – RIC        |         |        |        |        |        |        |        |        |        |
|-------------------|---------|--------|--------|--------|--------|--------|--------|--------|--------|
| Furo do rolamento | C2      | C0     |        | C3     |        | C4     |        | C5     |        |
| Acima             | Incl.   | Mín.   | Máx.   | Mín.   | Máx.   | Mín.   | Máx.   | Mín.   | Máx.   |
| mm                | mm      | mm     | mm     | mm     | mm     | mm     | mm     | mm     | mm     |
| pol.              | pol.    | pol.   | pol.   | pol.   | pol.   | pol.   | pol.   | pol.   | pol.   |
| –                 | 10      | 0,000  | 0,025  | 0,020  | 0,0045 | 0,035  | 0,060  | 0,050  | 0,075  |
| –                 | 0,3937  | 0,0000 | 0,0010 | 0,0008 | 0,0018 | 0,0014 | 0,0024 | 0,0020 | 0,0030 |
| 10                | 24      | 0,000  | 0,025  | 0,020  | 0,0045 | 0,035  | 0,060  | 0,050  | 0,075  |
| 0,3937            | 0,9449  | 0,0000 | 0,0010 | 0,0008 | 0,0018 | 0,0014 | 0,0024 | 0,0020 | 0,0030 |
| 24                | 30      | 0,000  | 0,025  | 0,020  | 0,0045 | 0,035  | 0,060  | 0,050  | 0,075  |
| 0,9449            | 1,1811  | 0,0000 | 0,0010 | 0,0008 | 0,0018 | 0,0014 | 0,0024 | 0,0020 | 0,0030 |
| 30                | 40      | 0,005  | 0,030  | 0,025  | 0,050  | 0,0045 | 0,070  | 0,060  | 0,085  |
| 1,1811            | 1,5748  | 0,0002 | 0,0012 | 0,0010 | 0,0020 | 0,0018 | 0,0028 | 0,0024 | 0,0033 |
| 40                | 50      | 0,005  | 0,035  | 0,030  | 0,060  | 0,050  | 0,080  | 0,070  | 0,100  |
| 1,5748            | 1,9685  | 0,0002 | 0,0014 | 0,0012 | 0,0024 | 0,0020 | 0,0031 | 0,0028 | 0,0039 |
| 50                | 65      | 0,010  | 0,040  | 0,040  | 0,070  | 0,060  | 0,090  | 0,080  | 0,110  |
| 1,9685            | 2,5591  | 0,0004 | 0,0016 | 0,0016 | 0,0028 | 0,0024 | 0,0035 | 0,0031 | 0,0043 |
| 65                | 80      | 0,010  | 0,045  | 0,040  | 0,045  | 0,065  | 0,100  | 0,090  | 0,125  |
| 2,5591            | 3,1496  | 0,0004 | 0,0018 | 0,0016 | 0,0018 | 0,0026 | 0,0039 | 0,0035 | 0,0049 |
| 80                | 100     | 0,015  | 0,050  | 0,050  | 0,085  | 0,075  | 0,110  | 0,105  | 0,140  |
| 3,1496            | 3,9370  | 0,0006 | 0,0020 | 0,0020 | 0,0033 | 0,0030 | 0,0043 | 0,0041 | 0,0055 |
| 100               | 120     | 0,015  | 0,055  | 0,050  | 0,090  | 0,085  | 0,125  | 0,125  | 0,165  |
| 3,9370            | 4,7244  | 0,0006 | 0,0022 | 0,0020 | 0,0035 | 0,0033 | 0,0049 | 0,0049 | 0,0065 |
| 120               | 140     | 0,015  | 0,060  | 0,060  | 0,105  | 0,100  | 0,145  | 0,145  | 0,190  |
| 4,7244            | 5,5118  | 0,0006 | 0,0024 | 0,0024 | 0,0041 | 0,0039 | 0,0057 | 0,0057 | 0,0075 |
| 140               | 160     | 0,020  | 0,070  | 0,070  | 0,120  | 0,115  | 0,165  | 0,165  | 0,215  |
| 5,5118            | 6,2992  | 0,0008 | 0,0028 | 0,0028 | 0,0047 | 0,0045 | 0,0065 | 0,0065 | 0,0085 |
| 160               | 180     | 0,025  | 0,075  | 0,075  | 0,125  | 0,120  | 0,170  | 0,170  | 0,220  |
| 6,2992            | 7,0866  | 0,0010 | 0,0030 | 0,0030 | 0,0049 | 0,0047 | 0,0067 | 0,0067 | 0,0098 |
| 180               | 200     | 0,035  | 0,090  | 0,090  | 0,145  | 0,140  | 0,195  | 0,195  | 0,250  |
| 7,0866            | 7,8740  | 0,0014 | 0,0035 | 0,0035 | 0,0057 | 0,0055 | 0,0077 | 0,0077 | 0,0130 |
| 200               | 225     | 0,045  | 0,105  | 0,105  | 0,165  | 0,160  | 0,220  | 0,220  | 0,305  |
| 7,8740            | 8,8583  | 0,0018 | 0,0041 | 0,0041 | 0,0065 | 0,0063 | 0,0087 | 0,0087 | 0,0144 |
| 225               | 250     | 0,045  | 0,110  | 0,110  | 0,175  | 0,170  | 0,235  | 0,235  | 0,330  |
| 8,8583            | 9,8425  | 0,0018 | 0,0043 | 0,0043 | 0,0069 | 0,0067 | 0,0093 | 0,0093 | 0,0156 |
| 250               | 280     | 0,055  | 0,125  | 0,125  | 0,195  | 0,190  | 0,260  | 0,260  | 0,370  |
| 9,8425            | 11,0236 | 0,0022 | 0,0049 | 0,0049 | 0,0077 | 0,0075 | 0,0102 | 0,0102 | 0,0146 |
| 280               | 315     | 0,055  | 0,130  | 0,130  | 0,205  | 0,200  | 0,275  | 0,275  | 0,410  |
| 11,0236           | 12,4016 | 0,0022 | 0,0051 | 0,0051 | 0,0081 | 0,0079 | 0,0108 | 0,0108 | 0,0191 |
| 315               | 355     | 0,065  | 0,145  | 0,145  | 0,225  | 0,225  | 0,305  | 0,305  | 0,455  |
| 12,4016           | 13,9764 | 0,0026 | 0,0057 | 0,0057 | 0,0089 | 0,0089 | 0,0120 | 0,0120 | 0,0211 |
| 355               | 400     | 0,100  | 0,190  | 0,190  | 0,280  | 0,280  | 0,370  | 0,370  | 0,510  |
| 13,9764           | 15,7480 | 0,0039 | 0,0075 | 0,0075 | 0,0110 | 0,0110 | 0,0146 | 0,0146 | 0,0236 |
| 400               | 450     | 0,110  | 0,210  | 0,210  | 0,310  | 0,310  | 0,410  | 0,410  | 0,565  |
| 15,7480           | 17,7165 | 0,0043 | 0,0083 | 0,0083 | 0,0122 | 0,0122 | 0,0161 | 0,0161 | 0,0262 |
| 450               | 500     | 0,110  | 0,220  | 0,220  | 0,330  | 0,330  | 0,440  | 0,440  | 0,625  |
| 17,7165           | 19,6850 | 0,0043 | 0,0087 | 0,0087 | 0,0130 | 0,0130 | 0,0173 | 0,0173 | 0,0289 |
| 500               | 560     | 0,120  | 0,240  | 0,240  | 0,360  | 0,360  | 0,480  | 0,480  | 0,690  |
| 19,6850           | 22,0472 | 0,0047 | 0,0095 | 0,0095 | 0,0142 | 0,0142 | 0,0189 | 0,0189 | 0,0272 |
| 560               | 630     | 0,140  | 0,260  | 0,260  | 0,380  | 0,380  | 0,500  | 0,500  | 0,780  |
| 22,0472           | 24,8031 | 0,0055 | 0,0102 | 0,0102 | 0,0150 | 0,0150 | 0,0197 | 0,0197 | 0,0307 |
| 630               | 710     | 0,145  | 0,285  | 0,285  | 0,425  | 0,425  | 0,565  | 0,565  | 0,865  |
| 24,8031           | 27,9528 | 0,0057 | 0,0112 | 0,0112 | 0,0167 | 0,0167 | 0,0222 | 0,0222 | 0,0396 |
| 710               | 800     | 0,150  | 0,310  | 0,310  | 0,470  | 0,470  | 0,630  | 0,630  | 0,975  |
| 27,9528           | 31,4961 | 0,0059 | 0,0122 | 0,0122 | 0,0185 | 0,0185 | 0,0248 | 0,0248 | 0,0447 |
| 800               | 900     | 0,180  | 0,350  | 0,350  | 0,520  | 0,520  | 0,690  | 0,690  | 1,095  |
| 31,4961           | 35,4331 | 0,0071 | 0,0138 | 0,0138 | 0,0205 | 0,0205 | 0,0272 | 0,0272 | 1,265  |
| 900               | 1000    | 0,200  | 0,390  | 0,390  | 0,580  | 0,580  | 0,770  | 0,770  | 1,405  |
| 35,4331           | 39,3701 | 0,0079 | 0,0154 | 0,0154 | 0,0228 | 0,0228 | 0,0303 | 0,0303 | 0,0553 |

**Reduções da RIC do eixo e folga:**

Para um furo nominal de 150 mm e C3, a RIC será de 0,115 a 0,165 mm (0,0045 a 0,0035 pol). Recalculando a redução da RIC e a folga do ajuste de eixo:

$$\begin{aligned}\text{Folga máx.} &= \text{RIC máx.} - \text{Redução mín. do ajuste} \\ &= 0,165 - 0,034 = 0,131 \text{ mm (0,0052 pol.)}\end{aligned}$$

$$\begin{aligned}\text{Folga mín.} &= \text{RIC mín.} - \text{redução máx. do ajuste} \\ &= 0,115 - 0,074 = 0,041 \text{ mm (0,0016 pol.)}\end{aligned}$$

Como a folga mínima montada é agora maior que a RIC mínima sugerida de 0,056 mm (0,0022 pol), o limite da folga da RIC para C3 é aceitável.

## INSTALAÇÃO

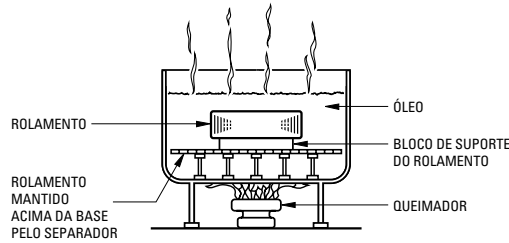
Ao usar um anel interno de ajuste com aperto, o método de montagem dependerá do furo do rolamento, se é cilíndrico ou côncico.

### Montagem de rolamentos de furo cilíndrico

#### Método de expansão térmica

- A maioria das aplicações exige ajuste com interferência no eixo.
- A montagem é simplificada pelo aquecimento do rolamento para expandi-lo o suficiente para que deslize com facilidade no eixo.
- Dois métodos de aquecimento são comumente usados:
  - Tanque de óleo aquecido.
  - Aquecimento por indução.
- O primeiro é realizado aquecendo o rolamento em um tanque de óleo com ponto de inflamação alto.
- Não se deve permitir que a temperatura do óleo exceda 121 °C (250 °F). A temperatura de 93 °C (200 °F) é suficiente para a maioria das aplicações.
- O rolamento deve ser aquecido por 20 ou 30 minutos ou até que tenha expandido o suficiente para deslizar com facilidade no eixo.
- O processo de aquecimento por indução pode ser usado para montagem de rolamentos.
- O aquecimento por indução é rápido. É necessário tomar cuidado para evitar que a temperatura do rolamento exceda 93 °C (200 °F).
- Geralmente são necessários testes com a unidade e o rolamento para obter a sincronização correta.
- Um termômetro de uso industrial pode ser usado para verificar a temperatura do rolamento.

- Enquanto estiver quente, o rolamento deve ser posicionado em ângulo reto em relação ao encosto.
- Arruelas de pressão, porcas de fixação ou placas de travamento são instaladas para manter o rolamento firme contra o encosto do eixo.
- À medida que o rolamento esfriar, a porca de fixação ou placa de travamento deve ser apertada.
- No caso de rotação do anel externo, onde o anel externo é montado no alojamento por interferência, o alojamento pode ser expandido por aquecimento.
- O banho de óleo é mostrado na Fig. 10. O rolamento não deve estar em contato direto com a fonte de calor.
- Normalmente é colocada uma tela vários centímetros acima do fundo do tanque. Pequenos blocos de apoio separam o rolamento da tela.
- É importante manter o rolamento afastado de qualquer fonte de calor muito intenso localizada que possa elevar demais a temperatura, resultando em redução da dureza do anel.



**Fig. 10. Método de expansão térmica.**

- Maçaricos são utilizados, mas não são recomendados. É recomendável utilizar um dispositivo automático para controle de temperatura.
- Se as normas de segurança impedirem o uso do banho de óleo aquecido em aberto, uma mistura de 15% de óleo solúvel e água pode ser usada. Essa mistura pode ser aquecida a no máximo 93 °C (200 °F) sem se tornar inflamável.

**Método de prensa manual**

- Um método alternativo de montagem, geralmente usado somente para rolamentos menores, é pressionar o rolamento no eixo ou mancal. Isso pode ser feito usando uma prensa manual e um tubo de montagem, como mostra a fig. 11.
- O tubo deve ser fabricado com aço doce com o diâmetro interno ligeiramente maior do que o eixo.
- O diâmetro externo do tubo não deve exceder o diâmetro do encosto do eixo indicado no Catálogo de rolamentos autocompensadores de rolos Timken® (nº do catálogo 10446), em [timken.com/catalogs](http://timken.com/catalogs).

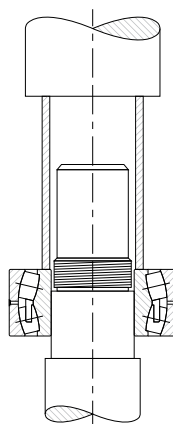


Fig. 11. Método de prensa manual.

- O tubo deve ser colocado perpendicularmente nas duas extremidades. Deve estar totalmente limpo por dentro e por fora e ser suficientemente longo para liberar o eixo depois da montagem do rolamento.
- Para pressionar o anel externo para dentro do mancal, o diâmetro externo do tubo de montagem deve ser ligeiramente menor do que o alojamento do mancal. O diâmetro do tubo não deve ser menor que o diâmetro do encosto do eixo sugerido na tabela de dimensões disponível no Catálogo de rolamentos autocompensadores de rolos Timken® (nº do catálogo 10446), em [timken.com/catalogs](http://timken.com/catalogs).
- Passe uma fina camada de óleo de máquina no eixo para reduzir a força necessária para um ajuste de pressão.
- Coloque o rolamento cuidadosamente no eixo, verificando se está perpendicular ao eixo.
- Aplique pressão firme no tubo da prensa para conduzir o rolamento com firmeza contra o ressalto.
- Nunca tente um ajuste de pressão em um eixo aplicando pressão no anel externo ou em um alojamento aplicando pressão no anel interno.

## AJUSTES DO EIXO E DO ALOJAMENTO

### ROLAMENTOS DE ROLOS CILÍNDRICOS

**TABELA 6. AJUSTES DO EIXO NOS ROLAMENTOS DE ROLOS CILÍNDRICOS (EXCETO SÉRIE 5200 E ROLAMENTOS DE ROLOS CILÍNDRICOS DE QUATRO CARREIRAS)**

| Limite de carga                                 |                  | Diâmetro do eixo |            | Tolerância do eixo     |
|---|------------------|------------------|------------|------------------------|
| Inferior  | Superior         | mm<br>pol.       | mm<br>pol. | Símbolo <sup>(1)</sup> |
| <b>ANEL INTERNO ESTACIONÁRIO</b>                |                  |                  |            |                        |
| 0   | C <sup>(2)</sup> | Todos            | Todos      | g6                     |
| 0   | C                | Todos            | Todos      | h6                     |
| <b>ROTAÇÃO DO ANEL INTERNO OU INDETERMINADO</b> |                  |                  |            |                        |
|   |                  | Acima            | Incl.      |                        |
| 0   | 0,08C            | 0                | 40         | k6 <sup>(3)</sup>      |
|   |                  | 0                | 1,57       |                        |
|   |                  | 40               | 140        | m6 <sup>(4)</sup>      |
|   |                  | 1,57             | 5,51       |                        |
|   |                  | 140              | 320        | n6                     |
|   |                  | 5,51             | 12,60      |                        |
|   |                  | 320              | 500        | p6                     |
|   |                  | 12,60            | 19,68      |                        |
|   |                  | 500              | —          | —                      |
|   |                  | 19,68            | —          |                        |
| 0,08C   | 0,18C            | 0                | 40         | k5                     |
|   |                  | 0                | 1,57       |                        |
|   |                  | 40               | 100        | m5                     |
|   |                  | 1,57             | 3,94       |                        |
|   |                  | 100              | 140        | m6                     |
|   |                  | 3,94             | 5,51       |                        |
|   |                  | 140              | 320        | n6                     |
|   |                  | 5,51             | 12,60      |                        |
|   |                  | 320              | 500        | p6                     |
|   |                  | 12,60            | 19,68      |                        |
| 0,18C   | C                | 500              | —          | r6                     |
|   |                  | 19,68            | —          |                        |
| <b>CARGAS AXIAIS</b>                            |                  |                  |            |                        |

Não recomendado, consulte seu engenheiro Timken.

<sup>(1)</sup>Para eixo maciço. Consulte os valores de tolerância nas páginas 24 a 29.

<sup>(2)</sup>C = capacidades de cargas dinâmica.

<sup>(3)</sup>Use k5 para aplicações de alta precisão.

<sup>(4)</sup>Use m5 para aplicações de alta precisão.

<sup>(5)</sup>Devem ser usados rolamentos com folga maior que a nominal.

**TABELA 7. EIXOS DE ROLAMENTOS DE ROLOS CILÍNDRICOS DE QUATRO CARREIRAS**

| Limite de carga |          | Diâmetro do eixo |            | Tolerância do eixo     |
|-----------------|----------|------------------|------------|------------------------|
| Inferior        | Superior | mm<br>pol.       | mm<br>pol. | Símbolo <sup>(1)</sup> |
| Todos           | 100      | 120              |            | n6                     |
|                 | 3,93     | 4,72             |            |                        |
|                 | 120      | 225              |            | p6                     |
|                 | 4,72     | 8,85             |            |                        |
| Todos           | 225      | 400              |            | r6                     |
|                 | 8,85     | 15,75            |            |                        |
|                 | 400      | —                |            | s6                     |
|                 | 15,75    | —                |            |                        |

<sup>(1)</sup>Para eixo maciço. Consulte os valores de tolerância nas páginas 24 a 29.

**TABELA 8. AJUSTE DO MANCAL DE ROLAMENTO DE ROLOS CILÍNDRICOS**

|   | Condições operacionais  | Exemplos  | Símbolo da tolerância do alojamento <sup>(1)</sup> | O anel externo pode ser ter deslocamento axial |
|---|---|---|--|--|
| <b>ANEL EXTERNO ROTATIVO</b>  |   |   |  |  |
|   | Cargas elevadas com mancais de paredes finas                              | Rodas de suporte de guindaste<br>Cubos de roda (rolamentos de rolos)<br>Rolamentos de manivelas | P6   | Não  |
|   | Cargas normais a pesadas  | Cubos de roda (rolamentos de esferas)<br>Rolamentos de manivelas                                | N6   | Não  |
|   | Cargas leves  | Cilindros de transportadores<br>Polias de cordas<br>Polias de tensão                            | M6   | Não  |
| <b>DIREÇÃO DA CARGA INDETERMINADA</b>   |   |   |  |  |
|   | Cargas de impacto pesadas   | Motores elétricos de tração   | M7   | Não  |
|   | Cargas normais a pesadas, deslocamento axial do anel externo não exigido. | Motores elétricos<br>Bombas<br>Rolamentos principais do virabrequim                             | K6   | Não, normalmente                               |
| <b>Abaixo desta linha, o mancal pode ser de peça única ou bipartido. Acima desta linha, não é sugerido um mancal bipartido.</b> | Cargas leves a normais, deslocamento axial do anel externo desejado.      | Motores elétricos<br>Bombas<br>Rolamentos principais do virabrequim                             | J6   | Sim, normalmente                               |
| <b>ANEL EXTERNO ESTACIONÁRIO</b>  |   |   |  |  |
|   | Cargas de impacto, descarga completa temporária                           | Veículos ferroviários de carga  | J6   | Sim, normalmente                               |
| Todos   | Mancal de peça única  | Aplicações gerais<br>Veículos ferroviários de carga   | H6   | Facilmente                                     |
|   | Mancal bipartido  | Acionamentos de transmissão   | H7   | Facilmente                                     |
|   | Calor fornecido através do eixo   | Cilindros de secadoras  | G7   | Facilmente                                     |

<sup>(1)</sup>Mancal de aço ou ferro fundido. Consulte os valores numéricos nas páginas 30 a 37. Quando forem permitidas tolerâncias maiores, os valores P7, N7, M7, K7, J7 e H7 podem ser usadas em vez dos valores P6, N6, M6, K6, J6 e H6, respectivamente.

Estas tabelas são orientações para a especificação de ajustes de eixo e mancal relacionados a condições particulares de operação.

## ROLAMENTOS RADIAIS DE ESFERAS, AUTOCOMPENSADORES DE ROLOS E DE ROLOS CILÍNDRICOS

### TOLERÂNCIAS DO EIXO

**TABELA 9. TOLERÂNCIAS DO EIXO DE ROLAMENTOS RADIAIS DE ESFERAS, AUTOCOMPENSADORES E DE ROLOS CILÍNDRICOS**

| Furo do rolamento          |                                 |                        | g6                       |                          |   | h6                       |                          |  | h5                       |                          |  | j5                       |                          |   |
|----------------------------|---------------------------------|------------------------|--------------------------|--------------------------|---|--------------------------|--------------------------|--|--------------------------|--------------------------|--|--------------------------|--------------------------|---|
| Tolerância (máx.)<br>Acima | Incl.<br>Nominal <sup>(1)</sup> | Nominal <sup>(1)</sup> | Diâmetro do eixo<br>Máx. | Diâmetro do eixo<br>Mín. | Ajuste                                  | Diâmetro do eixo<br>Máx. | Diâmetro do eixo<br>Mín. | Ajuste                                 | Diâmetro do eixo<br>Máx. | Diâmetro do eixo<br>Mín. | Ajuste                                 | Diâmetro do eixo<br>Máx. | Diâmetro do eixo<br>Mín. | Ajuste                                  |
| mm<br>pol.                 | mm<br>pol.                      | mm<br>pol.             | mm<br>pol.               | mm<br>pol.               | mm<br>pol.                              | mm<br>pol.               | mm<br>pol.               | mm<br>pol.                             | mm<br>pol.               | mm<br>pol.               | mm<br>pol.                             | mm<br>pol.               | mm<br>pol.               | mm<br>pol.                              |
| 3,000<br>0,1181            | 6,000<br>0,2362                 | -0,008<br>-0,003       | -0,004<br>-0,0002        | -0,012<br>-0,0005        | 0,012L<br>0,004T<br>0,0005L<br>0,0001T  | 0,000<br>0,0000          | -0,008<br>-0,003         | 0,008L<br>0,008T<br>0,0003L<br>0,0003T | 0,000<br>0,0000          | -0,005<br>-0,0002        | 0,005L<br>0,008T<br>0,0002L<br>0,0003T | +0,003<br>+0,0001        | -0,002<br>-0,0001        | 0,002L<br>0,011T<br>0,0001L<br>0,0004T  |
| 6,000<br>0,2362            | 10,000<br>0,3937                | -0,008<br>-0,003       | -0,005<br>-0,0002        | -0,014<br>-0,0006        | 0,014L<br>0,003T<br>0,0006L<br>0,0001T  | 0,000<br>0,0000          | -0,009<br>-0,0004        | 0,009L<br>0,008T<br>0,0004L<br>0,0003T | 0,000<br>0,0000          | -0,006<br>-0,0002        | 0,006L<br>0,008T<br>0,0002L<br>0,0003T | +0,004<br>+0,0002        | -0,002<br>-0,0001        | 0,002L<br>0,012T<br>0,0001L<br>-0,0005T |
| 10,000<br>0,3937           | 18,000<br>0,7087                | -0,008<br>-0,003       | -0,006<br>-0,0002        | -0,017<br>-0,0007        | 0,017L<br>0,002T<br>0,0007L<br>-0,0001T | 0,000<br>0,0000          | -0,011<br>-0,0004        | 0,011L<br>0,008T<br>0,0004L<br>0,0003T | 0,000<br>0,0000          | -0,008<br>-0,0003        | 0,008L<br>0,008T<br>0,0003L<br>0,0003T | +0,005<br>+0,0002        | -0,003<br>-0,0001        | 0,003L<br>0,013T<br>0,0001L<br>0,0005T  |
| 18,000<br>0,7087           | 30,000<br>1,1811                | -0,010<br>-0,0004      | -0,007<br>-0,0003        | -0,020<br>-0,0008        | 0,020L<br>0,003T<br>0,0008L<br>0,0001T  | 0,000<br>0,0000          | -0,013<br>-0,0005        | 0,013L<br>0,010T<br>0,0005L<br>0,0004T | —                        | —                        | —                                      | +0,005<br>+0,0002        | -0,004<br>-0,0002        | 0,004L<br>0,015T<br>0,0002L<br>0,0006T  |
| 30,000<br>1,1811           | 50,000<br>1,9685                | -0,014<br>-0,0006      | -0,009<br>-0,0004        | -0,025<br>-0,0010        | 0,025L<br>0,003T<br>0,0010L<br>0,0001T  | 0,000<br>0,0000          | -0,016<br>-0,0006        | 0,016L<br>0,012T<br>0,0006L<br>0,0005T | —                        | —                        | —                                      | +0,006<br>+0,0002        | -0,005<br>-0,0002        | 0,005L<br>0,018T<br>0,0002L<br>0,0007T  |
| 50,000<br>1,9685           | 80,000<br>3,1496                | -0,015<br>-0,0006      | -0,010<br>-0,0004        | -0,029<br>-0,0011        | 0,029L<br>0,005T<br>0,0011L<br>0,0002T  | 0,000<br>0,0000          | -0,019<br>-0,0007        | 0,019L<br>0,015T<br>0,0007L<br>0,0006T | —                        | —                        | —                                      | +0,006<br>+0,0002        | -0,007<br>-0,0003        | 0,007L<br>0,021T<br>0,0003L<br>0,0008T  |
| 80,000<br>3,1496           | 120,000<br>4,7244               | -0,020<br>-0,0008      | -0,012<br>-0,0005        | -0,034<br>-0,0013        | 0,034L<br>0,008T<br>0,0013L<br>0,0003T  | 0,000<br>0,0000          | -0,022<br>-0,0009        | 0,022L<br>0,020T<br>0,0009L<br>0,0008T | —                        | —                        | —                                      | +0,006<br>+0,0002        | -0,009<br>-0,0004        | 0,009L<br>0,026T<br>0,0004L<br>0,0010T  |
| 120,000<br>4,7244          | 180,000<br>7,0866               | -0,025<br>-0,0010      | -0,014<br>-0,0006        | -0,039<br>-0,0015        | 0,039L<br>0,011T<br>0,0015L<br>0,0004T  | 0,000<br>0,0000          | -0,025<br>-0,0010        | 0,025L<br>0,025T<br>0,0010L<br>0,0010T | —                        | —                        | —                                      | +0,007<br>+0,0003        | -0,011<br>-0,0004        | 0,011L<br>0,032T<br>0,0004L<br>0,0013T  |
| 180,000<br>7,0866          | 200,000<br>7,8740               | -0,030<br>-0,0012      | -0,015<br>-0,0006        | -0,044<br>-0,0017        | 0,044T<br>0,015T<br>0,0017L<br>0,0006T  | 0,000<br>0,0000          | -0,029<br>-0,0011        | 0,029L<br>0,030T<br>0,0011L<br>0,0012T | —                        | —                        | —                                      | +0,007<br>+0,0003        | -0,013<br>-0,0005        | 0,013L<br>0,037T<br>0,0005L<br>0,0015T  |
| 200,000<br>7,8740          | 225,000<br>8,8583               | -0,030<br>-0,0012      | -0,015<br>-0,0006        | -0,044<br>-0,0017        | 0,044T<br>0,015T<br>0,0017L<br>0,0006T  | 0,000<br>0,0000          | -0,029<br>-0,0011        | 0,029L<br>0,030T<br>0,0011L<br>0,0012T | —                        | —                        | —                                      | +0,007<br>+0,0003        | -0,013<br>-0,0005        | 0,013L<br>0,037T<br>0,0005L<br>0,0015T  |
| 225,000<br>8,8583          | 250,000<br>9,8425               | -0,030<br>-0,0012      | -0,015<br>-0,0006        | -0,044<br>-0,0017        | 0,044T<br>0,015T<br>0,0017L<br>0,0006T  | 0,000<br>0,0000          | -0,029<br>-0,0011        | 0,029L<br>0,030T<br>0,0011L<br>0,0012T | —                        | —                        | —                                      | +0,007<br>+0,0003        | -0,013<br>-0,0005        | 0,013L<br>0,037T<br>0,0005L<br>0,0015T  |
| 250,000<br>9,8425          | 280,000<br>11,0236              | -0,035<br>-0,0014      | -0,017<br>-0,0007        | -0,049<br>-0,0019        | 0,049L<br>0,018T<br>0,0019L<br>0,0007T  | 0,000<br>0,0000          | -0,032<br>-0,0013        | 0,032L<br>0,035T<br>0,0013L<br>0,0014T | —                        | —                        | —                                      | +0,007<br>+0,0003        | -0,016<br>-0,0006        | 0,016L<br>0,042T<br>0,0006L<br>0,0017T  |
| 280,000<br>11,0236         | 315,000<br>12,4016              | -0,035<br>-0,0014      | -0,017<br>-0,0007        | -0,049<br>-0,0019        | 0,049L<br>0,018T<br>0,0019L<br>0,0007T  | 0,000<br>0,0000          | -0,032<br>-0,0013        | 0,032L<br>0,035T<br>0,0013L<br>0,0014T | —                        | —                        | —                                      | +0,007<br>+0,0003        | -0,016<br>-0,0006        | 0,016L<br>0,042T<br>0,0006L<br>0,0017T  |

NOTA: A tolerância e os diâmetros do eixo são mostrados na tabela como variações do furo nominal do rolamento.

<sup>(1)</sup>A faixa de tolerância é de +0 até o valor indicado.

Estas tabelas são orientações para a especificação de ajustes de eixo e mancal relacionados a condições particulares de operação.

| j6                |                   |   | k5                |                   |  | k6                |                   |  | m5                |                   |   |
|-------------------|-------------------|---|-------------------|-------------------|--|-------------------|-------------------|--|-------------------|-------------------|---|
| Diâmetro do eixo  |                   | Ajuste                                  | Diâmetro do eixo  |                   | Ajuste                                 | Diâmetro do eixo  |                   | Ajuste                                 | Diâmetro do eixo  |                   | Ajuste                                  |
| Máx.              | Mín.              |   | Máx.              | Mín.              |  | Máx.              | Mín.              |  | Máx.              | Mín.              |   |
| mm                | pol.              | mm                                      | mm                | pol.              | mm                                     | mm                | pol.              | mm                                     | mm                | pol.              | mm                                      |
| +0,006<br>+0,0002 | -0,002<br>-0,0001 | 0,002L<br>0,014T<br>0,0001L<br>0,0005T  | +0,006<br>+0,0002 | +0,001<br>+0,0000 | 0,001T<br>0,014T<br>0,0000T<br>0,0005T | —                 | —                 | —                                      | +0,009<br>+0,0004 | +0,004<br>+0,0002 | 0,004T<br>0,017T<br>0,0002T<br>0,0007T  |
| +0,007<br>+0,0003 | -0,002<br>-0,0001 | 0,002L<br>0,015T<br>0,0001L<br>0,0006T  | +0,007<br>+0,0003 | +0,001<br>+0,0000 | 0,001T<br>0,015T<br>0,0000T<br>0,0006T | —                 | —                 | —                                      | +0,012<br>+0,0005 | +0,006<br>+0,0002 | 0,006T<br>0,020T<br>0,0002T<br>0,0008T  |
| +0,008<br>+0,0003 | -0,003<br>-0,0001 | 0,003L<br>0,016T<br>0,0001L<br>0,0006T  | +0,009<br>+0,0004 | +0,001<br>+0,0000 | 0,001T<br>0,017T<br>0,0000T<br>0,0007T | —                 | —                 | —                                      | +0,015<br>+0,0006 | +0,007<br>+0,0003 | 0,007T<br>0,023T<br>0,0003T<br>0,0009T  |
| +0,009<br>+0,0004 | -0,004<br>-0,0002 | 0,004L<br>0,019T<br>0,0002L<br>0,0008T  | +0,011<br>+0,0004 | +0,002<br>+0,0001 | 0,002T<br>0,021T<br>0,0001T<br>0,0008T | —                 | —                 | —                                      | +0,017<br>+0,0007 | +0,008<br>+0,0003 | 0,008T<br>0,027T<br>0,0003T<br>0,0011T  |
| +0,011<br>+0,0004 | -0,005<br>-0,0002 | 0,005L<br>0,023T<br>0,0002L<br>0,00085T | +0,013<br>+0,0005 | +0,002<br>+0,0001 | 0,002T<br>0,025T<br>0,0001T<br>0,0010T | +0,018<br>+0,0007 | +0,002<br>+0,0001 | 0,002T<br>0,030T<br>0,0001T<br>0,0012T | +0,020<br>+0,0008 | +0,009<br>+0,0004 | 0,009T<br>0,032T<br>0,0004T<br>0,00125T |
| +0,012<br>+0,0005 | -0,007<br>-0,0003 | 0,007L<br>0,027T<br>0,0003L<br>0,0011T  | +0,015<br>+0,0006 | +0,002<br>+0,0001 | 0,002T<br>0,030T<br>0,0001T<br>0,0012T | +0,021<br>+0,0008 | +0,002<br>+0,0001 | 0,002T<br>0,036T<br>0,0001T<br>0,0014T | +0,024<br>+0,0009 | +0,011<br>+0,0004 | 0,011T<br>0,039T<br>0,0004T<br>0,0015T  |
| +0,013<br>+0,0005 | -0,009<br>-0,0004 | 0,009L<br>0,033T<br>0,0004L<br>0,0013T  | +0,018<br>+0,0007 | +0,003<br>+0,0001 | 0,003T<br>0,038T<br>0,0001T<br>0,0015T | +0,025<br>+0,0010 | +0,003<br>+0,0001 | 0,003T<br>0,045T<br>0,0001T<br>0,0018T | +0,028<br>+0,0011 | +0,013<br>+0,0005 | 0,013T<br>0,048T<br>0,0005T<br>0,0019T  |
| +0,014<br>+0,0006 | -0,011<br>-0,0004 | 0,011L<br>0,039T<br>0,0004L<br>0,0016T  | +0,021<br>+0,0008 | +0,003<br>+0,0001 | 0,003T<br>0,046T<br>0,0001T<br>0,0018T | +0,028<br>+0,0011 | +0,003<br>+0,0001 | 0,003T<br>0,053T<br>0,0001T<br>0,0021T | +0,033<br>+0,0013 | +0,015<br>+0,0006 | 0,015T<br>0,058T<br>0,0006T<br>0,0023T  |
| +0,016<br>+0,0006 | -0,013<br>-0,0005 | 0,013L<br>0,046T<br>0,0005L<br>0,0018T  | +0,024<br>+0,0009 | +0,004<br>+0,0002 | 0,004T<br>0,054T<br>0,0002T<br>0,0021T | —                 | —                 | —                                      | +0,037<br>+0,0015 | +0,017<br>+0,0007 | 0,017T<br>0,067T<br>0,0007T<br>0,0027T  |
| +0,016<br>+0,0006 | -0,013<br>-0,0005 | 0,013L<br>0,046T<br>0,0005L<br>0,0018T  | +0,024<br>+0,0009 | +0,004<br>+0,0002 | 0,004T<br>0,054T<br>0,0002T<br>0,0021T | —                 | —                 | —                                      | +0,037<br>+0,0015 | +0,017<br>+0,0007 | 0,017T<br>0,067T<br>0,0007T<br>0,0027T  |
| +0,016<br>+0,0006 | -0,013<br>-0,0005 | 0,013L<br>0,046T<br>0,0005L<br>0,0018T  | +0,024<br>+0,0009 | +0,004<br>+0,0002 | 0,004T<br>0,054T<br>0,0002T<br>0,0021T | —                 | —                 | —                                      | +0,037<br>+0,0015 | +0,017<br>+0,0007 | 0,017T<br>0,067T<br>0,0007T<br>0,0027T  |
| +0,016<br>+0,0006 | -0,016<br>-0,0006 | 0,016L<br>0,051T<br>0,0006L<br>0,0020T  | +0,027<br>+0,0011 | +0,004<br>+0,0002 | 0,004T<br>0,062T<br>0,0002T<br>0,0025T | —                 | —                 | —                                      | +0,043<br>+0,0017 | +0,020<br>+0,0008 | 0,020T<br>0,078T<br>0,0008T<br>0,0031T  |
| +0,016<br>+0,0006 | -0,016<br>-0,0006 | 0,016L<br>0,051T<br>0,0006L<br>0,0020T  | +0,027<br>+0,0011 | +0,004<br>+0,0002 | 0,004T<br>0,062T<br>0,0002T<br>0,0025T | —                 | —                 | —                                      | +0,043<br>+0,0017 | +0,020<br>+0,0008 | 0,020T<br>0,078T<br>0,0008T<br>0,0031T  |

Continua na próxima página.

## AJUSTES DO EIXO E DO ALOJAMENTO

Estas tabelas são orientações para a especificação de ajustes de eixo e mancal relacionados a condições particulares de operação.

Tabela 9. continuação.

| Furo do rolamento          |                                 |                        | g6                       |                   |  | h6                       |                   |  | h5                       |            |            | j5                       |                   |  |
|----------------------------|---------------------------------|------------------------|--------------------------|-------------------|--|--------------------------|-------------------|--|--------------------------|------------|------------|--------------------------|-------------------|--|
| Tolerância (máx.)<br>Acima | Incl.<br>Nominal <sup>(1)</sup> | Nominal <sup>(1)</sup> | Diâmetro do eixo<br>Máx. | Mín.              | Ajuste                                 | Diâmetro do eixo<br>Máx. | Mín.              | Ajuste                                 | Diâmetro do eixo<br>Máx. | Mín.       | Ajuste     | Diâmetro do eixo<br>Máx. | Mín.              | Ajuste                                 |
| mm<br>pol.                 | mm<br>pol.                      | mm<br>pol.             | mm<br>pol.               | mm<br>pol.        | mm<br>pol.                             | mm<br>pol.               | mm<br>pol.        | mm<br>pol.                             | mm<br>pol.               | mm<br>pol. | mm<br>pol. | mm<br>pol.               | mm<br>pol.        | mm<br>pol.                             |
| 315,000<br>12,4016         | 355,000<br>13,9764              | -0,040<br>-0,0016      | -0,018<br>-0,0007        | -0,054<br>-0,0021 | 0,054L<br>0,022T<br>0,0021L<br>0,0009T | 0,000<br>0,0000          | -0,036<br>-0,0014 | 0,036L<br>0,040T<br>0,0014L<br>0,0016T | -                        | -          | -          | +0,007<br>+0,0003        | -0,018<br>-0,0007 | 0,018L<br>0,047T<br>0,0007L<br>0,0019T |
| 355,000<br>13,9764         | 400,000<br>15,7480              | -0,040<br>-0,0016      | -0,018<br>-0,0007        | -0,054<br>-0,0021 | 0,054L<br>0,022T<br>0,0021L<br>0,0009T | 0,000<br>0,0000          | -0,036<br>-0,0014 | 0,036L<br>0,040T<br>0,0014L<br>0,0016T | -                        | -          | -          | +0,007<br>+0,0003        | -0,018<br>-0,0007 | 0,018L<br>0,047T<br>0,0007L<br>0,0019T |
| 400,000<br>15,7480         | 450,000<br>17,7165              | -0,045<br>-0,0018      | -0,020<br>-0,0008        | -0,060<br>-0,0024 | 0,060L<br>0,025T<br>0,0024L<br>0,0010T | 0,000<br>0,0000          | -0,040<br>-0,0016 | 0,040L<br>0,045T<br>0,0016L<br>0,0018T | -                        | -          | -          | +0,007<br>+0,0003        | -0,020<br>-0,0008 | 0,020L<br>0,052T<br>0,0008L<br>0,0021T |
| 450,000<br>17,7165         | 500,000<br>19,6850              | -0,045<br>-0,0018      | -0,020<br>-0,0008        | -0,060<br>-0,0024 | 0,060L<br>0,025T<br>0,0024L<br>0,0010T | 0,000<br>0,0000          | -0,040<br>-0,0016 | 0,040L<br>0,045T<br>0,0016L<br>0,0018T | -                        | -          | -          | +0,007<br>+0,0003        | -0,020<br>-0,0008 | 0,020L<br>0,052T<br>0,0008L<br>0,0020T |
| 500,000<br>19,6850         | 560,000<br>22,0472              | -0,050<br>-0,0020      | -0,022<br>-0,0009        | -0,066<br>-0,0026 | 0,066L<br>0,028T<br>0,0026L<br>0,0011T | 0,000<br>0,0000          | -0,044<br>-0,0017 | 0,044L<br>0,050T<br>0,0017L<br>0,0020T | -                        | -          | -          | +0,008<br>0,0003         | -0,022<br>-0,0009 | 0,022L<br>0,058T<br>0,0009L<br>0,0023T |
| 560,000<br>22,0472         | 630,000<br>24,8032              | -0,050<br>-0,0020      | -0,022<br>-0,0009        | -0,066<br>-0,0026 | 0,066L<br>0,028T<br>0,0026L<br>0,0011T | 0,000<br>0,0000          | -0,044<br>-0,0017 | 0,044L<br>0,050T<br>0,0017L<br>0,0020T | -                        | -          | -          | +0,008<br>+0,0003        | -0,022<br>-0,0009 | 0,022L<br>0,058T<br>0,0009L<br>0,0023T |
| 630,000<br>24,8032         | 710,000<br>27,9528              | -0,075<br>-0,0030      | -0,024<br>-0,0009        | -0,074<br>-0,0029 | 0,074L<br>0,051T<br>0,0029L<br>0,0021T | 0,000<br>0,0000          | -0,050<br>-0,0020 | 0,050L<br>0,075T<br>0,0020L<br>0,0030T | -                        | -          | -          | +0,010<br>+0,0004        | -0,025<br>-0,0010 | 0,025L<br>0,085T<br>0,0010L<br>0,0035T |
| 710,000<br>27,9528         | 800,000<br>31,4961              | -0,075<br>-0,0030      | -0,024<br>-0,0009        | -0,074<br>-0,0029 | 0,074L<br>0,051T<br>0,0029L<br>0,0021T | 0,000<br>0,0000          | -0,050<br>-0,0020 | 0,050L<br>0,075T<br>0,0020L<br>0,0030T | -                        | -          | -          | +0,010<br>+0,0004        | -0,025<br>-0,0010 | 0,025L<br>0,085T<br>0,0010L<br>0,0035T |
| 800,000<br>31,4961         | 900,000<br>35,4331              | -0,100<br>-0,0039      | -0,026<br>-0,0010        | -0,082<br>-0,0032 | 0,082L<br>0,074T<br>0,0032L<br>0,0029T | 0,000<br>0,0000          | -0,056<br>-0,0022 | 0,056L<br>0,100T<br>0,0022L<br>0,0039T | -                        | -          | -          | +0,012<br>+0,0005        | -0,028<br>-0,0011 | 0,028L<br>0,112T<br>0,0011L<br>0,0044T |
| 900,000<br>35,4331         | 1000,000<br>39,3701             | -0,100<br>-0,0039      | -0,026<br>-0,0010        | -0,082<br>-0,0032 | 0,082L<br>0,074T<br>0,0032L<br>0,0029T | 0,000<br>0,0000          | -0,056<br>-0,0022 | 0,056L<br>0,100T<br>0,0022L<br>0,0039T | -                        | -          | -          | +0,012<br>+0,0005        | -0,028<br>-0,0011 | 0,028L<br>0,112T<br>0,0011L<br>0,0044T |
| 1000,000<br>39,3701        | 1120,000<br>44,0945             | -0,125<br>-0,0049      | -0,028<br>-0,0011        | -0,094<br>-0,0037 | 0,094L<br>0,097T<br>0,0037L<br>0,0038T | 0,000<br>0,0000          | -0,066<br>-0,0026 | 0,066L<br>0,125T<br>0,0022L<br>0,0039T | -                        | -          | -          | +0,013<br>+0,0005        | -0,033<br>-0,0013 | 0,033L<br>0,138T<br>0,0013L<br>0,0054T |
| 1120,000<br>44,0945        | 1250,000<br>49,2126             | -0,125<br>-0,0049      | -0,028<br>-0,0011        | -0,094<br>-0,0037 | 0,094L<br>0,097T<br>0,0037L<br>0,0038T | 0,000<br>0,0000          | -0,066<br>-0,0026 | 0,066L<br>0,125T<br>0,0022L<br>0,0039T | -                        | -          | -          | +0,013<br>+0,0005        | -0,033<br>-0,0013 | 0,033L<br>0,138T<br>0,0013L<br>0,0054T |

NOTA: A tolerância e os diâmetros do eixo são mostrados na tabela como variações do furo nominal do rolamento.

<sup>(1)</sup>A faixa de tolerância é de +0 até o valor indicado.

## AJUSTES DO EIXO E DO ALOJAMENTO

Estas tabelas são orientações para a especificação de ajustes de eixo e mancal relacionados a condições particulares de operação.

| j6                |                   |  | k5                |                   |  | k6               |      |        | m5                |                    |  |
|-------------------|-------------------|--|-------------------|-------------------|--|------------------|------|--------|-------------------|--------------------|--|
| Diâmetro do eixo  |                   | Ajuste                                 | Diâmetro do eixo  |                   | Ajuste                                 | Diâmetro do eixo |      | Ajuste | Diâmetro do eixo  |                    | Ajuste                                 |
| Máx.              | Mín.              |  | Máx.              | Mín.              |  | Máx.             | Mín. |        | Máx.              | Mín.               |  |
| mm                | pol.              | mm                                     | mm                | pol.              | mm                                     | mm               | pol. | mm     | mm                | pol.               | mm                                     |
| +0,018<br>+0,0007 | -0,018<br>-0,0007 | 0,018L<br>0,058T<br>0,0007L<br>0,0023T | +0,029<br>+0,0011 | +0,046<br>+0,0002 | 0,004T<br>0,069T<br>0,0002T<br>0,0027T | —                | —    | —      | +0,046<br>+0,0018 | +0,021<br>+0,0008  | 0,021T<br>0,086T<br>0,0008T<br>0,0034T |
| +0,018<br>+0,0007 | -0,018<br>-0,0007 | 0,018L<br>0,058T<br>0,0007L<br>0,0023T | +0,029<br>+0,0011 | +0,004<br>+0,0002 | 0,004T<br>0,069T<br>0,0002T<br>0,0027T | —                | —    | —      | +0,046<br>+0,0018 | +0,021<br>+0,0008  | 0,021T<br>0,086T<br>0,0008T<br>0,0034T |
| +0,020<br>+0,0008 | -0,020<br>-0,0008 | 0,020L<br>0,065T<br>0,0008L<br>0,0026T | +0,032<br>+0,0013 | +0,005<br>+0,0002 | 0,005T<br>0,077T<br>0,0002T<br>0,0031T | —                | —    | —      | +0,050<br>+0,0020 | +0,023<br>+0,0009  | 0,023T<br>0,095T<br>0,0009T<br>0,0037T |
| +0,020<br>+0,0008 | -0,020<br>-0,0008 | 0,020L<br>0,065T<br>0,0008L<br>0,0026T | +0,032<br>+0,0013 | +0,005<br>+0,0002 | 0,005T<br>0,077T<br>0,0002T<br>0,0031T | —                | —    | —      | +0,050<br>+0,0020 | +0,023<br>+0,0009  | 0,023T<br>0,095T<br>0,0009T<br>0,0037T |
| +0,022<br>+0,0009 | -0,022<br>-0,0009 | 0,022L<br>0,072T<br>0,0009L<br>0,0029T | +0,030<br>+0,0012 | 0,000<br>0,0000   | 0,00T<br>0,080T<br>0,0000T<br>0,0032T  | —                | —    | —      | +0,056<br>+0,0022 | +0,026<br>+0,0010  | 0,026T<br>0,106T<br>0,0010T<br>0,0042T |
| +0,022<br>+0,0009 | -0,022<br>-0,0009 | 0,022L<br>0,072T<br>0,0009L<br>0,0029T | +0,030<br>+0,0012 | 0,000<br>0,0000   | 0,00T<br>0,080T<br>0,0000T<br>0,0032T  | —                | —    | —      | +0,056<br>+0,0022 | +0,026<br>+0,0010  | 0,026T<br>0,106T<br>0,0010T<br>0,0042T |
| +0,025<br>+0,0010 | -0,025<br>-0,0010 | 0,025L<br>0,100T<br>0,0010L<br>0,0040T | +0,035<br>+0,0014 | 0,000<br>0,0000   | 0,000T<br>0,110T<br>0,0000T<br>0,0044T | —                | —    | —      | +0,065<br>+0,0026 | +0,030<br>+0,0012  | 0,030T<br>0,140T<br>0,0012T<br>0,0056T |
| +0,025<br>+0,0010 | -0,025<br>-0,0010 | 0,025L<br>0,100T<br>0,0010L<br>0,0040T | +0,035<br>+0,0014 | 0,000<br>0,0000   | 0,000T<br>0,110T<br>0,0000T<br>0,0044T | —                | —    | —      | +0,065<br>+0,0026 | +0,030<br>+0,0012  | 0,030T<br>0,140T<br>0,0012T<br>0,0056T |
| +0,025<br>+0,0010 | -0,025<br>-0,0010 | 0,028L<br>0,128T<br>0,0011L<br>0,0050L | +0,040<br>+0,0016 | 0,000<br>0,0000   | 0,000T<br>0,140T<br>0,0000T<br>0,0055T | —                | —    | —      | +0,074<br>+0,0029 | +0,0030<br>+0,0012 | 0,034T<br>0,174T<br>0,0012T<br>0,0056T |
| +0,028<br>+0,0011 | -0,028<br>-0,0011 | 0,028L<br>0,128T<br>0,0011L<br>0,0050T | +0,040<br>+0,0016 | 0,000<br>0,0000   | 0,000T<br>0,140T<br>0,0000T<br>0,0055T | —                | —    | —      | +0,074<br>+0,0029 | +0,034<br>+0,0013  | 0,034T<br>0,174T<br>0,0013T<br>0,0068T |
| +0,028<br>+0,0011 | -0,028<br>-0,0011 | 0,033L<br>0,158T<br>0,0013L<br>0,0062T | +0,046<br>+0,0018 | 0,000<br>0,0000   | 0,000T<br>0,171T<br>0,0000T<br>0,0067T | —                | —    | —      | +0,086<br>+0,0034 | +0,040<br>+0,0016  | 0,040T<br>0,211T<br>0,0016T<br>0,0083T |
| +0,033<br>+0,0013 | -0,033<br>-0,0013 | 0,033L<br>0,158T<br>0,0013L<br>0,0062T | +0,046<br>+0,0018 | 0,000<br>0,0000   | 0,000T<br>0,171T<br>0,0000T<br>0,0067T | —                | —    | —      | +0,086<br>+0,0034 | +0,040<br>+0,0016  | 0,040T<br>0,211T<br>0,0016T<br>0,0083T |

## AJUSTES DO EIXO E DO ALOJAMENTO

Estas tabelas são orientações para a especificação de ajustes de eixo e mancal relacionados a condições particulares de operação.

**TABELA 10. TOLERÂNCIAS DO EIXO DE ROLAMENTOS RADIAIS DE ESFERAS,  
AUTOCOMPENSADORES DE ROLOS E DE ROLOS CILÍNDRICOS**

| Furo do rolamento           |                                 |                   | m6                       |                   |                              | n6                       |                   |                              | p6                       |                   |                              | r6                       |                   |  | r7                       |                   |  |
|-----------------------------|---------------------------------|-------------------|--------------------------|-------------------|------------------------------|--------------------------|-------------------|------------------------------|--------------------------|-------------------|------------------------------|--------------------------|-------------------|--|--------------------------|-------------------|--|
| Tolerâncial (máx.)<br>Acima | Incl.<br>Nominal <sup>(1)</sup> | Nominal           | Diâmetro do eixo<br>Máx. | Mín.              | Ajuste                                 | Diâmetro do eixo<br>Máx. | Mín.              | Ajuste                                 |
| mm<br>pol.                  | mm<br>pol.                      | mm<br>pol.        | mm<br>pol.               | mm<br>pol.        | mm<br>pol.                   | mm<br>pol.               | mm<br>pol.        | mm<br>pol.                   | mm<br>pol.               | mm<br>pol.        | mm<br>pol.                   | mm<br>pol.               | mm<br>pol.        | mm<br>pol.                             | mm<br>pol.               | mm<br>pol.        | mm<br>pol.                             |
| 3,000<br>0,1181             | 6,000<br>0,2362                 | -0,008<br>-0,0003 | —                        | —                 | —                            | —                        | —                 | —                            | —                        | —                 | —                            | —                        | —                 | —                                      | —                        | —                 | —                                      |
| 6,000<br>0,2362             | 10,000<br>0,3937                | -0,008<br>-0,0003 | —                        | —                 | —                            | —                        | —                 | —                            | —                        | —                 | —                            | —                        | —                 | —                                      | —                        | —                 | —                                      |
| 10,000<br>0,3937            | 18,000<br>0,7087                | -0,008<br>-0,0003 | —                        | —                 | —                            | —                        | —                 | —                            | —                        | —                 | —                            | —                        | —                 | —                                      | —                        | —                 | —                                      |
| 18,000<br>0,7087            | 30,000<br>1,1811                | -0,010<br>-0,0004 | —                        | —                 | —                            | —                        | —                 | —                            | —                        | —                 | —                            | —                        | —                 | —                                      | —                        | —                 | —                                      |
| 30,000<br>1,1811            | 50,000<br>1,9685                | -0,014<br>-0,0006 | +0,025<br>+0,0010        | +0,009<br>+0,0004 | 0,037T<br>0,0004T<br>0,0145T | —                        | —                 | —                            | —                        | —                 | —                            | —                        | —                 | —                                      | —                        | —                 | —                                      |
| 50,000<br>1,9685            | 80,000<br>3,1496                | -0,015<br>-0,0006 | +0,030<br>+0,0012        | +0,011<br>+0,0004 | 0,045T<br>0,0004T<br>0,0018T | +0,039<br>+0,0015        | +0,020<br>+0,0008 | 0,054T<br>0,0008T<br>0,0021T | —                        | —                 | —                            | —                        | —                 | —                                      | —                        | —                 | —                                      |
| 80,000<br>3,1496            | 120,000<br>4,7244               | -0,020<br>-0,0008 | +0,035<br>+0,0014        | +0,013<br>+0,0005 | 0,055T<br>0,0005T<br>0,0022T | +0,045<br>+0,0018        | +0,023<br>+0,0009 | 0,065T<br>0,0009T<br>0,0026T | +0,059<br>+0,0023        | +0,037<br>+0,0015 | 0,037T<br>0,0015T<br>0,0031T | —                        | —                 | —                                      | —                        | —                 | —                                      |
| 120,000<br>4,7244           | 180,000<br>7,0866               | -0,025<br>-0,0010 | +0,040<br>+0,0016        | +0,015<br>+0,0006 | 0,065T<br>0,0006T<br>0,0026T | +0,052<br>+0,0020        | +0,027<br>+0,0011 | 0,077T<br>0,0011T<br>0,0030T | +0,068<br>+0,0027        | +0,043<br>+0,0017 | 0,043T<br>0,0017T<br>0,0037T | +0,090<br>+0,0035        | +0,065<br>+0,0026 | 0,065T<br>0,0026T<br>0,0045T           | —                        | —                 | —                                      |
| 180,000<br>7,0866           | 200,000<br>7,8740               | -0,030<br>-0,0012 | +0,046<br>+0,0018        | +0,017<br>+0,0007 | 0,076T<br>0,0007T<br>0,0030T | +0,060<br>+0,0024        | +0,031<br>+0,0012 | 0,090T<br>0,0012L<br>0,0036T | +0,079<br>+0,0031        | +0,050<br>+0,0020 | 0,050T<br>0,0109T<br>0,0043T | +0,106<br>+0,0042        | +0,077<br>+0,0030 | 0,077T<br>0,136T<br>0,0030T<br>0,0054T | —                        | —                 | —                                      |
| 200,000<br>7,8740           | 225,000<br>8,8583               | -0,030<br>-0,0012 | +0,046<br>+0,0018        | +0,017<br>+0,0007 | 0,076T<br>0,0007T<br>0,0030T | +0,060<br>+0,0024        | +0,031<br>+0,0012 | 0,090T<br>0,0012L<br>0,0036T | +0,079<br>+0,0031        | +0,050<br>+0,0020 | 0,050T<br>0,109T<br>0,0043T  | +0,109<br>+0,0043        | +0,080<br>+0,0031 | 0,080T<br>0,139T<br>0,0031T<br>0,0055T | +0,126<br>+0,0050        | +0,080<br>+0,0031 | 0,080T<br>0,156T<br>0,0031T<br>0,0062T |
| 225,000<br>8,8583           | 250,000<br>9,8425               | -0,030<br>-0,0012 | +0,046<br>+0,0018        | +0,017<br>+0,0007 | 0,076T<br>0,0007T<br>0,0030T | +0,060<br>+0,0024        | +0,031<br>+0,0012 | 0,090T<br>0,0012L<br>0,0036T | +0,079<br>+0,0031        | +0,050<br>+0,0020 | 0,050T<br>0,109T<br>0,0043T  | +0,113<br>+0,0044        | +0,084<br>+0,0033 | 0,084T<br>0,143T<br>0,0033T<br>0,0056T | +0,130<br>+0,0051        | +0,084<br>+0,0033 | 0,084T<br>0,160T<br>0,0033T<br>0,0063T |
| 250,000<br>9,8425           | 280,000<br>11,0236              | -0,035<br>-0,0014 | +0,052<br>+0,0020        | +0,020<br>+0,0008 | 0,087T<br>0,0008T<br>0,0034T | +0,066<br>+0,0026        | +0,034<br>+0,0013 | 0,101T<br>0,0013T<br>0,0040T | +0,088<br>+0,0035        | +0,056<br>+0,0022 | 0,056T<br>0,123T<br>0,0049T  | +0,126<br>+0,0050        | +0,094<br>+0,0037 | 0,094T<br>0,161T<br>0,0037T<br>0,0064T | +0,146<br>+0,0057        | +0,094<br>+0,0037 | 0,094T<br>0,181T<br>0,0037T<br>0,0071T |
| 280,000<br>11,0236          | 315,000<br>12,4016              | -0,035<br>-0,0014 | +0,052<br>+0,0020        | +0,020<br>+0,0008 | 0,087T<br>0,0008T<br>0,0034T | +0,066<br>+0,0026        | +0,034<br>+0,0013 | 0,101T<br>0,0013T<br>0,0040T | +0,088<br>+0,0035        | +0,056<br>+0,0022 | 0,056T<br>0,123T<br>0,0049T  | +0,130<br>+0,0051        | +0,098<br>+0,0039 | 0,098T<br>0,165T<br>0,0039T<br>0,0065T | +0,150<br>+0,0059        | +0,098<br>+0,0039 | 0,098T<br>0,185T<br>0,0039T<br>0,0073T |

NOTA: A tolerância e os diâmetros do eixo são mostrados na tabela como variações do furo nominal do rolamento.

<sup>(1)</sup>A faixa de tolerância é de +0 até o valor indicado.

Continua na próxima página.

Estas tabelas são orientações para a especificação de ajustes de eixo e mancal relacionados a condições particulares de operação.

Tabela 10 continuação.

| Furo do rolamento   |                        |                    | m6                 |                   |                    | n6                 |                   |                    | p6                 |                   |                    | r6                 |                    |                    | r7                 |                   |                   |                   |
|---------------------|------------------------|--------------------|--------------------|-------------------|--------------------|--------------------|-------------------|--------------------|--------------------|-------------------|--------------------|--------------------|--------------------|--------------------|--------------------|-------------------|-------------------|-------------------|
| Tolerâncial (máx.)  | Nominal <sup>(1)</sup> | Diâmetro do eixo   | Diâmetro do eixo   | Diâmetro do eixo  | Diâmetro do eixo   | Diâmetro do eixo   | Diâmetro do eixo  | Diâmetro do eixo   | Diâmetro do eixo   | Diâmetro do eixo  | Diâmetro do eixo   | Diâmetro do eixo   | Diâmetro do eixo   | Diâmetro do eixo   | Diâmetro do eixo   | Diâmetro do eixo  |                   |                   |
| Acima               | Incl.                  | Máx.<br>mm<br>pol. | Mín.<br>mm<br>pol. | Ajuste             | Máx.<br>mm<br>pol. | Mín.<br>mm<br>pol. | Ajuste            |                   |                   |
| mm                  | mm                     | mm                 | mm                 | mm                | mm                 | mm                 | mm                | mm                 | mm                 | mm                | mm                 | mm                 | mm                 | mm                 | mm                 | mm                | mm                |                   |
| 315,000<br>12,4016  | 355,000<br>13,9764     | -0,040<br>-0,0016  | +0,057<br>+0,0022  | +0,021<br>+0,0008 | 0,097T<br>0,0008T  | +0,073<br>+0,0029  | +0,037<br>+0,0015 | 0,113T<br>0,0015T  | +0,098<br>+0,0039  | +0,062<br>+0,0024 | 0,138T<br>0,0024T  | +0,144<br>+0,0057  | +0,108T<br>+0,0043 | 0,184T<br>0,0043T  | +0,165<br>+0,0065  | +0,108<br>+0,0043 | 0,205T<br>0,0043T | 0,108T<br>0,0081T |
| 355,000<br>13,9764  | 400,000<br>15,7480     | -0,040<br>-0,0016  | —<br>—             | —<br>—            | —<br>—             | +0,073<br>+0,0029  | +0,037<br>+0,0015 | 0,113T<br>0,0015T  | +0,098<br>+0,0039  | +0,062<br>+0,0024 | 0,138T<br>0,0024T  | +0,150<br>+0,0059  | +0,114<br>+0,0045  | 0,190T<br>0,0045T  | +0,171<br>+0,0067  | +0,114<br>+0,0045 | 0,211T<br>0,0045T | 0,114T<br>0,0083T |
| 400,000<br>15,7480  | 450,000<br>17,7165     | -0,045<br>-0,0018  | —<br>—             | —<br>—            | —<br>—             | +0,080<br>+0,0031  | +0,040<br>+0,0016 | 0,125T<br>0,0016T  | +0,108<br>+0,0043  | +0,068<br>+0,0027 | 0,153T<br>0,0027T  | +0,166<br>+0,0065  | +0,126<br>+0,0050  | 0,211T<br>0,0050T  | +0,189<br>+0,0074  | +0,126<br>+0,0050 | 0,234T<br>0,0050T | 0,126T<br>0,0092T |
| 450,000<br>17,7165  | 500,000<br>19,6850     | -0,045<br>-0,0018  | —<br>—             | —<br>—            | —<br>—             | +0,080<br>+0,0031  | +0,040<br>+0,0016 | 0,125T<br>0,0016T  | +0,108<br>+0,0043  | +0,068<br>+0,0027 | 0,153T<br>0,0027T  | +0,172<br>+0,0068  | +0,132<br>+0,0052  | 0,217T<br>0,0052T  | +0,195<br>+0,0077  | +0,132<br>+0,0052 | 0,240T<br>0,0052T | 0,132T<br>0,0095T |
| 500,000<br>19,6850  | 560,000<br>22,0472     | -0,050<br>-0,0020  | —<br>—             | —<br>—            | —<br>—             | —<br>—             | —<br>—            | —<br>—             | +0,122<br>+0,0048  | +0,078<br>+0,0031 | 0,172T<br>0,0031T  | +0,194<br>+0,0076  | +0,150<br>+0,0059  | 0,244T<br>0,0059T  | +0,220<br>+0,0087  | +0,150<br>+0,0059 | 0,270T<br>0,0059T | 0,150T<br>0,0107T |
| 560,000<br>22,0472  | 630,000<br>24,8032     | -0,050<br>-0,0020  | —<br>—             | —<br>—            | —<br>—             | —<br>—             | —<br>—            | —<br>—             | +0,122<br>+0,0048  | +0,078<br>+0,0031 | 0,172T<br>0,0031T  | +0,199<br>+0,0078  | +0,155<br>+0,0061  | 0,249T<br>0,0061T  | +0,225<br>+0,0089  | +0,155<br>+0,0061 | 0,275T<br>0,0061T | 0,155T<br>0,0109T |
| 630,000<br>24,8032  | 710,000<br>27,9528     | -0,075<br>-0,0030  | —<br>—             | —<br>—            | —<br>—             | —<br>—             | —<br>—            | —<br>—             | +0,138<br>+0,0054  | +0,088<br>+0,0035 | 0,213T<br>0,0035T  | +0,225<br>+0,0089  | +0,175<br>+0,0069  | 0,300T<br>0,0069T  | +0,255<br>+0,0100  | +0,175<br>+0,0069 | 0,330T<br>0,0069T | 0,175T<br>0,0130T |
| 710,000<br>27,9528  | 800,000<br>31,4961     | -0,075<br>-0,0030  | —<br>—             | —<br>—            | —<br>—             | —<br>—             | —<br>—            | —<br>—             | +0,138<br>+0,0054  | +0,088<br>+0,0035 | 0,213T<br>0,0035T  | +0,235<br>+0,0093  | +0,185<br>+0,0073  | 0,310T<br>0,0073T  | +0,265<br>+0,0104  | +0,185<br>+0,0073 | 0,340T<br>0,0073T | 0,185T<br>0,0134T |
| 800,000<br>31,4961  | 900,000<br>35,4331     | -0,100<br>-0,0039  | —<br>—             | —<br>—            | —<br>—             | —<br>—             | —<br>—            | —<br>—             | +0,156<br>+0,0061  | +0,100<br>+0,0039 | 0,256T<br>0,0039T  | +0,266<br>+0,0105  | +0,210<br>+0,0083  | 0,366T<br>0,0083T  | +0,300<br>+0,0118  | +0,210<br>+0,0083 | 0,400T<br>0,0083T | 0,210T<br>0,0157T |
| 900,000<br>35,4331  | 1000,000<br>39,3701    | -0,100<br>-0,0039  | —<br>—             | —<br>—            | —<br>—             | —<br>—             | —<br>—            | —<br>—             | +0,156<br>+0,0061  | +0,100<br>+0,0039 | 0,256T<br>0,0039T  | +0,276<br>+0,0109  | +0,220<br>+0,0087  | 0,366T<br>0,0087T  | +0,310<br>+0,0122  | +0,220<br>+0,0087 | 0,410T<br>0,0087T | 0,220T<br>0,0161T |
| 1000,000<br>39,3701 | 1120,000<br>44,0945    | -0,125<br>-0,0049  | —<br>—             | —<br>—            | —<br>—             | —<br>—             | —<br>—            | —<br>—             | +0,186<br>+0,0073  | +0,120<br>+0,0047 | 0,311T<br>0,0047T  | +0,316<br>+0,0124  | +0,250<br>+0,0098  | 0,441T<br>0,0098T  | +0,355<br>+0,0140  | +0,250<br>+0,0098 | 0,480T<br>0,0098T | 0,250T<br>0,0189T |
| 1120,000<br>44,0945 | 1250,000<br>49,2126    | -0,125<br>-0,0049  | —<br>—             | —<br>—            | —<br>—             | —<br>—             | —<br>—            | —<br>—             | +0,186<br>+0,0073  | +0,120<br>+0,0047 | 0,311T<br>0,0047T  | +0,326<br>+0,0128  | +0,260<br>+0,0102  | 0,451T<br>0,0102T  | +0,365<br>+0,0144  | +0,260<br>+0,0102 | 0,490T<br>0,0102T | 0,260T<br>0,0193T |

Estas tabelas são orientações para a especificação de ajustes de eixo e mancal relacionados a condições particulares de operação.

## TOLERÂNCIAS DO MANCAL

**TABELA 11. TOLERÂNCIAS DO MANCAL DE ROLAMENTOS RADIAIS DE ESFERAS, AUTOCOMPENSADORES DE ROLOS E DE ROLOS CILÍNDRICOS**

| Furo do rolamento           |                                 | F7                     |                   |                   | G7                            |                   |                   | H6                            |                                |                              | H7                     |                               |                   |                               |
|-----------------------------|---------------------------------|------------------------|-------------------|-------------------|-------------------------------|-------------------|-------------------|-------------------------------|--------------------------------|------------------------------|------------------------|-------------------------------|-------------------|-------------------------------|
| Tolerâncial (máx.)<br>Acima | Nominal <sup>(1)</sup><br>Incl. | Furo do mancal<br>Máx. | Mín.              | Ajuste            | Furo do mancal<br>Máx.        | Mín.              | Ajuste            | Furo do mancal<br>Máx.        | Mín.                           | Ajuste                       | Furo do mancal<br>Máx. | Mín.                          | Ajuste            |                               |
| mm<br>pol.                  | mm<br>pol.                      | mm<br>pol.             | mm<br>pol.        | mm<br>pol.        | mm<br>pol.                    | mm<br>pol.        | mm<br>pol.        | mm<br>pol.                    | mm<br>pol.                     | mm<br>pol.                   | mm<br>pol.             | mm<br>pol.                    | mm<br>pol.        |                               |
| 10,000<br>0,3937            | 18,000<br>0,7087                | -0,008<br>-0,0003      | +0,034<br>+0,0013 | +0,016<br>+0,0006 | 0,042L<br>0,0006L<br>0,0016L  | +0,024<br>+0,0009 | +0,002<br>+0,0002 | 0,032L<br>0,0002L<br>0,0012L  | +0,006L<br>0,0004              | 0,000L<br>0,0000<br>0,0007L  | +0,011<br>0,0000       | 0,019L<br>0,0000L<br>0,0007L  | +0,018<br>+0,0007 | 0,026L<br>0,0000L<br>0,0010L  |
| 18,000<br>0,7087            | 30,000<br>1,1811                | -0,009<br>-0,0035      | +0,041<br>+0,0016 | +0,020<br>+0,0008 | 0,050L<br>0,0008L<br>0,00195L | +0,028<br>+0,0011 | +0,007<br>+0,0003 | 0,037L<br>0,0003L<br>0,00145L | +0,007L<br>0,0003L<br>0,00145L | 0,000L<br>0,0000<br>0,00085L | +0,013<br>+0,0005      | 0,022L<br>0,0000L<br>0,00085L | +0,021<br>+0,0008 | 0,030L<br>0,0000L<br>0,00125L |
| 30,000<br>1,1811            | 50,000<br>1,9685                | -0,011<br>-0,00045     | +0,050<br>+0,0020 | +0,025<br>+0,0010 | 0,061L<br>0,0010L<br>0,00245L | +0,034<br>+0,0013 | +0,009<br>+0,0004 | 0,045L<br>0,0004L<br>0,00175L | +0,009L<br>0,0004L<br>0,00175L | 0,000L<br>0,0000<br>0,00105L | +0,016<br>+0,0006      | 0,027L<br>0,0000L<br>0,00105L | +0,025<br>+0,0010 | 0,036L<br>0,0000L<br>0,00145L |
| 50,000<br>1,9685            | 80,000<br>3,1496                | -0,023<br>-0,0005      | +0,060<br>+0,0024 | +0,030<br>+0,0012 | 0,073L<br>0,0012L<br>0,0029L  | +0,040<br>+0,0016 | +0,010<br>+0,0004 | 0,053L<br>0,0004L<br>0,0021L  | +0,010L<br>0,0004L<br>0,0021L  | 0,000L<br>0,0000<br>0,0012L  | +0,019<br>+0,0007      | 0,032L<br>0,0000L<br>0,0012L  | +0,030<br>+0,0012 | 0,059L<br>0,0000L<br>0,0017L  |
| 80,000<br>3,1496            | 120,000<br>4,7244               | -0,015<br>-0,0006      | +0,071<br>+0,0028 | +0,036<br>+0,0014 | 0,086L<br>0,0014L<br>0,0034L  | +0,047<br>+0,0019 | +0,012<br>+0,0005 | 0,062L<br>0,0005L<br>0,0025L  | +0,012L<br>0,0005L<br>0,0025L  | 0,000L<br>0,0000<br>0,0015L  | +0,022<br>+0,0009      | 0,037L<br>0,0000L<br>0,0015L  | +0,035<br>+0,0014 | 0,050L<br>0,0000L<br>0,0020L  |
| 120,000<br>4,7244           | 150,000<br>5,9055               | -0,018<br>-0,0007      | +0,083<br>+0,0033 | +0,043<br>+0,0017 | 0,101L<br>0,0017L<br>0,0040L  | +0,054<br>+0,0021 | +0,014<br>+0,0006 | 0,072L<br>0,0006L<br>0,0028L  | +0,014L<br>0,0006L<br>0,0028L  | 0,000L<br>0,0000<br>0,0017L  | +0,025<br>+0,0010      | 0,043L<br>0,0000L<br>0,0017L  | +0,040<br>+0,0016 | 0,058L<br>0,0000L<br>0,0023L  |
| 150,000<br>5,9055           | 180,000<br>7,0866               | -0,025<br>-0,0010      | +0,083<br>+0,0033 | +0,043<br>+0,0017 | 0,108L<br>0,0017L<br>0,0043L  | +0,054<br>+0,0021 | +0,014<br>+0,0006 | 0,079L<br>0,0006L<br>0,0031L  | +0,014L<br>0,0006L<br>0,0031L  | 0,000L<br>0,0000<br>0,0020L  | +0,025<br>+0,0010      | 0,050L<br>0,0000L<br>0,0020L  | +0,040<br>+0,0016 | 0,065L<br>0,0000L<br>0,0026L  |
| 180,000<br>7,0866           | 250,000<br>9,8425               | -0,030<br>-0,0012      | +0,096<br>+0,0038 | +0,050<br>+0,0020 | 0,126L<br>0,0020L<br>0,0050L  | +0,061<br>+0,0024 | +0,015<br>+0,0006 | 0,091L<br>0,0006L<br>0,0036L  | +0,015L<br>0,0006L<br>0,0036L  | 0,000L<br>0,0000<br>0,0023L  | +0,029<br>+0,0011      | 0,059L<br>0,0000L<br>0,0023L  | +0,046<br>+0,0018 | 0,076L<br>0,0000L<br>0,0030L  |
| 250,000<br>9,8425           | 315,000<br>12,4016              | -0,035<br>-0,0014      | +0,108<br>+0,0043 | +0,056<br>+0,0022 | 0,143L<br>0,0022L<br>0,0057L  | +0,069<br>+0,0027 | +0,017<br>+0,0007 | 0,104L<br>0,0007L<br>0,0041L  | +0,017L<br>0,0007L<br>0,0041L  | 0,000L<br>0,0000<br>0,0027L  | +0,032<br>+0,0013      | 0,067L<br>0,0000L<br>0,0027L  | +0,052<br>+0,0020 | 0,087L<br>0,0000L<br>0,0034L  |
| 315,000<br>12,4016          | 400,000<br>15,7480              | -0,040<br>-0,0016      | +0,119<br>+0,0047 | +0,062<br>+0,0024 | 0,159L<br>0,0024L<br>0,0063L  | +0,075<br>+0,0030 | +0,018<br>+0,0007 | 0,115L<br>0,0007L<br>0,0046L  | +0,018L<br>0,0007L<br>0,0046L  | 0,000L<br>0,0000<br>0,0030L  | +0,089<br>+0,0014      | 0,129L<br>0,0000L<br>0,0030L  | +0,057<br>+0,0022 | 0,097L<br>0,0000L<br>0,0038L  |
| 400,000<br>15,7480          | 500,000<br>19,6850              | -0,045<br>-0,0018      | +0,131<br>+0,0052 | +0,068<br>+0,0027 | 0,176L<br>0,0027L<br>0,0070L  | +0,083<br>+0,0033 | +0,020<br>+0,0008 | 0,128L<br>0,0008L<br>0,0051L  | +0,020L<br>0,0008L<br>0,0051L  | 0,000L<br>0,0000<br>0,0034L  | +0,097<br>+0,0016      | 0,142L<br>0,0000L<br>0,0034L  | +0,063<br>+0,0025 | 0,108L<br>0,0000L<br>0,0043L  |
| 500,000<br>19,6850          | 630,000<br>24,8032              | -0,050<br>-0,0020      | +0,146<br>+0,0057 | +0,076<br>+0,0030 | 0,196L<br>0,0030L<br>0,0077L  | +0,092<br>+0,0036 | +0,022<br>+0,0009 | 0,142L<br>0,0009L<br>0,0056L  | +0,022L<br>0,0009L<br>0,0056L  | 0,000L<br>0,0000<br>0,0037L  | +0,110<br>+0,0017      | 0,160L<br>0,0000L<br>0,0037L  | +0,070<br>+0,0028 | 0,120L<br>0,0000L<br>0,0048L  |

NOTA: A tolerância e os diâmetros do eixo são mostrados na tabela como variações do furo nominal do D.E.

<sup>(1)</sup>A faixa de tolerância é de +0 até o valor indicado.

## AJUSTES DO EIXO E DO ALOJAMENTO

Estas tabelas são orientações para a especificação de ajustes de eixo e mancal relacionados a condições particulares de operação.

| H8                             |                 |                                | J6                |                                |  | J7                             |                   |   | K6                |                                |   | K7                |                   |   |
|--------------------------------|-----------------|--------------------------------|-------------------|--------------------------------|--|--------------------------------|-------------------|---|-------------------|--------------------------------|---|-------------------|-------------------|---|
| Furo do mancal<br>Máx.<br>Mín. | Ajuste          | Furo do mancal<br>Máx.<br>Mín. | Ajuste            | Furo do mancal<br>Máx.<br>Mín. | Ajuste                                   | Furo do mancal<br>Máx.<br>Mín. | Ajuste            | Furo do mancal<br>Máx.<br>Mín.          | Ajuste            | Furo do mancal<br>Máx.<br>Mín. | Ajuste                                  |                   |                   |   |
| mm<br>pol.                     | mm<br>pol.      | mm<br>pol.                     | mm<br>pol.        | mm<br>pol.                     | mm<br>pol.                               | mm<br>pol.                     | mm<br>pol.        | mm<br>pol.                              | mm<br>pol.        | mm<br>pol.                     | mm<br>pol.                              |                   |                   |   |
| +0,027<br>+0,0011              | 0,000<br>0,0000 | 0,035L<br>0,0000L<br>0,0014L   | +0,006<br>+0,0002 | -0,005<br>-0,0002              | 0,005T<br>0,014L<br>0,00002T<br>0,0005L  | +0,10<br>+0,004                | -0,008<br>-0,0003 | 0,008T<br>0,018L<br>0,0003T<br>0,0007L  | +0,002<br>+0,0001 | -0,009<br>-0,0004              | 0,009T<br>0,010L<br>0,0004T<br>0,0004L  | +0,006<br>+0,0002 | -0,012<br>-0,0005 | 0,012T<br>0,014L<br>0,0005T<br>0,0005L  |
| +0,033<br>+0,0013              | 0,000<br>0,0000 | 0,030L<br>0,0000L<br>0,00165L  | +0,008<br>+0,0003 | -0,005<br>-0,0002              | 0,005T<br>0,017L<br>0,00002T<br>0,00065L | +0,012<br>+0,0005              | -0,009<br>-0,0004 | 0,009T<br>0,021L<br>0,0004T<br>0,00085L | +0,002<br>+0,0001 | -0,011<br>-0,0004              | 0,011T<br>0,011L<br>0,0004T<br>0,00045L | +0,006<br>+0,0002 | -0,015<br>-0,0006 | 0,015T<br>0,015L<br>0,0006T<br>0,00055L |
| +0,039<br>+0,0015              | 0,000<br>0,0000 | 0,050L<br>0,0000L<br>0,00195L  | +0,010<br>+0,0002 | -0,006<br>-0,0002              | 0,006T<br>0,021L<br>0,0002T<br>0,00085L  | +0,014<br>+0,0006              | -0,011<br>-0,0004 | 0,011T<br>0,025L<br>0,0004T<br>0,00105L | +0,003<br>+0,0001 | -0,014<br>-0,0005              | 0,013T<br>0,014L<br>0,0005T<br>0,00055L | +0,007<br>+0,0003 | -0,018<br>-0,0007 | 0,018T<br>0,018L<br>0,0007T<br>0,00065L |
| +0,046<br>+0,0018              | 0,000<br>0,0000 | 0,059L<br>0,0000L<br>0,0023L   | +0,013<br>+0,0005 | -0,006<br>-0,0002              | 0,006T<br>0,026L<br>0,0002T<br>0,0010L   | +0,018<br>+0,0007              | -0,012<br>-0,0005 | 0,012T<br>0,031L<br>0,0005T<br>0,0012L  | +0,004<br>+0,0002 | -0,015<br>-0,0006              | 0,015T<br>0,017L<br>0,0006T<br>0,0007L  | +0,009<br>+0,0004 | -0,021<br>-0,0008 | 0,021T<br>0,022L<br>0,0008T<br>0,0009L  |
| +0,054<br>+0,0021              | 0,000<br>0,0000 | 0,069L<br>0,0000L<br>0,0027L   | +0,016<br>+0,0006 | -0,006<br>-0,0002              | 0,006T<br>0,031L<br>0,0002T<br>0,0012L   | +0,022<br>+0,0009              | -0,013<br>-0,0005 | 0,013T<br>0,037L<br>0,0005T<br>0,0015L  | +0,004<br>+0,0002 | -0,018<br>-0,0007              | 0,018T<br>0,019L<br>0,0007T<br>0,0008L  | +0,010<br>+0,0004 | -0,025<br>-0,0010 | 0,025T<br>0,025L<br>0,0010T<br>0,0010L  |
| +0,063<br>+0,0025              | 0,000<br>0,0000 | 0,081L<br>0,0000L<br>0,0032L   | +0,018<br>+0,0007 | -0,007<br>-0,0003              | 0,007T<br>0,036L<br>0,00003T<br>0,0014L  | +0,026<br>+0,0010              | -0,014<br>-0,0006 | 0,014T<br>0,044L<br>0,0006T<br>0,0017L  | +0,004<br>+0,0002 | -0,021<br>-0,0008              | 0,021T<br>0,022L<br>0,0008T<br>0,0009L  | +0,012<br>+0,0005 | -0,028<br>-0,0011 | 0,028T<br>0,030L<br>0,0011T<br>0,0012L  |
| +0,063<br>+0,0025              | 0,000<br>0,0000 | 0,088L<br>0,0000L<br>0,0035L   | +0,018<br>+0,0007 | -0,007<br>-0,0003              | 0,007T<br>0,043L<br>0,00003T<br>0,0017L  | +0,026<br>+0,0010              | -0,014<br>-0,0006 | 0,014T<br>0,051L<br>0,0006T<br>0,0020L  | +0,004<br>+0,0002 | -0,021<br>-0,0008              | 0,021T<br>0,029L<br>0,0008T<br>0,0012L  | +0,012<br>+0,0005 | -0,033<br>-0,028  | 0,028T<br>0,037L<br>0,0011T<br>0,0015L  |
| +0,072<br>+0,0028              | 0,000<br>0,0000 | 0,102L<br>0,0000L<br>0,0040L   | +0,022<br>+0,0007 | -0,007<br>-0,0003              | 0,007T<br>0,052L<br>0,00003T<br>0,0021L  | +0,030<br>+0,0012              | -0,016<br>-0,0006 | 0,016T<br>0,060L<br>0,0006T<br>0,0024L  | +0,005<br>+0,0002 | -0,024<br>-0,0009              | 0,024T<br>0,035L<br>0,0009T<br>0,0014L  | +0,013<br>+0,0005 | -0,011<br>-0,0013 | 0,033T<br>0,043L<br>0,0013T<br>0,0017L  |
| +0,081<br>+0,0032              | 0,000<br>0,0000 | 0,116L<br>0,0000L<br>0,0046L   | +0,025<br>+0,0010 | -0,007<br>-0,0003              | 0,007T<br>0,060L<br>0,00003T<br>0,0024L  | +0,036<br>+0,0014              | -0,016<br>-0,0006 | 0,016T<br>0,071L<br>0,0006T<br>0,0028L  | +0,005<br>+0,0002 | -0,027<br>-0,0011              | 0,027T<br>0,040L<br>0,0011T<br>0,0016L  | +0,016<br>+0,0006 | -0,036<br>-0,0014 | 0,036T<br>0,051L<br>0,0014T<br>0,0020L  |
| +0,036<br>+0,035               | 0,000<br>0,0000 | 0,076L<br>0,0000L<br>0,0051L   | +0,029<br>+0,0011 | -0,007<br>-0,0003              | 0,007T<br>0,069L<br>0,00003T<br>0,0027L  | +0,039<br>+0,0015              | -0,018<br>-0,0007 | 0,018T<br>0,079L<br>0,00007T<br>0,0031L | +0,007<br>+0,0003 | -0,029<br>-0,0011              | 0,029T<br>0,047L<br>0,0011T<br>0,0019L  | +0,017<br>+0,0007 | -0,040<br>-0,0016 | 0,040T<br>0,057L<br>0,0016T<br>0,0023L  |
| +0,040<br>+0,0038              | 0,000<br>0,0000 | 0,085<br>0,0000L<br>0,0056L    | +0,033<br>+0,0013 | -0,007<br>-0,0003              | 0,007T<br>0,078L<br>0,00003T<br>0,0031L  | +0,043<br>+0,0017              | -0,020<br>-0,0008 | 0,020T<br>0,088L<br>0,00008T<br>0,0035L | +0,008<br>+0,0003 | -0,032<br>-0,0013              | 0,032T<br>0,053L<br>0,0013T<br>0,0021L  | +0,018<br>+0,0007 | -0,045<br>-0,0018 | 0,045T<br>0,063L<br>0,0018T<br>0,0025L  |
| +0,044<br>+0,0043              | 0,000<br>0,0000 | 0,094L<br>0,0000L<br>0,0063L   | +0,037<br>+0,0015 | -0,007<br>-0,0003              | 0,022T<br>0,098L<br>0,00003T<br>0,0035L  | +0,048<br>+0,0019              | -0,022<br>-0,0009 | 0,022T<br>0,098L<br>0,00009T<br>0,0039L | 0,000<br>0,0000   | -0,044<br>-0,0017              | 0,044T<br>0,050L<br>0,0017T<br>0,0020L  | 0,000<br>0,0000   | -0,070<br>-0,0028 | 0,070T<br>0,050L<br>0,0028T<br>0,0020L  |

Continua na próxima página.

## AJUSTES DO EIXO E DO ALOJAMENTO

Estas tabelas são orientações para a especificação de ajustes de eixo e mancal relacionados a condições particulares de operação.

Tabela 11 continuaçāo.

| Furo do rolamento           |                                 | F7                     |                   |                    | G7                                     |                   |                   | H6                                     |                   |                 | H7                                     |                   |                 |  |
|-----------------------------|---------------------------------|------------------------|-------------------|--------------------|--|-------------------|-------------------|--|-------------------|-----------------|--|-------------------|-----------------|--|
| Tolerâncial (máx.)<br>Acima | Incl.<br>Nominal <sup>(1)</sup> | Furo do mancal<br>Máx. | Mín.              | Ajuste             | Furo do mancal<br>Máx.                 | Mín.              | Ajuste            | Furo do mancal<br>Máx.                 | Mín.              | Ajuste          | Furo do mancal<br>Máx.                 | Mín.              | Ajuste          |  |
| mm<br>pol.                  | mm<br>pol.                      | mm<br>pol.             | mm<br>pol.        | mm<br>pol.         | mm<br>pol.                             | mm<br>pol.        | mm<br>pol.        | mm<br>pol.                             | mm<br>pol.        | mm<br>pol.      | mm<br>pol.                             | mm<br>pol.        | mm<br>pol.      |  |
| 630,000<br>24,8032          | 800,000<br>31,4961              | -0,075<br>-0,0030      | +0,160<br>+0,0063 | +0,080<br>+0,0031  | 0,080L<br>0,235L<br>0,0031L<br>0,0093L | +0,104<br>+0,0041 | +0,024<br>+0,0009 | 0,024L<br>0,179L<br>0,0009L<br>0,0071L | +0,125<br>+0,0020 | 0,000<br>0,0000 | 0,000L<br>0,200L<br>0,0000L<br>0,0030L | +0,080<br>+0,0031 | 0,000<br>0,0000 | 0,000L<br>0,155L<br>0,0000L<br>0,0061L |
| 800,000<br>31,4961          | 1000,000<br>39,3701             | -0,100<br>-0,0039      | +0,179<br>+0,0063 | +0,086<br>+0,0034  | 0,086L<br>0,276L<br>0,0034L<br>0,0108L | +0,116<br>+0,0046 | +0,026<br>+0,0010 | 0,026L<br>0,216L<br>0,0010L<br>0,0085L | +0,140<br>+0,0022 | 0,000<br>0,0000 | 0,000L<br>0,240L<br>0,0000L<br>0,0061L | +0,090<br>+0,0035 | 0,000<br>0,0000 | 0,000L<br>0,190L<br>0,0000L<br>0,0074L |
| 1000,000<br>39,3701         | 1250,000<br>49,2126             | -0,125<br>-0,0049      | +0,203<br>+0,0080 | +0,098<br>+0,0039  | 0,098L<br>0,328L<br>0,0039L<br>0,0129L | +0,133<br>+0,0052 | +0,028<br>+0,0011 | 0,028L<br>0,258L<br>0,0011L<br>0,0101L | +0,165<br>+0,0026 | 0,000<br>0,0000 | 0,000L<br>0,290L<br>0,0000L<br>0,0075L | +0,105<br>+0,0041 | 0,000<br>0,0000 | 0,000L<br>0,230L<br>0,0000L<br>0,0090L |
| 1250,000<br>49,2126         | 1600,000<br>62,9921             | -0,160<br>-0,0063      | +0,155<br>+0,0093 | +0,030<br>+0,0043  | 0,110L<br>0,395L<br>0,0043L<br>0,0156L | +0,155<br>+0,0061 | +0,030<br>+0,0012 | 0,030L<br>0,315L<br>0,0012L<br>0,0124L | +0,195<br>+0,0031 | 0,000<br>0,0000 | 0,000L<br>0,355L<br>0,0000L<br>0,0094L | +0,125<br>+0,0049 | 0,000<br>0,0000 | 0,000L<br>0,350L<br>0,0000L<br>0,0112L |
| 1600,000<br>62,9921         | 2000,000<br>78,7402             | -0,106<br>-0,0079      | +0,270<br>+0,0106 | +0,120<br>+0,0047  | 0,120L<br>0,470L<br>0,0047L<br>0,0185L | +0,182<br>+0,0072 | +0,032<br>+0,0013 | 0,032L<br>0,382L<br>0,0013L<br>0,0151L | +0,230<br>+0,0036 | 0,000<br>0,0000 | 0,000L<br>0,430L<br>0,0000L<br>0,0115L | +0,150<br>+0,0059 | 0,000<br>0,0000 | 0,000L<br>0,350L<br>0,0000L<br>0,0138L |
| 2000,000<br>78,7402         | 2500,000<br>98,4252             | -0,250<br>-0,0098      | +0,305<br>0,0120  | +0,0130<br>+0,0051 | 0,130L<br>0,555L<br>0,0051L<br>0,0218L | +0,209<br>+0,0082 | +0,034<br>+0,0013 | 0,034L<br>0,459L<br>0,0013L<br>0,0180L | +0,280<br>+0,043  | 0,000<br>0,0000 | 0,000L<br>0,530L<br>0,0000L<br>0,0141L | +0,175<br>+0,0069 | 0,000<br>0,0000 | 0,000L<br>0,425L<br>0,0000L<br>0,0167L |

NOTA: A tolerância e os diâmetros do eixo são mostrados na tabela como variações do furo nominal do D.E.

<sup>(1)</sup>A faixa de tolerância é de +0 até o valor indicado.

## AJUSTES DO EIXO E DO ALOJAMENTO

Estas tabelas são orientações para a especificação de ajustes de eixo e mancal relacionados a condições particulares de operação.

| H8                                  |                                     |   | J6                                  |                                     |   | J7                                  |                                     |   | K6                                  |                                     |   | K7                                  |                                     |   |
|-------------------------------------|-------------------------------------|---|-------------------------------------|-------------------------------------|---|-------------------------------------|-------------------------------------|---|-------------------------------------|-------------------------------------|---|-------------------------------------|-------------------------------------|---|
| Furo do mancal<br>Máx.<br><b>mm</b> | Furo do mancal<br>Mín.<br><b>mm</b> | Ajuste<br><b>pol.</b>                         | Furo do mancal<br>Máx.<br><b>mm</b> | Furo do mancal<br>Mín.<br><b>mm</b> | Ajuste<br><b>pol.</b>                         | Furo do mancal<br>Máx.<br><b>mm</b> | Furo do mancal<br>Mín.<br><b>mm</b> | Ajuste<br><b>pol.</b>                         | Furo do mancal<br>Máx.<br><b>mm</b> | Furo do mancal<br>Mín.<br><b>mm</b> | Ajuste<br><b>pol.</b>                         | Furo do mancal<br>Máx.<br><b>mm</b> | Furo do mancal<br>Mín.<br><b>mm</b> | Ajuste<br><b>pol.</b>                         |
| <b>+0,050</b><br>+0,0049            | <b>0,000</b><br>0,0000              | <b>0,000L</b><br>0,125L<br>0,0000L<br>0,0079L | <b>+0,040</b><br>+0,0016            | <b>-0,010</b><br>-0,0004            | <b>0,010T</b><br>0,115L<br>0,0004T<br>0,0046L | <b>+0,056</b><br>+0,0022            | <b>-0,024</b><br>-0,0009            | <b>0,024T</b><br>0,131L<br>0,0009T<br>0,0052L | <b>0,000</b><br>0,0000              | <b>-0,050</b><br>-0,0020            | <b>0,050T</b><br>0,075L<br>0,0020T<br>0,0030L | <b>0,000</b><br>0,0000              | <b>-0,080</b><br>-0,0031            | <b>0,080T</b><br>0,075L<br>0,0031T<br>0,0030L |
| <b>+0,056</b><br>+0,0055            | <b>0,000</b><br>0,0000              | <b>0,000L</b><br>0,156L<br>0,0000L<br>0,0094L | <b>+0,046</b><br>+0,0018            | <b>-0,010</b><br>-0,0004            | <b>0,010T</b><br>0,146L<br>0,0004T<br>0,0057L | <b>+0,064</b><br>+0,0025            | <b>-0,026</b><br>-0,0010            | <b>0,026T</b><br>0,164L<br>0,0010T<br>0,0064L | <b>0,000</b><br>0,0000              | <b>-0,056</b><br>-0,0022            | <b>0,056T</b><br>0,100L<br>0,0022T<br>0,0039L | <b>0,000</b><br>0,0000              | <b>-0,090</b><br>-0,0035            | <b>0,090T</b><br>0,100L<br>0,0035T<br>0,0039L |
| <b>+0,066</b><br>+0,0065            | <b>0,000</b><br>0,0000              | <b>0,000L</b><br>0,191L<br>0,0000L<br>0,0114L | <b>+0,056</b><br>+0,0022            | <b>-0,010</b><br>-0,0004            | <b>0,010T</b><br>0,181L<br>0,0004T<br>0,0071L | <b>+0,077</b><br>+0,0030            | <b>-0,028</b><br>-0,0011            | <b>0,028T</b><br>0,202L<br>0,0011T<br>0,0079L | <b>0,000</b><br>0,0000              | <b>-0,066</b><br>-0,0026            | <b>0,066T</b><br>0,125L<br>0,0026T<br>0,0049L | <b>0,000</b><br>0,0000              | <b>-0,105</b><br>-0,0041            | <b>0,105T</b><br>0,125L<br>0,0041T<br>0,0049L |
| <b>+0,078</b><br>+0,0077            | <b>0,000</b><br>0,0000              | <b>0,000L</b><br>0,238L<br>0,0000L<br>0,0104L | <b>+0,068</b><br>+0,0027            | <b>-0,010</b><br>-0,0004            | <b>0,010T</b><br>0,228L<br>0,0004T<br>0,0090L | <b>+0,095</b><br>+0,0037            | <b>-0,030</b><br>-0,0012            | <b>0,030T</b><br>0,255L<br>0,0012T<br>0,0100L | <b>0,000</b><br>0,0000              | <b>-0,078</b><br>-0,0031            | <b>0,078T</b><br>0,160L<br>0,0031T<br>0,0063L | <b>0,000</b><br>0,0000              | <b>-0,125</b><br>-0,0049            | <b>0,125T</b><br>0,160L<br>0,0049T<br>0,0063L |
| <b>+0,092</b><br>+0,0091            | <b>0,000</b><br>0,0000              | <b>0,000L</b><br>0,292L<br>0,0000L<br>0,0170L | <b>+0,082</b><br>+0,0032            | <b>-0,010</b><br>-0,0004            | <b>0,110T</b><br>0,282L<br>0,0004T<br>0,0111L | <b>+0,118</b><br>+0,0046            | <b>-0,032</b><br>-0,0013            | <b>0,032T</b><br>0,318L<br>0,0013T<br>0,0125L | <b>0,000</b><br>0,0000              | <b>-0,092</b><br>-0,0036            | <b>0,092T</b><br>0,200L<br>0,0036T<br>0,0079L | <b>0,000</b><br>0,0000              | <b>-0,150</b><br>-0,0059            | <b>0,150T</b><br>0,200L<br>0,0059T<br>0,0079L |
| <b>+0,110</b><br>+0,0110            | <b>0,000</b><br>0,0000              | <b>0,000L</b><br>0,360L<br>0,0000L<br>0,0208L | <b>+0,100</b><br>+0,0039            | <b>-0,010</b><br>-0,0004            | <b>0,010T</b><br>0,350L<br>0,0004T<br>0,0137L | <b>+0,141</b><br>+0,0056            | <b>-0,034</b><br>-0,0013            | <b>0,034T</b><br>0,391L<br>0,0013T<br>0,0154L | <b>0,000</b><br>0,0000              | <b>-0,110</b><br>-0,0043            | <b>0,110T</b><br>0,250L<br>0,0043T<br>0,0098L | <b>0,000</b><br>0,0000              | <b>-0,175</b><br>-0,0069            | <b>0,175T</b><br>0,250L<br>0,0069T<br>0,0098L |

Estas tabelas são orientações para a especificação de ajustes de eixo e mancal relacionados a condições particulares de operação.

**TABELA 12. TOLERÂNCIAS DO MANCAL DE ROLAMENTOS RADIAIS DE ESFERAS, AUTOCOMPENSADORES DE ROLOS E DE ROLOS CILÍNDRICOS**

| Furo do rolamento           |                                 |                        | M6                     |                   |                               | M7                     |                   |                               | N6                     |                   |                               | N7                     |                   |                               |
|-----------------------------|---------------------------------|------------------------|------------------------|-------------------|-------------------------------|------------------------|-------------------|-------------------------------|------------------------|-------------------|-------------------------------|------------------------|-------------------|-------------------------------|
| Tolerâncial (máx.)<br>Acima | Incl.<br>nominal <sup>(1)</sup> | Furo do mancal<br>Máx. | Furo do mancal<br>Mín. | Ajuste            | Furo do mancal<br>Máx.        | Furo do mancal<br>Mín. | Ajuste            | Furo do mancal<br>Máx.        | Furo do mancal<br>Mín. | Ajuste            | Furo do mancal<br>Máx.        | Furo do mancal<br>Mín. | Ajuste            |                               |
| mm<br>pol.                  | mm<br>pol.                      | mm<br>pol.             | mm<br>pol.             | mm<br>pol.        | mm<br>pol.                    | mm<br>pol.             | mm<br>pol.        | mm<br>pol.                    | mm<br>pol.             | mm<br>pol.        | mm<br>pol.                    | mm<br>pol.             | mm<br>pol.        | mm<br>pol.                    |
| 10,000<br>0,3937            | 18,000<br>0,7087                | -0,008<br>-0,0003      | -0,004<br>-0,0002      | -0,015<br>-0,0006 | 0,004L<br>0,0006T<br>0,0001L  | 0,000<br>0,0000        | -0,018<br>-0,0007 | 0,008L<br>0,0007T<br>0,0003L  | -0,009<br>-0,0004      | -0,020<br>-0,0008 | 0,001T<br>0,0008T<br>0,0001T  | -0,005<br>-0,0002      | -0,023<br>-0,0009 | 0,003L<br>0,0009T<br>0,0001L  |
| 18,000<br>0,7087            | 30,000<br>1,1811                | -0,009<br>-0,0035      | -0,004<br>-0,0002      | -0,017<br>-0,0007 | 0,005L<br>0,0007T<br>0,00015L | 0,000<br>0,0000        | -0,021<br>-0,0008 | 0,009L<br>0,0008T<br>0,0035L  | -0,007<br>-0,0004      | -0,028<br>-0,0009 | 0,002T<br>0,0009T<br>0,00005T | -0,007<br>-0,0003      | -0,028<br>-0,0011 | 0,002L<br>0,0011T<br>0,00005L |
| 30,000<br>1,1811            | 50,000<br>1,9685                | -0,011<br>-0,0045      | -0,004<br>-0,0002      | -0,020<br>-0,0008 | 0,007L<br>0,0008T<br>0,00025L | 0,000<br>0,0000        | -0,025<br>-0,0010 | 0,011L<br>0,0010T<br>0,00045L | -0,012<br>-0,0005      | -0,028<br>-0,0011 | 0,001T<br>0,0011T<br>0,00005T | -0,008<br>-0,0003      | -0,033<br>-0,0013 | 0,003L<br>0,0013T<br>0,00015L |
| 50,000<br>1,9685            | 80,000<br>3,1496                | -0,013<br>-0,0005      | -0,005<br>-0,0002      | -0,024<br>-0,0009 | 0,008L<br>0,0009T<br>0,0003L  | 0,000<br>0,0000        | -0,030<br>-0,0012 | 0,013L<br>0,0012T<br>0,0005L  | -0,014<br>-0,0006      | -0,033<br>-0,0013 | 0,001T<br>0,0013T<br>0,0001T  | -0,009<br>-0,0004      | -0,039<br>-0,0015 | 0,004L<br>0,0015T<br>0,0001L  |
| 80,000<br>3,1496            | 120,000<br>4,7244               | -0,015<br>-0,0006      | -0,006<br>-0,0002      | -0,028<br>-0,0011 | 0,009L<br>0,0011T<br>0,0004L  | 0,000<br>0,0000        | -0,035<br>-0,0014 | 0,015L<br>0,0014T<br>0,0006L  | -0,016<br>-0,0006      | -0,038<br>-0,0015 | 0,001T<br>0,0015T<br>0,0000T  | -0,010<br>-0,0004      | -0,045<br>-0,0018 | 0,005L<br>0,0018T<br>0,0002L  |
| 120,000<br>4,7244           | 150,000<br>5,9055               | -0,018<br>-0,0007      | -0,008<br>-0,0003      | -0,033<br>-0,0013 | 0,010L<br>0,0013T<br>0,0004L  | 0,000<br>0,0000        | -0,040<br>-0,0016 | 0,018L<br>0,0016T<br>0,0007L  | -0,020<br>-0,0008      | -0,045<br>-0,0018 | 0,002T<br>0,0018T<br>0,0001T  | -0,012<br>-0,0005      | -0,052<br>-0,0020 | 0,018L<br>0,0020T<br>0,0002L  |
| 150,000<br>5,9055           | 180,000<br>7,0866               | -0,025<br>-0,0010      | -0,008<br>-0,0003      | -0,033<br>-0,0013 | 0,017L<br>0,0013T<br>0,0007L  | 0,000<br>0,0000        | -0,040<br>-0,0016 | 0,025L<br>0,0016T<br>0,0010L  | -0,020<br>-0,0008      | -0,045<br>-0,0018 | 0,005T<br>0,0018T<br>0,0002T  | -0,012<br>-0,0005      | -0,052<br>-0,0020 | 0,013L<br>0,0020T<br>0,0005L  |
| 180,000<br>7,0866           | 250,000<br>9,8425               | -0,030<br>-0,0012      | -0,008<br>-0,0003      | -0,037<br>-0,0015 | 0,022L<br>0,0015T<br>0,0009L  | 0,000<br>0,0000        | -0,046<br>-0,0018 | 0,030L<br>0,0018T<br>0,0012L  | -0,022<br>-0,0009      | -0,051<br>-0,0020 | 0,008T<br>0,0020T<br>0,0003T  | -0,014<br>-0,0006      | -0,060<br>-0,0024 | 0,016L<br>0,0024T<br>0,0006L  |
| 250,000<br>9,8425           | 315,000<br>12,4016              | -0,035<br>-0,0014      | -0,009<br>-0,0004      | -0,041<br>-0,0016 | 0,026L<br>0,0016T<br>0,0010L  | 0,000<br>0,0000        | -0,052<br>-0,0020 | 0,035L<br>0,0020T<br>0,03014L | -0,025<br>-0,0010      | -0,057<br>-0,0022 | 0,010T<br>0,0022T<br>0,0004T  | -0,014<br>-0,0006      | -0,066<br>-0,0026 | 0,021L<br>0,0025T<br>0,0008L  |
| 315,000<br>12,4016          | 400,000<br>15,7480              | -0,040<br>-0,0016      | -0,010<br>-0,0004      | -0,046<br>-0,0018 | 0,030L<br>0,0018T<br>0,0012L  | 0,000<br>0,0000        | -0,057<br>-0,0022 | 0,040L<br>0,0022T<br>0,0016L  | -0,026<br>-0,0006      | -0,062<br>-0,0029 | 0,014T<br>0,0024T<br>0,0006T  | -0,016<br>-0,0006      | -0,073<br>-0,0029 | 0,024L<br>0,0029T<br>0,0010L  |
| 400,000<br>15,7480          | 500,000<br>19,6850              | -0,045<br>-0,0018      | -0,010<br>-0,0004      | -0,050<br>-0,0020 | 0,035L<br>0,0020T<br>0,0014L  | 0,000<br>0,0000        | -0,063<br>-0,0025 | 0,045L<br>0,0025T<br>0,0018L  | -0,027<br>-0,0011      | -0,067<br>-0,0026 | 0,018T<br>0,0026T<br>0,0007T  | -0,017<br>-0,0007      | -0,080<br>-0,0031 | 0,028L<br>0,0031T<br>0,0011L  |
| 500,000<br>19,6850          | 630,000<br>24,8032              | -0,050<br>-0,0020      | -0,026<br>-0,0010      | -0,070<br>-0,0028 | 0,024L<br>0,0028T<br>0,0010L  | -0,026<br>-0,0010      | -0,096<br>-0,0038 | 0,024L<br>0,0038T<br>0,0010L  | -0,044<br>-0,0017      | -0,088<br>-0,0035 | 0,006T<br>0,0035T<br>0,0003T  | -0,044<br>-0,0017      | -0,114<br>-0,0045 | 0,006L<br>0,0045T<br>0,0003L  |

NOTA: A tolerância e os diâmetros do eixo são mostrados na tabela como variações do furo nominal do D.E.

<sup>(1)</sup>A faixa de tolerância é de +0 até o valor indicado.

Estas tabelas são orientações para a especificação de ajustes de eixo e mancal relacionados a condições particulares de operação.

| P6                                   |                    |   | P7                                   |                    |  |
|--------------------------------------|--------------------|---|--------------------------------------|--------------------|--|
| Furo do mancal<br>Máx.<br>mm<br>pol. | Mín.<br>mm<br>pol. | Ajuste                                  | Furo do mancal<br>Máx.<br>mm<br>pol. | Mín.<br>mm<br>pol. | Ajuste                                 |
| -0,015<br>-0,0006                    | -0,026<br>-0,0010  | 0,026T<br>0,007T<br>0,0010T<br>0,0003T  | -0,011<br>-0,0004                    | -0,029<br>-0,0011  | 0,029T<br>0,003T<br>0,0011T<br>0,0001T |
| -0,018<br>-0,0007                    | -0,031<br>-0,0012  | 0,031T<br>0,009T<br>0,0012T<br>0,00035T | -0,014<br>-0,0006                    | -0,035<br>-0,0014  | 0,035T<br>0,005T<br>0,0014T<br>0,0025T |
| -0,021<br>-0,0008                    | -0,037<br>-0,0015  | 0,037T<br>0,010T<br>0,0015T<br>0,00035T | -0,017<br>-0,0007                    | -0,042<br>-0,0017  | 0,042T<br>0,006T<br>0,0017T<br>0,0025T |
| -0,026<br>-0,0010                    | -0,045<br>-0,0018  | 0,045T<br>0,013T<br>0,0018T<br>0,0005T  | -0,021<br>-0,0008                    | -0,051<br>-0,0020  | 0,051T<br>0,008T<br>0,0020T<br>0,0003T |
| -0,030<br>-0,0012                    | -0,052<br>-0,0020  | 0,052T<br>0,015T<br>0,0020T<br>0,0006T  | -0,024<br>-0,0009                    | -0,059<br>-0,0023  | 0,059T<br>0,009T<br>0,0023T<br>0,0003T |
| -0,036<br>-0,0014                    | -0,061<br>-0,0024  | 0,061T<br>0,018T<br>0,0024T<br>0,0007T  | -0,028<br>-0,0011                    | -0,068<br>-0,0027  | 0,068T<br>0,010T<br>0,0027T<br>0,0004T |
| -0,036<br>-0,0014                    | -0,061<br>-0,0024  | 0,061T<br>0,011T<br>0,0024T<br>0,0004T  | -0,028<br>-0,0011                    | -0,068<br>-0,0027  | 0,068T<br>0,003T<br>0,0027T<br>0,0001T |
| -0,041<br>-0,0016                    | -0,070<br>-0,0028  | 0,070T<br>0,011T<br>0,0028T<br>0,0004T  | -0,033<br>-0,0013                    | -0,079<br>-0,0031  | 0,079T<br>0,003T<br>0,0031T<br>0,0001T |
| -0,047<br>-0,0019                    | -0,079<br>-0,0031  | 0,079T<br>0,012T<br>0,0031T<br>0,0005T  | -0,036<br>-0,0014                    | -0,088<br>-0,0035  | 0,088T<br>0,001T<br>0,0035T<br>0,0000T |
| -0,051<br>-0,0020                    | -0,087<br>-0,0034  | 0,087T<br>0,011T<br>0,0034T<br>0,0004T  | -0,041<br>-0,0016                    | -0,098<br>-0,0039  | 0,098T<br>0,001T<br>0,0039T<br>0,0000T |
| -0,055<br>-0,0022                    | -0,095<br>-0,0037  | 0,095T<br>0,010T<br>0,0037T<br>0,0004T  | -0,045<br>-0,0018                    | -0,108<br>-0,0043  | 0,108T<br>0,000T<br>0,0043T<br>0,0000T |
| -0,078<br>-0,0031                    | -0,122<br>-0,0048  | 0,122T<br>0,028T<br>0,0048T<br>0,0011T  | -0,078<br>-0,0031                    | -0,148<br>-0,0058  | 0,148T<br>0,028T<br>0,0058T<br>0,0011T |

Continua na próxima página.

## AJUSTES DO EIXO E DO ALOJAMENTO

Estas tabelas são orientações para a especificação de ajustes de eixo e mancal relacionados a condições particulares de operação.

Tabela 12 continuaçao.

| Furo do rolamento           |                                 | M6                     |                   |                   | M7                                     |                   |                   | N6                                     |                   |                   | N7                                     |                   |                   |  |
|-----------------------------|---------------------------------|------------------------|-------------------|-------------------|--|-------------------|-------------------|--|-------------------|-------------------|--|-------------------|-------------------|--|
| Tolerâncial (máx.)<br>Acima | Incl.<br>nominal <sup>(1)</sup> | Furo do mancal<br>Máx. | Mín.              | Ajuste            | Furo do mancal<br>Máx.                 | Mín.              | Ajuste            | Furo do mancal<br>Máx.                 | Mín.              | Ajuste            | Furo do mancal<br>Máx.                 | Mín.              | Ajuste            |  |
| mm<br>pol.                  | mm<br>pol.                      | mm<br>pol.             | mm<br>pol.        | mm<br>pol.        | mm<br>pol.                             | mm<br>pol.        | mm<br>pol.        | mm<br>pol.                             | mm<br>pol.        | mm<br>pol.        | mm<br>pol.                             | mm<br>pol.        | mm<br>pol.        |  |
| 630,000<br>24,8032          | 800,000<br>31,4961              | -0,075<br>-0,0030      | -0,030<br>-0,0012 | -0,080<br>-0,0031 | 0,045L<br>0,0031T<br>0,0018L           | -0,030<br>-0,0012 | -0,110<br>-0,0043 | 0,110T<br>0,045L<br>0,0043T<br>0,0018L | -0,050<br>-0,0020 | -0,100<br>-0,0039 | 0,100T<br>0,025T<br>0,0039T<br>0,0010T | -0,050<br>-0,0020 | -0,130<br>-0,0051 | 0,130T<br>0,025L<br>0,0051T<br>0,0010L |
| 800,000<br>31,4961          | 1000,000<br>39,3701             | -0,100<br>-0,0039      | -0,034<br>-0,0013 | -0,090<br>-0,0035 | 0,066L<br>0,0035T<br>0,0026L           | -0,034<br>-0,0013 | -0,124<br>-0,0049 | 0,124T<br>0,066L<br>0,0049T<br>0,0026L | -0,056<br>-0,0022 | -0,112<br>-0,0044 | 0,112T<br>0,044T<br>0,0044T<br>0,0017T | -0,056<br>-0,0022 | -0,146<br>-0,0057 | 0,146T<br>0,044L<br>0,0057T<br>0,0017L |
| 1000,000<br>39,3701         | 1250,000<br>49,2126             | -0,125<br>-0,0049      | -0,040<br>-0,0016 | -0,106<br>-0,0042 | 0,106T<br>0,085L<br>0,0042T<br>0,0033L | -0,040<br>-0,0016 | -0,145<br>-0,0057 | 0,145T<br>0,085L<br>0,0057T<br>0,0033L | -0,066<br>-0,0026 | -0,132<br>-0,0052 | 0,132T<br>0,059T<br>0,0052T<br>0,0023T | -0,066<br>-0,0026 | -0,171<br>-0,0067 | 0,171T<br>0,059L<br>0,0067T<br>0,0023L |
| 1250,000<br>49,2126         | 1600,000<br>62,9921             | -0,160<br>-0,0063      | -0,048<br>-0,0019 | -0,126<br>-0,0050 | 0,126T<br>0,112L<br>0,0050T<br>0,0044L | -0,048<br>-0,0019 | -0,173<br>-0,0068 | 0,173T<br>0,112L<br>0,0068T<br>0,0044L | -0,078<br>-0,0031 | -0,156<br>-0,0061 | 0,156T<br>0,082T<br>0,0061T<br>0,0032T | -0,078<br>-0,0031 | -0,203<br>-0,0080 | 0,203T<br>0,082L<br>0,0080T<br>0,0023L |
| 1600,000<br>62,9921         | 2000,000<br>78,7402             | -0,200<br>-0,0079      | -0,058<br>-0,0023 | -0,150<br>-0,0059 | 0,150T<br>0,142L<br>0,0059T<br>0,0056L | -0,058<br>-0,0023 | -0,208<br>-0,0082 | 0,208T<br>0,142L<br>0,0082T<br>0,0056L | -0,092<br>-0,0036 | -0,184<br>-0,0072 | 0,184T<br>0,108T<br>0,0072T<br>0,0043T | -0,092<br>-0,0036 | -0,242<br>-0,0095 | 0,242T<br>0,108L<br>0,0095T<br>0,0043L |
| 2000,000<br>78,7402         | 2500,000<br>98,4252             | -0,250<br>-0,0098      | -0,068<br>-0,0027 | -0,178<br>-0,0070 | 0,178T<br>0,182L<br>0,0070T<br>0,0071L | -0,068<br>-0,0027 | -0,243<br>-0,0096 | 0,243<br>0,182L<br>0,0096T<br>0,0071L  | -0,110<br>-0,0043 | -0,220<br>-0,0087 | 0,285T<br>0,140T<br>0,112T<br>0,055T   | -0,110<br>-0,0043 | -0,285<br>-0,0112 | 0,285T<br>0,140L<br>0,0112T<br>0,0055L |

NOTA: A tolerância e os diâmetros do eixo são mostrados na tabela como variações do furo nominal do D.E.

(1)A faixa de tolerância é de +0 até o valor indicado.

Estas tabelas são orientações para a especificação de ajustes de eixo e mancal relacionados a condições particulares de operação.

| P6                     |                   |  | P7                     |                   |  |
|------------------------|-------------------|--|------------------------|-------------------|--|
| Furo do mancal<br>Máx. | Mín.              | Ajuste                                 | Furo do mancal<br>Máx. | Mín.              | Ajuste                                 |
| mm<br>pol.             | mm<br>pol.        | mm<br>pol.                             | mm<br>pol.             | mm<br>pol.        | mm<br>pol.                             |
| -0,088<br>-0,0035      | -0,138<br>-0,0054 | 0,138T<br>0,013T<br>0,0054T<br>0,0005T | -0,088<br>-0,0035      | -0,168<br>-0,0066 | 0,168T<br>0,013T<br>0,0066T<br>0,0005T |
| -0,100<br>-0,0039      | -0,156<br>-0,0061 | 0,156T<br>0,000T<br>0,0061T<br>0,0000T | -0,100<br>-0,0039      | -0,190<br>-0,0075 | 0,190T<br>0,000T<br>0,0075T<br>0,0000T |
| -0,120<br>-0,0047      | -0,186<br>-0,0073 | 0,186T<br>0,005L<br>0,0073T<br>0,0002L | -0,120<br>-0,0047      | -0,225<br>-0,0089 | 0,225T<br>0,005T<br>0,0089T<br>0,0002T |
| -0,140<br>-0,0055      | -0,218<br>-0,0086 | 0,218T<br>0,020L<br>0,0086T<br>0,0008L | -0,140<br>-0,0055      | -0,265<br>-0,0104 | 0,265T<br>0,020L<br>0,0104T<br>0,0008L |
| -0,170<br>-0,0067      | -0,262<br>-0,0103 | 0,262T<br>0,030L<br>0,0103T<br>0,0012L | -0,170<br>-0,0067      | -0,320<br>-0,0126 | 0,320T<br>0,030L<br>0,0126T<br>0,0012L |
| -0,195<br>-0,0077      | -0,305<br>-0,0120 | 0,305T<br>0,055L<br>0,0120T<br>0,0021L | -0,195<br>-0,0077      | -0,370<br>-0,0146 | 0,370T<br>0,055L<br>0,0146T<br>0,0021L |

## AJUSTES E TOLERÂNCIAS DO EIXO E DO MANCAL DA SÉRIE MÉTRICA 5200, A5200

TABELA 13. AJUSTES DO EIXO<sup>(1)</sup>

| Furo do rolamento |               | Tolerância do furo <sup>(2)</sup> | Ajuste de pressão Anel interno rotativo |                   |                   |                   | Ajuste com deslizamento Anel interno estacionário |                   |                   |                   |
|-------------------|---------------|-----------------------------------|---|-------------------|-------------------|-------------------|---|-------------------|-------------------|-------------------|
|                   |               |                                   | Diâmetro do eixo                        |                   | Ajuste            |                   | Diâmetro do eixo                                  |                   | Ajuste            |                   |
| Acima             | Incl.         | Máx.                              | Mín.                                    | Máx.              | Mín.              | Máx.              | Mín.  | Máx.              | Mín.              |                   |
| mm<br>pol.        | mm<br>pol.    | mm<br>pol.                        | mm<br>pol.                              | mm<br>pol.        | mm<br>pol.        | mm<br>pol.        | mm<br>pol.  | mm<br>pol.        | mm<br>pol.        |                   |
| 80<br>3,1496      | 120<br>4,7236 | -0,020<br>-0,0008                 | +0,048<br>+0,0019                       | +0,025<br>+0,0010 | 0,025T<br>0,0010T | 0,069T<br>0,0027T | 0,000<br>0,0000                                   | -0,023<br>-0,0009 | 0,023L<br>0,0009L | 0,020T<br>0,0008T |
| 120<br>4,7236     | 140<br>5,5108 | -0,025<br>-0,0010                 | +0,056<br>+0,0022                       | +0,030<br>+0,0012 | 0,030T<br>0,0012T | 0,081T<br>0,0032T | 0,000<br>0,0000                                   | -0,025<br>-0,0010 | 0,025L<br>0,0010L | 0,025T<br>0,0010T |
| 140<br>5,5108     | 180<br>7,0856 | -0,025<br>-0,0010                 | +0,071<br>+0,0028                       | +0,046<br>+0,0018 | 0,046T<br>0,0018T | 0,097T<br>0,0038T | 0,000<br>0,0000                                   | -0,025<br>-0,0010 | 0,025L<br>0,0010L | 0,025T<br>0,0010T |
| 180<br>7,0856     | 240<br>9,4476 | -0,030<br>-0,0012                 | +0,081<br>+0,0032                       | +0,051<br>+0,0020 | 0,051T<br>0,0020T | 0,112T<br>0,0044T | 0,000<br>0,0000                                   | -0,030<br>-0,0012 | 0,030L<br>0,0012L | 0,030T<br>0,0012T |

<sup>(1)</sup> Quando o eixo é usado como superfície do anel, a dureza deverá ser no mínimo Rc58 e o acabamento superficial deve ser 15 RMS.<sup>(2)</sup> A faixa de tolerância é de +0 até o valor indicado.

TABELA 14. AJUSTES DO MANCAL

| Furo do rolamento |                | Tolerância do furo <sup>(1)</sup> | Ajuste de pressão Anel interno rotativo |                   |                   |                   | Ajuste com deslizamento Anel interno estacionário |                   |                   |                   |
|-------------------|----------------|-----------------------------------|---|-------------------|-------------------|-------------------|---|-------------------|-------------------|-------------------|
|                   |                |                                   | Diâmetro do mancal                      |                   | Ajuste            |                   | Diâmetro do mancal                                |                   | Ajuste            |                   |
| Acima             | Incl.          | Máx.                              | Mín.                                    | Máx.              | Mín.              | Máx.              | Mín.  | Máx.              | Mín.              |                   |
| mm<br>pol.        | mm<br>pol.     | mm<br>pol.                        | mm<br>pol.                              | mm<br>pol.        | mm<br>pol.        | mm<br>pol.        | mm<br>pol.  | mm<br>pol.        | mm<br>pol.        |                   |
| —<br>—            | 180<br>7,0866  | -0,025<br>-0,0010                 | +0,022<br>+0,0008                       | -0,015<br>-0,0006 | 0,015T<br>0,0006T | 0,046L<br>0,0018L | -0,025<br>-0,0010                                 | -0,056<br>-0,0022 | 0,056T<br>0,0022T | 0,000L<br>0,0000L |
| 180<br>7,0866     | 200<br>7,8740  | -0,030<br>-0,0012                 | +0,018<br>+0,0007                       | -0,018<br>-0,0007 | 0,018T<br>0,0007T | 0,048L<br>0,0019L | -0,030<br>-0,0012                                 | -0,066<br>-0,0026 | 0,066T<br>0,0026T | 0,000L<br>0,0000L |
| 200<br>7,874      | 230<br>9,0551  | -0,030<br>-0,0012                 | +0,023<br>+0,0009                       | -0,018<br>-0,0007 | 0,018T<br>0,0007T | 0,053L<br>0,0021L | -0,030<br>-0,0012                                 | -0,066<br>-0,0026 | 0,066T<br>0,0026T | 0,000L<br>0,0000L |
| 230<br>9,0551     | 250<br>9,8425  | -0,030<br>-0,0012                 | +0,028<br>+0,0011                       | -0,018<br>-0,0007 | 0,018T<br>0,0007T | 0,058L<br>0,0023L | -0,030<br>-0,0012                                 | -0,066<br>-0,0026 | 0,066T<br>0,0026T | 0,000L<br>0,0000L |
| 250<br>9,8425     | 270<br>10,6299 | -0,036<br>-0,0014                 | +0,028<br>+0,0011                       | -0,018<br>-0,0007 | 0,018T<br>0,0007T | 0,064L<br>0,0025L | -0,030<br>-0,0012                                 | -0,071<br>-0,0028 | 0,071T<br>0,0028T | 0,005L<br>0,0002L |
| 270<br>10,6299    | 310<br>12,2047 | -0,036<br>-0,0014                 | +0,033<br>+0,0013                       | -0,018<br>-0,0007 | 0,018T<br>0,0007T | 0,069L<br>0,0027L | -0,036<br>-0,0014                                 | -0,071<br>-0,0028 | 0,071T<br>0,0028T | 0,005L<br>0,0002L |
| 310<br>12,2047    | 400<br>15,7480 | -0,041<br>-0,0016                 | +0,038<br>+0,0015                       | -0,018<br>-0,0007 | 0,018T<br>0,0007T | 0,079L<br>0,0031L | -0,036<br>-0,0014                                 | -0,076<br>-0,0030 | 0,079T<br>0,0030T | 0,005L<br>0,0002L |
| 400<br>15,748     | 440<br>17,3228 | -0,046<br>-0,0018                 | +0,041<br>+0,0016                       | -0,023<br>-0,0009 | 0,023T<br>0,0009T | 0,086L<br>0,0034L | -0,036<br>-0,0014                                 | -0,086<br>-0,0034 | 0,086T<br>0,0034T | 0,010L<br>0,0004L |

<sup>(1)</sup> A faixa de tolerância é de +0 até o valor indicado.

**TABELA 15. FOLGA INTERNA RADIAL DA SÉRIE MÉTRICA 5200 (R6)**

| Furo do rolamento |               | Folga radial interna |                 |
|-------------------|---------------|----------------------|-----------------|
| Acima             | Incl.         | Máx.                 | Mín.            |
| mm<br>pol.        | mm<br>pol.    | mm<br>pol.           | mm<br>pol.      |
| —                 | 100           | 0,183                | 0,127           |
| —                 | 3,937         | 0,0072               | 0,005           |
| 100<br>3,937      | 120<br>4,7244 | 0,188<br>0,0074      | 0,127<br>0,005  |
| 120<br>4,7244     | 140<br>5,5118 | 0,208<br>0,0082      | 0,142<br>0,0056 |
| 140<br>5,5118     | 170<br>6,6929 | 0,224<br>0,0088      | 0,152<br>0,006  |
| 170<br>6,6929     | 180<br>7,0866 | 0,229<br>0,009       | 0,152<br>0,006  |
| 180<br>7,0866     | 220<br>8,6614 | 0,254<br>0,01        | 0,173<br>0,0068 |
| 220<br>8,6614     | 240<br>9,4488 | 0,269<br>0,0106      | 0,183<br>0,0072 |

**TABELA 16. TOLERÂNCIAS DO ANEL INTERNO DA SÉRIE MÉTRICA 5200**

| Furo do rolamento |               | Furo e D.E.             | Largura           |
|-------------------|---------------|-------------------------|-------------------|
| Acima             | Incl.         | Interno. <sup>(1)</sup> | +0                |
| mm<br>pol.        | mm<br>pol.    | mm<br>pol.              | mm<br>pol.        |
| 80<br>3,1496      | 120<br>4,7244 | -0,020<br>-0,0008       | -0,203<br>-0,0080 |
| 120<br>4,7244     | 80<br>7,0866  | -0,025<br>-0,0010       | -0,254<br>-0,0100 |
| 180<br>7,0866     | 250<br>9,8425 | -0,030<br>-0,0012       | -0,305<br>-0,0120 |

<sup>(1)</sup>A faixa de tolerância é de +0 até o valor indicado.

**TABELA 17. TOLERÂNCIAS DO ANEL EXTERNO DA SÉRIE MÉTRICA 5200**

| Furo do rolamento |                | D.E. <sup>(1)</sup> | Largura           |
|-------------------|----------------|---------------------|-------------------|
| Acima             | Incl.          |                     | +0                |
| mm<br>pol.        | mm<br>pol.     | mm<br>pol.          | mm<br>pol.        |
| 150<br>5,9055     | 180<br>7,0866  | -0,025<br>-0,0010   | +0,036<br>+0,0014 |
| 180<br>7,0866     | 250<br>9,8425  | -0,030<br>-0,0012   | +0,041<br>+0,0016 |
| 250<br>9,8425     | 315<br>12,4016 | -0,036<br>-0,0014   | +0,046<br>+0,0018 |
| 315<br>12,4016    | 400<br>15,748  | -0,041<br>-0,0016   | +0,051<br>+0,0020 |
| 400<br>15,748     | 500<br>19,685  | -0,046<br>-0,0018   | +0,056<br>+0,0022 |

<sup>(1)</sup>A faixa de tolerância é de +0 até o valor indicado.

**TABELA 18. DIMENSÕES DO EIXO DE ROLAMENTOS 5200 SEM ANEL INTERNO**

| Designação do rolamento | Ajuste com deslizamento do mancal <sup>(1)</sup> |                    | Ajuste de pressão do mancal <sup>(1)</sup> |                   |
|-------------------------|--|--------------------|--|-------------------|
|                         | Máx.   | Mín.               | Máx.                                       | Mín.              |
|                         | mm<br>pol.                                       | mm<br>pol.         | mm<br>pol.                                 | mm<br>pol.        |
| 5220 WS                 | 121,064<br>4,7663                                | 121,044<br>4,7655  | 121,036<br>4,7652                          | 121,016<br>4,7644 |
| 5222 WS                 | 133,007<br>5,2365                                | 132,987<br>5,2357  | 132,969<br>5,235                           | 132,949<br>5,2343 |
| 5224 WS                 | 145,194<br>5,7163                                | 145,174<br>5,7155  | 145,156<br>5,7148                          | 145,136<br>5,714  |
| 5226 WS                 | 155,042<br>6,104                                 | 155,016<br>6,103   | 155,004<br>6,1025                          | 154,978<br>6,1015 |
| 5228 WS                 | 168,529<br>6,635                                 | 168,504<br>6,634   | 168,491<br>6,6335                          | 168,466<br>6,6325 |
| 5230 WS                 | 181,623<br>7,1505                                | 181,597<br>7,1495  | 181,587<br>7,149                           | 181,559<br>7,148  |
| 5232 WS                 | 193,713<br>7,6265                                | 193,688<br>7,6255  | 193,675<br>7,625                           | 193,65<br>7,624   |
| 5234 WS                 | 205,562<br>8,093                                 | 205,537<br>8,092   | 205,524<br>8,0915                          | 205,499<br>8,0905 |
| 5236 WS                 | 216,37<br>8,5185                                 | 216,344<br>8,5175  | 216,319<br>8,5165                          | 216,294<br>8,5155 |
| 5238 WS                 | 229,032<br>9,017                                 | 229,001<br>9,0158  | 228,994<br>9,0155                          | 228,963<br>9,0143 |
| 5240 WS                 | 242,296<br>9,5392                                | 242,265<br>9,538   | 242,245<br>9,5372                          | 242,214<br>9,536  |
| 5244 WM                 | 266,02<br>10,4725                                | 265,971<br>10,4713 | 265,951<br>10,4705                         | 265,92<br>10,4693 |
| 5248WM                  | 291,292<br>11,4682                               | 291,262<br>11,467  | 291,241<br>11,4662                         | 291,211<br>11,465 |

<sup>(1)</sup>Todos os diâmetros do eixo baseiam-se em uma proporção entre o furo do mancal e o D.E. do mancal igual a 0,7.

## TEMPERATURAS OPERACIONAIS

Os rolamentos operam em uma grande variedade de aplicações e ambientes. Na maioria dos casos, a temperatura de operação do rolamento não é um problema. Algumas aplicações, no entanto, operam em velocidades extremas ou em ambientes de temperaturas extremas. Nesses casos, deve-se tomar cuidado para não exceder os limites de temperatura do rolamento. Os limites mínimos de temperatura baseiam-se principalmente na capacidade do lubrificante. Os limites máximos de temperatura baseiam-se frequentemente nas limitações do material e/ou do lubrificante, mas também podem se basear em requisitos de precisão do equipamento nos quais os rolamentos estão montados. Essas restrições/limitações são discutidas a seguir.

### LIMITAÇÕES DO MATERIAL DO ROLAMENTO

O aço padrão dos rolamentos com tratamento térmico padrão não mantém a dureza mínima desejada de 58 HRC a temperaturas muito acima de 120 °C (250 °F).

A estabilidade dimensional dos rolamentos Timken é gerenciada através da seleção apropriada de um processo de tratamento térmico adequado. Rolamentos padrão de rolos cônicos e de esferas da Timken são estabilizados dimensionalmente de 54 °C (-65 °F) a 120 °C (250 °F), ao passo que rolamentos autocompensadores de rolos padrão são estabilizados dimensionalmente a até 200 °C (392 °F). Já os rolamentos de rolos cilíndricos padrão são estabilizados até 150 °C (302 °F). Sob encomenda, esses rolamentos podem ser solicitados com níveis mais altos de estabilidade, conforme indicado a seguir. Essas designações estão de acordo com a Norma DIN 623.

TABELA 19.

| Designação de estabilidade | Temperatura máxima de operação |     |
|----------------------------|--------------------------------|-----|
|                            | °C                             | °F  |
| S0                         | 150                            | 302 |
| S1                         | 200                            | 392 |
| S2                         | 250                            | 482 |
| S3                         | 300                            | 572 |
| S4                         | 350                            | 662 |

Com um produto estabilizado dimensionalmente, ainda pode haver algumas alterações nas dimensões durante a operação, como resultado de transformações microestruturais. Essas transformações incluem a têmpera constante da martensita e a decomposição da austenita retida. A magnitude da mudança depende da temperatura de operação, o tempo durante o qual se fica nessa temperatura e a

composição e o tratamento térmico do aço.

Temperaturas que excedam os limites mostrados na tabela 19 exigem aço especial de alta temperatura. Consulte o seu engenheiro Timken sobre a disponibilidade de números de peça específicos para estabilidade térmica não padrão ou graus de aço de alta temperatura.

Os materiais sugeridos para esferas, anéis e rolos, em várias temperaturas operacionais, estão relacionados na tabela 20. Também são indicadas recomendações de composição química e dureza e informações sobre estabilidade dimensional.

A temperatura de operação afeta a espessura do filme lubrificante e a ajustagem e ambos têm influência direta sobre a vida útil do rolamento. Temperaturas extremamente altas podem resultar em menor espessura do filme, o que pode causar contato entre as asperezas das superfícies.

A temperatura de operação também pode afetar o desempenho dos porta-rolos, vedações e protetores, o que por sua vez pode afetar o desempenho do rolamento. Os materiais para esses componentes e suas faixas de temperatura de operação são mostrados na tabela 21.

### LIMITAÇÕES DA LUBRIFICAÇÃO

O torque de partida de aplicações lubrificadas com graxa normalmente aumenta de forma significativa em temperaturas mais baixas. O torque de partida não é primariamente uma função da consistência ou das propriedades de canal da graxa. Com frequência, é uma função das propriedades reológicas da graxa.

O limite de alta temperatura para graxas geralmente é uma função da estabilidade térmica e de oxidação do óleo base e da eficiência dos inibidores de oxidação.

Consulte a seção LUBRIFICAÇÃO E RETENTORES, na página 45, para obter mais informações sobre as limitações de lubrificação.

### REQUISITOS DO EQUIPAMENTO

O projetista deve avaliar os efeitos da temperatura sobre o desempenho do equipamento que está sendo projetado. Eixos-árvore de máquinas operatrizes de precisão, por exemplo, podem ser muito sensíveis a expansão térmica. Em alguns eixos-árvore é importante que o aumento da temperatura em relação ao ambiente seja mantido entre 20 e 35 °C (36 e 45 °F).

A maioria dos equipamentos industriais pode operar em temperaturas consideravelmente altas. As faixas térmicas de caixas de transmissão, por exemplo, baseiam-se em 93 °C (200 °F). Equipamentos como turbinas a gás operam continuamente a temperaturas acima de 100 °C (212 °F). No entanto, operar em altas temperaturas por períodos prolongados pode afetar os ajustes do eixo e do mancal, caso não sejam submetidos à usinagem e ao tratamento térmico adequados.

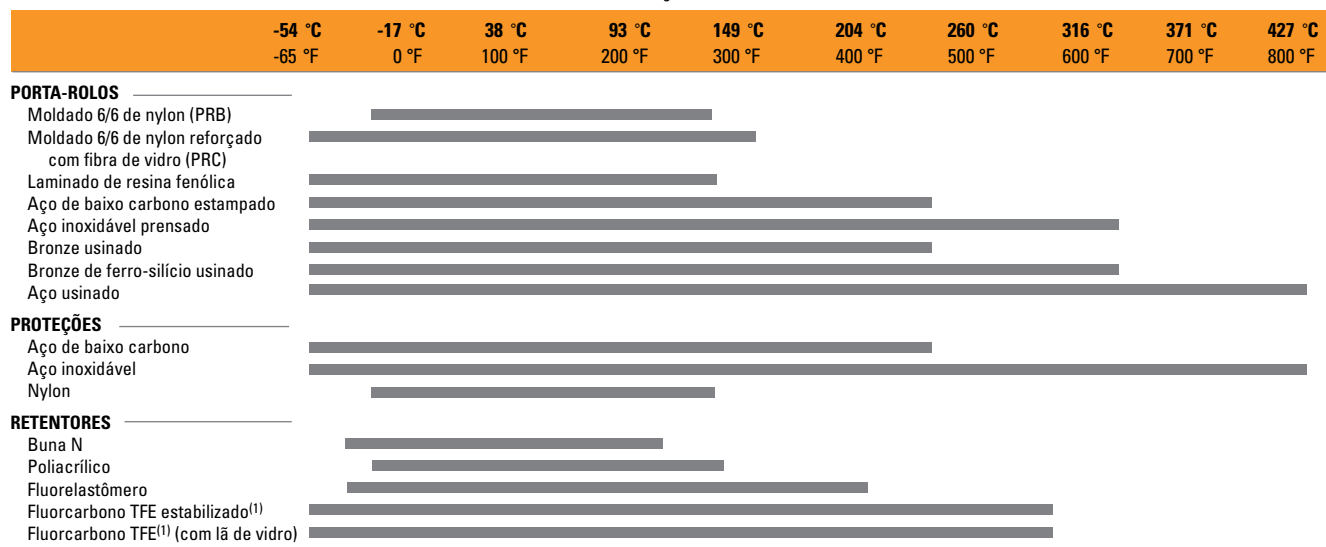
Embora os rolamentos possam operar satisfatoriamente a até 120 °C (250 °F), um limite superior de temperatura de 80 °C a 95 °C (176 °F a 203 °F) é mais prático. Temperaturas operacionais mais altas aumentam o risco de falhas resultantes de picos de temperatura transitórios. O teste de um protótipo da aplicação pode ajudar a definir a faixa de temperatura operacional e deve ser realizado, se possível. O projetista do equipamento é responsável pela avaliação de todos os fatores relevantes e deve estabelecer a determinação final quanto à temperatura operacional satisfatória.

As tabelas 20 e 21 fornecem temperaturas padrão de operação para materiais comuns de componentes dos rolamentos. Elas devem ser usadas somente para fins de referência. Outros materiais de componentes dos rolamentos estão disponíveis sob solicitação. Para obter mais informações, consulte o engenheiro da Timken.

**TABELA 20. TEMPERATURAS DE OPERAÇÃO PARA MATERIAIS DE COMPONENTES DOS ROLAMENTOS**

**Nota:** Os dados de estabilidade dimensional mostrados acima apresentam apenas expansão e/ou contração metalúrgica permanente. Os efeitos da expansão térmica não estão incluídos. Para temperaturas de operação acima de 427 °C (800 °F), consulte o engenheiro da Timken.

TABELA 21. TEMPERATURAS DE OPERAÇÃO PARA COMPONENTES DOS ROLAMENTOS



<sup>(1)</sup>Vida útil limitada acima dessas temperaturas.

## GERAÇÃO E DISSIPAÇÃO DE CALOR

A temperatura de operação do rolamento depende de vários fatores, incluindo geração de calor de todas as fontes, taxa de fluxo de calor entre as fontes e a capacidade do sistema de dissipar o calor. As fontes de calor incluem, por exemplo, rolamentos, retentores, engrenagens, embreagens e suprimento de óleo. A dissipação de calor é afetada por muitos fatores, incluindo materiais e desenhos do eixo e do mancal, circulação de lubrificante e condições ambientais externas. Esses e outros fatores são discutidos nas seções a seguir.

### GERAÇÃO DE CALOR

Em condições normais de operação, a maior parte do torque e do calor gerado pelo rolamento é causada por perdas elastohidrodinâmicas nos contatos do rolo/anel.

A geração de calor é o produto do torque e da velocidade do rolamento. A equação a seguir é usada para calcular o calor gerado.

$$Q_{\text{gen}} = k_4 n M$$

Se o rolamento for cônico, o torque pode ser calculado usando a seguinte equação.

$$M = k_1 G_1 (n \mu)^{0.62} (P_{\text{eq}})^{0.3}$$

Onde:

- k1 = constante de torque de rolamento  
=  $2,56 \times 10^{-6}$  para M em N-m  
=  $3,54 \times 10^{-5}$  para M em lbf-pol.
- k4 = 0,105 para  $Q_{\text{gen}}$  em W, quando M está em N-m  
=  $6,73 \times 10^{-4}$  para  $Q_{\text{gen}}$  em Btu/min quando M está em lbf-pol.

Se o rolamento não for cônico, os cálculos de torque são fornecidos nas seções seguintes.

### DISSIPAÇÃO DE CALOR

O problema para determinar o fluxo de calor de um rolamento em uma aplicação específica é razoavelmente complexo. Em geral, pode-se dizer que os fatores que afetam a taxa de dissipação de calor incluem o seguinte:

1. Gradiente de temperatura do rolamento ao mancal. Isso é afetado pela configuração de tamanho do mancal e qualquer resfriamento externo, como ventiladores, arrefecimento a água ou ação de ventilação dos componentes rotativos.
2. Gradiente de temperatura do rolamento ao eixo. Quaisquer outras fontes de calor, como engrenagens ou rolamentos adicionais, e sua proximidade com o rolamento considerado influirão sobre a temperatura do eixo.
3. O calor transportado por um sistema de óleo circulante.

A extensão em que os números 1 e 2 podem ser controlados dependerá da aplicação. Os modos de dissipação de calor incluem a condução através do sistema, a convecção ao longo das superfícies internas e externas do sistema e também a troca de radiação com as estruturas vizinhas. Em muitas aplicações, a dissipação global do calor pode ser dividida em duas categorias: calor removido pelo óleo circulante e calor removido por meio da estrutura.

### Dissipação de calor pelo óleo circulante

A quantidade de calor removida pelo lubrificante pode ser controlada com maior facilidade. Em um sistema de lubrificação por respingos, bobinas de resfriamento podem ser usadas para controlar a temperatura da massa de óleo.

A quantidade de calor transportada pelo lubrificante em um sistema de óleo circulante pode ser aproximada a partir das seguintes equações.

$$Q_{\text{oil}} = k_6 C_p \rho f (\theta_o - \theta_i)$$

Onde:

$$\begin{aligned} k_6 &= 1,67 \times 10^{-5} \text{ para } Q_{\text{oil}} \text{ em W} \\ &= 1,67 \times 10^{-2} \text{ para } Q_{\text{oil}} \text{ em Btu/min} \end{aligned}$$

Se o lubrificante em circulação for óleo derivado de petróleo, o calor removido é aproximado melhor pelo seguinte:

$$Q_{\text{oil}} = k_5 f (\theta_o - \theta_i)$$

Os fatores a seguir se aplicam às equações de geração e dissipação de calor relacionadas nesta página.

Onde:

$$\begin{aligned} k_5 &= 28 \text{ para } Q_{\text{oil}} \text{ em W, com } f \text{ em L/min e } \theta \text{ em } ^\circ\text{C} \\ &= 0,42 \text{ para } Q_{\text{oil}} \text{ em Btu/min, com } f \text{ em pt/min (EUA)} \\ &\quad \text{e } \theta \text{ em } ^\circ\text{F} \end{aligned}$$

**TORQUE****TORQUE DE OPERAÇÃO-M**

A resistência rotacional de um rolamento depende da carga, da velocidade, das condições de lubrificação e das características internas do rolamento.

As fórmulas a seguir resultam em aproximações dos valores do torque de operação do rolamento. Elas se aplicam aos rolamentos lubrificados somente com óleo. Para rolamentos lubrificados com graxa ou névoa de óleo, o torque normalmente é mais baixo, embora, no caso de lubrificação com graxa, isso dependa da quantidade e da consistência da graxa. As fórmulas também assumem que o torque de operação do rolamento tenha se estabilizado depois de um período inicial chamado de amaciamento.

**ROLAMENTOS DE ROLOS CILÍNDRICOS**

As equações de torque para rolamentos de rolos cilíndricos são as seguintes, onde os coeficientes são baseados em séries e encontrados na tabela a seguir:

$$M = \begin{cases} f_1 F_\beta dm + 10^{-7} f_0 (v \times n)^2 / 3 dm^3 & \text{se } (v \times n) \geq 2000 \\ f_1 F_\beta dm + 160 \times 10^{-7} f_0 dm^3 & \text{se } (v \times n) < 2000 \end{cases}$$

Observe que a viscosidade está em unidades de centistokes. O termo de carga ( $F_\beta$ ) depende do tipo de rolamento, conforme indicado a seguir:

Rolo cilíndrico radial:  $F_\beta = \max \left( \begin{array}{l} 0,8F_a \cot \alpha \\ \text{ou} \\ F_r \end{array} \right)$

**TABELA 22. COEFICIENTES DA EQUAÇÃO DE TORQUE**

| Tipo de rolamento   | Série da dimensão | $f_0$ | $f_1$   |
|---|-------------------|-------|---------|
| Rolamentos de rolos cilíndricos de uma carreira com porta-rolos         | 10                | 2     | 0,00020 |
|   | 02                | 2     | 0,00030 |
|   | 22                | 3     | 0,00040 |
|   | 03                | 2     | 0,00035 |
|   | 23                | 4     | 0,00040 |
|   | 04                | 2     | 0,00040 |
| Rolamentos de rolos cilíndricos de uma carreira com complemento total   | 18                | 5     | 0,00055 |
|   | 29                | 6     | 0,00055 |
|   | 30                | 7     | 0,00055 |
|   | 22                | 8     | 0,00055 |
|   | 23                | 12    | 0,00055 |
| Rolamentos de rolos cilíndricos de dupla carreira com complemento total | 48                | 9     | 0,00055 |
|   | 49                | 11    | 0,00055 |
|   | 50                | 13    | 0,00055 |

## LUBRIFICAÇÃO

Para ajudar a conservar as características antiatriito de um rolamento, a lubrificação é necessária para:

- Minimizar a resistência à rolagem devido à deformação dos elementos e da pista sob carga, separando as superfícies em contato.
- Minimizar o atrito de deslizamento que ocorre entre os elementos rolantes, as pistas e o porta-rolos.
- Transferir calor (com lubrificação por óleo).
- Proteger da corrosão e, com lubrificação por graxa, do ingresso de contaminantes.



## LUBRIFICAÇÃO

A grande variedade de tipos de rolamento e de condições de operação impossibilita qualquer afirmação ou norma simples e abrangente que permita a seleção do lubrificante adequado. Em termos de projeto, a primeira consideração é com relação ao óleo ou à graxa ser melhor para uma operação específica. As vantagens do óleo e da graxa são resumidas na tabela abaixo. Quando o calor precisa ser retirado do rolamento, deve-se usar óleo. Ele é quase sempre preferível para aplicações a velocidades muito altas.

**TABELA 23. VANTAGENS DO ÓLEO E DA GRAXA**

| Óleo                                      | Graxa   |
|---|---|
| Retira o calor dos rolamentos             | Simplifica o desenho do retentor e atua como vedante          |
| Retira a umidade e o material particulado | Permite a pré-lubrificação de rolamentos vedados ou blindados |
| Lubrificação facilmente controlada        | Geralmente requer lubrificação menos frequente                |

### Resolução de Norma Europeia

A seleção de lubrificantes, graxas e produtos similares podem ser vendidos em containers ou outros sistemas que devem ser submetidos à aprovação do REACH (Centro de Registo, Avaliação, Autorização e Restrição a Produtos Químicos). Para importação dentro da Comunidade Europeia, Timken pode vender somente lubrificantes e graxas que devem ser registradas com a ECHA (Agência Química Europeia). Para informação adicional, entre em contato com um engenheiro da Timken.

## LUBRIFICAÇÃO COM ÓLEO

Os óleos usados para lubrificação de rolamentos devem ser óleos minerais de alta qualidade ou óleos sintéticos com propriedades semelhantes. A seleção do tipo adequado de óleo depende da velocidade, carga, temperatura de operação e método de lubrificação do rolamento. Algumas características e vantagens da lubrificação com óleo, além das citadas acima, são:

- O óleo é um lubrificante melhor para altas velocidades ou altas temperaturas. Ele pode ser resfriado para ajudar a reduzir a temperatura do rolamento.
- É mais fácil de manusear e controlar a quantidade de lubrificante que alcança o rolamento. Porém é mais difícil de ser mantido no rolamento. As perdas de lubrificante podem ser maiores que com graxa.
- O óleo pode ser introduzido no rolamento de muitas formas, como gotejamento, capilaridade, sistemas de circulação pressurizados, banho de óleo ou névoa de óleo. Cada uma delas é adequada para certos tipos de aplicação.
- O óleo é mais fácil de ser mantido limpo para sistemas de recirculação.

O óleo pode ser introduzido no mancal de várias formas. Os sistemas mais comuns são:

- **Banho de óleo.** O mancal é projetado para fornecer um coletor através do qual os elementos rolantes do rolamento passarão. Normalmente, o nível de óleo não deve ser mais alto que o ponto central do elemento rolante mais baixo.

Se a velocidade for alta, devem ser usados níveis mais altos de óleo para reduzir o ruído. Calibradores ou drenos de controle de elevação são usados para atingir e manter o nível adequado do óleo.

- **Sistema de circulação.** Este sistema tem como vantagens:

- Um suprimento adequado de óleo para resfriamento e lubrificação.
- Controle medido da quantidade de óleo aplicada em cada rolamento.
- Remoção de contaminantes e umidade do rolamento, por ação de circulação.
- Adequação a várias instalações de rolamento.
- Reservatório grande que reduz a deterioração. Vida útil mais longa do lubrificante proporciona eficiência econômica.
- Incorporação de dispositivos de filtragem de óleo.
- Controle positivo para aplicar o lubrificante onde for necessário.
- Um sistema típico de circulação de óleo consiste em reservatório de óleo, bomba, tubulação e filtro. Pode ser necessário um trocador de calor.

- **Lubrificação por névoa de óleo.** Os sistemas de lubrificação por névoa de óleo são usados em aplicações de operação contínua em alta velocidade. Este sistema permite um controle rígido da quantidade de lubrificante que chega aos rolamentos. O óleo pode ser medido, pulverizado por ar comprimido e misturado ao ar, ou pode ser retirado de um reservatório usando o efeito Venturi. Em qualquer dos casos, o ar é filtrado e fornecido sob pressão suficiente para garantir a lubrificação adequada dos rolamentos. O controle deste tipo de sistema de lubrificação é obtido monitorando-se as temperaturas de operação dos rolamentos sendo lubrificados. A passagem contínua do ar e do óleo pressurizados pelos retentores de labirinto usados no sistema impede a entrada contaminantes da atmosfera no sistema.

A operação bem-sucedida deste tipo de sistema se baseia nos seguintes fatores:

- Localização adequada das portas de entrada de lubrificante em relação aos rolamentos sendo lubrificados.
- Impedimento de quedas excessivas da pressão nos espaços vazios dentro do sistema.
- Pressão de ar e proporção de quantidade de óleo adequadas para a aplicação específica.
- Exaustão adequada da névoa ar-óleo após a conclusão da lubrificação.

Para garantir o “umedecimento” dos rolamentos e evitar possíveis falhas nos elementos rolantes e anéis, é imprescindível que o sistema de névoa de óleo seja ligado por vários minutos antes que o equipamento seja ativado. Nunca é demais ressaltar a importância de “umedecer” o rolamento antes da ativação, pois esse processo também tem importância especial para equipamentos que ficaram ociosos por períodos longos.

Os óleos lubrificantes estão disponíveis comercialmente em várias formas para uso automotivo, industrial e aeronáutico, dentre outros. Os óleos são classificados como derivados de petróleo (refinados a partir do petróleo cru) ou sintéticos (produzidos por síntese química).

## ÓLEOS DERIVADOS DE PETRÓLEO

Óleos derivados de petróleo são feitos de um hidrocarboneto de petróleo derivado do óleo cru, com aditivos para melhorar determinadas propriedades. Eles são usados para quase todas as aplicações de rolamentos lubrificadas por óleo.

## ÓLEOS SINTÉTICOS

Os óleos sintéticos abrangem uma grande variedade de categorias, incluindo polialfaolefinas, silícenos, poliglicóis e vários ésteres. Em geral, os óleos sintéticos estão menos sujeitos à oxidação e podem operar em temperaturas extremamente altas ou baixas. As propriedades físicas, como os coeficientes de pressão-viscosidade, tendem a variar entre os tipos de óleo; tome cuidado ao fazer as seleções de óleos.

As polialfaolefinas (PAO) têm uma estrutura de hidrocarboneto que se assemelha ao óleo derivado de petróleo, tanto nas estruturas químicas quanto nos coeficientes de pressão-viscosidade. Assim, o óleo de PAO é usado principalmente nas aplicações de rolamentos lubrificadas com óleo, quando são encontrados ambientes com temperaturas rigorosas (quentes e frias) ou quando é necessária uma vida mais longa do lubrificante.

Os óleos de silicone, éster e poliglicol apresentam estrutura baseada em oxigênio, que é estruturalmente diferente dos óleos de petróleo e de PAO. Esta diferença tem um efeito profundo em suas propriedades físicas, quando os coeficientes de pressão-viscosidade podem ser menores em comparação aos óleos minerais e de PAO. Isso significa que esses tipos de óleos sintéticos podem formar um filme elastohidrodinâmico (EHD) menos espesso que um óleo mineral ou de PAO de mesma viscosidade à temperatura de operação. Esta redução da espessura do filme lubrificante pode resultar em reduções no tempo de fadiga do rolamento e em aumentos de seu desgaste.

## VISCOSIDADE

A seleção da viscosidade do óleo para qualquer aplicação de rolamento requer a consideração de vários fatores: carga, velocidade, ajustagem do rolamento, tipo de óleo e fatores ambientais. Como a viscosidade do óleo varia de maneira inversamente proporcional à temperatura, o valor da viscosidade deve ser sempre informado com a temperatura na qual foi determinado. Óleos de alta viscosidade são usados para aplicações de baixa velocidade ou de alta temperatura ambiente. Óleos de baixa viscosidade são usados para aplicações de alta velocidade ou de baixa temperatura ambiente.

Existem várias classificações de óleos que tomam por base os graus de viscosidade. As mais comuns são as classificações da SAE (Society of Automotive Engineers) para óleos para engrenagens e motores automotivos. A ASTM (American Society for Testing and Materials) e a ISO (International Organization for Standardization) adotaram graduações de viscosidade padrão para fluidos industriais. A figura 12 traz as comparações de viscosidade dos sistemas de classificação ISO/ASTM com o SAE a 40 °C (104 °F).

## COMPARAÇÃO DE CLASSIFICAÇÃO DE VISCOSIDADE

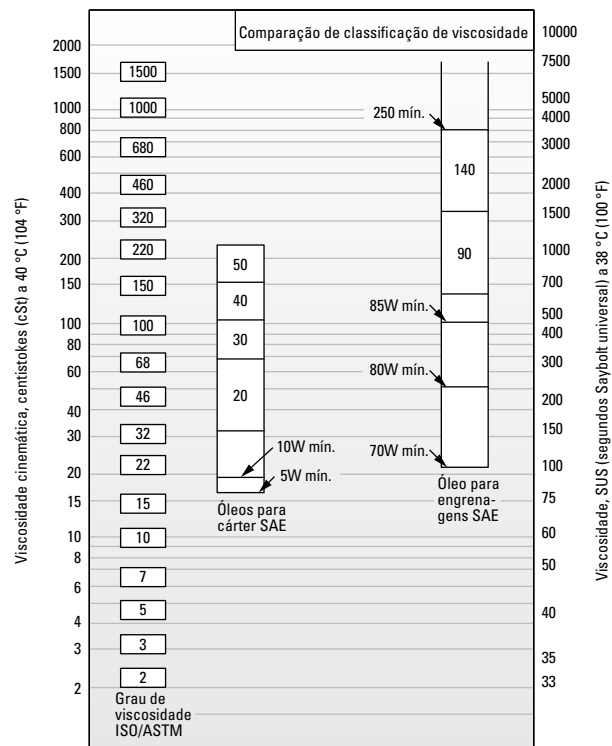


Fig. 12. Comparação entre as graduações ISO/ASTM (ISO 3448/ASTM D2442) e SAE (SAE J 300-80 para óleos de cárter, SAE J 306-81 para óleos de eixos e transmissões manuais).

O sistema de grau de viscosidade ASTM/ISO para óleos industriais é descrito a seguir.

### SISTEMA DE VISCOSIDADE ISO

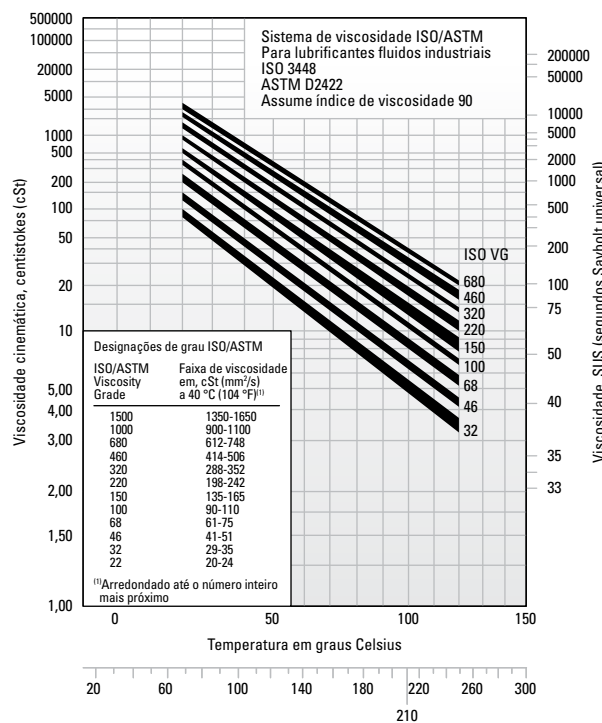


Fig. 13. Sistema de grau de viscosidade para óleos industriais.

### ÓLEOS TÍPICOS PARA LUBRIFICAÇÃO DE ROLAMENTOS

Nesta seção, são relacionadas as propriedades e características dos lubrificantes para aplicações típicas de rolamentos de rolos. Essas características gerais são resultado de desempenho longo e bem-sucedido nessas aplicações.

### Óleo lubrificante para antiferrugem e antioxidação de uso geral

Os óleos inibidores de ferrugem e oxidação (R&O) de uso geral são tipos comuns para lubrificação industrial. Eles são usados para lubrificar rolamentos Timken® em todos os tipos de aplicações industriais em que não existam condições especiais.

**TABELA 24. PROPRIEDADES SUGERIDAS PARA OS ÓLEOS LUBRIFICANTES R&O DE USO GERAL**

| Propriedades          |   |
|-----------------------|---|
| Composição básica     | Óleo de petróleo de alto índice de viscosidade, refinado com solvente |
| Aditivos              | Inibidores de corrosão e oxidação                                     |
| Índice de viscosidade | 80 mín.   |
| Ponto de fluidez      | -10 °C máx. (14 °F)   |
| Graus de viscosidade  | ISO/ASTM 32 a 220   |

Algumas aplicações a baixa velocidade e/ou alta temperatura ambiente exigem graus mais altos de viscosidade. Aplicações a alta velocidade e/ou baixa temperatura exigem graus mais baixos de viscosidade.

### Óleo para engrenagens industriais de extrema pressão (EP)

Os óleos para engrenagens de extrema pressão são usados para lubrificar rolamentos Timken na maioria dos tipos de equipamentos industriais de carga pesada. Eles devem ser capazes de suportar cargas de impacto anormais que são comuns em equipamentos pesados.

**TABELA 25. PROPRIEDADES SUGERIDAS PARA OS ÓLEOS PARA ENGRAGENS INDUSTRIALIS EP**

| Propriedades          |   |
|-----------------------|---|
| Composição básica     | Óleo de petróleo de alto índice de viscosidade, refinado com solvente   |
| Aditivos              | Inibidores de corrosão e oxidação<br>Aditivo para extrema pressão (EP) <sup>(1)</sup> - 15,8 kg (35 lb.) mín. |
| Índice de viscosidade | 80 mín.   |
| Ponto de fluidez      | -10 °C máx. (14 °F)   |
| Graus de viscosidade  | ISO/ASTM 100, 150, 220, 320, 460  |

<sup>(1)</sup> ASTM D 2782

Os óleos para engrenagens industriais EP devem ter composição básica de óleo de petróleo altamente refinado, mais inibidores e aditivos apropriados. Eles não devem conter materiais corrosivos ou abrasivos para os rolamentos. Os inibidores devem proporcionar proteção de longo prazo contra a oxidação e proteger o rolamento da corrosão na presença de umidade. Os óleos devem resistir à formação de espuma em serviço e devem apresentar boas propriedades de separação da água. Um aditivo EP protege contra esfolamento em condições limite de lubrificação. Os graus de viscosidade sugeridos representam um amplo intervalo. Aplicações a alta temperatura e/ou baixa velocidade geralmente exigem graus mais altos de viscosidade. Baixas temperaturas e/ou altas velocidades exigem o uso de graus mais baixos de viscosidade.

## LUBRIFICAÇÃO COM GRAXA

A lubrificação com graxa é normalmente aplicável a velocidades de baixas a moderadas, com temperaturas de operação dentro dos limites da graxa. Não existe graxa antiatribo universal para rolamento. Cada graxa apresenta propriedades e características limitantes.

As graxas consistem em um óleo base, um agente espessante e aditivos. Convencionalmente, as graxas para rolamento consistem em óleos de base derivados de petróleo espessados até a consistência desejada por alguma forma de sabão metálico. Mais recentemente, óleos de base sintética têm sido usados com espessantes orgânicos e inorgânicos. A tabela 26 resume a composição das graxas lubrificantes típicas.

**TABELA 26. COMPOSIÇÃO DAS GRAXAS**

| Óleo base                | +   | Agentes espessantes | +                       | Aditivos | = | Graxa lubrificante |
|--------------------------|---|---------------------|-------------------------|----------|---|--------------------|
| Óleo mineral             | Sabões e sabões complexos de lítio, alumínio, bário e cálcio                  |                     | Inibidores de ferrugem  |          |   |                    |
| Hidrocarboneto sintético |   |                     | Corantes                |          |   |                    |
| Ésteres                  | Microgel não saponáceo (inorgânico) (argila), negro de fumo, sílica-gel, PTFE |                     | Agentes de coesão       |          |   |                    |
| Óleo perfluoradol        |   |                     | Desativadores metálicos |          |   |                    |
| Silicone                 | Compostos de poliureia não saponáceos (orgânicos)                             |                     | Inibidores de oxidação  |          |   |                    |
|                          |   |                     | EP antidesgaste         |          |   |                    |

Graxas à base de cálcio e de alumínio têm excelente resistência à água e são usadas em aplicações industriais em que a entrada de água é um problema. Graxas à base de lítio são de uso geral, empregadas em aplicações industriais e rolamentos de roda.

Óleos de base sintéticos, como ésteres, ésteres orgânicos e silícios, usados com espessantes e aditivos convencionais, normalmente têm temperaturas de operação máximas mais altas que as graxas à base de petróleo. Graxas sintéticas podem ser indicadas para operar em temperaturas de -73 °C (-100 °F) a 288 °C (550 °F).

A seguir, são indicadas as características dos espessantes comuns usados com óleos de base derivados de petróleo.

**TABELA 27. CARACTERÍSTICAS GERAIS DOS ESPESSANTES USADOS COM ÓLEOS DE BASE DERIVADOS DE PETRÓLEO.**

| Espessante           | Ponto de gotejamento típico |      | Temperatura máxima |     | Resistência à água típica |
|----------------------|-----------------------------|------|--------------------|-----|---------------------------|
|                      | °C                          | °F   | °C                 | °F  |                           |
| Sabão de lítio       | 193                         | 380  | 121                | 250 | Boa                       |
| Complexo de lítio    | 260+                        | 500+ | 149                | 300 | Boa                       |
| Complexo de alumínio | 249                         | 480  | 149                | 300 | Excelente                 |
| Sulfonato de cálcio  | 299                         | 570  | 177                | 350 | Excelente                 |
| Poliureia            | 260                         | 500  | 149                | 300 | Boa                       |

O uso dos espessantes da tabela 27 com óleos de base de hidrocarboneto sintético ou éster aumenta a temperatura de operação máxima em aproximadamente 10 °C (50 °F).

A poliureia, como espessante para fluidos lubrificantes, é um dos mais significativos desenvolvimentos em lubrificação em mais de 30 anos. O desempenho da graxa de poliureia é excepcional em uma grande variedade de aplicações de rolamentos e em relativamente pouco tempo ela conquistou a aceitação como lubrificante de fábrica para rolamentos de esfera.

## BAIXAS TEMPERATURAS

O torque para iniciar a operação de um rolamento lubrificado com graxa, a baixas temperaturas, pode ser crítico. Algumas graxas podem funcionar adequadamente enquanto o rolamento estiver em operação, mas a resistência ao movimento inicial pode ser excessiva. Em certas máquinas menores, a ativação pode ser impossível quando está muito frio. Em tais circunstâncias de operação, normalmente são necessárias graxas contendo óleos com características para baixa temperatura.

Se a variação de temperatura de operação for grande, as graxas sintéticas oferecem vantagens. Estão disponíveis graxas sintéticas para proporcionar torque inicial e de operação bastante baixos a temperaturas de até -73 °C (-100 °F). Em certos casos, essas graxas têm desempenho melhor neste quesito que o óleo.

Um ponto importante com relação a graxas lubrificantes é que o torque inicial não é necessariamente uma função da consistência ou das propriedades de canal da graxa. Ele é mais uma função das propriedades reológicas individuais de uma graxa específica e é melhor avaliado através da experiência com aplicações.

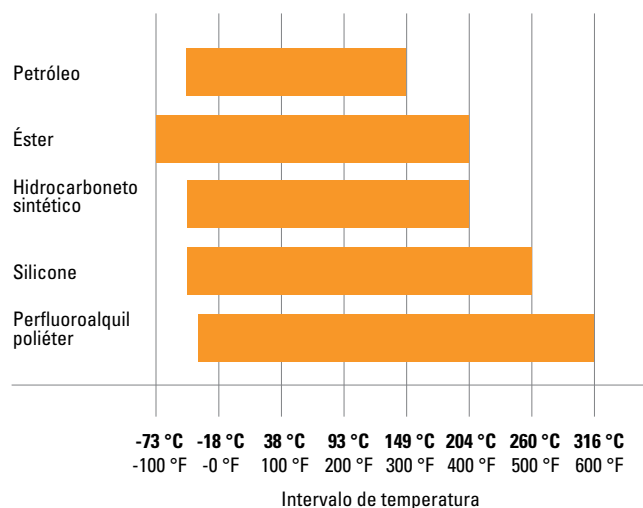
## ALTAS TEMPERATURAS

O limite de alta temperatura para as graxas lubrificantes geralmente é uma função da estabilidade térmica e de oxidação do fluido e da eficiência dos inibidores de oxidação. As faixas de temperatura da graxa são definidas pelo ponto de gotejamento do espessante da graxa e também pela composição do óleo base. A tabela 28 mostra as faixas de temperatura de vários óleos de base usados nas formulações de graxas.

Uma regra geral, desenvolvida a partir de anos de testes de rolamentos lubrificados com graxa, indica que a vida útil da graxa é reduzida pela metade a cada 10 °C (50 °F) de aumento na temperatura. Por exemplo: se certa graxa está oferecendo 2.000 horas de vida útil a 90 °C (194 °F), aumentar a temperatura para 100 °C (212 °F) resultaria em uma redução de sua vida útil para aproximadamente 1.000 horas. Por outro lado, a expectativa pode ser aumentada para 4.000 horas com a redução da temperatura para 80 °C (176 °F).

Estabilidade térmica, resistência à oxidação e limitações de temperatura devem ser consideradas na seleção de graxas para aplicações a altas temperaturas. Em aplicações não relubrificáveis, são necessários óleos minerais altamente refinados ou fluidos sintéticos quimicamente estáveis como componente oleoso das graxas para operação a temperatura acima de 121 °C (250 °F).

**TABELA 28. FAIXAS DE TEMPERATURA PARA ÓLEOS DE BASE USADOS EM GRAXAS LUBRIFICANTES**



## CONTAMINAÇÃO

### Partículas abrasivas

Quando os rolamentos operam em um ambiente limpo, a principal causa de falha é a eventual fadiga das superfícies onde ocorre o contato de rolamento. Contudo, quando a contaminação por partículas entra no sistema do rolamento, possivelmente causará falhas como a abrasão, que pode encurtar a vida útil do rolamento.

Quando a sujeira do ambiente ou resíduos metálicos do desgaste de alguns componentes da aplicação contaminam o lubrificante, o desgaste pode se tornar a principal causa de falha do rolamento. Se o desgaste do rolamento se tornar significativo, ocorrerão alterações em dimensões críticas do rolamento que podem ter efeito negativo sobre a operação da máquina.

Rolamentos que operam com lubrificante contaminado apresentam uma taxa de desgaste inicial mais alta que aqueles que operam com lubrificante não contaminado. Sem mais entrada de contaminante, essa taxa de desgaste diminui rapidamente. As partículas contaminantes têm o tamanho reduzido à medida que passam pela área de contato do rolamento durante a operação normal.

### Água

A água e a umidade podem ser particularmente propícias a falhas em rolamento. As graxas lubrificantes podem fornecer uma medida de proteção contra esta contaminação. Determinadas graxas, como de complexo de cálcio e de alumínio, são altamente resistentes à água.

Graxas de sabão de sódio são solúveis em água e não devem ser usadas em aplicações que envolvam água.

Dissolvida ou suspensa, a água nos óleos lubrificantes pode exercer uma influência negativa sobre o tempo de fadiga do rolamento. A água pode causar ação química sobre o rolamento, que também pode reduzir o período de fadiga do rolamento. O mecanismo exato pelo qual a água reduz este período não é completamente entendido. Foi sugerido que a água entra nas microfissuras dos anéis do rolamento, que são causadas pelos ciclos repetidos de tensão. Isso leva à corrosão e à quebra por hidrogênio das microfissuras reduzindo o tempo necessário para a propagação dessa microfissura até a formação de uma área de descascamento de tamanho inaceitável.

Fluidos à base de água, como água-glicol e emulsões invertidas também apresentaram redução no período de fadiga do rolamento. Embora a água destas fontes não seja a mesma da contaminação, os resultados confirmam a discussão anterior sobre os lubrificantes contaminados com água.

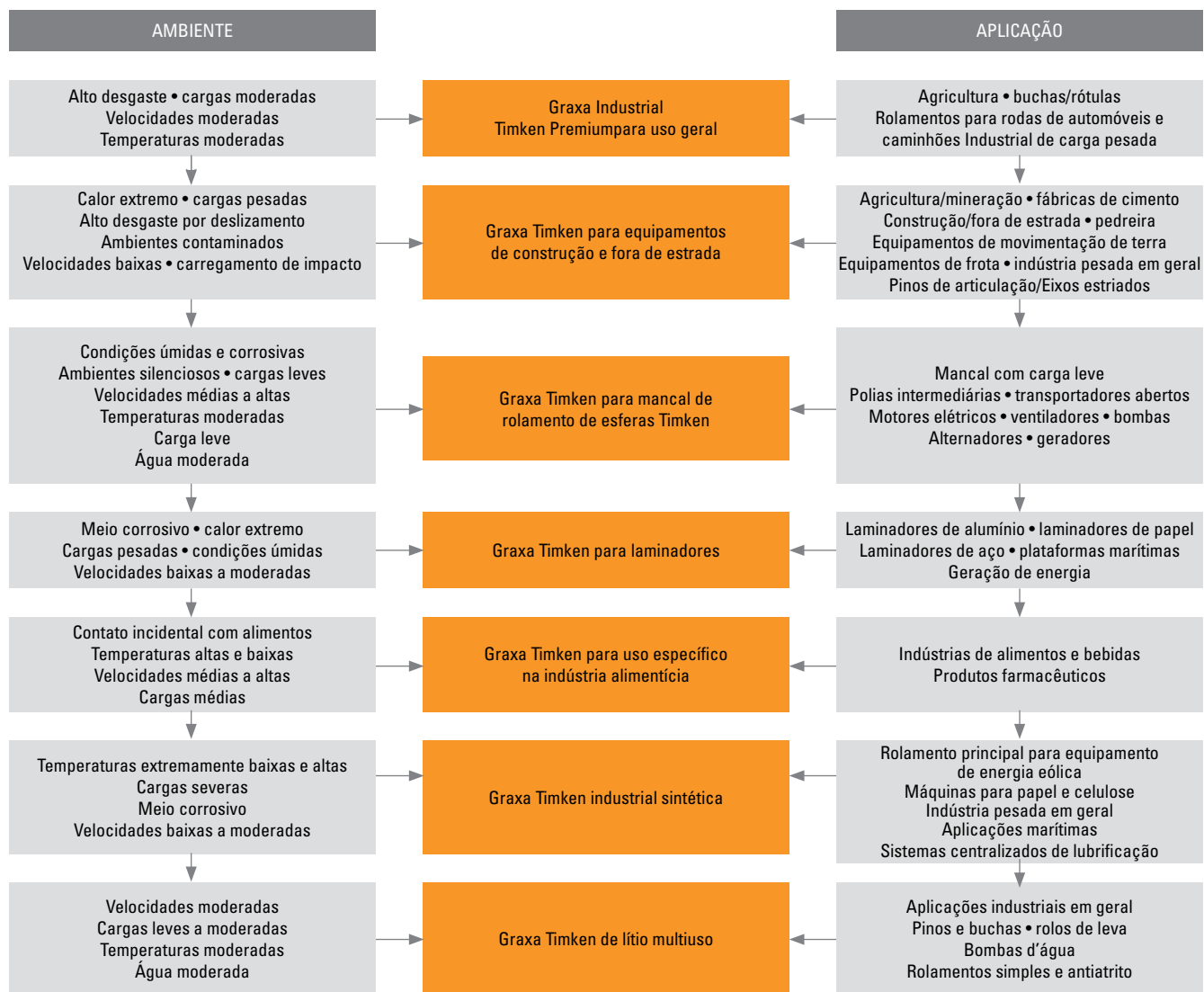
## SELEÇÃO DA GRAXA

O êxito no uso da graxa do rolamento depende das propriedades físicas e químicas do lubrificante, bem como da aplicação e das condições ambientais. Como a escolha de uma graxa para um rolamento específico em determinadas condições de serviço frequentemente é difícil, consulte o fornecedor de lubrificantes ou o fabricante do equipamento para solucionar dúvidas específicas sobre os requisitos de lubrificação para a sua aplicação. Você também pode entrar em contato com o engenheiro da Timken para obter recomendações gerais de lubrificação para qualquer aplicação.

A graxa deve ser selecionada cuidadosamente no que diz respeito à sua consistência na temperatura de operação. Ela não deve apresentar espessamento, separação de óleo, formação de ácido ou endurecimento em grau acentuado. Deve ser macia, não fibrosa e completamente livre de ingredientes quimicamente ativos. Seu ponto de gotejamento deve ser consideravelmente mais alto que a temperatura de operação.

Os lubrificantes para aplicações específicas da Timken® foram desenvolvidos a partir do nosso conhecimento de tribologia e rolamentos e de como esses dois elementos afetam o desempenho geral do sistema. Os lubrificantes da Timken ajudam os rolamentos e os respectivos componentes a operar com eficiência em operações industriais exigentes. Os aditivos para alta temperatura, antidesgaste e resistentes à água oferecem uma proteção superior em ambientes severos. A tabela 29 fornece uma visão geral das graxas da Timken disponíveis para aplicações gerais. Entre em contato com o engenheiro da Timken para obter uma publicação mais detalhada sobre soluções de lubrificação Timken.

**TABELA 29. GUIA DE SELEÇÃO DE LUBRIFICAÇÃO COM GRAXA**



Este guia de seleção não pretende substituir as especificações fornecidas pelo fabricante do equipamento, que é responsável pelo seu desempenho.

Muitas aplicações de rolamentos exigem lubrificantes com propriedades especiais ou lubrificantes formulados especificamente para certos ambientes, como:

- Oxidação por atrito (corrosão por esfregamento).
- Resistência a produtos químicos e solventes.
- Manuseio de alimentos.
- Operação silenciosa.
- Espaço e/ou vácuo.
- Conduividade elétrica.

Para obter assistência com essas ou outras áreas que exigem lubrificantes especiais, consulte o engenheiro da Timken.

## RECOMENDAÇÕES PARA USO DE GRAXA

É importante usar a quantidade adequada de graxa na aplicação. Em aplicações industriais típicas, a cavidade do rolamento deve ser mantida cheia até aproximadamente um terço a metade. Menos graxa pode resultar em falta de lubrificação do rolamento. Mais graxa pode resultar em agitação. As duas condições podem resultar em temperatura excessiva. À medida que a temperatura da graxa sobe, a viscosidade diminui e a graxa fica mais fina. Isso pode reduzir o efeito lubrificante e aumentar o vazamento da graxa do rolamento. Também pode fazer os componentes da graxa se separem, causando uma degradação geral das propriedades do lubrificante. À medida que a graxa se degrada, o torque do rolamento aumenta. No caso de graxa excessiva resultando em agitação, o torque também pode aumentar devido à resistência causada pela graxa.

Para obter os melhores resultados, deve haver espaço amplo no mancal para que a graxa excessiva possa ser expelida pelo rolamento. No entanto, é igualmente importante que a graxa seja retida em torno do rolamento. Se houver um grande vazio entre os rolamentos, algum meio de retenção para graxa deve ser usado para evitar que a graxa saia da área do rolamento.

Apenas em aplicações a baixa velocidade o mancal pode ser completamente preenchido com graxa. Este método de lubrificação é uma garantia contra a entrada de material estranho, onde a vedação seja inadequada para a exclusão de contaminantes ou de umidade.

Durante períodos ociosos, normalmente é aconselhável preencher completamente os mancais com graxa para proteger as superfícies do rolamento. Antes de retomar a operação, deve ser removido o excesso de graxa e restaurado o nível adequado.

As aplicações que utilizam lubrificação com graxa devem possuir um bico graxeiro para graxa e um respiro de ventilação em extremidades opostas do mancal, próxima à parte superior. Um tampão de drenagem deve ser localizado próximo à parte inferior do mancal, para permitir a remoção da graxa velha do rolamento.

Os rolamentos devem ser relubrificados em intervalos regulares para prevenir falhas. Os intervalos de relubrificação são difíceis de determinar. Se não houver experiência ou norma da fábrica com outras aplicações, consulte seu fornecedor de lubrificantes.

A Timken oferece uma grande variedade de lubrificantes para ajudar os rolamentos e os respectivos componentes a operar com eficiência em operações industriais exigentes. Os aditivos para alta temperatura, antidesgaste e resistentes à água oferecem uma proteção maior em ambientes desafiadores. A Timken também oferece uma linha de lubrificadores automáticos de ponto único e pontos múltiplos, para simplificar a aplicação de graxa.



**Fig. 14. A graxa pode ser aplicada facilmente com a mão.**



**Fig. 15. Injetor mecânico de graxa**

## Métodos de aplicação de graxa

A graxa, em geral, é mais fácil de usar que o óleo em aplicações de lubrificação de rolamentos industriais. A maioria dos rolamentos que são lubrificados inicialmente com graxa exigem relubrificação periódica para operar de forma eficiente.

A graxa deve ser aplicada no rolamento de modo a entrar entre os elementos rolantes, os rolos ou as esferas. Para rolamentos de rolos cônicos, forçar a graxa pelo rolamento da extremidade grande para a pequena irá garantir a distribuição adequada.

A graxa pode ser aplicada facilmente com a mão em rolamentos pequenos e médios (fig. 14). Em oficinas em que os rolamentos são reabastecidos com graxa com frequência, um aplicador de graxa mecânico, que força a graxa pelo mancal sob pressão, pode ser adequado (fig. 15). Independentemente do método, depois de aplicar a graxa nas áreas internas do rolamento, uma pequena quantidade de graxa também deve ficar aderida na parte externa dos rolos ou das esferas.

As duas considerações principais para determinar o ciclo de relubrificação são a temperatura de operação e a eficiência da vedação. Aplicações em alta temperatura geralmente exigem relubrificação mais frequente. Quando menos eficientes as vedações, maior a perda de graxa e maior a frequência necessária para adição de graxa.

A graxa deve ser adicionada a qualquer momento em que a quantidade dentro do rolamento ficar abaixo da quantidade desejada. A graxa deve ser substituída quando suas propriedades de lubrificação tiverem sido reduzidas através da contaminação, alta temperatura, água, oxidação ou quaisquer outros fatores. Para obter informações adicionais sobre os ciclos de relubrificação com graxa adequados, consulte o fabricante do equipamento ou o engenheiro da Timken.

## CONSISTÊNCIA

A consistência das graxas pode variar de semifluidos pouco mais espessos que um óleo viscoso a sólidos quase tão duros quanto uma madeira macia.

A consistência é medida por um penetrômetro, no qual um cone de peso padrão é solto na graxa. A distância que o cone penetra (medida em décimos de milímetro, em um tempo específico) é a penetração trabalhada.

A classificação do NLGI (National Lubricating Grease Institute) para a consistência de graxas é mostrada abaixo:

**TABELA 30. CLASSIFICAÇÕES DA NLGI**

| Graus NLGI para graxa | Penetração trabalhada |
|-----------------------|-----------------------|
| 0                     | 355-385               |
| 1                     | 310-340               |
| 2                     | 265-295               |
| 3                     | 220-250               |
| 4                     | 175-205               |
| 5                     | 130-160               |
| 6                     | 85-115                |

A consistência da graxa não é fixa e normalmente se torna mais mole quando cisalhada ou “trabalhada”. No laboratório, este “fenômeno” é conseguido forçando-se uma placa perfurada para cima e para baixo em um recipiente de graxa fechado. Esta “simulação” não se compara com a ação violenta de corte que ocorre em um rolamento e não está necessariamente correlacionada com o desempenho real.

TABLE 31. GRÁFICO DE COMPATIBILIDADE DE GRAXA

|  | Complexo de alumínio | Complexo de bário | Esterato de cálcio | Hidróxido de cálcio 12 | Complexo de cálcio | Sulfonato de cálcio | Argila sem sabão | Esterato de lítio | Hidróxido de lítio 12 | Complexo de lítio | Poliureia | Poliureia de alta resistência ao cisalhamento |
|--|----------------------|-------------------|--------------------|------------------------|--------------------|---------------------|------------------|-------------------|-----------------------|-------------------|-----------|---|
| Complexo de alumínio                                     | Orange               |                   |                    |                        |                    |                     |                  |                   |                       |                   |           |   |
| Timken para uso específico na indústria alimentícia      | Orange               | Grey              | Grey               | Orange                 | Grey               |                     |                  |                   | Orange                |                   |           |   |
| Complexo de bário  | Grey                 | Orange            | Grey               | Orange                 | Grey               | Grey                | Grey             | Grey              | Grey                  | Grey              |           | Grey  |
| Esterato de cálcio                                       | Grey                 | Grey              | Orange             | Orange                 | Orange             | Orange              | Orange           | Grey              | Orange                | Orange            |           | Orange  |
| Hidróxido de cálcio 12                                   | Orange               | Orange            | Orange             | Orange                 | Grey               | Grey                | Orange           | Orange            | Orange                | Orange            |           | Orange  |
| Complexo de cálcio                                       | Grey                 | Grey              | Grey               | Orange                 | Orange             | Orange              | Grey             | Grey              | Grey                  | Orange            |           | Orange  |
| Sulfonato de cálcio                                      | Grey                 | Orange            | Orange             | Grey                   | Orange             | Orange              | Grey             | Grey              | Grey                  | Orange            |           | Orange  |
| Timken Premium Mill Molibdênio de alto desempenho Timken | Grey                 | Orange            | Orange             | Grey                   | Grey               | Grey                | Grey             | Grey              | Grey                  | Grey              |           | Grey  |
| Argila sem sabão   |                      |                   |                    |                        |                    | Orange              | Grey             | Grey              | Grey                  | Grey              |           | Grey  |
| Esterato de lítio  |                      |                   |                    | Grey                   | Grey               | Grey                | Orange           | Orange            | Orange                | Orange            |           | Orange  |
| Hidróxido de lítio 12                                    |                      |                   | Grey               | Grey                   | Grey               | Grey                |                  | Orange            | Orange                | Grey              |           |   |
| Complexo de lítio  | Orange               |                   | Orange             | Orange                 | Orange             | Orange              | Orange           | Orange            | Orange                | Orange            |           |   |
| Poliureia convencional                                   |                      |                   |                    |                        |                    |                     |                  |                   |                       | Orange            |           |   |
| Poliureia de alta resistência ao cisalhamento            | Orange               |                   | Orange             | Orange                 | Orange             | Orange              | Grey             | Orange            | Orange                | Orange            |           | Orange  |
| Multiuso Timken  |                      |                   | Grey               | Grey                   | Grey               | Grey                | Grey             |                   | Orange                | Grey              |           |   |
| Uso geral Timken Sintética Timken                        | Orange               | Grey              | Orange             | Orange                 | Orange             | Orange              | Grey             | Orange            | Orange                | Grey              |           |   |
| Mancal Timken  | Orange               | Grey              | Orange             | Orange                 | Orange             | Orange              | Grey             | Orange            | Orange                | Orange            |           | Orange  |

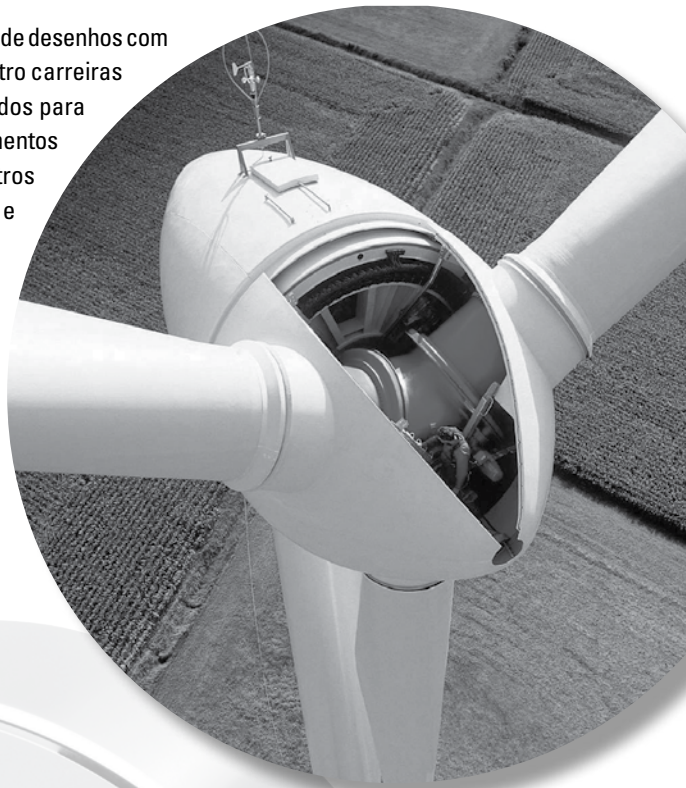
**⚠ ATENÇÃO**

Misturar graxas pode resultar em lubrificação inadequada do rolamento.  
Sempre siga as instruções de lubrificação específicas do fornecedor do seu equipamento.

## ROLAMENTOS DE ROLOS CILÍNDRICOS

A nossa linha de produtos inclui uma grande variedade de desenhos com rolamentos de rolos cilíndricos com uma, duas e quatro carreiras e com o máximo número de rolos, todos desenvolvidos para atender às suas exigências de aplicação. Esses rolamentos oferecem maior capacidade de carga radial que outros tipos de rolamentos e sua eficácia reduz o atrito e ajuda a transmitir potência.

|   |     |
|---|-----|
| Nomenclatura .....                      | 56  |
| Série métrica ISO de uma carreira ..... | 58  |
| Série padrão de uma carreira .....      | 72  |
| Complemento total (NCF).....            | 74  |
| Duas carreiras .....                    | 76  |
| Quatro carreiras.....                   | 82  |
| Série HJ .....                          | 96  |
| Anéis internos.....                     | 100 |
| Série métrica 5200, A5200 .....         | 102 |



# ROLAMENTOS DE ROLOS CILÍNDRICOS

## NOMENCLATURA

### NOMENCLATURA

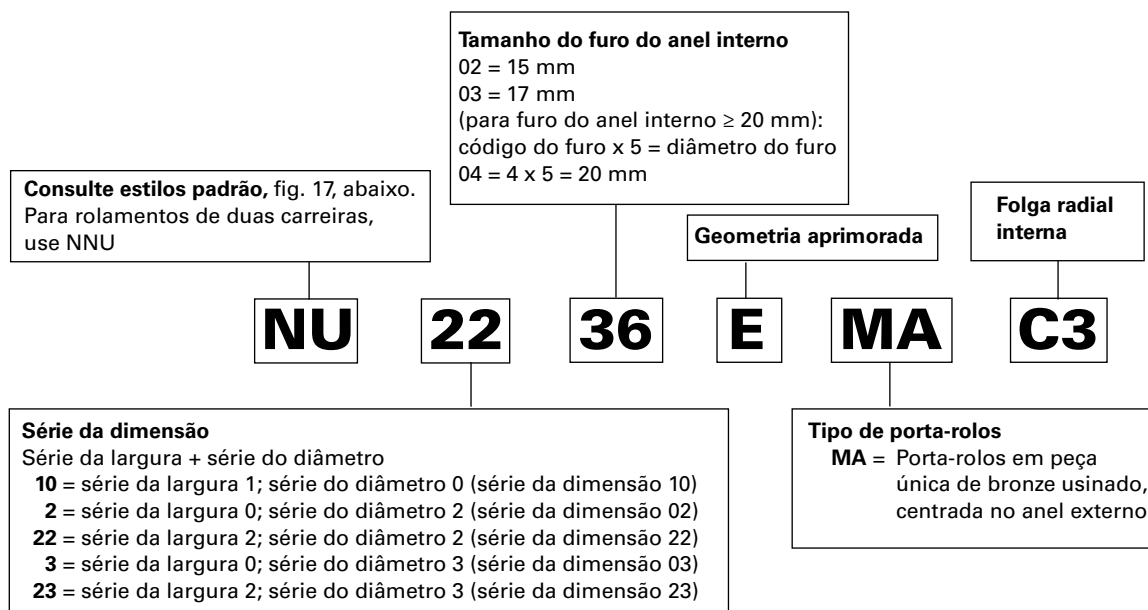


Fig. 16. Nomenclatura dos rolamentos radiais de rolos cilíndricos ISO métricos.

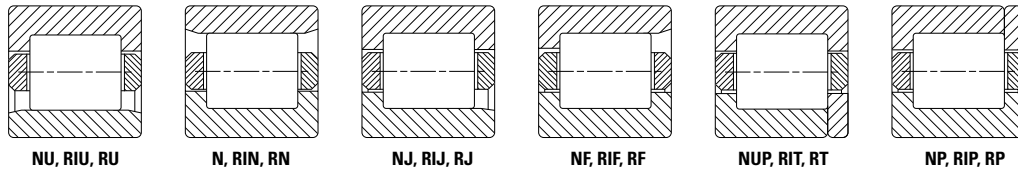


Fig. 17. Estilos padrão de rolamentos de rolos cilíndricos métricos/em polegadas.

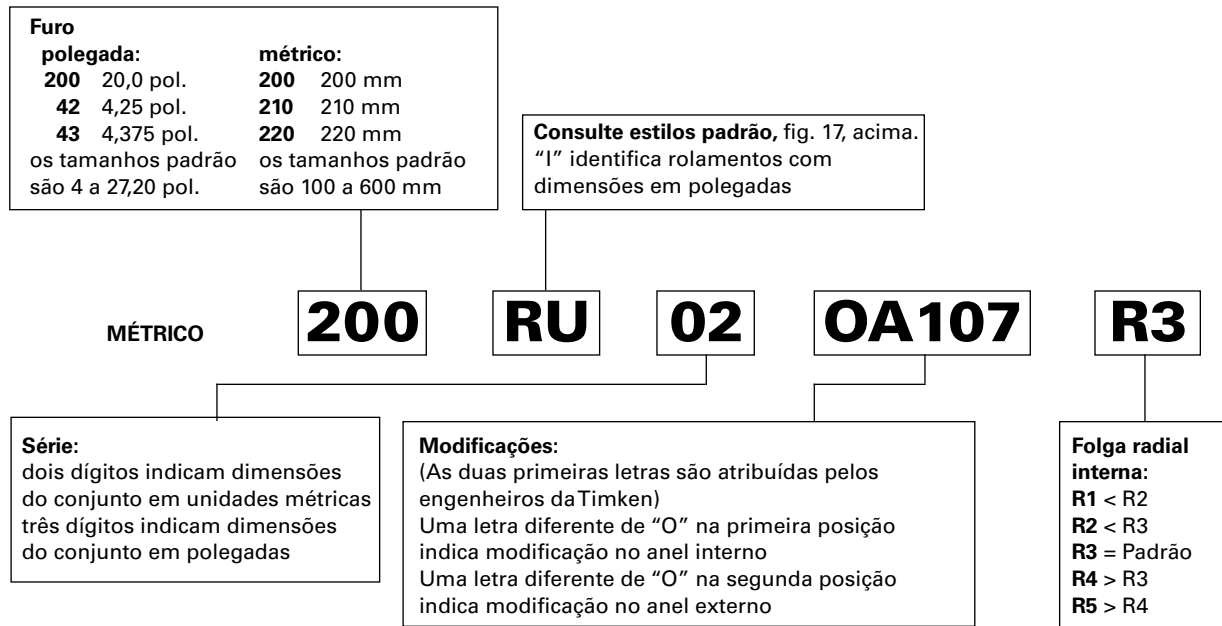


Fig. 18. Nomenclatura dos rolamentos radiais de rolos cilíndricos ABMA.

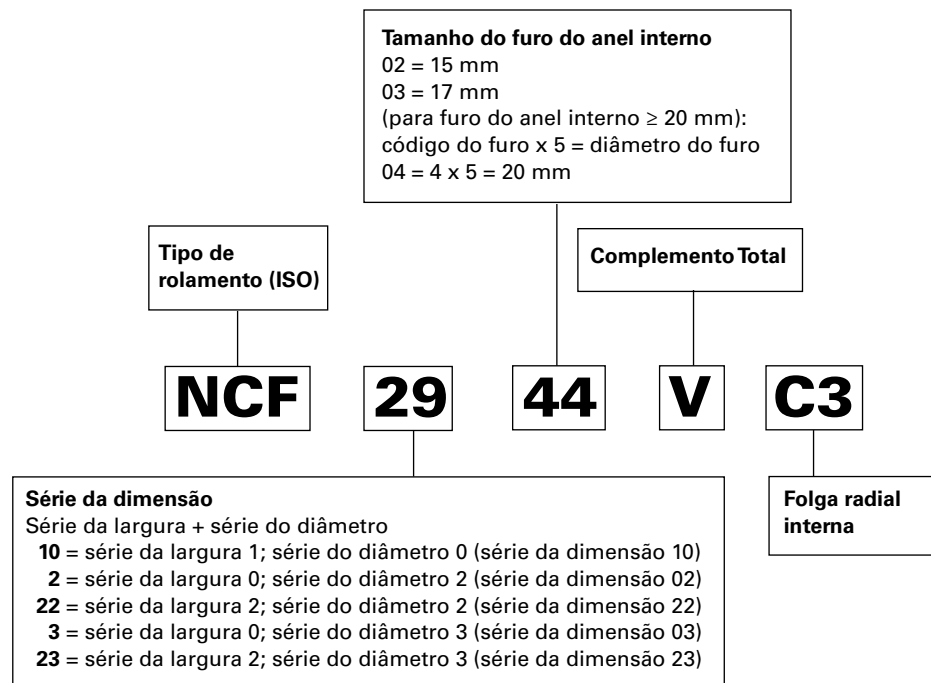


Fig. 19. Nomenclatura dos rolamentos radiais de rolos cilíndricos com complemento total (NCF).

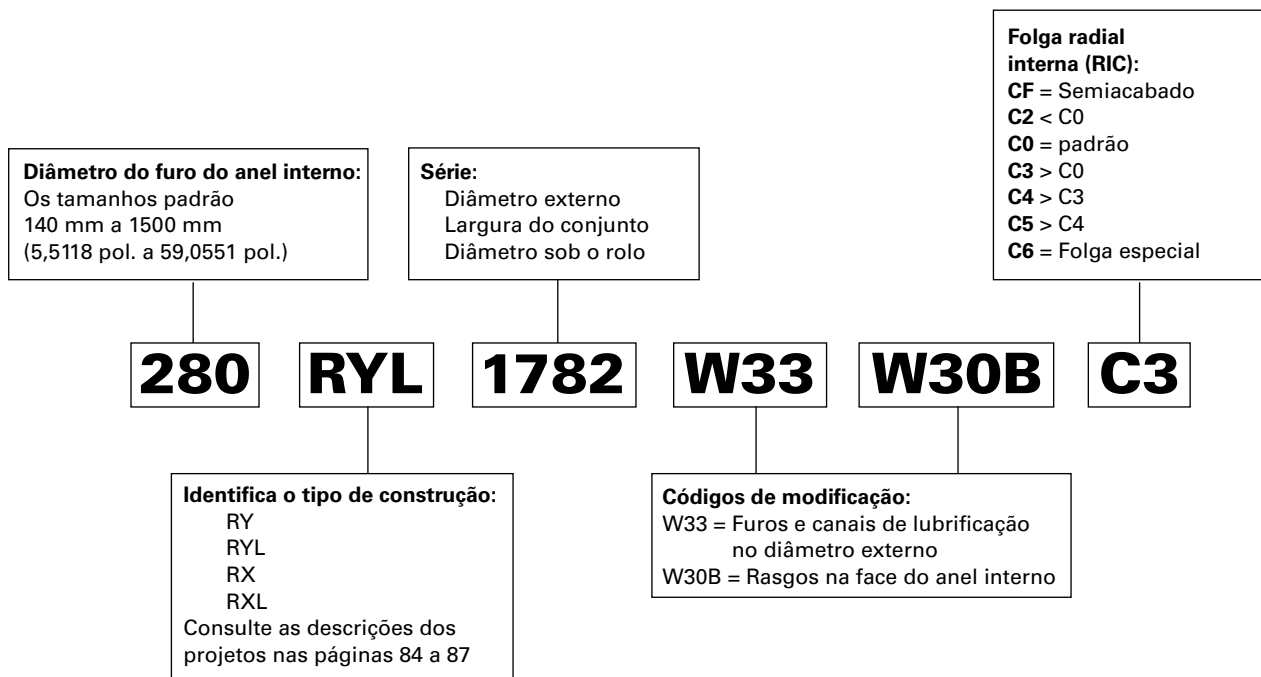
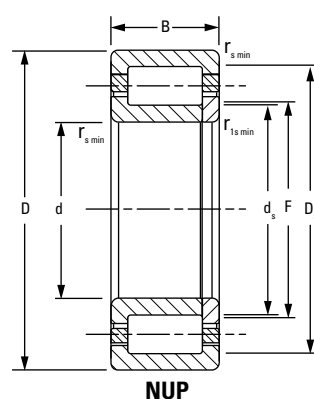
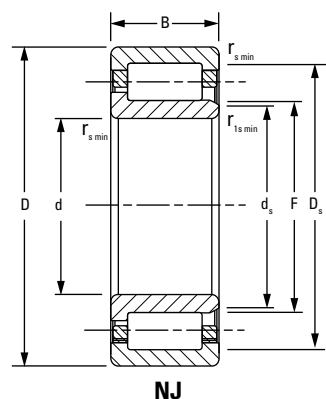
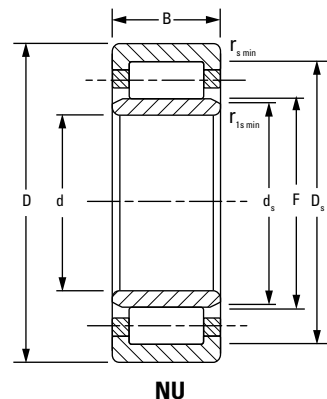


Fig. 20. Nomenclatura dos rolamentos de rolos cilíndricos de quatro carreiras.

### SÉRIE MÉTRICA ISO DE UMA CARREIRA



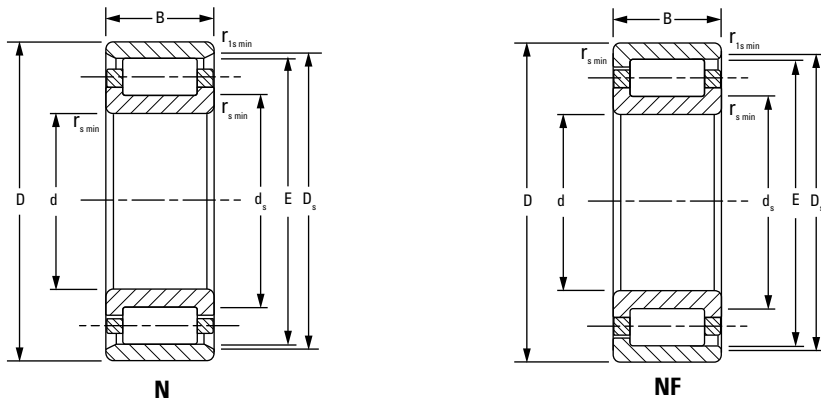
| Dimensões do rolamento |                   |                  |                   | Capacidade de carga     |  | Designação do rolamento <sup>(2)</sup> | Dados de montagem |                     |                     |                       | s <sup>(3)</sup> | Fator de geometria C <sub>g</sub> | Limite de rotação |               | Peso |
|------------------------|-------------------|------------------|-------------------|-------------------------|--|--|-------------------|---------------------|---------------------|-----------------------|------------------|-----------------------------------|-------------------|---------------|------|
| Furo d                 | D.E. D            | Largura B        | DUR/DOR F/E       | Estático C <sub>0</sub> | Dinâmico C <sub>1</sub> <sup>(1)</sup> |  | Chanfro           | Diâmetro do encosto | Eixo d <sub>s</sub> | Mancal D <sub>s</sub> |                  |                                   | Óleo              | Graxa         |      |
| mm pol.                | mm pol.           | mm pol.          | mm pol.           | kN lbf.                 | kN lbf.                                |  | r <sub>smin</sub> | r <sub>1smin</sub>  | mm pol.             | mm pol.               |                  |                                   | RPM               | RPM           |      |
| 65,000<br>2,5591       | 140,000<br>5,5118 | 33,000<br>1,2992 | 82,500<br>3,2480  | 196<br>44100            | 204<br>45900                           | NU313EMA                               | 2,1<br>0,08       | 2,1<br>0,08         | 78,2<br>3,08        | 124,5<br>4,90         | 2,5<br>0,10      | 0,075                             | 4800<br>4100      | 2,50<br>5,40  |      |
| 65,000<br>2,5591       | 140,000<br>5,5118 | 48,000<br>1,8898 | 82,500<br>3,2480  | 293<br>65900            | 282<br>63300                           | NJ2313EMA                              | 2,1<br>0,08       | 2,1<br>0,08         | 77,1<br>3,04        | 124,5<br>4,90         | 4,0<br>0,16      | 0,082                             | 4500<br>3900      | 3,60<br>8,00  |      |
| 70,000<br>2,7559       | 150,000<br>5,9055 | 51,000<br>2,0079 | 89,000<br>3,5039  | 328<br>73700            | 311<br>69800                           | NU2314EMA                              | 2,1<br>0,08       | 2,1<br>0,08         | 83,3<br>3,28        | 133,0<br>5,24         | 4,7<br>0,19      | 0,087                             | 4300<br>3700      | 4,40<br>9,80  |      |
| 75,000<br>2,9528       | 190,000<br>7,4803 | 45,000<br>1,7717 | 104,500<br>4,1142 | 305<br>68700            | 318<br>71500                           | NU415EMA                               | 3,0<br>0,12       | 3,0<br>0,12         | 98,8<br>3,89        | 160,5<br>6,32         | 4,0<br>0,16      | 0,089                             | 4400<br>3800      | 7,00<br>15,40 |      |
| 80,000<br>3,1496       | 140,000<br>5,5118 | 26,000<br>1,0236 | 95,300<br>3,7520  | 169<br>38000            | 155<br>34900                           | NU216EMA                               | 2,0<br>0,08       | 2,0<br>0,08         | 92,4<br>3,64        | 127,3<br>5,01         | 1,7<br>0,07      | 0,079                             | 4900<br>4100      | 1,80<br>3,63  |      |
| 80,000<br>3,1496       | 140,000<br>5,5118 | 33,000<br>1,2992 | 95,300<br>3,7520  | 245<br>55100            | 208<br>46800                           | NU2216EMA                              | 2,0<br>0,08       | 2,0<br>0,08         | 91,3<br>3,59        | 127,3<br>5,01         | 1,7<br>0,07      | 0,086                             | 3800<br>3300      | 2,20<br>4,80  |      |
| 80,000<br>3,1496       | 140,000<br>5,5118 | 33,000<br>1,2992 | 95,300<br>3,7520  | 245<br>55100            | 208<br>46800                           | NJ2216EMA                              | 2,0<br>0,08       | 2,0<br>0,08         | 91,3<br>3,59        | 127,3<br>5,01         | 1,7<br>0,07      | 0,086                             | 3800<br>3300      | 2,20<br>4,90  |      |
| 80,000<br>3,1496       | 140,000<br>5,5118 | 33,000<br>1,2992 | 95,300<br>3,7520  | 245<br>55100            | 208<br>46800                           | NUP2216EMA                             | 2,0<br>0,08       | 2,0<br>0,08         | 95,3<br>3,75        | 127,3<br>5,01         | —<br>—           | 0,086                             | 3800<br>3300      | 2,30<br>5,10  |      |
| 80,000<br>3,1496       | 170,000<br>6,6929 | 39,000<br>1,5354 | 101,000<br>3,9764 | 289<br>64900            | 290<br>65300                           | NU316EMA                               | 2,1<br>0,08       | 2,1<br>0,08         | 96,5<br>3,80        | 151,0<br>5,94         | 2,4<br>0,09      | 0,088                             | 4500<br>3900      | 4,60<br>10,12 |      |
| 80,000<br>3,1496       | 170,000<br>6,6929 | 58,000<br>2,2835 | 101,000<br>3,9764 | 439<br>98700            | 406<br>91300                           | NU2316EMA                              | 2,1<br>0,08       | 2,1<br>0,08         | 95,4<br>3,76        | 151,0<br>5,94         | 5,0<br>0,20      | 0,097                             | 3800<br>3300      | 6,00<br>12,50 |      |
| 85,000<br>3,3465       | 150,000<br>5,9055 | 28,000<br>1,1024 | 100,500<br>3,9567 | 201<br>45200            | 186<br>41900                           | NU217EMA                               | 2,0<br>0,08       | 2,0<br>0,08         | 96,6<br>3,80        | 136,5<br>5,37         | 1,7<br>0,07      | 0,083                             | 4600<br>3900      | 2,10<br>5,80  |      |
| 85,000<br>3,3465       | 150,000<br>5,9055 | 36,000<br>1,4173 | 100,500<br>3,9567 | 282<br>63300            | 244<br>54900                           | NU2217EMA                              | 2,0<br>0,08       | 2,0<br>0,08         | 97,1<br>3,82        | 136,5<br>5,37         | 2,2<br>0,09      | 0,090                             | 3600<br>3200      | 2,70<br>5,80  |      |
| 85,000<br>3,3465       | 180,000<br>7,0866 | 41,000<br>1,6142 | 108,000<br>4,2520 | 314<br>70600            | 313<br>70400                           | NU317EMA                               | 3,0<br>0,12       | 3,0<br>0,12         | 103,6<br>4,08       | 160,0<br>6,30         | 3,5<br>0,14      | 0,092                             | 4300<br>3700      | 5,10<br>11,22 |      |
| 85,000<br>3,3465       | 180,000<br>7,0866 | 60,000<br>2,3622 | 108,000<br>4,2520 | 458<br>103000           | 423<br>95200                           | NU2317EMA                              | 3,0<br>0,12       | 3,0<br>0,12         | 101,8<br>4,01       | 160,0<br>6,30         | 5,5<br>0,22      | 0,100                             | 3700<br>3200      | 7,40<br>16,40 |      |
| 85,000<br>3,3465       | 180,000<br>7,0866 | 60,000<br>2,3622 | 108,000<br>4,2520 | 458<br>103000           | 423<br>95200                           | NJ2317EMA                              | 3,0<br>0,12       | 3,0<br>0,12         | 101,8<br>4,01       | 160,0<br>6,30         | 5,5<br>0,22      | 0,100                             | 3700<br>3200      | 7,60<br>16,70 |      |

<sup>(1)</sup>Baseado em uma vida útil L<sub>10</sub> de 1 x 10<sup>6</sup> revoluções, para o método de cálculo de vida útil ISO.

<sup>(2)</sup>A folga radial interna (RIC) para o conjunto do rolamento deve ser incluída ao fazer o pedido do conjunto completo.

<sup>(3)</sup>O deslocamento axial permitível a partir da posição normal de um anel do rolamento em relação ao outro.

Continua na próxima página.

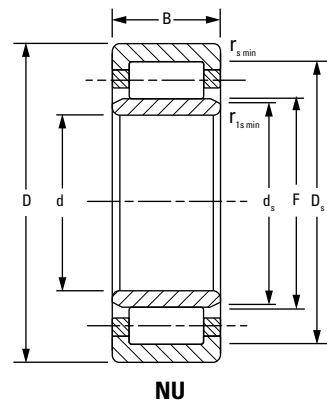


| Dimensões do rolamento |                   |                  |                   | Capacidade de carga     |  | Designação do rolamento <sup>(2)</sup> | Dados de montagem |                     |                     |                       | s <sup>(3)</sup> | Fator de geometria C <sub>g</sub> | Limite de rotação | Peso |               |
|------------------------|-------------------|------------------|-------------------|-------------------------|--|--|-------------------|---------------------|---------------------|-----------------------|------------------|-----------------------------------|-------------------|------|---------------|
| Furo d                 | D.E. D            | Largura B        | DUR/DOR F/E       | Estático C <sub>0</sub> | Dinâmico C <sub>1</sub> <sup>(1)</sup> |  | Chanfro           | Diâmetro do encosto | Eixo d <sub>s</sub> | Mancal D <sub>s</sub> |                  |                                   |                   |      |               |
| mm pol.                | mm pol.           | mm pol.          | mm pol.           | kN lbf.                 | kN lbf.                                |  | r <sub>smin</sub> | r <sub>1smin</sub>  | mm pol.             | mm pol.               |                  |                                   |                   |      |               |
| 90,000<br>3,5433       | 160,000<br>6,2992 | 30,000<br>1,1811 | 107,000<br>4,2126 | 225<br>50500            | 206<br>46400                           | NU218EMA                               | 2,0<br>0,08       | 2,0<br>0,08         | 103,6<br>4,08       | 145,0<br>5,71         | 2,7<br>0,11      | 0,087                             | 4400              | 3700 | 2,60<br>5,80  |
| 90,000<br>3,5433       | 160,000<br>6,2992 | 30,000<br>1,1811 | 107,000<br>4,2126 | 225<br>50500            | 206<br>46400                           | NJ218EMA                               | 2,0<br>0,08       | 2,0<br>0,08         | 103,6<br>4,08       | 145,0<br>5,71         | 2,7<br>0,11      | 0,087                             | 4400              | 3700 | 2,70<br>5,90  |
| 90,000<br>3,5433       | 160,000<br>6,2992 | 40,000<br>1,5748 | 107,000<br>4,2126 | 322<br>72400            | 275<br>61900                           | NU2218EMA                              | 2,0<br>0,08       | 2,0<br>0,08         | 103,0<br>4,06       | 145,0<br>5,71         | 3,2<br>0,12      | 0,094                             | 3600              | 3100 | 3,50<br>7,70  |
| 90,000<br>3,5433       | 160,000<br>6,2992 | 40,000<br>1,5748 | 107,000<br>4,2126 | 322<br>72400            | 275<br>61900                           | NJ2218EMA                              | 2,0<br>0,08       | 2,0<br>0,08         | 102,9<br>4,05       | 145,0<br>5,71         | 3,2<br>0,12      | 0,094                             | 3600              | 3100 | 3,60<br>7,90  |
| 90,000<br>3,5433       | 160,000<br>6,2992 | 40,000<br>1,5748 | 107,000<br>4,2126 | 322<br>72400            | 275<br>61900                           | NUP2218EMA                             | 2,0<br>0,08       | 2,0<br>0,08         | 102,9<br>4,05       | 145,0<br>5,71         | —                | 0,094                             | 3600              | 3100 | 3,60<br>8,00  |
| 90,000<br>3,5433       | 190,000<br>7,4803 | 43,000<br>1,6929 | 113,500<br>4,4685 | 362<br>81500            | 359<br>80700                           | NU318EMA                               | 3,0<br>0,12       | 3,0<br>0,12         | 107,9<br>4,25       | 169,5<br>6,67         | 2,5<br>0,10      | 0,096                             | 4000              | 3500 | 6,10<br>13,40 |
| 90,000<br>3,5433       | 190,000<br>7,4803 | 43,000<br>1,6929 | 113,500<br>4,4685 | 362<br>81500            | 359<br>80700                           | NJ318EMA                               | 3,0<br>0,12       | 3,0<br>0,12         | 107,9<br>4,25       | 169,5<br>6,67         | 2,5<br>0,10      | 0,096                             | 4000              | 3500 | 6,20<br>13,60 |
| 90,000<br>3,5433       | 190,000<br>7,4803 | 64,000<br>2,5197 | 113,500<br>4,4685 | 544<br>122000           | 497<br>112000                          | NU2318EMA                              | 3,0<br>0,12       | 3,0<br>0,12         | 106,8<br>4,20       | 169,5<br>6,67         | 5,0<br>0,20      | 0,106                             | 3300              | 2900 | 9,10<br>20,00 |
| 90,000<br>3,5433       | 190,000<br>7,4803 | 64,000<br>2,5197 | 113,500<br>4,4685 | 544<br>122000           | 497<br>112000                          | NJ2318EMA                              | 3,0<br>0,12       | 3,0<br>0,12         | 106,8<br>4,20       | 169,5<br>6,67         | 5,0<br>0,20      | 0,106                             | 3300              | 2900 | 9,30<br>20,40 |
| 95,000<br>3,7402       | 170,000<br>6,6929 | 32,000<br>1,2598 | 112,500<br>4,4291 | 271<br>60900            | 248<br>55800                           | NU219EMA                               | 2,1<br>0,08       | 2,1<br>0,08         | 109,1<br>4,30       | 154,5<br>6,08         | 1,8<br>0,07      | 0,092                             | 4100              | 3500 | 3,10<br>6,90  |
| 95,000<br>3,7402       | 170,000<br>6,6929 | 32,000<br>1,2598 | 112,500<br>4,4291 | 271<br>60900            | 248<br>55800                           | NJ219EMA                               | 2,1<br>0,08       | 2,1<br>0,08         | 109,1<br>4,30       | 154,5<br>6,08         | 1,8<br>0,07      | 0,092                             | 4100              | 3500 | 3,20<br>7,00  |
| 95,000<br>3,7402       | 170,000<br>6,6929 | 43,000<br>1,6929 | 112,500<br>4,4291 | 378<br>84900            | 324<br>72800                           | NU2219EMA                              | 2,1<br>0,08       | 2,1<br>0,08         | 108,1<br>4,26       | 154,5<br>6,08         | 3,5<br>0,14      | 0,099                             | 3400              | 2900 | 4,20<br>9,30  |
| 95,000<br>3,7402       | 170,000<br>6,6929 | 43,000<br>1,6929 | 112,500<br>4,4291 | 378<br>84900            | 324<br>72800                           | NJ2219EMA                              | 2,1<br>0,08       | 2,1<br>0,08         | 108,1<br>4,26       | 154,5<br>6,08         | 3,5<br>0,14      | 0,099                             | 3400              | 2900 | 4,30<br>9,50  |
| 95,000<br>3,7402       | 200,000<br>7,8740 | 45,000<br>1,7717 | 121,500<br>4,7835 | 395<br>88900            | 379<br>85300                           | NU319EMA                               | 3,0<br>0,12       | 3,0<br>0,12         | 115,3<br>4,54       | 177,5<br>6,99         | 3,0<br>0,12      | 0,101                             | 3900              | 3400 | 7,10<br>15,70 |
| 95,000<br>3,7402       | 200,000<br>7,8740 | 45,000<br>1,7717 | 121,500<br>4,7835 | 395<br>88900            | 379<br>85300                           | NJ319EMA                               | 3,0<br>0,12       | 3,0<br>0,12         | 115,3<br>4,54       | 177,5<br>6,99         | 3,0<br>0,12      | 0,101                             | 3900              | 3400 | 7,30<br>16,00 |

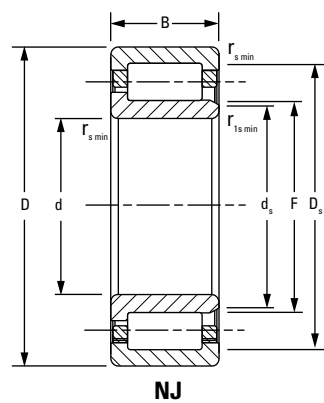
<sup>(1)</sup>Baseado em uma vida útil L<sub>10</sub> de 1 x 10<sup>6</sup> revoluções, para o método de cálculo de vida útil ISO.<sup>(2)</sup>A folga radial interna (RIC) para o conjunto do rolamento deve ser incluída ao fazer o pedido do conjunto completo.<sup>(3)</sup>O deslocamento axial permitível a partir da posição normal de um anel do rolamento em relação ao outro.

Continua na próxima página.

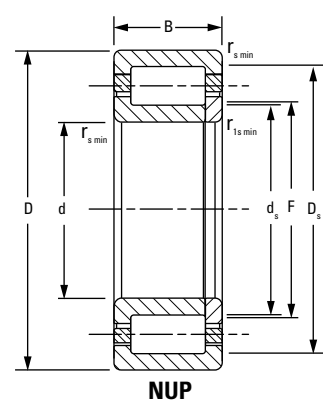
### SÉRIE MÉTRICA ISO DE UMA CARREIRA – *continuação*



**NU**



**NJ**



**NUP**

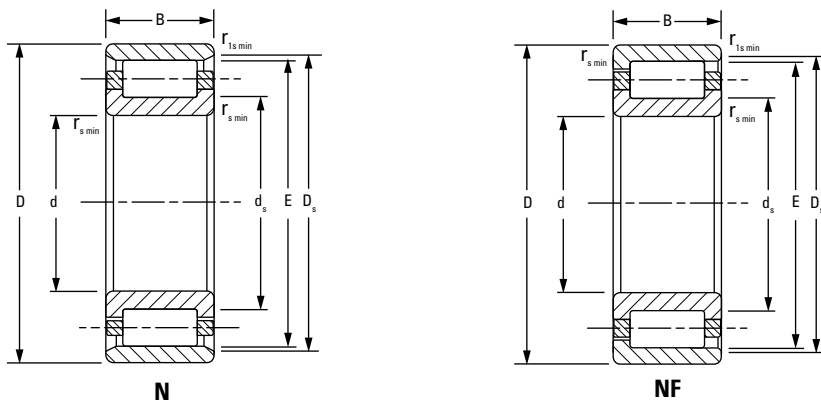
| Dimensões do rolamento |                   |                  |                   | Capacidade de carga |                      | Designação do rolamento <sup>(2)</sup> | Dados de montagem |                     |                         |               | s <sup>(3)</sup> | Fator de geometria $C_g$ | Limite de rotação | Peso           |  |  |  |  |
|------------------------|-------------------|------------------|-------------------|---------------------|----------------------|--|-------------------|---------------------|-------------------------|---------------|------------------|--------------------------|-------------------|----------------|--|--|--|--|
| Furo d                 | D.E. D            | Largura B        | DUR/DOR F/E       | Estático $C_0$      | Dinâmico $C_1^{(1)}$ |  | Chanfro           | Diâmetro do encosto |                         |               |                  |                          |                   |                |  |  |  |  |
| mm pol.                | mm pol.           | mm pol.          | mm pol.           | kN lbf.             | kN lbf.              |  | $r_{s\min}$       | $r_{1s\min}$        | Eixo Mancal $d_s$ $D_s$ |               |                  |                          |                   |                |  |  |  |  |
| 95,000<br>3,7402       | 200,000<br>7,8740 | 67,000<br>2,6378 | 121,500<br>4,7835 | 593<br>133000       | 525<br>118000        | NU2319EMA                              | 3,0<br>0,12       | 3,0<br>0,12         | 115,5<br>4,55           | 177,5<br>6,99 | 7,1<br>0,28      | 0,111                    | 3100 2700         | 10,40<br>22,80 |  |  |  |  |
| 95,000<br>3,7402       | 200,000<br>7,8740 | 67,000<br>2,6378 | 121,500<br>4,7835 | 593<br>133000       | 525<br>118000        | NJ2319EMA                              | 3,0<br>0,12       | 3,0<br>0,12         | 115,5<br>4,55           | 177,5<br>6,99 | 7,1<br>0,28      | 0,111                    | 3100 2700         | 10,60<br>23,30 |  |  |  |  |
| 100,000<br>3,9370      | 180,000<br>7,0866 | 34,000<br>1,3386 | 119,000<br>4,6850 | 311<br>70000        | 280<br>63000         | NU220EMA                               | 2,1<br>0,08       | 2,1<br>0,08         | 115,0<br>4,53           | 163,0<br>6,42 | 2,3<br>0,09      | 0,097                    | 3900 3300         | 3,80<br>8,40   |  |  |  |  |
| 100,000<br>3,9370      | 180,000<br>7,0866 | 34,000<br>1,3386 | 119,000<br>4,6850 | 311<br>70000        | 280<br>63000         | NJ220EMA                               | 2,1<br>0,08       | 2,1<br>0,08         | 115,0<br>4,53           | 163,0<br>6,42 | 2,3<br>0,09      | 0,097                    | 3900 3300         | 3,90<br>8,60   |  |  |  |  |
| 100,000<br>3,9370      | 180,000<br>7,0866 | 46,000<br>1,8110 | 119,000<br>4,6850 | 451<br>101000       | 377<br>84800         | NU2220EMA                              | 2,1<br>0,08       | 2,1<br>0,08         | 115,0<br>4,53           | 163,0<br>6,42 | 3,3<br>0,13      | 0,105                    | 3100 2800         | 5,20<br>11,40  |  |  |  |  |
| 100,000<br>3,9370      | 180,000<br>7,0866 | 46,000<br>1,8110 | 119,000<br>4,6850 | 451<br>101000       | 377<br>84800         | NJ2220EMA                              | 2,1<br>0,08       | 2,1<br>0,08         | 115,0<br>4,53           | 163,0<br>6,42 | 3,3<br>0,13      | 0,105                    | 3100 2800         | 5,30<br>11,60  |  |  |  |  |
| 100,000<br>3,9370      | 215,000<br>8,4646 | 47,000<br>1,8504 | 127,500<br>5,0197 | 442<br>99400        | 437<br>98200         | NU320EMA                               | 3,0<br>0,12       | 3,0<br>0,12         | 120,7<br>4,75           | 191,5<br>7,54 | 3,0<br>0,12      | 0,104                    | 3600 3200         | 8,60<br>19,00  |  |  |  |  |
| 100,000<br>3,9370      | 215,000<br>8,4646 | 47,000<br>1,8504 | 127,500<br>5,0197 | 442<br>99400        | 437<br>98200         | NJ320EMA                               | 3,0<br>0,12       | 3,0<br>0,12         | 120,7<br>4,75           | 191,5<br>7,54 | 3,0<br>0,12      | 0,104                    | 3600 3200         | 8,80<br>19,40  |  |  |  |  |
| 100,000<br>3,9370      | 215,000<br>8,4646 | 73,000<br>2,8740 | 127,500<br>5,0197 | 737<br>166000       | 658<br>148000        | NU2320EMA                              | 3,0<br>0,12       | 3,0<br>0,12         | 120,4<br>4,74           | 191,5<br>7,54 | 5,2<br>0,20      | 0,117                    | 2700 2400         | 13,40<br>29,50 |  |  |  |  |
| 100,000<br>3,9370      | 215,000<br>8,4646 | 73,000<br>2,8740 | 127,500<br>5,0197 | 737<br>166000       | 658<br>148000        | NJ2320EMA                              | 3,0<br>0,12       | 3,0<br>0,12         | 120,4<br>4,74           | 191,5<br>7,54 | 5,2<br>0,20      | 0,117                    | 2700 2400         | 13,70<br>30,10 |  |  |  |  |
| 110,000<br>4,3307      | 200,000<br>7,8740 | 38,000<br>1,4961 | 132,500<br>5,2165 | 374<br>84000        | 331<br>74400         | NU222EMA                               | 2,1<br>0,08       | 2,1<br>0,08         | 128,5<br>5,06           | 180,5<br>7,11 | 2,5<br>0,10      | 0,104                    | 3600 3100         | 5,40<br>11,90  |  |  |  |  |
| 110,000<br>4,3307      | 200,000<br>7,8740 | 38,000<br>1,4961 | 132,500<br>5,2165 | 374<br>84000        | 331<br>74400         | NJ222EMA                               | 2,1<br>0,08       | 2,1<br>0,08         | 128,5<br>5,06           | 180,5<br>7,11 | 2,5<br>0,10      | 0,104                    | 3600 3100         | 5,50<br>12,10  |  |  |  |  |
| 110,000<br>4,3307      | 200,000<br>7,8740 | 53,000<br>2,0866 | 132,500<br>5,2165 | 527<br>118000       | 436<br>98000         | NU2222EMA                              | 2,1<br>0,08       | 2,1<br>0,08         | 126,8<br>4,99           | 180,5<br>7,11 | 4,1<br>0,16      | 0,113                    | 3000 2700         | 7,50<br>16,50  |  |  |  |  |
| 110,000<br>4,3307      | 200,000<br>7,8740 | 53,000<br>2,0866 | 132,500<br>5,2165 | 527<br>118000       | 436<br>98000         | NJ2222EMA                              | 2,1<br>0,08       | 2,1<br>0,08         | 126,8<br>4,99           | 180,5<br>7,11 | 4,1<br>0,16      | 0,113                    | 3000 2700         | 7,60<br>16,80  |  |  |  |  |
| 110,000<br>4,3307      | 240,000<br>9,4488 | 50,000<br>1,9685 | 143,000<br>5,6299 | 546<br>123000       | 519<br>11700         | NU322EMA                               | 3,0<br>0,12       | 3,0<br>0,12         | 136,2<br>5,36           | 211,0<br>8,31 | 3,0<br>0,12      | 0,114                    | 3100 2800         | 11,60<br>25,40 |  |  |  |  |

<sup>(1)</sup>Baseado em uma vida útil  $L_{10}$  de  $1 \times 10^6$  revoluções, para o método de cálculo de vida útil ISO.

<sup>(2)</sup>A folga radial interna (RIC) para o conjunto do rolamento deve ser incluída ao fazer o pedido do conjunto completo.

<sup>(3)</sup>O deslocamento axial permitível a partir da posição normal de um anel do rolamento em relação ao outro.

Continua na próxima página.



| Euro<br>d         | Dimensões do rolamento |                  |                   |            | Capacidade de<br>carga     |   | Designação<br>do rolamento <sup>(2)</sup> | Dados de montagem |                        |                        |                          | s <sup>(3)</sup> | Fator<br>de geo-<br>metria<br>C <sub>g</sub> | Limite de<br>rotação<br>Óleo      Graxa | Peso           |
|-------------------|------------------------|------------------|-------------------|------------|----------------------------|---|---|-------------------|------------------------|------------------------|--------------------------|------------------|--|---|----------------|
|                   | D.E.<br>D              | Largura<br>B     | DUR/DOR<br>F/E    |            | Estático<br>C <sub>0</sub> | Dinâmico<br>C <sub>1</sub> <sup>(1)</sup> |   | Chanfro           | Diâmetro<br>do encosto | Eixo<br>d <sub>s</sub> | Mancal<br>D <sub>s</sub> |                  |  |   |                |
|                   | mm<br>pol.             | mm<br>pol.       | mm<br>pol.        | mm<br>pol. | kN<br>lbf.                 | kN<br>lbf.                                |   | r <sub>smin</sub> | r <sub>1smin</sub>     | mm<br>pol.             | mm<br>pol.               |                  |  |   |                |
| 110,000<br>4,3307 | 240,000<br>9,4488      | 50,000<br>1,9685 | 143,000<br>5,6299 |            | 546<br>123000              | 519<br>11700                              | NJ322EMA                                  | 3,0<br>0,12       | 3,0<br>0,12            | 136,2<br>5,36          | 211,0<br>8,31            | 3,0<br>0,12      | 0,114  | 3100    2800                            | 11,80<br>25,90 |
| 110,000<br>4,3307 | 240,000<br>9,4488      | 80,000<br>3,1496 | 143,000<br>5,6299 |            | 891<br>200000              | 768<br>173000                             | NU2322EMA                                 | 3,0<br>0,12       | 3,0<br>0,12            | 134,6<br>5,30          | 211,0<br>8,31            | 6,4<br>0,25      | 0,128  | 2400    2100                            | 18,60<br>40,90 |
| 110,000<br>4,3307 | 240,000<br>9,4488      | 80,000<br>3,1496 | 143,000<br>5,6299 |            | 891<br>200000              | 768<br>173000                             | NJ2322EMA                                 | 3,0<br>0,12       | 3,0<br>0,12            | 134,6<br>5,30          | 211,0<br>8,31            | 6,4<br>0,25      | 0,128  | 2400    2100                            | 19,20<br>42,10 |
| 120,000<br>4,7244 | 180,000<br>7,0866      | 28,000<br>1,1024 | 135,000<br>5,3150 |            | 202<br>45300               | 158<br>35600                              | NU1024MA                                  | 2,0<br>0,08       | 1,1<br>0,04            | 131,2<br>5,17          | 165,0<br>6,50            | 3,8<br>0,15      | 0,096  | 3600    2900                            | 2,60<br>5,60   |
| 120,000<br>4,7244 | 215,000<br>8,4646      | 40,000<br>1,5748 | 143,500<br>5,6496 |            | 431<br>97000               | 379<br>85300                              | NU224EMA                                  | 2,1<br>0,08       | 2,1<br>0,08            | 138,0<br>5,43          | 195,5<br>7,70            | 2,1<br>0,08      | 0,111  | 3400    2900                            | 6,50<br>14,30  |
| 120,000<br>4,7244 | 215,000<br>8,4646      | 40,000<br>1,5748 | 143,500<br>5,6496 |            | 431<br>97000               | 379<br>85300                              | NJ224EMA                                  | 2,1<br>0,08       | 2,1<br>0,08            | 138,0<br>5,43          | 195,5<br>7,70            | 2,1<br>0,08      | 0,111  | 3400    2900                            | 6,60<br>14,50  |
| 120,000<br>4,7244 | 215,000<br>8,4646      | 58,000<br>2,2835 | 143,500<br>5,6496 |            | 630<br>142000              | 514<br>116000                             | NU2224EMA                                 | 2,1<br>0,08       | 2,1<br>0,08            | 137,4<br>5,41          | 195,5<br>7,70            | 4,6<br>0,18      | 0,121  | 2700    2400                            | 9,40<br>20,80  |
| 120,000<br>4,7244 | 215,000<br>8,4646      | 58,000<br>2,2835 | 143,500<br>5,6496 |            | 630<br>142000              | 514<br>116000                             | NJ2224EMA                                 | 2,1<br>0,08       | 2,1<br>0,08            | 137,4<br>5,41          | 195,5<br>7,70            | 4,6<br>0,18      | 0,121  | 2700    2400                            | 9,60<br>21,20  |
| 120,000<br>4,7244 | 260,000<br>10,2362     | 55,000<br>2,1654 | 154,000<br>6,0630 |            | 614<br>138000              | 594<br>134000                             | NU324EMA                                  | 3,0<br>0,12       | 3,0<br>0,12            | 147,0<br>5,79          | 230,0<br>9,06            | 3,8<br>0,15      | 0,120  | 2900    2500                            | 14,70<br>32,30 |
| 120,000<br>4,7244 | 260,000<br>10,2362     | 55,000<br>2,1654 | 154,000<br>6,0630 |            | 614<br>138000              | 594<br>134000                             | NJ324EMA                                  | 3,0<br>0,12       | 3,0<br>0,12            | 147,0<br>5,79          | 230,0<br>9,06            | 3,8<br>0,15      | 0,120  | 2900    2500                            | 15,00<br>32,90 |
| 120,000<br>4,7244 | 260,000<br>10,2362     | 86,000<br>3,3858 | 154,000<br>6,0630 |            | 1040<br>233000             | 902<br>203000                             | NU2324EMA                                 | 3,0<br>0,12       | 3,0<br>0,12            | 145,9<br>5,74          | 230,0<br>9,06            | 6,3<br>0,25      | 0,136  | 2100    1900                            | 23,10<br>50,90 |
| 120,000<br>4,7244 | 260,000<br>10,2362     | 86,000<br>3,3858 | 154,000<br>6,0630 |            | 1040<br>233000             | 902<br>203000                             | NJ2324EMA                                 | 3,0<br>0,12       | 3,0<br>0,12            | 145,9<br>5,74          | 230,0<br>9,06            | 6,3<br>0,25      | 0,136  | 2100    1900                            | 23,60<br>52,00 |
| 130,000<br>5,1181 | 200,000<br>7,8740      | 33,000<br>1,2992 | 148,000<br>5,8268 |            | 251<br>56500               | 197<br>44300                              | NU1026MA                                  | 2,0<br>0,08       | 1,1<br>0,04            | 142,6<br>5,61          | 182,0<br>7,17            | 2,2<br>0,09      | 0,104  | 3500    2900                            | 7,20<br>15,80  |
| 130,000<br>5,1181 | 230,000<br>9,0551      | 40,000<br>1,5748 | 153,500<br>6,0433 |            | 464<br>104000              | 411<br>92300                              | NU226EMA                                  | 3,0<br>0,12       | 3,0<br>0,12            | 148,0<br>5,83          | 209,5<br>8,25            | 2,2<br>0,09      | 0,115  | 3100    2700                            | 7,20<br>15,80  |
| 130,000<br>5,1181 | 230,000<br>9,0551      | 40,000<br>1,5748 | 153,500<br>6,0433 |            | 464<br>104000              | 411<br>92300                              | NJ226EMA                                  | 3,0<br>0,12       | 3,0<br>0,12            | 148,0<br>5,83          | 209,5<br>8,25            | 2,2<br>0,09      | 0,115  | 3100    2700                            | 7,30<br>16,10  |

<sup>(1)</sup>Baseado em uma vida útil L<sub>10</sub> de 1 x 10<sup>6</sup> revoluções, para o método de cálculo de vida útil ISO.

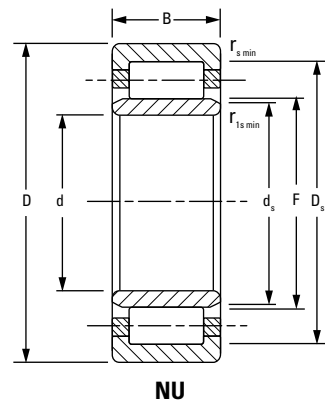
Continua na próxima página.

<sup>(2)</sup>A folga radial interna (RIC) para o conjunto do rolamento deve ser incluída ao fazer o pedido do conjunto completo.<sup>(3)</sup>O deslocamento axial permitível a partir da posição normal de um anel do rolamento em relação ao outro.

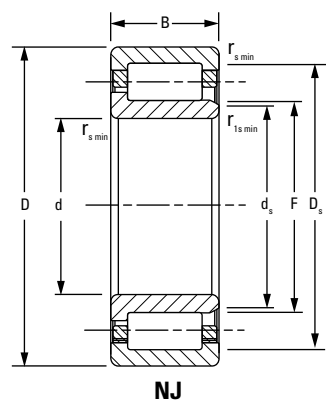
# ROLAMENTOS DE ROLOS CILÍNDRICOS

## SÉRIE MÉTRICA ISO DE UMA CARREIRA

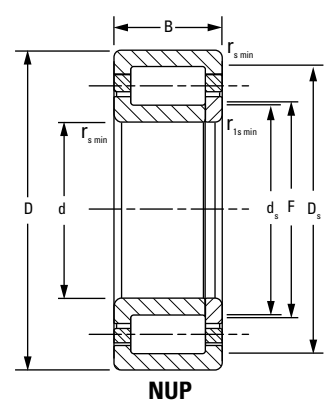
### SÉRIE MÉTRICA ISO DE UMA CARREIRA – *continuação*



**NU**



**NJ**



**NUP**

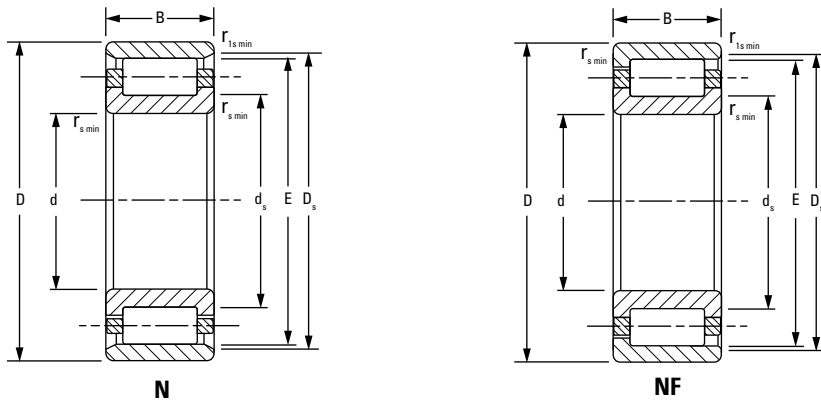
| Dimensões do rolamento |                    |                   |                   | Capacidade de carga     |  | Designação do rolamento <sup>(2)</sup> | Dados de montagem |                     |                     |                       | s <sup>(3)</sup> | Fator de geometria C <sub>g</sub> | Limite de rotação | Peso           |  |  |  |  |
|------------------------|--------------------|-------------------|-------------------|-------------------------|--|--|-------------------|---------------------|---------------------|-----------------------|------------------|-----------------------------------|-------------------|----------------|--|--|--|--|
| Furo d                 | D.E. D             | Largura B         | DUR/DOR F/E       | Estático C <sub>0</sub> | Dinâmico C <sub>1</sub> <sup>(1)</sup> |  | Chanfro           | Diâmetro do encosto |                     |                       |                  |                                   |                   |                |  |  |  |  |
| mm pol.                | mm pol.            | mm pol.           | mm pol.           | kN lbf.                 | kN lbf.                                |  | r <sub>smin</sub> | r <sub>1smin</sub>  | Eixo d <sub>s</sub> | Mancal D <sub>s</sub> |                  |                                   |                   |                |  |  |  |  |
| 130,000<br>5,1181      | 230,000<br>9,0551  | 64,000<br>2,5197  | 153,500<br>6,0433 | 750<br>169000           | 603<br>135000                          | NU2226EMA                              | 3,0<br>0,12       | 3,0<br>0,12         | 146,8<br>5,78       | 209,5<br>8,25         | 5,0<br>0,20      | 0,129                             | 2400 2200         | 11,50<br>25,40 |  |  |  |  |
| 130,000<br>5,1181      | 230,000<br>9,0551  | 64,000<br>2,5197  | 153,500<br>6,0433 | 750<br>169000           | 603<br>135000                          | NJ2226EMA                              | 3,0<br>0,12       | 3,0<br>0,12         | 146,8<br>5,78       | 209,5<br>8,25         | 5,0<br>0,20      | 0,129                             | 2400 2200         | 11,80<br>25,90 |  |  |  |  |
| 130,000<br>5,1181      | 280,000<br>11,0236 | 58,000<br>2,2835  | 167,000<br>6,5748 | 753<br>169000           | 701<br>158000                          | NU326EMA                               | 4,0<br>0,16       | 4,0<br>0,16         | 159,7<br>6,29       | 247,0<br>9,72         | 3,7<br>0,14      | 0,108                             | 2500 2200         | 18,10<br>39,70 |  |  |  |  |
| 130,000<br>5,1181      | 280,000<br>11,0236 | 58,000<br>2,2835  | 167,000<br>6,5748 | 753<br>169000           | 701<br>158000                          | NJ326EMA                               | 4,0<br>0,16       | 4,0<br>0,16         | 159,7<br>6,29       | 247,0<br>9,72         | 3,7<br>0,14      | 0,108                             | 2500 2200         | 18,50<br>40,70 |  |  |  |  |
| 130,000<br>5,1181      | 280,000<br>11,0236 | 93,000<br>3,6614  | 167,000<br>6,5748 | 1240<br>278000          | 1040<br>235000                         | NU2326EMA                              | 4,0<br>0,16       | 4,0<br>0,16         | 158,1<br>6,22       | 247,0<br>9,72         | 7,6<br>0,30      | 0,122                             | 1900 1700         | 29,30<br>64,40 |  |  |  |  |
| 130,000<br>5,1181      | 280,000<br>11,0236 | 93,000<br>3,6614  | 167,000<br>6,5748 | 1240<br>278000          | 1040<br>235000                         | NJ2326EMA                              | 4,0<br>0,16       | 4,0<br>0,16         | 158,1<br>6,22       | 247,0<br>9,72         | 7,6<br>0,30      | 0,122                             | 1900 1700         | 29,80<br>65,50 |  |  |  |  |
| 140,000<br>5,5118      | 210,000<br>8,2677  | 33,000<br>1,2992  | 158,000<br>6,2205 | 263<br>59200            | 201<br>45200                           | NU1028MA                               | 2,0<br>0,08       | 1,1<br>0,04         | 152,9<br>6,02       | 192,0<br>7,56         | 3,8<br>0,15      | 0,108                             | 3300 2700         | 4,00<br>8,90   |  |  |  |  |
| 140,000<br>5,5118      | 250,000<br>9,8425  | 42,000<br>1,6535  | 169,000<br>6,6535 | 526<br>118000           | 443<br>99500                           | NU228EMA                               | 3,0<br>0,12       | 3,0<br>0,12         | 162,4<br>6,39       | 225,0<br>8,86         | 2,1<br>0,08      | 0,124                             | 2900 2500         | 9,20<br>20,30  |  |  |  |  |
| 140,000<br>5,5118      | 250,000<br>9,8425  | 42,000<br>1,6535  | 169,000<br>6,6535 | 526<br>118000           | 443<br>99500                           | NJ228EMA                               | 3,0<br>0,12       | 3,0<br>0,12         | 162,4<br>6,39       | 225,0<br>8,86         | 2,1<br>0,08      | 0,124                             | 2900 2500         | 9,40<br>20,70  |  |  |  |  |
| 140,000<br>5,5118      | 250,000<br>9,8425  | 68,000<br>2,6772  | 169,000<br>6,6535 | 850<br>191000           | 650<br>146000                          | NU2228EMA                              | 3,0<br>0,12       | 3,0<br>0,12         | 160,1<br>6,30       | 225,0<br>8,86         | 5,0<br>0,20      | 0,138                             | 2200 2000         | 14,80<br>32,50 |  |  |  |  |
| 140,000<br>5,5118      | 250,000<br>9,8425  | 68,000<br>2,6772  | 169,000<br>6,6535 | 850<br>191000           | 650<br>146000                          | NJ2228EMA                              | 3,0<br>0,12       | 3,0<br>0,12         | 160,1<br>6,30       | 225,0<br>8,86         | 5,0<br>0,20      | 0,138                             | 2200 2000         | 15,10<br>33,20 |  |  |  |  |
| 140,000<br>5,5118      | 300,000<br>11,8110 | 62,000<br>2,4409  | 180,000<br>7,0866 | 837<br>188000           | 771<br>173000                          | NU328EMA                               | 4,0<br>0,16       | 4,0<br>0,16         | 174,2<br>6,86       | 264,0<br>10,39        | 5,2<br>0,20      | 0,114                             | 2300 2000         | 22,10<br>48,50 |  |  |  |  |
| 140,000<br>5,5118      | 300,000<br>11,8110 | 62,000<br>2,4409  | 180,000<br>7,0866 | 837<br>188000           | 771<br>173000                          | NJ328EMA                               | 4,0<br>0,16       | 4,0<br>0,16         | 174,2<br>6,86       | 264,0<br>10,39        | 5,2<br>0,20      | 0,114                             | 2300 2000         | 22,50<br>49,50 |  |  |  |  |
| 140,000<br>5,5118      | 300,000<br>11,8110 | 102,000<br>4,0157 | 180,000<br>7,0866 | 1420<br>319000          | 1180<br>265000                         | NU2328EMA                              | 4,0<br>0,16       | 4,0<br>0,16         | 171,3<br>6,74       | 264,0<br>10,39        | 9,7<br>0,38      | 0,129                             | 1700 1500         | 36,10<br>79,40 |  |  |  |  |
| 140,000<br>5,5118      | 300,000<br>11,8110 | 102,000<br>4,0157 | 180,000<br>7,0866 | 1420<br>319000          | 1180<br>265000                         | NJ2328EMA                              | 4,0<br>0,16       | 4,0<br>0,16         | 171,3<br>6,74       | 264,0<br>10,39        | 9,7<br>0,38      | 0,129                             | 1700 1500         | 36,80<br>81,00 |  |  |  |  |

<sup>(1)</sup>Baseado em uma vida útil L<sub>10</sub> de 1 x 10<sup>6</sup> revoluções, para o método de cálculo de vida útil ISO.

<sup>(2)</sup>A folga radial interna (RIC) para o conjunto do rolamento deve ser incluída ao fazer o pedido do conjunto completo.

<sup>(3)</sup>O deslocamento axial permitível a partir da posição normal de um anel do rolamento em relação ao outro.

Continua na próxima página.



| Euro<br>d         | Dimensões do rolamento |                   |                   |            | Capacidade de<br>carga     |   | Designação<br>do rolamento <sup>(2)</sup> | Dados de montagem |                        |                        |                          | s <sup>(3)</sup> | Fator<br>de geo-<br>metria<br>C <sub>g</sub> | Limite de<br>rotação |       | Peso           |
|-------------------|------------------------|-------------------|-------------------|------------|----------------------------|---|---|-------------------|------------------------|------------------------|--------------------------|------------------|--|----------------------|-------|----------------|
|                   | D.E.<br>D              | Largura<br>B      | DUR/DOR<br>F/E    |            | Estático<br>C <sub>0</sub> | Dinâmico<br>C <sub>1</sub> <sup>(1)</sup> |   | Chanfro           | Diâmetro<br>do encosto | Eixo<br>d <sub>s</sub> | Mancal<br>D <sub>s</sub> |                  |  | Óleo                 | Graxa |                |
|                   | mm<br>pol.             | mm<br>pol.        | mm<br>pol.        | mm<br>pol. | kN<br>lbf.                 | kN<br>lbf.                                |   | r <sub>smin</sub> | r <sub>1smin</sub>     | mm<br>pol.             | mm<br>pol.               |                  |  | RPM                  | RPM   |                |
| 150,000<br>5,9055 | 225,000<br>8,8583      | 35,000<br>1,3780  | 169,500<br>6,6732 |            | 309<br>69500               | 231<br>51900                              | NU1030MA                                  | 2,1<br>0,08       | 1,5<br>0,06            | 164,6<br>6,48          | 205,5<br>8,09            | 4,9<br>0,19      | 0,115  | 3100                 | 2500  | 4,90<br>10,80  |
| 150,000<br>5,9055 | 270,000<br>10,6299     | 45,000<br>1,7717  | 182,000<br>7,1654 |            | 607<br>137000              | 506<br>114000                             | NU230EMA                                  | 3,0<br>0,12       | 3,0<br>0,12            | 176,9<br>6,96          | 242,0<br>9,53            | 4,0<br>0,16      | 0,109  | 2600                 | 2300  | 11,60<br>25,60 |
| 150,000<br>5,9055 | 270,000<br>10,6299     | 45,000<br>1,7717  | 182,000<br>7,1654 |            | 607<br>137000              | 506<br>114000                             | NJ230EMA                                  | 3,0<br>0,12       | 3,0<br>0,12            | 176,9<br>6,96          | 242,0<br>9,53            | 4,0<br>0,16      | 0,109  | 2600                 | 2300  | 12,00<br>26,30 |
| 150,000<br>5,9055 | 270,000<br>10,6299     | 45,000<br>1,7717  | 182,000<br>7,1654 |            | 607<br>137000              | 506<br>114000                             | NUP230EMA                                 | 3,0<br>0,12       | 3,0<br>0,12            | 176,9<br>6,96          | 242,0<br>9,53            | —                | 0,109  | 2600                 | 2300  | 12,10<br>26,60 |
| 150,000<br>5,9055 | 270,000<br>10,6299     | 73,000<br>2,8740  | 182,000<br>7,1654 |            | 998<br>224000              | 752<br>169000                             | NU2230EMA                                 | 3,0<br>0,12       | 3,0<br>0,12            | 173,5<br>6,83          | 242,0<br>9,53            | 6,0<br>0,24      | 0,123  | 2000                 | 1800  | 18,60<br>40,90 |
| 150,000<br>5,9055 | 270,000<br>10,6299     | 73,000<br>2,8740  | 182,000<br>7,1654 |            | 998<br>224000              | 752<br>169000                             | NJ2230EMA                                 | 3,0<br>0,12       | 3,0<br>0,12            | 173,5<br>6,83          | 242,0<br>9,53            | 6,0<br>0,24      | 0,123  | 2000                 | 1800  | 18,90<br>41,36 |
| 150,000<br>5,9055 | 270,000<br>10,6299     | 73,000<br>2,8740  | 242,000<br>9,5276 |            | 998<br>224000              | 752<br>169000                             | N2230EMB                                  | 3,0<br>0,12       | 3,0<br>0,12            | 182,0<br>7,17          | 250,5<br>9,86            | 6,0<br>0,24      | 0,123  | 2000                 | 1800  | 18,40<br>40,40 |
| 150,000<br>5,9055 | 320,000<br>12,5984     | 65,000<br>2,5591  | 193,000<br>7,5984 |            | 951<br>214000              | 870<br>196000                             | NU330EMA                                  | 4,0<br>0,16       | 4,0<br>0,16            | 185,7<br>7,31          | 283,0<br>11,14           | 4,0<br>0,16      | 0,120  | 2100                 | 1900  | 26,20<br>57,70 |
| 150,000<br>5,9055 | 320,000<br>12,5984     | 65,000<br>2,5591  | 193,000<br>7,5984 |            | 951<br>214000              | 870<br>196000                             | NJ330EMA                                  | 4,0<br>0,16       | 4,0<br>0,16            | 185,7<br>7,31          | 283,0<br>11,14           | 4,0<br>0,16      | 0,120  | 2100                 | 1900  | 26,70<br>58,80 |
| 150,000<br>5,9055 | 320,000<br>12,5984     | 108,000<br>4,2520 | 193,000<br>7,5984 |            | 1620<br>364000             | 1330<br>299000                            | NU2330EMA                                 | 4,0<br>0,16       | 4,0<br>0,16            | 182,7<br>7,19          | 283,0<br>11,14           | 9,0<br>0,35      | 0,136  | 1600                 | 1400  | 43,60<br>95,80 |
| 150,000<br>5,9055 | 320,000<br>12,5984     | 108,000<br>4,2520 | 193,000<br>7,5984 |            | 1620<br>364000             | 1330<br>299000                            | NJ2330EMA                                 | 4,0<br>0,16       | 4,0<br>0,16            | 182,7<br>7,19          | 283,0<br>11,14           | 9,0<br>0,35      | 0,136  | 1600                 | 1400  | 44,40<br>97,70 |
| 160,000<br>6,2992 | 240,000<br>9,4488      | 38,000<br>1,4961  | 180,000<br>7,0866 |            | 367<br>82500               | 276<br>62000                              | NU1032MA                                  | 2,1<br>0,08       | 1,5<br>0,06            | 173,9<br>6,85          | 220,0<br>8,66            | 4,4<br>0,17      | 0,121  | 3000                 | 2400  | 5,90<br>13,00  |
| 160,000<br>6,2992 | 290,000<br>11,4173     | 48,000<br>1,8898  | 195,000<br>7,6772 |            | 695<br>156000              | 572<br>129000                             | NU232EMA                                  | 3,0<br>0,12       | 3,0<br>0,12            | 189,6<br>7,46          | 259,0<br>10,20           | 4,2<br>0,17      | 0,115  | 2400                 | 2100  | 14,50<br>31,80 |
| 160,000<br>6,2992 | 290,000<br>11,4173     | 48,000<br>1,8898  | 195,000<br>7,6772 |            | 695<br>156000              | 572<br>129000                             | NJ232EMA                                  | 3,0<br>0,12       | 3,0<br>0,12            | 189,6<br>7,46          | 259,0<br>10,20           | 4,2<br>0,17      | 0,115  | 2400                 | 2100  | 14,70<br>32,40 |
| 160,000<br>6,2992 | 290,000<br>11,4173     | 48,000<br>1,8898  | 195,000<br>7,6772 |            | 695<br>156000              | 572<br>129000                             | NUP232EMA                                 | 3,0<br>0,12       | 3,0<br>0,12            | 189,6<br>7,46          | 259,0<br>10,20           | —                | 0,115  | 2400                 | 2100  | 15,00<br>33,00 |

(1)Baseado em uma vida útil L<sub>10</sub> de 1 x 10<sup>6</sup> revoluções, para o método de cálculo de vida útil ISO.

Continua na próxima página.

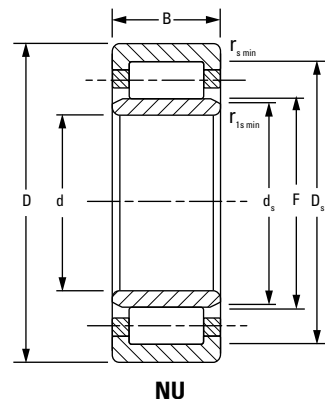
(2)A folga radial interna (RIC) para o conjunto do rolamento deve ser incluída ao fazer o pedido do conjunto completo.

(3)O deslocamento axial permitível a partir da posição normal de um anel do rolamento em relação ao outro.

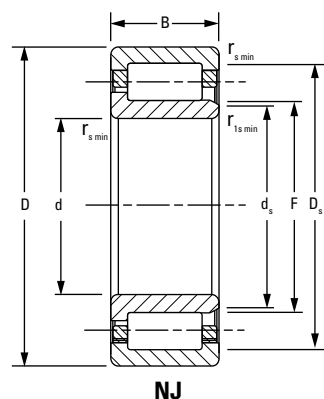
# ROLAMENTOS DE ROLOS CILÍNDRICOS

## SÉRIE MÉTRICA ISO DE UMA CARREIRA

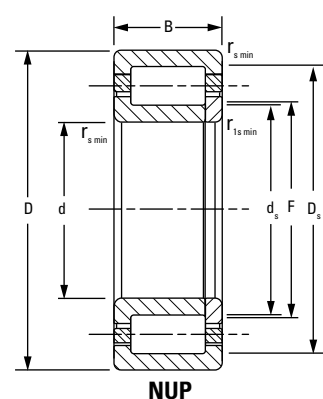
### SÉRIE MÉTRICA ISO DE UMA CARREIRA – *continuação*



**NU**



**NJ**



**NUP**

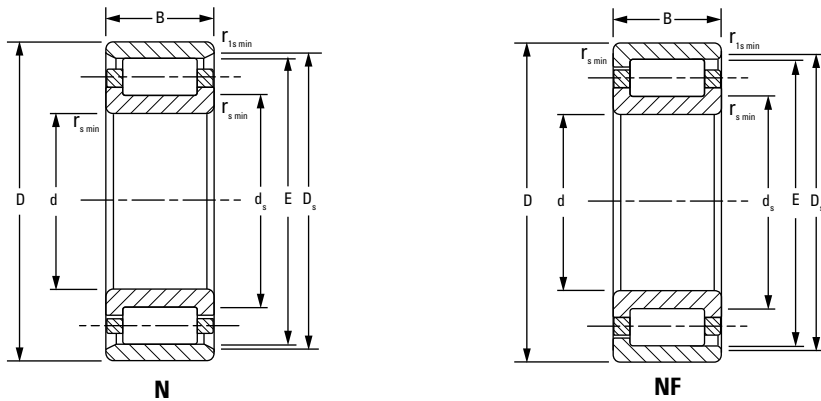
| Dimensões do rolamento |                    |                   |                   | Capacidade de carga     |  | Designação do rolamento <sup>(2)</sup> | Dados de montagem |                     |                     |                       | s <sup>(3)</sup> | Fator de geometria C <sub>g</sub> | Limite de rotação | Peso            |
|------------------------|--------------------|-------------------|-------------------|-------------------------|--|--|-------------------|---------------------|---------------------|-----------------------|------------------|-----------------------------------|-------------------|-----------------|
| Furo d                 | D.E. D             | Largura B         | DUR/DOR F/E       | Estático C <sub>0</sub> | Dinâmico C <sub>1</sub> <sup>(1)</sup> |  | Chanfro           | Diâmetro do encosto |                     |                       |                  |                                   |                   |                 |
| mm pol.                | mm pol.            | mm pol.           | mm pol.           | kN lbf.                 | kN lbf.                                |  | r <sub>smin</sub> | r <sub>1smin</sub>  | Eixo d <sub>s</sub> | Mancal D <sub>s</sub> |                  |                                   |                   |                 |
| 160,000<br>6,2992      | 290,000<br>11,4173 | 80,000<br>3,1496  | 193,000<br>7,5984 | 1210<br>271000          | 919<br>207000                          | NU2232EMA                              | 3,0<br>0,12       | 3,0<br>0,12         | 183,6<br>7,23       | 261,0<br>10,28        | 4,5<br>0,18      | 0,130                             | 1700 1600         | 23,80<br>52,40  |
| 160,000<br>6,2992      | 290,000<br>11,4173 | 80,000<br>3,1496  | 193,000<br>7,5984 | 1210<br>271000          | 919<br>207000                          | NJ2232EMA                              | 3,0<br>0,12       | 3,0<br>0,12         | 183,6<br>7,23       | 261,0<br>10,28        | 4,5<br>0,18      | 0,130                             | 1700 1600         | 24,30<br>53,50  |
| 160,000<br>6,2992      | 340,000<br>13,3858 | 68,000<br>2,6772  | 204,000<br>8,0315 | 1090<br>244000          | 985<br>221000                          | NU332EMA                               | 4,0<br>0,16       | 4,0<br>0,16         | 197,3<br>7,77       | 300,0<br>11,81        | 5,5<br>0,22      | 0,126                             | 1900 1700         | 31,10<br>68,40  |
| 160,000<br>6,2992      | 340,000<br>13,3858 | 68,000<br>2,6772  | 204,000<br>8,0315 | 1090<br>244000          | 985<br>221000                          | NJ332EMA                               | 4,0<br>0,16       | 4,0<br>0,16         | 197,3<br>7,77       | 300,0<br>11,81        | 5,5<br>0,22      | 0,126                             | 1900 1700         | 31,60<br>69,50  |
| 160,000<br>6,2992      | 340,000<br>13,3858 | 114,000<br>4,4882 | 204,000<br>8,0315 | 1840<br>413000          | 1500<br>337000                         | NU2332EMA                              | 4,0<br>0,16       | 4,0<br>0,16         | 194,0<br>7,64       | 300,0<br>11,81        | 10,0<br>0,39     | 0,143                             | 1400 1300         | 52,20<br>114,80 |
| 160,000<br>6,2992      | 340,000<br>13,3858 | 114,000<br>4,4882 | 204,000<br>8,0315 | 1840<br>413000          | 1500<br>337000                         | NJ2332EMA                              | 4,0<br>0,16       | 4,0<br>0,16         | 194,0<br>7,64       | 300,0<br>11,81        | 10,0<br>0,39     | 0,143                             | 1400 1300         | 53,10<br>116,80 |
| 170,000<br>6,6929      | 260,000<br>10,2362 | 42,000<br>1,6535  | 193,000<br>7,5984 | 425<br>95600            | 321<br>72200                           | NU1034MA                               | 2,1<br>0,08       | 2,1<br>0,08         | 186,3<br>7,33       | 237,0<br>9,33         | 4,9<br>0,19      | 0,107                             | 2800 2300         | 8,00<br>17,70   |
| 170,000<br>6,6929      | 260,000<br>10,2362 | 67,000<br>2,6378  | 191,000<br>7,5197 | 1080<br>243000          | 722<br>162000                          | NU3034EMA                              | 2,1<br>0,08       | 2,1<br>0,08         | 185,2<br>7,29       | 241,0<br>9,49         | 4,4<br>0,17      | 0,131                             | 1500 1300         | 8,00<br>17,70   |
| 170,000<br>6,6929      | 310,000<br>12,2047 | 52,000<br>2,0472  | 207,000<br>8,1496 | 822<br>185000           | 685<br>154000                          | NU234EMA                               | 4,0<br>0,16       | 4,0<br>0,16         | 201,6<br>7,94       | 279,0<br>10,98        | 4,4<br>0,17      | 0,122                             | 2200 1900         | 17,60<br>38,70  |
| 170,000<br>6,6929      | 310,000<br>12,2047 | 52,000<br>2,0472  | 207,000<br>8,1496 | 822<br>185000           | 685<br>154000                          | NJ234EMA                               | 4,0<br>0,16       | 4,0<br>0,16         | 201,6<br>7,94       | 279,0<br>10,98        | 4,4<br>0,17      | 0,122                             | 2200 1900         | 17,90<br>39,40  |
| 170,000<br>6,6929      | 310,000<br>12,2047 | 86,000<br>3,3858  | 205,000<br>8,0709 | 1420<br>320000          | 1100<br>246000                         | NU2234EMA                              | 4,0<br>0,16       | 4,0<br>0,16         | 196,9<br>7,75       | 281,0<br>11,06        | 4,5<br>0,18      | 0,138                             | 1600 1400         | 28,70<br>63,20  |
| 170,000<br>6,6929      | 310,000<br>12,2047 | 86,000<br>3,3858  | 205,000<br>8,0709 | 1420<br>320000          | 1100<br>246000                         | NJ2234EMA                              | 4,0<br>0,16       | 4,0<br>0,16         | 196,9<br>7,75       | 281,0<br>11,06        | 4,5<br>0,18      | 0,138                             | 1600 1400         | 29,30<br>64,50  |
| 170,000<br>6,6929      | 360,000<br>14,1732 | 72,000<br>2,8346  | 218,000<br>8,5827 | 1160<br>261000          | 1050<br>236000                         | NU334EMA                               | 4,0<br>0,16       | 4,0<br>0,16         | 210,5<br>8,29       | 318,0<br>12,52        | 6,4<br>0,25      | 0,131                             | 1800 1600         | 36,90<br>81,18  |
| 170,000<br>6,6929      | 360,000<br>14,1732 | 72,000<br>2,8346  | 218,000<br>8,5827 | 1160<br>261000          | 1050<br>236000                         | NJ334EMA                               | 4,0<br>0,16       | 4,0<br>0,16         | 210,5<br>8,29       | 318,0<br>12,52        | 6,4<br>0,25      | 0,131                             | 1800 1600         | 37,50<br>82,50  |
| 170,000<br>6,6929      | 360,000<br>14,1732 | 120,000<br>4,7244 | 216,000<br>8,5039 | 2110<br>474000          | 1710<br>385000                         | NU2334EMA                              | 4,0<br>0,16       | 4,0<br>0,16         | 205,7<br>8,10       | 320,0<br>12,60        | 10,3<br>0,41     | 0,150                             | 1300 1200         | 61,90<br>136,20 |

<sup>(1)</sup>Baseado em uma vida útil L<sub>10</sub> de 1 x 10<sup>6</sup> revoluções, para o método de cálculo de vida útil ISO.

<sup>(2)</sup>A folga radial interna (RIC) para o conjunto do rolamento deve ser incluída ao fazer o pedido do conjunto completo.

<sup>(3)</sup>O deslocamento axial permitível a partir da posição normal de um anel do rolamento em relação ao outro.

Continua na próxima página.



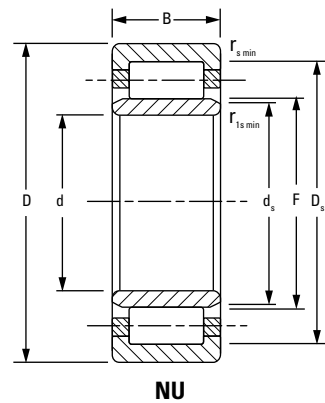
| Euro<br>d         | Dimensões do rolamento |                   |                   |            | Capacidade de<br>carga     |   | Designação<br>do rolamento <sup>(2)</sup> | Dados de montagem |                        |                        |                          | s <sup>(3)</sup> | Fator<br>de geo-<br>metria<br>C <sub>g</sub> | Limite de<br>rotação<br>Óleo      Graxa | Peso            |
|-------------------|------------------------|-------------------|-------------------|------------|----------------------------|---|---|-------------------|------------------------|------------------------|--------------------------|------------------|--|---|-----------------|
|                   | D.E.<br>D              | Largura<br>B      | DUR/DOR<br>F/E    |            | Estático<br>C <sub>0</sub> | Dinâmico<br>C <sub>1</sub> <sup>(1)</sup> |   | Chanfro           | Diâmetro<br>do encosto | Eixo<br>d <sub>s</sub> | Mancal<br>D <sub>s</sub> |                  |  |   |                 |
|                   | mm<br>pol.             | mm<br>pol.        | mm<br>pol.        | mm<br>pol. | kN<br>lbf.                 | kN<br>lbf.                                |   | r <sub>smin</sub> | r <sub>1smin</sub>     | mm<br>pol.             | mm<br>pol.               |                  |  |   |                 |
| 170,000<br>6,6929 | 360,000<br>14,1732     | 120,000<br>4,7244 | 216,000<br>8,5039 |            | 2110<br>474000             | 1710<br>385000                            | NJ2334EMA                                 | 4,0<br>0,16       | 4,0<br>0,16            | 205,7<br>8,10          | 320,0<br>12,60           | 10,3<br>0,41     | 0,150  | 1300      1200                          | 63,00<br>138,50 |
| 180,000<br>7,0866 | 280,000<br>11,0236     | 46,000<br>1,8110  | 205,000<br>8,0709 |            | 500<br>112000              | 386<br>86800                              | NU1036MA                                  | 2,1<br>0,08       | 2,1<br>0,08            | 198,9<br>7,83          | 255,0<br>10,04           | 6,1<br>0,24      | 0,112  | 2600      2100                          | 10,30<br>22,80  |
| 180,000<br>7,0866 | 320,000<br>12,5984     | 52,000<br>2,0472  | 217,000<br>8,5433 |            | 874<br>196000              | 711<br>160000                             | NU236EMA                                  | 4,0<br>0,16       | 4,0<br>0,16            | 211,6<br>8,33          | 289,0<br>11,38           | 4,4<br>0,17      | 0,126  | 2000      1800                          | 18,30<br>40,40  |
| 180,000<br>7,0866 | 320,000<br>12,5984     | 52,000<br>2,0472  | 217,000<br>8,5433 |            | 874<br>196000              | 711<br>160000                             | NJ236EMA                                  | 4,0<br>0,16       | 4,0<br>0,16            | 211,6<br>8,33          | 289,0<br>11,38           | 4,4<br>0,17      | 0,126  | 2000      1800                          | 18,70<br>41,10  |
| 180,000<br>7,0866 | 320,000<br>12,5984     | 86,000<br>3,3858  | 215,000<br>8,4646 |            | 1520<br>342000             | 1140<br>256000                            | NU2236EMA                                 | 4,0<br>0,16       | 4,0<br>0,16            | 206,0<br>8,11          | 291,0<br>11,46           | 5,5<br>0,22      | 0,143  | 1400      1300                          | 30,60<br>67,32  |
| 180,000<br>7,0866 | 320,000<br>12,5984     | 86,000<br>3,3858  | 215,000<br>8,4646 |            | 1520<br>342000             | 1140<br>256000                            | NJ2236EMA                                 | 4,0<br>0,16       | 4,0<br>0,16            | 206,0<br>8,11          | 291,0<br>11,46           | 5,5<br>0,22      | 0,143  | 1400      1300                          | 31,20<br>68,60  |
| 180,000<br>7,0866 | 380,000<br>14,9606     | 75,000<br>2,9528  | 231,000<br>9,0945 |            | 1290<br>290000             | 1150<br>258000                            | NU336EMA                                  | 4,0<br>0,16       | 4,0<br>0,16            | 223,2<br>8,79          | 335,0<br>13,19           | 6,5<br>0,26      | 0,137  | 1600      1500                          | 42,60<br>93,60  |
| 180,000<br>7,0866 | 380,000<br>14,9606     | 75,000<br>2,9528  | 231,000<br>9,0945 |            | 1290<br>290000             | 1150<br>258000                            | NJ336EMA                                  | 4,0<br>0,16       | 4,0<br>0,16            | 223,2<br>8,79          | 335,0<br>13,19           | 6,5<br>0,26      | 0,137  | 1600      1500                          | 43,40<br>95,50  |
| 180,000<br>7,0866 | 380,000<br>14,9606     | 126,000<br>4,9606 | 227,000<br>8,9370 |            | 2250<br>506000             | 1860<br>419000                            | NU2336EMA                                 | 4,0<br>0,16       | 4,0<br>0,16            | 215,7<br>8,49          | 339,0<br>13,35           | 8,7<br>0,34      | 0,154  | 1200      1100                          | 70,90<br>155,90 |
| 180,000<br>7,0866 | 380,000<br>14,9606     | 126,000<br>4,9606 | 227,000<br>8,9370 |            | 2250<br>506000             | 1860<br>419000                            | NJ2336EMA                                 | 4,0<br>0,16       | 4,0<br>0,16            | 215,7<br>8,49          | 339,0<br>13,35           | 8,7<br>0,34      | 0,154  | 1200      1100                          | 72,10<br>158,70 |
| 190,000<br>7,4803 | 290,000<br>11,4173     | 46,000<br>1,8110  | 215,000<br>8,4646 |            | 525<br>118000              | 396<br>89100                              | NU1038MA                                  | 2,1<br>0,08       | 2,1<br>0,08            | 207,9<br>8,19          | 265,0<br>10,43           | 6,1<br>0,24      | 0,116  | 2400      2000                          | 10,70<br>23,50  |
| 190,000<br>7,4803 | 340,000<br>13,3858     | 55,000<br>2,1654  | 230,000<br>9,0551 |            | 960<br>216000              | 777<br>175000                             | NU238EMA                                  | 4,0<br>0,16       | 4,0<br>0,16            | 224,2<br>8,83          | 306,0<br>12,05           | 4,5<br>0,18      | 0,132  | 1900      1600                          | 22,20<br>48,80  |
| 190,000<br>7,4803 | 340,000<br>13,3858     | 55,000<br>2,1654  | 230,000<br>9,0551 |            | 960<br>216000              | 777<br>175000                             | NJ238EMA                                  | 4,0<br>0,16       | 4,0<br>0,16            | 224,2<br>8,83          | 306,0<br>12,05           | 4,5<br>0,18      | 0,132  | 1900      1600                          | 22,60<br>49,60  |
| 190,000<br>7,4803 | 340,000<br>13,3858     | 92,000<br>3,6220  | 228,000<br>8,9764 |            | 1680<br>377000             | 1250<br>281000                            | NU2238EMA                                 | 4,0<br>0,16       | 4,0<br>0,16            | 219,0<br>8,62          | 308,0<br>12,13           | 7,0<br>0,28      | 0,149  | 1300      1200                          | 39,00<br>85,80  |
| 190,000<br>7,4803 | 340,000<br>13,3858     | 92,000<br>3,6220  | 228,000<br>8,9764 |            | 1680<br>377000             | 1250<br>281000                            | NJ2238EMA                                 | 4,0<br>0,16       | 4,0<br>0,16            | 219,0<br>8,62          | 308,0<br>12,13           | 7,0<br>0,28      | 0,149  | 1300      1200                          | 37,80<br>83,20  |

(1)Baseado em uma vida útil L<sub>10</sub> de 1 x 10<sup>6</sup> revoluções, para o método de cálculo de vida útil ISO.

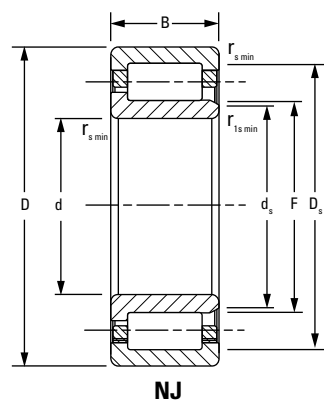
Continua na próxima página.

(2)A folga radial interna (RIC) para o conjunto do rolamento deve ser incluída ao fazer o pedido do conjunto completo.

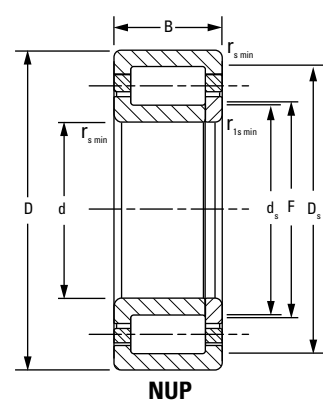
(3)O deslocamento axial permitível a partir da posição normal de um anel do rolamento em relação ao outro.

SÉRIE MÉTRICA ISO DE UMA CARREIRA – *continuação*

NU



NJ

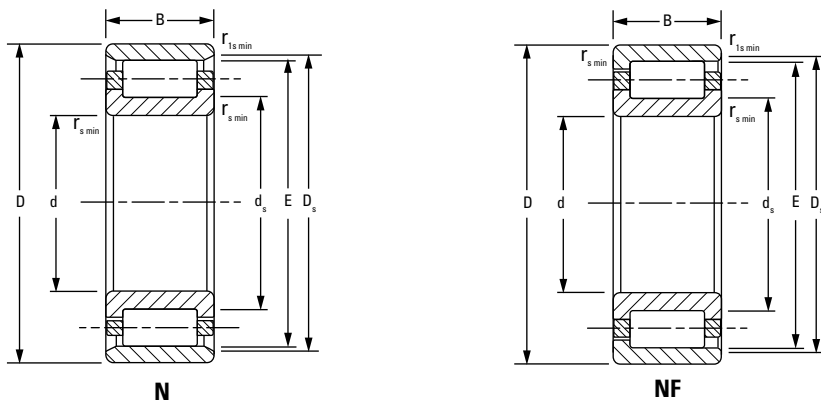


NUP

| Dimensões do rolamento |                    |                   |                    | Capacidade de carga     |  | Designação do rolamento <sup>(2)</sup> | Dados de montagem |                     |                     |                       | s <sup>(3)</sup> | Fator de geometria C <sub>g</sub> | Limite de rotação | Peso            |  |  |  |  |
|------------------------|--------------------|-------------------|--------------------|-------------------------|--|--|-------------------|---------------------|---------------------|-----------------------|------------------|-----------------------------------|-------------------|-----------------|--|--|--|--|
| Furo d                 | D.E. D             | Largura B         | DUR/DOR F/E        | Estático C <sub>0</sub> | Dinâmico C <sub>1</sub> <sup>(1)</sup> |  | Chanfro           | Diâmetro do encosto |                     |                       |                  |                                   |                   |                 |  |  |  |  |
| mm pol.                | mm pol.            | mm pol.           | mm pol.            | kN lbf.                 | kN lbf.                                |  | r <sub>smin</sub> | r <sub>1smin</sub>  | Eixo d <sub>s</sub> | Mancal D <sub>s</sub> |                  |                                   |                   |                 |  |  |  |  |
| 190,000<br>7,4803      | 400,000<br>15,7480 | 78,000<br>3,0709  | 245,000<br>9,6457  | 1500<br>337000          | 1300<br>292000                         | NU338EMA                               | 5,0<br>0,20       | 5,0<br>0,20         | 236,5<br>9,31       | 353,0<br>13,90        | 6,0<br>0,24      | 0,145                             | 1500 1300         | 49,40<br>108,70 |  |  |  |  |
| 190,000<br>7,4803      | 400,000<br>15,7480 | 78,000<br>3,0709  | 245,000<br>9,6457  | 1500<br>337000          | 1300<br>292000                         | NJ338EMA                               | 5,0<br>0,20       | 5,0<br>0,20         | 236,5<br>9,31       | 353,0<br>13,90        | 6,0<br>0,24      | 0,145                             | 1500 1300         | 50,20<br>110,50 |  |  |  |  |
| 190,000<br>7,4803      | 400,000<br>15,7480 | 132,000<br>5,1969 | 240,000<br>9,4488  | 2500<br>561000          | 2060<br>464000                         | NU2338EMA                              | 5,0<br>0,20       | 5,0<br>0,20         | 227,6<br>8,96       | 360,0<br>14,17        | 9,8<br>0,39      | 0,161                             | 1100 1000         | 80,30<br>176,60 |  |  |  |  |
| 190,000<br>7,4803      | 400,000<br>15,7480 | 132,000<br>5,1969 | 240,000<br>9,4488  | 2500<br>561000          | 2060<br>464000                         | NJ2338EMA                              | 5,0<br>0,20       | 5,0<br>0,20         | 227,6<br>8,96       | 360,0<br>14,17        | 9,8<br>0,39      | 0,161                             | 1100 1000         | 81,80<br>179,90 |  |  |  |  |
| 200,000<br>7,8740      | 310,000<br>12,2047 | 51,000<br>2,0079  | 229,000<br>9,0157  | 596<br>134000           | 440<br>98800                           | NU1040MA                               | 2,1<br>0,08       | 2,1<br>0,08         | 221,1<br>8,70       | 281,0<br>11,06        | 6,5<br>0,26      | 0,122                             | 2300 1900         | 14,00<br>30,70  |  |  |  |  |
| 200,000<br>7,8740      | 360,000<br>14,1732 | 58,000<br>2,2835  | 243,000<br>9,5669  | 1090<br>245000          | 870<br>196000                          | NU240EMA                               | 4,0<br>0,16       | 4,0<br>0,16         | 236,9<br>9,33       | 323,0<br>12,72        | 4,7<br>0,19      | 0,137                             | 1700 1500         | 26,50<br>58,30  |  |  |  |  |
| 200,000<br>7,8740      | 360,000<br>14,1732 | 58,000<br>2,2835  | 243,000<br>9,5669  | 1090<br>245000          | 870<br>196000                          | NJ240EMA                               | 4,0<br>0,16       | 4,0<br>0,16         | 236,9<br>9,33       | 323,0<br>12,72        | 4,7<br>0,19      | 0,137                             | 1700 1500         | 27,00<br>59,40  |  |  |  |  |
| 200,000<br>7,8740      | 360,000<br>14,1732 | 98,000<br>3,8583  | 241,000<br>9,4882  | 1920<br>431000          | 1410<br>316000                         | NU2240EMA                              | 4,0<br>0,16       | 4,0<br>0,16         | 231,5<br>9,11       | 325,0<br>12,80        | 7,0<br>0,28      | 0,156                             | 1200 1100         | 44,40<br>97,70  |  |  |  |  |
| 200,000<br>7,8740      | 360,000<br>14,1732 | 98,000<br>3,8583  | 241,000<br>9,4882  | 1920<br>431000          | 1410<br>316000                         | NJ2240EMA                              | 4,0<br>0,16       | 4,0<br>0,16         | 231,5<br>9,11       | 325,0<br>12,80        | 7,0<br>0,28      | 0,156                             | 1200 1100         | 45,20<br>99,50  |  |  |  |  |
| 200,000<br>7,8740      | 420,000<br>16,5354 | 80,000<br>3,1496  | 258,000<br>10,1575 | 1580<br>354000          | 1360<br>306000                         | NU340EMA                               | 5,0<br>0,20       | 5,0<br>0,20         | 249,9<br>9,84       | 370,0<br>14,57        | 7,0<br>0,28      | 0,150                             | 1300 1200         | 55,80<br>122,70 |  |  |  |  |
| 200,000<br>7,8740      | 420,000<br>16,5354 | 80,000<br>3,1496  | 258,000<br>10,1575 | 1580<br>354000          | 1360<br>306000                         | NJ340EMA                               | 5,0<br>0,20       | 5,0<br>0,20         | 249,9<br>9,84       | 370,0<br>14,57        | 7,0<br>0,28      | 0,150                             | 1300 1200         | 56,70<br>124,70 |  |  |  |  |
| 200,000<br>7,8740      | 420,000<br>16,5354 | 138,000<br>5,4331 | 253,000<br>9,9606  | 2760<br>619000          | 2250<br>505000                         | NU2340EMA                              | 5,0<br>0,20       | 5,0<br>0,20         | 240,7<br>9,48       | 377,0<br>14,84        | 9,2<br>0,36      | 0,167                             | 1000 940          | 93,20<br>205,00 |  |  |  |  |
| 200,000<br>7,8740      | 420,000<br>16,5354 | 138,000<br>5,4331 | 253,000<br>9,9606  | 2760<br>619000          | 2250<br>505000                         | NJ2340EMA                              | 5,0<br>0,20       | 5,0<br>0,20         | 240,7<br>9,48       | 377,0<br>14,84        | 9,2<br>0,36      | 0,167                             | 1000 940          | 94,80<br>208,70 |  |  |  |  |
| 220,000<br>8,6614      | 340,000<br>13,3858 | 56,000<br>2,2047  | 250,000<br>9,8425  | 765<br>172000           | 565<br>127000                          | NU1044MA                               | 3,0<br>0,12       | 3,0<br>0,12         | 242,6<br>9,55       | 310,0<br>12,20        | 8,4<br>0,33      | 0,132                             | 2000 1700         | 18,40<br>40,40  |  |  |  |  |
| 220,000<br>8,6614      | 340,000<br>13,3858 | 56,000<br>2,2047  | 250,000<br>9,8425  | 765<br>172000           | 565<br>127000                          | NJ1044MA                               | 3,0<br>0,12       | 3,0<br>0,12         | 242,6<br>9,55       | 310,0<br>12,20        | 8,4<br>0,33      | 0,132                             | 2000 1700         | 18,90<br>41,60  |  |  |  |  |

<sup>(1)</sup>Baseado em uma vida útil L<sub>10</sub> de 1 x 10<sup>6</sup> revoluções, para o método de cálculo de vida útil ISO.<sup>(2)</sup>A folga radial interna (RIC) para o conjunto do rolamento deve ser incluída ao fazer o pedido do conjunto completo.<sup>(3)</sup>O deslocamento axial permitível a partir da posição normal de um anel do rolamento em relação ao outro.

Continua na próxima página.

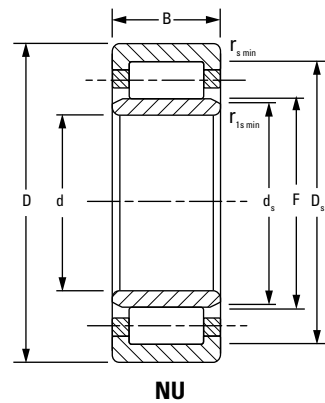


| Dimensões do rolamento |                    |                   |                    | Capacidade de carga     |  | Designação do rolamento <sup>(2)</sup> | Dados de montagem |                     |                     |                       | s <sup>(3)</sup> | Fator de geometria C <sub>g</sub> | Limite de rotação | Peso             |
|------------------------|--------------------|-------------------|--------------------|-------------------------|--|--|-------------------|---------------------|---------------------|-----------------------|------------------|-----------------------------------|-------------------|------------------|
| Furo d                 | D.E. D             | Largura B         | DUR/DOR F/E        | Estático C <sub>0</sub> | Dinâmico C <sub>1</sub> <sup>(1)</sup> |  | Chanfro           | Diâmetro do encosto | Eixo d <sub>s</sub> | Mancal D <sub>s</sub> |                  |                                   |                   |                  |
| mm pol.                | mm pol.            | mm pol.           | mm pol.            | kN lbf.                 | kN lbf.                                |  | r <sub>smin</sub> | r <sub>1smin</sub>  | mm pol.             | mm pol.               |                  |                                   |                   |                  |
| 220,000<br>8,6614      | 340,000<br>13,3858 | 90,000<br>3,5433  | 250,000<br>9,8425  | 765<br>172000           | 1210<br>272000                         | NU3044MA                               | 3,0<br>0,12       | 3,0<br>0,12         | 242,5<br>9,55       | 314,0<br>12,36        | 8,4<br>0,33      | 0,163                             | 1100<br>940       | 30,70<br>67,60   |
| 220,000<br>8,6614      | 400,000<br>15,7480 | 65,000<br>2,5591  | 268,000<br>10,5512 | 1290<br>290000          | 1040<br>233000                         | NU244EMA                               | 4,0<br>0,16       | 4,0<br>0,16         | 261,2<br>10,28      | 358,0<br>14,09        | 4,0<br>0,16      | 0,148                             | 1500<br>1400      | 36,90<br>81,20   |
| 220,000<br>8,6614      | 400,000<br>15,7480 | 65,000<br>2,5591  | 268,000<br>10,5512 | 1290<br>290000          | 1040<br>233000                         | NJ244EMA                               | 4,0<br>0,16       | 4,0<br>0,16         | 261,2<br>10,28      | 358,0<br>14,09        | 4,0<br>0,16      | 0,148                             | 1500<br>1400      | 37,60<br>82,70   |
| 220,000<br>8,6614      | 400,000<br>15,7480 | 108,000<br>4,2520 | 259,000<br>10,1969 | 2370<br>533000          | 1820<br>409000                         | NU2244EMA                              | 4,0<br>0,16       | 4,0<br>0,16         | 250,7<br>9,87       | 363,0<br>14,29        | 7,3<br>0,29      | 0,165                             | 1000<br>970       | 60,80<br>133,80  |
| 220,000<br>8,6614      | 400,000<br>15,7480 | 108,000<br>4,2520 | 259,000<br>10,1969 | 2370<br>533000          | 1820<br>409000                         | NJ2244EMA                              | 4,0<br>0,16       | 4,0<br>0,16         | 250,7<br>9,87       | 363,0<br>14,29        | 7,3<br>0,29      | 0,165                             | 1000<br>970       | 61,80<br>136,00  |
| 220,000<br>8,6614      | 460,000<br>18,1102 | 88,000<br>3,4646  | 282,000<br>11,1024 | 1930<br>433000          | 1650<br>370000                         | NU344EMA                               | 5,0<br>0,20       | 5,0<br>0,20         | 272,9<br>10,74      | 406,0<br>15,98        | 7,5<br>0,30      | 0,162                             | 1100<br>1000      | 73,70<br>162,10  |
| 220,000<br>8,6614      | 460,000<br>18,1102 | 88,000<br>3,4646  | 282,000<br>11,1024 | 1930<br>433000          | 1650<br>370000                         | NJ344EMA                               | 5,0<br>0,20       | 5,0<br>0,20         | 272,9<br>10,74      | 406,0<br>15,98        | 7,5<br>0,30      | 0,162                             | 1100<br>1000      | 74,90<br>164,70  |
| 220,000<br>8,6614      | 460,000<br>18,1102 | 145,000<br>5,7087 | 277,000<br>10,9055 | 3130<br>704000          | 2550<br>574000                         | NU2344EMA                              | 5,0<br>0,20       | 5,0<br>0,20         | 264,1<br>10,40      | 413,0<br>16,26        | 11,2<br>0,44     | 0,178                             | 910<br>840        | 118,50<br>260,70 |
| 220,000<br>8,6614      | 460,000<br>18,1102 | 145,000<br>5,7087 | 277,000<br>10,9055 | 3130<br>704000          | 2550<br>574000                         | NJ2344EMA                              | 5,0<br>0,20       | 5,0<br>0,20         | 264,1<br>10,40      | 413,0<br>16,26        | 11,2<br>0,44     | 0,178                             | 910<br>840        | 120,60<br>265,20 |
| 220,000<br>8,6614      | 460,000<br>18,1102 | 145,000<br>5,7087 | 413,000<br>16,2598 | 3130<br>704000          | 2550<br>574000                         | N2344EMB                               | 5,0<br>0,20       | 5,0<br>0,20         | 277,0<br>10,91      | 425,9<br>16,77        | 10,2<br>0,40     | 0,178                             | 910<br>840        | 117,50<br>258,60 |
| 240,000<br>9,4488      | 360,000<br>14,1732 | 56,000<br>2,2047  | 270,000<br>10,6299 | 838<br>188000           | 595<br>134000                          | NU1048MA                               | 3,0<br>0,12       | 3,0<br>0,12         | 262,6<br>10,34      | 330,0<br>12,99        | 7,0<br>0,28      | 0,140                             | 1900<br>1500      | 19,70<br>43,40   |
| 240,000<br>9,4488      | 440,000<br>17,3228 | 72,000<br>2,8346  | 293,000<br>11,5354 | 1570<br>352000          | 1250<br>281000                         | NU248EMA                               | 4,0<br>0,16       | 4,0<br>0,16         | 285,5<br>11,24      | 393,0<br>15,47        | 6,0<br>0,24      | 0,159                             | 1300<br>1100      | 50,30<br>110,60  |
| 240,000<br>9,4488      | 440,000<br>17,3228 | 72,000<br>2,8346  | 293,000<br>11,5354 | 1570<br>352000          | 1250<br>281000                         | NJ248EMA                               | 4,0<br>0,16       | 4,0<br>0,16         | 285,5<br>11,24      | 393,0<br>15,47        | 6,0<br>0,24      | 0,159                             | 1300<br>1100      | 51,10<br>112,50  |
| 240,000<br>9,4488      | 500,000<br>19,6850 | 95,000<br>3,7402  | 306,000<br>12,0472 | 2530<br>568000          | 2080<br>468000                         | NU348EMA                               | 5,0<br>0,20       | 5,0<br>0,20         | 295,0<br>11,61      | 442,0<br>17,40        | 7,5<br>0,30      | 0,170                             | 1100<br>990       | 96,10<br>211,40  |
| 240,000<br>9,4488      | 500,000<br>19,6850 | 95,000<br>3,7402  | 306,000<br>12,0472 | 2530<br>568000          | 2080<br>468000                         | NJ348EMA                               | 5,0<br>0,20       | 5,0<br>0,20         | 295,0<br>11,61      | 442,0<br>17,40        | 7,5<br>0,30      | 0,170                             | 1100<br>990       | 97,50<br>214,50  |

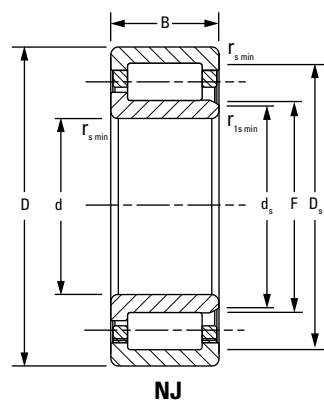
<sup>(1)</sup>Baseado em uma vida útil L<sub>10</sub> de 1 x 10<sup>6</sup> revoluções, para o método de cálculo de vida útil ISO.<sup>(2)</sup>A folga radial interna (RIC) para o conjunto do rolamento deve ser incluída ao fazer o pedido do conjunto completo.<sup>(3)</sup>O deslocamento axial permitível a partir da posição normal de um anel do rolamento em relação ao outro.

Continua na próxima página.

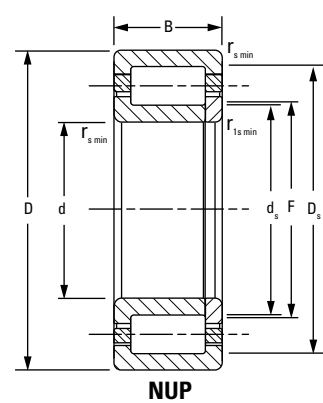
### SÉRIE MÉTRICA ISO DE UMA CARREIRA – *continuação*



**NU**



**NJ**



**NUP**

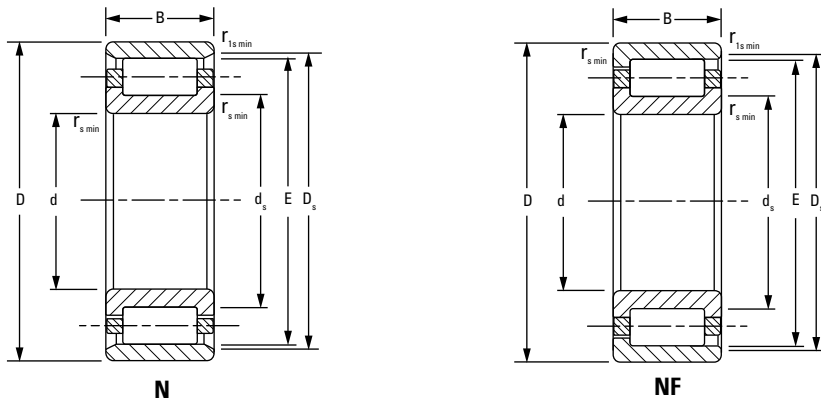
| Dimensões do rolamento |                    |                   |                    | Capacidade de carga     |  | Designação do rolamento <sup>(2)</sup> | Dados de montagem |                     |                     |                       | s <sup>(3)</sup> | Fator de geometria C <sub>g</sub> | Limite de rotação | Peso             |  |  |  |  |
|------------------------|--------------------|-------------------|--------------------|-------------------------|--|--|-------------------|---------------------|---------------------|-----------------------|------------------|-----------------------------------|-------------------|------------------|--|--|--|--|
| Furo d                 | D.E. D             | Largura B         | DUR/DOR F/E        | Estático C <sub>0</sub> | Dinâmico C <sub>1</sub> <sup>(1)</sup> |  | Chanfro           | Diâmetro do encosto |                     |                       |                  |                                   |                   |                  |  |  |  |  |
| mm pol.                | mm pol.            | mm pol.           | mm pol.            | kN lbf.                 | kN lbf.                                |  | r <sub>smin</sub> | r <sub>1smin</sub>  | Eixo d <sub>s</sub> | Mancal D <sub>s</sub> |                  |                                   |                   |                  |  |  |  |  |
| 240,000<br>9,4488      | 500,000<br>19,6850 | 155,000<br>6,1024 | 303,000<br>11,9291 | 3760<br>846000          | 2970<br>668000                         | NU2348EMA                              | 5,0<br>0,20       | 5,0<br>0,20         | 287,8<br>11,33      | 447,0<br>17,60        | 11,9<br>0,47     | 0,192                             | 770 700           | 153,00<br>336,60 |  |  |  |  |
| 240,000<br>9,4488      | 500,000<br>19,6850 | 155,000<br>6,1024 | 303,000<br>11,9291 | 3760<br>846000          | 2970<br>668000                         | NJ2348EMA                              | 5,0<br>0,20       | 5,0<br>0,20         | 287,8<br>11,33      | 447,0<br>17,60        | 11,9<br>0,47     | 0,192                             | 770 700           | 155,70<br>342,50 |  |  |  |  |
| 260,000<br>10,2362     | 400,000<br>15,7480 | 65,000<br>2,5591  | 296,000<br>11,6535 | 1040<br>233000          | 737<br>166000                          | NU1052MA                               | 4,0<br>0,16       | 4,0<br>0,16         | 287,2<br>11,31      | 364,0<br>14,33        | 8,8<br>0,35      | 0,151                             | 1700 1400         | 29,20<br>64,10   |  |  |  |  |
| 260,000<br>10,2362     | 400,000<br>15,7480 | 104,000<br>4,0945 | 294,000<br>11,5748 | 2500<br>563000          | 1580<br>354000                         | NU3052MA                               | 4,0<br>0,16       | 4,0<br>0,16         | 284,9<br>11,22      | 370,0<br>14,57        | 7,5<br>0,30      | 0,170                             | 860 770           | 29,20<br>64,10   |  |  |  |  |
| 260,000<br>10,2362     | 480,000<br>18,8976 | 80,000<br>3,1496  | 320,000<br>12,5984 | 1720<br>387000          | 1320<br>297000                         | NU252MA                                | 5,0<br>0,20       | 5,0<br>0,20         | 308,8<br>12,16      | 420,0<br>16,54        | 7,0<br>0,28      | 0,168                             | 1200 1000         | 69,70<br>153,30  |  |  |  |  |
| 260,000<br>10,2362     | 480,000<br>18,8976 | 80,000<br>3,1496  | 320,000<br>12,5984 | 1720<br>387000          | 1320<br>297000                         | NUP252MA                               | 5,0<br>0,20       | 5,0<br>0,20         | 307,0<br>12,09      | 420,0<br>16,54        | —<br>—           | 0,168                             | 1200 1000         | 72,30<br>159,06  |  |  |  |  |
| 260,000<br>10,2362     | 480,000<br>18,8976 | 130,000<br>5,1181 | 320,000<br>12,5984 | 2950<br>663000          | 2030<br>457000                         | NU2252MA                               | 5,0<br>0,20       | 5,0<br>0,20         | 305,6<br>12,03      | 420,0<br>16,54        | 11,6<br>0,46     | 0,192                             | 850 780           | 113,00<br>248,60 |  |  |  |  |
| 260,000<br>10,2362     | 540,000<br>21,2598 | 165,000<br>6,4961 | 324,000<br>12,7559 | 4200<br>945000          | 3370<br>758000                         | NU2352EMA                              | 6,0<br>0,24       | 6,0<br>0,24         | 308,8<br>12,16      | 484,0<br>19,06        | 12,2<br>0,48     | 0,201                             | 700 640           | 186,10<br>409,30 |  |  |  |  |
| 280,000<br>11,0236     | 420,000<br>16,5354 | 65,000<br>2,5591  | 316,000<br>12,4409 | 1090<br>245000          | 754<br>169000                          | NU1056MA                               | 4,0<br>0,16       | 4,0<br>0,16         | 306,4<br>12,06      | 384,0<br>15,12        | 8,0<br>0,31      | 0,157                             | 1600 1300         | 31,00<br>68,20   |  |  |  |  |
| 300,000<br>11,8110     | 460,000<br>18,1102 | 74,000<br>2,9134  | 340,000<br>13,3858 | 1430<br>322000          | 1000<br>225000                         | NU1060MA                               | 4,0<br>0,16       | 4,0<br>0,16         | 329,8<br>12,98      | 420,0<br>16,54        | 10,7<br>0,42     | 0,169                             | 1400 1200         | 43,70<br>96,10   |  |  |  |  |
| 320,000<br>12,5984     | 440,000<br>17,3228 | 56,000<br>2,2047  | 350,000<br>13,7795 | 1210<br>272000          | 767<br>172000                          | NU1964MA                               | 3,0<br>0,12       | 3,0<br>0,12         | 342,0<br>13,46      | 414,0<br>16,30        | 5,6<br>0,22      | 0,170                             | 770 660           | 26,90<br>59,18   |  |  |  |  |
| 320,000<br>12,5984     | 440,000<br>17,3228 | 72,000<br>2,8346  | 413,000<br>16,2598 | 2010<br>453000          | 1150<br>259000                         | NF2964EMB                              | 3,0<br>0,12       | 3,0<br>0,12         | 349,0<br>13,74      | 419,7<br>16,52        | 4,0<br>0,16      | 0,191                             | 710 620           | 33,70<br>74,20   |  |  |  |  |
| 320,000<br>12,5984     | 480,000<br>18,8976 | 74,000<br>2,9134  | 360,000<br>14,1732 | 1500<br>337000          | 1020<br>230000                         | NU1064MA                               | 4,0<br>0,16       | 4,0<br>0,16         | 349,8<br>13,77      | 440,0<br>17,32        | 9,2<br>0,36      | 0,176                             | 1300 1100         | 45,90<br>101,00  |  |  |  |  |
| 320,000<br>12,5984     | 580,000<br>22,8346 | 150,000<br>5,9055 | 390,000<br>15,3543 | 3920<br>882000          | 2690<br>605000                         | NU2264MA                               | 5,0<br>0,20       | 5,0<br>0,20         | 374,2<br>14,73      | 510,0<br>20,08        | 15,9<br>0,63     | 0,199                             | 680 620           | 178,50<br>392,70 |  |  |  |  |
| 340,000<br>13,3858     | 460,000<br>18,1102 | 72,000<br>2,8346  | 431,000<br>16,9685 | 2090<br>469000          | 1170<br>263000                         | NF2968EMB                              | 3,0<br>0,12       | 3,0<br>0,12         | 367,0<br>14,45      | 437,8<br>17,24        | 4,0<br>0,16      | 0,197                             | 660 580           | 35,50<br>78,00   |  |  |  |  |

<sup>(1)</sup>Baseado em uma vida útil L<sub>10</sub> de 1 x 10<sup>6</sup> revoluções, para o método de cálculo de vida útil ISO.

<sup>(2)</sup>A folga radial interna (RIC) para o conjunto do rolamento deve ser incluída ao fazer o pedido do conjunto completo.

<sup>(3)</sup>O deslocamento axial permitível a partir da posição normal de um anel do rolamento em relação ao outro.

Continua na próxima página.



| Dimensões do rolamento |                    |                   |                    | Capacidade de carga     |  | Designação do rolamento <sup>(2)</sup> | Dados de montagem          |   |                     |                       | s <sup>(3)</sup> | Fator de geometria C <sub>g</sub> | Limite de rotação | Peso              |
|------------------------|--------------------|-------------------|--------------------|-------------------------|--|--|----------------------------|---|---------------------|-----------------------|------------------|-----------------------------------|-------------------|-------------------|
| Euro d                 | D.E. D             | Largura B         | DUR/DOR F/E        | Estático C <sub>0</sub> | Dinâmico C <sub>1</sub> <sup>(1)</sup> |  | Chanfro r <sub>s min</sub> | Diâmetro do encosto r <sub>1s min</sub> | Eixo d <sub>s</sub> | Mancal D <sub>s</sub> |                  |                                   |                   |                   |
| mm pol.                | mm pol.            | mm pol.           | mm pol.            | kN lbf.                 | kN lbf.                                |  | mm pol.                    | mm pol.                                 | mm pol.             | mm pol.               |                  |                                   |                   |                   |
| 340,000<br>13,3858     | 520,000<br>20,4724 | 82,000<br>3,2283  | 385,000<br>15,1575 | 1800<br>405000          | 1240<br>278000                         | NU1068MA                               | 5,0<br>0,20                | 5,0<br>0,20                             | 371,5<br>14,63      | 475,0<br>18,70        | 7,9<br>0,31      | 0,186                             | 1200<br>1000      | 61,30<br>134,90   |
| 340,000<br>13,3858     | 520,000<br>20,4724 | 133,000<br>5,2362 | 385,000<br>15,1575 | 4280<br>961000          | 2550<br>572000                         | NU3068EMA                              | 5,0<br>0,20                | 5,0<br>0,20                             | 374,3<br>14,74      | 481,0<br>18,94        | 10,0<br>0,39     | 0,228                             | 580<br>530        | 105,50<br>232,00  |
| 340,000<br>13,3858     | 580,000<br>22,8346 | 190,000<br>7,4803 | 399,000<br>15,7087 | 7010<br>158000          | 4300<br>967000                         | NU3168EMA                              | 5,0<br>0,20                | 5,0<br>0,20                             | 388,8<br>15,31      | 523,0<br>20,59        | 8,5<br>0,34      | 0,253                             | 480<br>450        | 224,70<br>494,40  |
| 360,000<br>14,1732     | 750,000<br>29,5276 | 224,000<br>8,8189 | 465,000<br>18,3071 | 8060<br>1810000         | 5740<br>1290000                        | NU2372EMA                              | 7,5<br>0,30                | 7,5<br>0,30                             | 443,3<br>17,45      | 655,0<br>25,79        | 12,7<br>0,50     | 0,266                             | 430<br>400        | 498,10<br>1095,90 |
| 360,000<br>14,1732     | 540,000<br>21,2598 | 82,000<br>3,2283  | 405,000<br>15,9449 | 1890<br>424000          | 1270<br>285000                         | NU1072MA                               | 5,0<br>0,20                | 5,0<br>0,20                             | 390,3<br>15,37      | 495,0<br>19,49        | 6,9<br>0,27      | 0,193                             | 1100<br>940       | 64,20<br>141,20   |
| 380,000<br>14,9606     | 560,000<br>22,0472 | 82,000<br>3,2283  | 425,000<br>16,7323 | 1970<br>443000          | 1300<br>291000                         | NU1076MA                               | 5,0<br>0,20                | 5,0<br>0,20                             | 412,4<br>16,24      | 515,0<br>20,28        | 9,0<br>0,35      | 0,199                             | 1100<br>890       | 67,20<br>147,90   |
| 400,000<br>15,7480     | 540,000<br>21,2598 | 82,000<br>3,2283  | 435,000<br>17,1260 | 2920<br>657000          | 1600<br>360000                         | NJ2980EMA                              | 4,0<br>0,16                | 4,0<br>0,16                             | 426,6<br>16,80      | 511,0<br>20,12        | 4,0<br>0,16      | 0,226                             | 520<br>460        | 54,80<br>120,50   |
| 400,000<br>15,7480     | 600,000<br>23,6220 | 90,000<br>3,5433  | 450,000<br>17,7165 | 2290<br>516000          | 1530<br>343000                         | NU1080MA                               | 5,0<br>0,20                | 5,0<br>0,20                             | 436,4<br>17,18      | 550,0<br>21,65        | 10,0<br>0,39     | 0,209                             | 980<br>830        | 87,50<br>192,60   |
| 400,000<br>15,7480     | 600,000<br>23,6220 | 118,000<br>4,6457 | 449,000<br>17,6772 | 4290<br>965000          | 2620<br>589000                         | NU2080EMA                              | 5,0<br>0,20                | 5,0<br>0,20                             | 440,4<br>17,34      | 557,0<br>21,93        | 9,6<br>0,38      | 0,240                             | 490<br>440        | 119,30<br>262,40  |
| 420,000<br>16,5354     | 560,000<br>22,0472 | 82,000<br>3,2283  | 531,000<br>20,9055 | 3020<br>680000          | 1630<br>366000                         | NF2984EMB                              | 4,0<br>0,16                | 4,0<br>0,16                             | 455,0<br>17,91      | 537,9<br>21,18        | 5,0<br>0,20      | 0,232                             | 490<br>440        | 57,20<br>125,80   |
| 440,000<br>17,3228     | 650,000<br>25,5906 | 94,000<br>3,7008  | 493,000<br>19,4094 | 2760<br>620000          | 1760<br>395000                         | NU1088MA                               | 6,0<br>0,24                | 6,0<br>0,24                             | 480,0<br>18,90      | 597,0<br>23,50        | 11,0<br>0,43     | 0,226                             | 860<br>730        | 106,60<br>234,60  |
| 440,000<br>17,3228     | 650,000<br>25,5906 | 122,000<br>4,8031 | 487,000<br>19,1732 | 4900<br>1100000         | 2950<br>663000                         | NU2088EMA                              | 6,0<br>0,24                | 6,0<br>0,24                             | 476,1<br>18,74      | 603,0<br>23,74        | 8,5<br>0,33      | 0,255                             | 430<br>390        | 141,00<br>310,10  |
| 440,000<br>17,3228     | 720,000<br>28,3465 | 226,000<br>8,8976 | 509,000<br>20,0394 | 9330<br>2100000         | 5740<br>1290000                        | NU3188EMA                              | 6,0<br>0,24                | 6,0<br>0,24                             | 490,0<br>19,29      | 665,0<br>26,18        | 13,6<br>0,54     | 0,292                             | 370<br>350        | 371,20<br>816,50  |
| 460,000<br>18,1102     | 580,000<br>22,8346 | 72,000<br>2,8346  | 489,000<br>19,2520 | 2660<br>599000          | 1310<br>294000                         | NJ2892EMA                              | 3,0<br>0,12                | 3,0<br>0,12                             | 482,0<br>18,98      | 553,0<br>21,77        | 4,0<br>0,16      | 0,238                             | 470<br>410        | 45,70<br>100,50   |
| 460,000<br>18,1102     | 620,000<br>24,4094 | 95,000<br>3,7402  | 579,000<br>22,7953 | 3690<br>830000          | 1970<br>443000                         | NF2992EMB                              | 4,0<br>0,16                | 4,0<br>0,16                             | 495,0<br>19,49      | 586,6<br>23,09        | 6,5<br>0,26      | 0,249                             | 440<br>390        | 84,50<br>185,90   |

(1)Baseado em uma vida útil L<sub>10</sub> de 1 x 10<sup>6</sup> revoluções, para o método de cálculo de vida útil ISO.

Continua na próxima página.

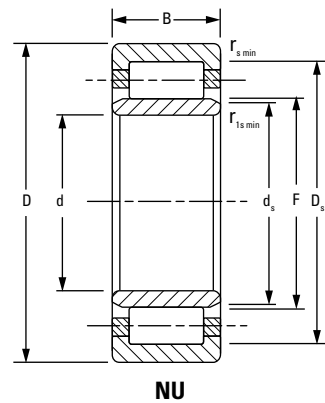
(2)A folga radial interna (RIC) para o conjunto do rolamento deve ser incluída ao fazer o pedido do conjunto completo.

(3)O deslocamento axial permitível a partir da posição normal de um anel do rolamento em relação ao outro.

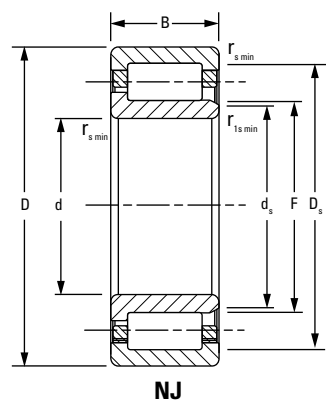
# ROLAMENTOS DE ROLOS CILÍNDRICOS

## SÉRIE MÉTRICA ISO DE UMA CARREIRA

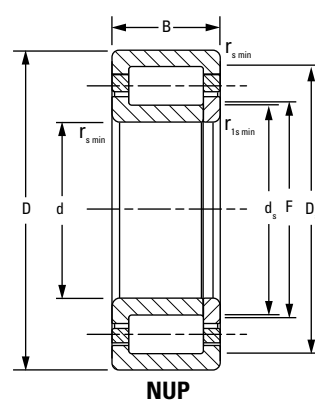
### SÉRIE MÉTRICA ISO DE UMA CARREIRA – *continuação*



**NU**



**NJ**



**NUP**

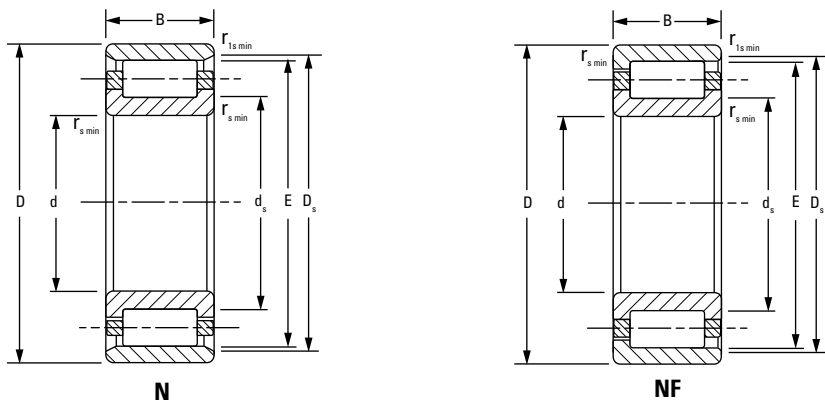
| Dimensões do rolamento |                     |                    |                    | Capacidade de carga     |  | Designação do rolamento <sup>(2)</sup> | Dados de montagem |                     |                     |                       | s <sup>(3)</sup> | Fator de geometria C <sub>g</sub> | Limite de rotação | Peso              |
|------------------------|---------------------|--------------------|--------------------|-------------------------|--|--|-------------------|---------------------|---------------------|-----------------------|------------------|-----------------------------------|-------------------|-------------------|
| Furo d                 | D.E. D              | Largura B          | DUR/DOR F/E        | Estático C <sub>0</sub> | Dinâmico C <sub>1</sub> <sup>(1)</sup> |  | Chanfro           | Diâmetro do encosto | Eixo d <sub>s</sub> | Mancal D <sub>s</sub> |                  |                                   |                   |                   |
| mm pol.                | mm pol.             | mm pol.            | mm pol.            | kN lbf.                 | kN lbf.                                |  | r <sub>smin</sub> | r <sub>1smin</sub>  | mm pol.             | mm pol.               |                  |                                   |                   |                   |
| 460,000<br>18,1102     | 760,000<br>29,9213  | 240,000<br>9,4488  | 529,300<br>20,8386 | 10100<br>2270000        | 6100<br>1370000                        | NU3192EMA                              | 7,5<br>0,30       | 7,5<br>0,30         | 505,6<br>19,91      | 689,3<br>27,14        | 17,2<br>0,68     | 0,302                             | 360 330           | 448,80<br>987,30  |
| 480,000<br>18,8976     | 700,000<br>27,5591  | 100,000<br>3,9370  | 536,000<br>21,1024 | 3950<br>887000          | 2360<br>531000                         | NJ1096EMA                              | 6,0<br>0,24       | 6,0<br>0,24         | 527,7<br>20,78      | 646,0<br>25,43        | 10,4<br>0,41     | 0,253                             | 710 620           | 131,80<br>290,00  |
| 480,000<br>18,8976     | 700,000<br>27,5591  | 100,000<br>3,9370  | 536,000<br>21,1024 | 3920<br>881000          | 2360<br>531000                         | NJ1096EMA                              | 6,0<br>0,24       | 6,0<br>0,24         | 528,5<br>20,81      | 646,0<br>25,43        | 10,4<br>0,41     | 0,253                             | 710 620           | 138,00<br>304,20  |
| 500,000<br>19,6850     | 830,000<br>32,6772  | 264,000<br>10,3937 | 576,000<br>22,6772 | 12000<br>2690000        | 7490<br>1680000                        | NU31/500EMA                            | 7,5<br>0,30       | 7,5<br>0,30         | 555,7<br>21,88      | 764,0<br>30,08        | 18,0<br>0,71     | 0,319                             | 310 290           | 585,00<br>1287,10 |
| 560,000<br>22,0472     | 680,000<br>26,7717  | 56,000<br>2,2047   | 594,000<br>23,3858 | 1730<br>388000          | 806<br>181000                          | NU18/560MA                             | 3,0<br>0,12       | 3,0<br>0,12         | 584,3<br>23,00      | 650,0<br>25,59        | 6,6<br>0,26      | 0,240                             | 410 350           | 40,90<br>90,00    |
| 600,000<br>23,6220     | 870,000<br>34,2520  | 200,000<br>7,8740  | 661,000<br>26,0236 | 11000<br>2480000        | 6180<br>1390000                        | NU30/600EMA                            | 6,0<br>0,24       | 6,0<br>0,24         | 646,5<br>25,45      | 821,0<br>32,32        | 14,8<br>0,58     | 0,338                             | 270 250           | 396,80<br>872,90  |
| 630,000<br>24,8031     | 920,000<br>36,2205  | 170,000<br>6,6929  | 699,000<br>27,5197 | 9570<br>2150000         | 5390<br>1210000                        | NU20/630EMA                            | 7,5<br>0,30       | 7,5<br>0,30         | 684,6<br>26,95      | 855,0<br>33,66        | 10,9<br>0,43     | 0,336                             | 260 240           | 386,10<br>849,40  |
| 670,000<br>26,3780     | 980,000<br>38,5827  | 180,000<br>7,0866  | 746,000<br>29,3701 | 11100<br>2490000        | 6170<br>1390000                        | NU20/670EMA                            | 7,5<br>0,30       | 7,5<br>0,30         | 730,0<br>28,74      | 912,0<br>35,91        | 11,7<br>0,46     | 0,356                             | 230 210           | 468,80<br>1031,30 |
| 670,000<br>26,3780     | 980,000<br>38,5827  | 180,000<br>7,0866  | 746,000<br>29,3701 | 11100<br>2490000        | 6170<br>1390000                        | NU20/670EMA                            | 7,5<br>0,30       | 7,5<br>0,30         | 730,0<br>28,74      | 912,0<br>35,91        | 11,7<br>0,46     | 0,356                             | 230 210           | 468,80<br>1031,30 |
| 670,000<br>26,3780     | 980,000<br>38,5827  | 230,000<br>9,0551  | 744,000<br>29,2913 | 14000<br>3140000        | 7510<br>1690000                        | NU30/670EMA                            | 7,5<br>0,30       | 7,5<br>0,30         | 725,1<br>28,55      | 914,0<br>35,98        | 17,6<br>0,69     | 0,375                             | 230 210           | 608,10<br>1337,80 |
| 710,000<br>27,9528     | 870,000<br>34,2520  | 95,000<br>3,7402   | 751,000<br>29,5669 | 5110<br>1150000         | 2200<br>494000                         | NJ28/710EMA                            | 4,0<br>0,16       | 4,0<br>0,16         | 740,9<br>29,17      | 831,0<br>32,72        | 7,8<br>0,31      | 0,328                             | 270 240           | 125,40<br>275,80  |
| 710,000<br>27,9528     | 950,000<br>37,4016  | 140,000<br>5,5118  | 770,000<br>30,3150 | 8190<br>1840000         | 4020<br>903000                         | NJ29/710MA                             | 6,0<br>0,24       | 6,0<br>0,24         | 756,6<br>29,79      | 890,0<br>35,04        | 10,5<br>0,41     | 0,351                             | 250 220           | 307,00<br>676,80  |
| 750,000<br>29,5276     | 1090,000<br>42,9134 | 195,000<br>7,6772  | 832,000<br>32,7559 | 13800<br>3110000        | 7550<br>1700000                        | NU20/750EMA                            | 7,5<br>0,30       | 7,5<br>0,30         | 817,6<br>32,19      | 1018,0<br>40,08       | 13,2<br>0,52     | 0,388                             | 190 180           | 621,20<br>1366,50 |
| 800,000<br>31,4961     | 1150,000<br>45,2756 | 200,000<br>7,8740  | 882,000<br>34,7244 | 14600<br>3290000        | 8040<br>1810000                        | NU20/800EMA                            | 7,5<br>0,30       | 7,5<br>0,30         | 864,6<br>34,04      | 1080,0<br>42,52       | 13,4<br>0,53     | 0,400                             | 180 170           | 690,30<br>1518,60 |
| 850,000<br>33,4646     | 1220,000<br>48,0315 | 212,000<br>8,3465  | 937,000<br>36,8898 | 16200<br>3640000        | 8850<br>1990000                        | NU20/850EMA                            | 7,5<br>0,30       | 7,5<br>0,30         | 917,5<br>36,12      | 1147,0<br>45,16       | 14,6<br>0,57     | 0,418                             | 170 160           | 820,30<br>1804,60 |

<sup>(1)</sup>Baseado em uma vida útil L<sub>10</sub> de 1 x 10<sup>6</sup> revoluções, para o método de cálculo de vida útil ISO.

<sup>(2)</sup>A folga radial interna (RIC) para o conjunto do rolamento deve ser incluída ao fazer o pedido do conjunto completo.

<sup>(3)</sup>O deslocamento axial permitível a partir da posição normal de um anel do rolamento em relação ao outro.

Continua na próxima página.



| Dimensões do rolamento |                     |                   |                     | Capacidade de carga |                             | Designação do rolamento <sup>(2)</sup> | Dados de montagem |                     |                 |                 | s <sup>(3)</sup> | Fator de geometria C_g | Limite de rotação | Peso |                   |
|------------------------|---------------------|-------------------|---------------------|---------------------|-----------------------------|--|-------------------|---------------------|-----------------|-----------------|------------------|------------------------|-------------------|------|-------------------|
| Furo d                 | D.E. D              | Largura B         | DUR/DOR F/E         | Estático C_o        | Dinâmico C_i <sup>(1)</sup> |  | Chanfro r_smin    | Diâmetro do encosto |                 |                 |                  |                        |                   |      |                   |
| mm pol.                | mm pol.             | mm pol.           | mm pol.             | kN lbf.             | kN lbf.                     |  | mm pol.           | Eixo d_s Mancal D_s |                 |                 |                  |                        |                   |      |                   |
| 900,000<br>35,4331     | 1180,000<br>46,4567 | 206,000<br>8,1102 | 969,000<br>38,1496  | 16800<br>3770000    | 7500<br>1690000             | NU39/900EMA                            | 6,0<br>0,24       | 6,0<br>0,24         | 949,9<br>37,40  | 1119,0<br>44,06 | 10,0<br>0,39     | 0,447                  | 160               | 150  | 609,30<br>1340,40 |
| 900,000<br>35,4331     | 1280,000<br>50,3937 | 218,000<br>8,5827 | 990,000<br>38,9764  | 16900<br>3800000    | 9030<br>2030000             | NU20/900EMA                            | 7,5<br>0,30       | 7,5<br>0,30         | 968,5<br>38,13  | 1200,0<br>47,24 | 15,5<br>0,61     | 0,432                  | 160               | 150  | 915,80<br>2014,80 |
| 1120,000<br>44,0945    | 1360,000<br>53,5433 | 106,000<br>4,1732 | 1162,000<br>45,7480 | 8370<br>1880000     | 3680<br>828000              | NJ18/1120EMA                           | 6,0<br>0,24       | 6,0<br>0,24         | 1167,5<br>45,96 | 1310,0<br>51,57 | 10,0<br>0,39     | 0,422                  | 150               | 130  | 323,80<br>712,40  |

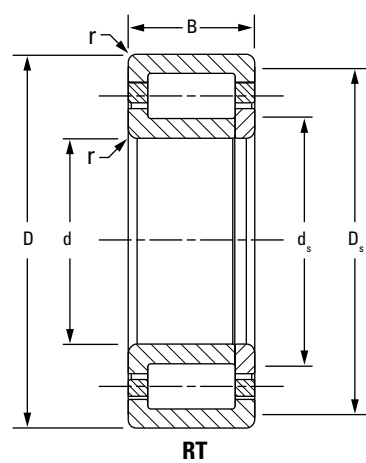
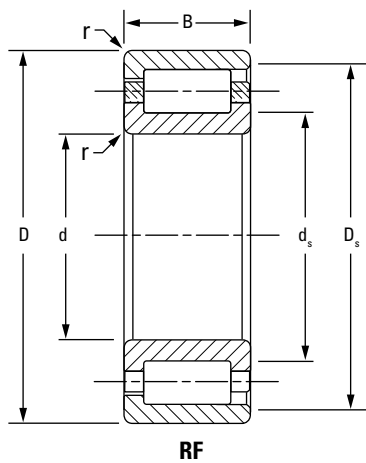
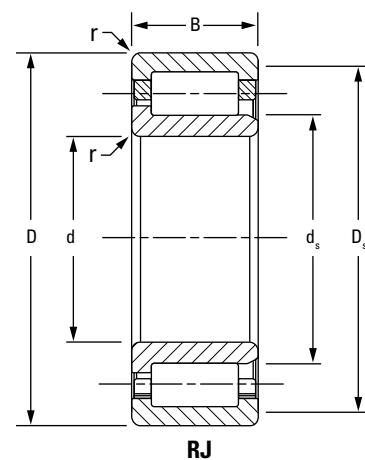
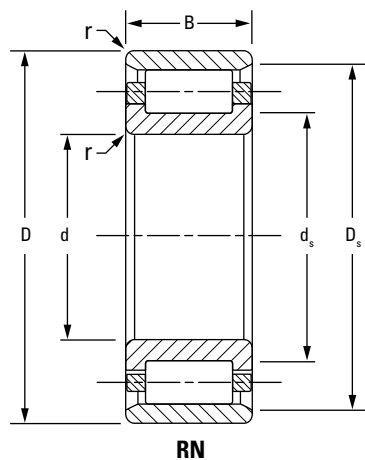
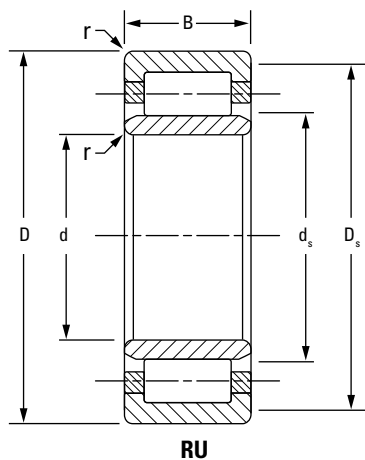
<sup>(1)</sup>Baseado em uma vida útil L<sub>10</sub> de 1 x 10<sup>6</sup> revoluções, para o método de cálculo de vida útil ISO.

<sup>(2)</sup>A folga radial interna (RIC) para o conjunto do rolamento deve ser incluída ao fazer o pedido do conjunto completo.

<sup>(3)</sup>O deslocamento axial permitível a partir da posição normal de um anel do rolamento em relação ao outro.

**SÉRIE PADRÃO DE UMA CARREIRA**

- De construção similar aos correspondentes ISO.
- Projetado de acordo com as normas ABMA.
- Rolamentos com tamanhos em polegadas identificados pelo "I" no número da peça.



| Designação e estilo do rolamento <sup>(1)</sup> |           |           |           |           | Dimensões do rolamento |                    |                   | Raio de concordância (máx.)<br>r <sup>(2)</sup> | Diâmetro do encosto    |                          | Capacidade de carga        |   | Fator de geometria<br>C <sub>g</sub> | Limite de rotação | Peso |               |
|---|-----------|-----------|-----------|-----------|------------------------|--------------------|-------------------|---|------------------------|--------------------------|----------------------------|---|--------------------------------------|-------------------|------|---------------|
| RU<br>RIU                                       | RN<br>RIN | RJ<br>RIJ | RF<br>RIF | RT<br>RIT | Euro<br>d              | D.E.<br>D          | Largura<br>B      |   | Eixo<br>d <sub>s</sub> | Mancal<br>D <sub>s</sub> | Estático<br>C <sub>o</sub> | Dinâmico<br>C <sub>1</sub> <sup>(3)</sup> |                                      |                   |      |               |
|   |           |           |           |           | mm<br>pol.             | mm<br>pol.         | mm<br>pol.        | mm<br>pol.                                      | mm<br>pol.             | mm<br>pol.               | kN<br>lbf.                 | kN<br>lbf.                                |                                      | RPM               | RPM  | kg<br>lb      |
| 105RU32   | 105RN32   | 105RJ32   | 105RF32   | 105RT32   | 105,000<br>4,1339      | 190,000<br>7,4803  | 65,100<br>2,5625  | 2,0<br>0,08                                     | 120,7<br>4,75          | 174,6<br>6,88            | 640<br>144000              | 471<br>106000                             | 0,115                                | 2800              | 2500 | 8,3<br>18,3   |
| 170RU51   | 170RN51   | 170RJ51   | 170RF51   | 170RT51   | 170,000<br>6,6929      | 265,000<br>10,4331 | 42,000<br>1,6535  | 2,50<br>0,10                                    | 184,3<br>7,26          | 246,1<br>9,69            | 521<br>117000              | 391<br>87800                              | 0,108                                | 1600              | 1300 | 8,6<br>18,8   |
| 170RU91   | 170RN91   | 170RJ91   | 170RF91   | 170RT91   | 170,000<br>6,6929      | 265,000<br>10,4331 | 76,200<br>3,0000  | 2,5<br>0,10                                     | 187,3<br>7,38          | 247,7<br>9,75            | 1170<br>264000             | 735<br>165000                             | 0,131                                | 1500              | 1400 | 16,1<br>35,5  |
| 170RU93   | 170RN93   | 170RJ93   | 170RF93   | 170RT93   | 170,000<br>6,6929      | 360,000<br>14,1732 | 139,700<br>5,5000 | 3,0<br>0,12                                     | 204,7<br>8,06          | 325,4<br>12,81           | 2580<br>580000             | 1820<br>410000                            | 0,156                                | 1200              | 1100 | 73,6<br>162,4 |
| 180RU51   | 180RN51   | 180RJ51   | 180RF51   | 180RT51   | 180,000<br>7,0866      | 280,000<br>11,0236 | 44,000<br>1,7323  | 2,5<br>0,10                                     | 196,1<br>7,72          | 262,7<br>10,34           | 560<br>126000              | 419<br>94200                              | 0,114                                | 1500              | 1300 | 10,3<br>22,7  |
| 180RU91   | 180RN91   | 180RJ91   | 180RF91   | 180RT91   | 180,000<br>7,0866      | 280,000<br>11,0236 | 82,550<br>3,2500  | 2,5<br>0,10                                     | 196,9<br>7,75          | 261,9<br>10,31           | 1440<br>323000             | 833<br>187000                             | 0,142                                | 1400              | 1200 | 19,4<br>42,9  |
| 190RU91   | 190RN91   | 190RJ91   | 190RF91   | 190RT91   | 190,000<br>7,4803      | 300,000<br>11,8110 | 85,725<br>3,3750  | 2,5<br>0,10                                     | 209,6<br>8,25          | 281,0<br>11,06           | 1600<br>360000             | 973<br>219000                             | 0,147                                | 1300              | 1100 | 23,8<br>52,5  |
| 190RU92   | 190RN92   | 190RJ92   | 190RF92   | 190RT92   | 190,000<br>7,4803      | 340,000<br>13,3858 | 114,300<br>4,5000 | 3,0<br>0,12                                     | 217,5<br>8,56          | 311,9<br>12,28           | 2210<br>497000             | 1450<br>326000                            | 0,156                                | 1200              | 1000 | 47,3<br>104,2 |
| 200RU91   | 200RN91   | 200RJ91   | 200RF91   | 200RT91   | 200,000<br>7,8740      | 320,000<br>12,5984 | 88,900<br>3,5000  | 3,0<br>0,12                                     | 218,9<br>8,62          | 294,9<br>11,61           | 1740<br>391000             | 1060<br>239000                            | 0,151                                | 1200              | 1000 | 27,7<br>60,9  |
| 200RU92   | 200RN92   | 200RJ92   | 200RF92   | 200RT92   | 200,000<br>7,8740      | 360,000<br>14,1732 | 120,650<br>4,7500 | 3,0<br>0,12                                     | 230,1<br>9,06          | 330,2<br>13,00           | 2590<br>581000             | 1630<br>366000                            | 0,166                                | 1000              | 940  | 56,8<br>125,2 |
| 210RU92   | 210RN92   | 210RJ92   | 210RF92   | 210RT92   | 210,000<br>8,2677      | 380,000<br>14,9606 | 127,000<br>5,0000 | 3,0<br>0,12                                     | 239,8<br>9,44          | 350,0<br>13,78           | 2640<br>593000             | 1740<br>391000                            | 0,167                                | 1000              | 920  | 66,1<br>145,8 |
| 220RU51   | 220RN51   | 220RJ51   | 220RF51   | 220RT51   | 220,000<br>8,6614      | 350,000<br>13,7796 | 51,000<br>2,0079  | 2,5<br>0,10                                     | 243,7<br>9,59          | 326,2<br>12,84           | 830<br>187000              | 612<br>138000                             | 0,133                                | 1100              | 960  | 19,6<br>43,2  |
| 220RU91   | 220RN91   | 220RJ91   | 220RF91   | 220RT91   | 220,000<br>8,6614      | 350,000<br>13,7795 | 98,425<br>3,8750  | 2,5<br>0,10                                     | 239,3<br>9,42          | 324,6<br>12,78           | 2090<br>470000             | 1290<br>289000                            | 0,162                                | 1000              | 930  | 37,6<br>82,9  |
| 220RU92   | 220RN92   | 220RJ92   | 220RF92   | 220RT92   | 220,000<br>8,6614      | 400,000<br>15,7480 | 133,350<br>5,2500 | 3,0<br>0,12                                     | 252,4<br>9,94          | 368,3<br>14,50           | 3230<br>727000             | 2010<br>452000                            | 0,180                                | 880               | 810  | 78,4<br>172,9 |
| 240RU91   | 240RN91   | 240RJ91   | 240RF91   | 240RT91   | 240,000<br>9,4488      | 390,000<br>15,3543 | 107,950<br>4,2500 | 3,0<br>0,12                                     | 265,2<br>10,44         | 365,3<br>14,38           | 2670<br>600000             | 1580<br>355000                            | 0,178                                | 880               | 790  | 53,4<br>117,7 |
| 250RU91   | 250RN91   | 250RJ91   | 250RF91   | 250RT91   | 250,000<br>9,8425      | 410,000<br>16,1417 | 111,125<br>4,3750 | 3,0<br>0,12                                     | 277,8<br>10,94         | 382,6<br>15,06           | 2720<br>611000             | 1680<br>377000                            | 0,180                                | 850               | 770  | 60,9<br>134,3 |

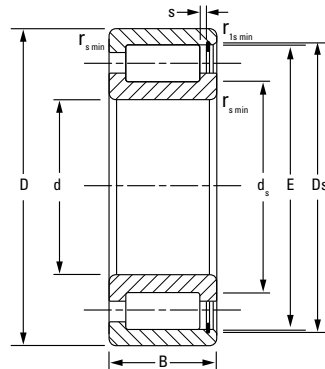
<sup>(1)</sup>A folga radial interna (RIC) para o conjunto do rolamento deve ser incluída ao fazer o pedido do conjunto completo.<sup>(2)</sup>O raio máximo do eixo ou do mancal deve garantir que o rolamento seja montado adequadamente.<sup>(3)</sup>Baseado em uma vida útil L<sub>10</sub> de 1 x 10<sup>6</sup> revoluções, para o método de cálculo de vida útil ISO.

# ROLAMENTOS DE ROLOS CILÍNDRICOS

## ROLAMENTO DE ROLOS CILÍNDRICOS COM COMPLEMENTO TOTAL (NCF)

### ROLAMENTO DE ROLOS CILÍNDRICOS COMPLEMENTO TOTAL (NCF)

- Rolamentos de rolos cilíndricos de uma carreira com complemento total.
- Inclui flanges integrais nos anéis interno e externo.
- Pode suportar cargas axiais em uma direção e pequeno deslocamento axial.



NCF

| Furo<br>d<br>mm<br>pol. | Dimensões do rolamento   |                           |                             |                               | Capacidade<br>de carga<br>Estático<br>$C_0$<br>kN<br>lbf. | Dinâmico<br>$C_1^{(1)}$<br>kN<br>lbf. | Designação do<br>rolamento <sup>(2)</sup> | Dados de montagem |                |                        |               | s <sup>(3)</sup> | Fator<br>de geo-<br>metria<br>$C_g$ | Limite de<br>rotação<br>Óleo<br>RPM | Limite de<br>rotação<br>Graxa<br>RPM | Peso<br>kg<br>lb |  |  |  |  |  |  |  |  |
|-------------------------|--------------------------|---------------------------|-----------------------------|-------------------------------|---|---------------------------------------|---|-------------------|----------------|------------------------|---------------|------------------|-------------------------------------|-------------------------------------|--------------------------------------|------------------|--|--|--|--|--|--|--|--|
|                         | Chanfro                  |                           | Diâmetro<br>do encosto      |                               |   |                                       |   | Chanfro           |                | Diâmetro<br>do encosto |               |                  |                                     |                                     |                                      |                  |  |  |  |  |  |  |  |  |
|                         | $r_{smin}$<br>mm<br>pol. | $r_{1smin}$<br>mm<br>pol. | Eixo<br>$d_s$<br>mm<br>pol. | Mancal<br>$D_s$<br>mm<br>pol. |   |                                       |   |                   |                |                        |               |                  |                                     |                                     |                                      |                  |  |  |  |  |  |  |  |  |
| 110,000<br>4,3307       | 150,000<br>5,9055        | 24,000<br>0,9449          | 141,100<br>5,5551           | 223<br>50100                  | 146<br>32900  | NCF2922V                              | 1,1<br>0,04                               | 1,0<br>0,04       | 119,1<br>4,69  | 142,1<br>5,59          | 1,5<br>0,06   | 0,136            | 1200                                | 1000                                | 1,20<br>2,65                         |                  |  |  |  |  |  |  |  |  |
| 120,000<br>4,7244       | 165,000<br>6,4961        | 27,000<br>1,0630          | 154,000<br>6,0630           | 297<br>66800                  | 188<br>42400  | NCF2924V                              | 1,1<br>0,04                               | 1,0<br>0,04       | 130,0<br>5,12  | 155,0<br>6,10          | 1,55<br>0,061 | 0,150            | 1200                                | 970                                 | 1,70<br>3,80                         |                  |  |  |  |  |  |  |  |  |
| 130,000<br>5,1181       | 180,000<br>7,0866        | 30,000<br>1,1811          | 166,800<br>6,5669           | 361<br>81100                  | 225<br>50600  | NCF2926V                              | 1,5<br>0,06                               | 1,1<br>0,04       | 140,8<br>5,54  | 167,5<br>6,59          | 2,00<br>0,079 | 0,160            | 1100                                | 920                                 | 2,30<br>5,00                         |                  |  |  |  |  |  |  |  |  |
| 140,000<br>5,5118       | 190,000<br>7,4803        | 30,000<br>1,1811          | 179,600<br>7,0709           | 389<br>87300                  | 243<br>54700  | NCF2928V                              | 1,5<br>0,06                               | 1,1<br>0,04       | 151,6<br>5,97  | 180,2<br>7,10          | 1,9<br>0,075  | 0,167            | 1000                                | 850                                 | 2,40<br>5,30                         |                  |  |  |  |  |  |  |  |  |
| 150,000<br>5,9055       | 210,000<br>8,2677        | 36,000<br>1,4173          | 196,400<br>7,7323           | 506<br>114000                 | 328<br>73800  | NCF2930V                              | 2,0<br>0,08                               | 1,1<br>0,04       | 162,4<br>6,39  | 200,5<br>7,89          | 2,20<br>0,087 | 0,128            | 1010                                | 840                                 | 3,80<br>8,30                         |                  |  |  |  |  |  |  |  |  |
| 160,000<br>6,2992       | 220,000<br>8,6614        | 36,000<br>1,4173          | 207,200<br>8,1575           | 540<br>121000                 | 340<br>76300  | NCF2932V                              | 2,0<br>0,08                               | 1,1<br>0,04       | 173,2<br>6,82  | 208,5<br>8,21          | 2,20<br>0,087 | 0,133            | 940                                 | 790                                 | 4,00<br>8,70                         |                  |  |  |  |  |  |  |  |  |
| 170,000<br>6,6929       | 230,000<br>9,0551        | 36,000<br>1,4173          | 218,000<br>8,5827           | 574<br>129000                 | 350<br>78700  | NCF2934V                              | 2,0<br>0,08                               | 1,1<br>0,04       | 184,0<br>7,24  | 219,5<br>8,64          | 2,20<br>0,087 | 0,116            | 890                                 | 740                                 | 4,20<br>9,30                         |                  |  |  |  |  |  |  |  |  |
| 180,000<br>7,0866       | 250,000<br>9,8425        | 42,000<br>1,6535          | 231,500<br>9,1142           | 711<br>160000                 | 436<br>98000  | NCF2936V                              | 2,0<br>0,08                               | 1,1<br>0,04       | 193,5<br>7,62  | 232,5<br>9,15          | 2,50<br>0,098 | 0,123            | 850                                 | 710                                 | 6,30<br>13,80                        |                  |  |  |  |  |  |  |  |  |
| 190,000<br>7,4803       | 260,000<br>10,2362       | 42,000<br>1,6535          | 244,000<br>9,6063           | 803<br>180000                 | 487<br>109000   | NCF2938V                              | 2,0<br>0,08                               | 1,1<br>0,04       | 204,0<br>8,03  | 248,2<br>9,77          | 1,50<br>0,059 | 0,129            | 780                                 | 660                                 | 6,50<br>14,30                        |                  |  |  |  |  |  |  |  |  |
| 200,000<br>7,8740       | 250,000<br>9,8425        | 24,000<br>0,9449          | 237,500<br>9,3504           | 337<br>75700                  | 188<br>42400  | NCF1840V                              | 1,5<br>0,06                               | 1,1<br>0,04       | 211,5<br>8,33  | 238,5<br>9,39          | 1,80<br>0,071 | 0,146            | 740                                 | 610                                 | 2,52<br>5,60                         |                  |  |  |  |  |  |  |  |  |
| 200,000<br>7,8740       | 280,000<br>11,0236       | 48,000<br>1,8898          | 261,100<br>10,2795          | 971<br>218000                 | 587<br>132000   | NCF2940V                              | 2,1<br>0,08                               | 1,5<br>0,06       | 217,1<br>8,55  | 262,0<br>10,32         | 1,95<br>0,077 | 0,137            | 730                                 | 620                                 | 9,20<br>20,10                        |                  |  |  |  |  |  |  |  |  |
| 220,000<br>8,6614       | 270,000<br>10,6299       | 24,000<br>0,9449          | 257,700<br>10,1457          | 370<br>83100                  | 198<br>44400  | NCF1844V                              | 1,5<br>0,06                               | 1,1<br>0,04       | 231,7<br>9,12  | 258,7<br>10,19         | 1,80<br>0,071 | 0,155            | 670                                 | 550                                 | 2,92<br>6,44                         |                  |  |  |  |  |  |  |  |  |
| 220,000<br>8,6614       | 300,000<br>11,8110       | 48,000<br>1,8898          | 282,100<br>11,1063          | 1070<br>239000                | 615<br>138000   | NCF2944V                              | 2,1<br>0,08                               | 1,5<br>0,06       | 238,1<br>9,37  | 284,0<br>11,18         | 1,95<br>0,077 | 0,146            | 650                                 | 550                                 | 9,90<br>21,70                        |                  |  |  |  |  |  |  |  |  |
| 260,000<br>10,2362      | 320,000<br>12,5984       | 28,000<br>1,1024          | 307,000<br>12,0866          | 553<br>124000                 | 292<br>65500  | NCF1852V                              | 2,0<br>0,08                               | 1,1<br>0,04       | 275<br>10,83   | 308,0<br>12,13         | 1,80<br>0,071 | 0,140            | 580                                 | 480                                 | 4,80<br>10,60                        |                  |  |  |  |  |  |  |  |  |
| 260,000<br>10,2362      | 360,000<br>14,1732       | 60,000<br>2,3622          | 333,400<br>13,1260          | 1480<br>333000                | 837<br>188000   | NCF2952V                              | 2,1<br>0,08                               | 2,1<br>0,08       | 281,3<br>11,07 | 334,6<br>13,17         | 4,00<br>0,157 | 0,167            | 540                                 | 460                                 | 18,50<br>40,80                       |                  |  |  |  |  |  |  |  |  |

<sup>(1)</sup>Baseado em uma vida útil  $L_{10}$  de  $1 \times 10^6$  revoluções, para o método de cálculo de vida útil ISO.

<sup>(2)</sup>A folga radial interna (RIC) para o conjunto do rolamento deve ser incluída ao fazer o pedido do conjunto completo.

<sup>(3)</sup>O deslocamento axial permitível a partir da posição normal de um anel do rolamento em relação ao outro.

Continua na próxima página.

| Dimensões do rolamento |                    |                   |                    | Capacidade de carga     |  | Designação do rolamento <sup>(2)</sup> | Dados de montagem |                    |                     |                       | s <sup>(3)</sup> | Fator de geometria C <sub>g</sub> | Limite de rotação | Peso                    |
|------------------------|--------------------|-------------------|--------------------|-------------------------|--|--|-------------------|--------------------|---------------------|-----------------------|------------------|-----------------------------------|-------------------|-------------------------|
|                        |                    |                   |                    |                         |  |  | Chanfro           |                    | Diâmetro do encosto |                       |                  |                                   |                   |                         |
| Furo d                 | D.E. D             | Largura B         | DUR/DOR F/E        | Estático C <sub>0</sub> | Dinâmico C <sub>1</sub> <sup>(1)</sup> |  | r <sub>smin</sub> | r <sub>1smin</sub> | Eixo d <sub>s</sub> | Mancal D <sub>s</sub> |                  |                                   |                   |                         |
| mm pol.                | mm pol.            | mm pol.           | mm pol.            | kN lbf.                 | kN lbf.                                |  | mm pol.           | mm pol.            | mm pol.             | mm pol.               | mm pol.          |                                   |                   |                         |
| 300,000<br>11,8110     | 420,000<br>16,5354 | 72,000<br>2,8346  | 390,000<br>15,3543 | 2260<br>508000          | 1260<br>284000                         | NCF2960V                               | 3,0<br>0,12       | 3,0<br>0,12        | 326,0<br>12,83      | 390,5<br>15,37        | 4,00<br>0,157    | 0,191                             | 430               | 370<br>31,30<br>68,80   |
| 320,000<br>12,5984     | 400,000<br>15,7480 | 38,000<br>1,4961  | 382,800<br>15,0709 | 900<br>202000           | 471<br>106000                          | NCF1864V                               | 2,1<br>0,08       | 1,5<br>0,06        | 340,8<br>13,42      | 383,8<br>15,11        | 3,00<br>0,118    | 0,167                             | 460               | 380<br>10,60<br>23,40   |
| 320,000<br>12,5984     | 440,000<br>17,3228 | 72,000<br>2,8346  | 410,500<br>16,1614 | 2400<br>540000          | 1300<br>293000                         | NCF2964V                               | 3,0<br>0,12       | 3,0<br>0,12        | 346,5<br>13,64      | 412,0<br>16,22        | 4,00<br>0,157    | 0,199                             | 400               | 340<br>32,90<br>72,53   |
| 340,000<br>13,3858     | 420,000<br>16,5354 | 38,000<br>1,4961  | 402,800<br>15,8583 | 953<br>214000           | 484<br>109000                          | NCF1868V                               | 2,1<br>0,08       | 1,5<br>0,06        | 360,8<br>14,20      | 403,8<br>15,90        | 3,00<br>0,118    | 0,174                             | 430               | 360<br>11,00<br>24,20   |
| 380,000<br>14,9606     | 480,000<br>18,8976 | 46,000<br>1,8110  | 457,300<br>18,0039 | 1350<br>304000          | 698<br>157000                          | NCF1876V                               | 2,1<br>0,08       | 1,5<br>0,06        | 405,3<br>15,96      | 458,3<br>18,04        | 3,50<br>0,138    | 0,193                             | 370               | 310<br>18,90<br>41,60   |
| 380,000<br>14,9606     | 520,000<br>20,4724 | 82,000<br>3,2283  | 487,300<br>19,1850 | 3360<br>756000          | 1790<br>402000                         | NCF2976V                               | 4,0<br>0,16       | 4,0<br>0,16        | 411,3<br>16,19      | 488,8<br>19,24        | 4,00<br>0,157    | 0,228                             | 310               | 270<br>52,90<br>116,62  |
| 400,000<br>15,7480     | 500,000<br>19,6850 | 46,000<br>1,8110  | 474,000<br>18,6614 | 1410<br>316000          | 713<br>160000                          | NCF1880V                               | 2,1<br>0,08       | 1,5<br>0,06        | 422,0<br>16,61      | 475,0<br>18,70        | 3,50<br>0,138    | 0,198                             | 350               | 290<br>20,60<br>45,41   |
| 420,000<br>16,5354     | 520,000<br>20,4724 | 46,000<br>1,8110  | 498,800<br>19,6378 | 1490<br>335000          | 733<br>165000                          | NCF1884V                               | 2,1<br>0,08       | 1,5<br>0,06        | 446,8<br>17,59      | 499,8<br>19,68        | 3,50<br>0,138    | 0,206                             | 330               | 280<br>21,14<br>46,50   |
| 440,000<br>17,3228     | 540,000<br>21,2598 | 46,000<br>1,8110  | 515,500<br>20,2953 | 1550<br>347000          | 746<br>168000                          | NCF1888V                               | 2,1<br>0,08       | 1,5<br>0,06        | 463,5<br>18,25      | 516,5<br>20,33        | 3,50<br>0,138    | 0,212                             | 310               | 260<br>22,30<br>49,16   |
| 460,000<br>18,1102     | 580,000<br>22,8346 | 56,000<br>2,2047  | 552,600<br>21,7559 | 2040<br>458000          | 1030<br>232000                         | NCF1892V                               | 3,0<br>0,12       | 3,0<br>0,12        | 488,6<br>19,24      | 553,6<br>21,80        | 4,50<br>0,177    | 0,224                             | 290               | 250<br>33,20<br>73,00   |
| 460,000<br>18,1102     | 620,000<br>24,4094 | 95,000<br>3,7402  | 578,500<br>22,7756 | 4610<br>1040000         | 2310<br>518000                         | NCF2992V                               | 4,0<br>0,16       | 4,0<br>0,16        | 494,5<br>19,47      | 580,0<br>22,84        | 5,00<br>0,197    | 0,263                             | 240               | 220<br>84,00<br>185,19  |
| 480,000<br>18,8976     | 650,000<br>25,5906 | 100,000<br>3,9370 | 615,200<br>24,2205 | 4910<br>110000          | 2570<br>579000                         | NCF2996V                               | 5,0<br>0,20       | 5,0<br>0,20        | 519,2<br>20,44      | 616,8<br>24,28        | 6,00<br>0,236    | 0,269                             | 230               | 210<br>94,30<br>207,50  |
| 500,000<br>19,6850     | 620,000<br>24,4094 | 56,000<br>2,2047  | 593,300<br>23,3583 | 2210<br>496000          | 1070<br>241000                         | NCF18/500V                             | 3,0<br>0,12       | 3,0<br>0,12        | 529,3<br>20,84      | 594,3<br>23,40        | 5,0<br>0,197     | 0,237                             | 260               | 220<br>35,90<br>79,00   |
| 500,000<br>19,6850     | 670,000<br>26,3780 | 100,000<br>3,9370 | 630,900<br>24,8386 | 5060<br>1140000         | 2610<br>587000                         | NCF29/500V                             | 5,0<br>0,20       | 5,0<br>0,20        | 534,9<br>21,06      | 632,5<br>24,90        | 6,0<br>0,236     | 0,274                             | 220               | 200<br>97,30<br>214,10  |
| 530,000<br>20,8661     | 650,000<br>25,5906 | 56,000<br>2,2047  | 624,000<br>24,5669 | 2340<br>525000          | 1100<br>248000                         | NCF18/530V                             | 3,0<br>0,12       | 3,0<br>0,12        | 560,0<br>22,05      | 625,5<br>24,63        | 4,1<br>0,161     | 0,246                             | 240               | 210<br>37,80<br>83,20   |
| 560,000<br>22,0472     | 680,000<br>26,7717 | 56,000<br>2,2047  | 654,700<br>25,7756 | 2460<br>554000          | 1130<br>255000                         | NCF18/560V                             | 3,0<br>0,12       | 3,0<br>0,12        | 590,7<br>23,26      | 656,2<br>25,84        | 4,1<br>0,161     | 0,256                             | 230               | 190<br>39,20<br>86,30   |
| 600,000<br>23,6220     | 730,000<br>28,7402 | 60,000<br>2,3622  | 695,200<br>27,3701 | 2630<br>592000          | 1170<br>263000                         | NCF18/600V                             | 3,0<br>0,12       | 3,0<br>0,12        | 631,2<br>24,85      | 696,7<br>27,43        | 6,1<br>0,240     | 0,268                             | 210               | 180<br>50,20<br>110,40  |
| 630,000<br>24,8031     | 780,000<br>30,7087 | 69,000<br>2,7165  | 737,500<br>29,0354 | 3100<br>698000          | 1410<br>316000                         | NCF18/630V                             | 4,0<br>0,16       | 4,0<br>0,16        | 665,5<br>26,20      | 739,0<br>29,10        | 7,5<br>0,295     | 0,281                             | 200               | 170<br>72,20<br>159,17  |
| 670,000<br>26,3780     | 820,000<br>32,2835 | 69,000<br>2,7165  | 782,300<br>30,7992 | 3320<br>746000          | 1450<br>327000                         | NCF18/670V                             | 4,0<br>0,16       | 4,0<br>0,16        | 710,3<br>27,96      | 783,8<br>30,86        | 7,5<br>0,295     | 0,294                             | 190               | 160<br>74,60<br>164,10  |
| 710,000<br>27,9528     | 870,000<br>34,2520 | 74,000<br>2,9134  | 830,700<br>32,7047 | 3920<br>882000          | 1740<br>390000                         | NCF18/710V                             | 4,0<br>0,16       | 4,0<br>0,16        | 750,7<br>29,56      | 832,7<br>32,78        | 8,0<br>0,315     | 0,309                             | 170               | 150<br>91,60<br>201,94  |
| 750,000<br>29,5276     | 920,000<br>36,2205 | 78,000<br>3,0709  | 878,000<br>34,5669 | 4600<br>1030000         | 2080<br>467000                         | NCF18/750V                             | 5,0<br>0,20       | 5,0<br>0,20        | 788,0<br>31,02      | 880,0<br>34,65        | 8,0<br>0,315     | 0,323                             | 160               | 140<br>105,10<br>231,20 |
| 800,000<br>31,4961     | 980,000<br>38,5827 | 82,000<br>3,2283  | 935,000<br>36,8110 | 4930<br>1110000         | 2150<br>484000                         | NCF18/800V                             | 5,0<br>0,20       | 5,0<br>0,20        | 845,0<br>33,27      | 937,0<br>36,89        | 9,0<br>0,354     | 0,339                             | 150               | 130<br>105,10<br>231,20 |

<sup>(1)</sup>Baseado em uma vida útil L<sub>10</sub> de 1 x 10<sup>6</sup> revoluções, para o método de cálculo de vida útil ISO.<sup>(2)</sup>A folga radial interna (RIC) para o conjunto do rolamento deve ser incluída ao fazer o pedido do conjunto completo.<sup>(3)</sup>O deslocamento axial permitível a partir da posição normal de um anel do rolamento em relação ao outro.

## DUAS CARREIRAS

- Capacidade de carga radial adicional em comparação com o produto de carreira única.
- Projetado para dimensões intercambiáveis especificadas ISO/DIN.
- Vendido como conjunto completo.

| Furo<br>d          | Dimensões do rolamento |                   |                    |                   | Capacidade de carga     |  | Designação<br>do rolamento <sup>(2)</sup> |
|--------------------|------------------------|-------------------|--------------------|-------------------|-------------------------|--|---|
|                    | D.E.<br>D              | Largura<br>B      | DUR/DOR<br>F/E     | Estático<br>$C_0$ | Dinâmico<br>$C_1^{(1)}$ |  |   |
| mm<br>pol.         | mm<br>pol.             | mm<br>pol.        | mm<br>pol.         | kN<br>lbf.        | kN<br>lbf.              |  |   |
| 150,000<br>5,9055  | 210,000<br>8,2677      | 60,000<br>2,3622  | 168,500<br>6,6339  | 668<br>150200     | 374<br>84100            |  | NNU4930MAW33                              |
| 160,000<br>6,2992  | 220,000<br>8,6614      | 60,000<br>2,3622  | 178,500<br>7,0276  | 692<br>155600     | 380<br>85300            |  | NNU4932MAW33                              |
| 170,000<br>6,6929  | 230,000<br>9,0551      | 60,000<br>2,3622  | 188,500<br>7,4213  | 696<br>156200     | 376<br>84600            |  | NNU4934MAW33                              |
| 180,000<br>7,0866  | 250,000<br>9,8425      | 69,000<br>2,7165  | 202,000<br>7,9528  | 850<br>191000     | 449<br>101000           |  | NNU4936MAW33                              |
| 190,000<br>7,4803  | 260,000<br>10,2362     | 69,000<br>2,7165  | 212,000<br>8,3465  | 890<br>200000     | 459<br>103000           |  | NNU4938MAW33                              |
| 200,000<br>7,8740  | 280,000<br>11,0236     | 80,000<br>3,1496  | 225,000<br>8,8583  | 1046<br>234000    | 550<br>124000           |  | NNU4940MAW33                              |
| 200,000<br>7,8740  | 340,000<br>13,3858     | 140,000<br>5,5118 | 235,000<br>9,2520  | 2460<br>552000    | 1690<br>381000          |  | NNU4140MAW33                              |
| 220,000<br>8,6614  | 300,000<br>11,8110     | 80,000<br>3,1496  | 245,000<br>9,6457  | 1150<br>258000    | 577<br>130000           |  | NNU4944MAW33                              |
| 220,000<br>8,6614  | 370,000<br>14,5669     | 150,000<br>5,9055 | 258,000<br>10,1575 | 2960<br>666000    | 1930<br>434000          |  | NNU4144MAW33                              |
| 240,000<br>9,4488  | 320,000<br>12,5984     | 80,000<br>3,1496  | 265,000<br>10,4331 | 1220<br>274000    | 591<br>133000           |  | NNU4948MAW33                              |
| 240,000<br>9,4488  | 400,000<br>15,7480     | 160,000<br>6,2992 | 282,000<br>11,1024 | 3680<br>828000    | 2290<br>515000          |  | NNU4148MAW33                              |
| 260,000<br>10,2362 | 360,000<br>14,1732     | 100,000<br>3,9370 | 292,000<br>11,4961 | 1710<br>385000    | 856<br>192000           |  | NNU4952MAW33                              |
| 260,000<br>10,2362 | 440,000<br>17,3228     | 180,000<br>7,0866 | 306,000<br>12,0472 | 4540<br>1022000   | 2840<br>639000          |  | NNU4152MAW33                              |
| 280,000<br>11,0236 | 380,000<br>14,9606     | 100,000<br>3,9370 | 312,000<br>12,2835 | 1834<br>412000    | 880<br>1980             |  | NNU4956MAW33                              |
| 280,000<br>11,0236 | 460,000<br>18,1102     | 180,000<br>7,0866 | 326,000<br>12,8346 | 4820<br>1084000   | 2940<br>660000          |  | NNU4156MAW33                              |
| 300,000<br>11,8110 | 420,000<br>16,5354     | 118,000<br>4,6457 | 339,000<br>13,3465 | 2380<br>536000    | 1170<br>263000          |  | NNU4960MAW33                              |

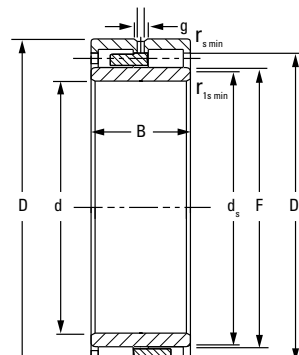
<sup>(1)</sup>Baseado em uma vida útil  $L_{10}$  de  $1 \times 10^6$  revoluções, para o método de cálculo de vida útil ISO.

<sup>(2)</sup>A folga radial interna (RIC) para o conjunto do rolamento deve ser incluída ao fazer o pedido do conjunto completo.

<sup>(3)</sup>O deslocamento axial permitível a partir da posição normal de um anel do rolamento em relação ao outro.

**NNU-1**

- Anéis externos com flanges integradas.
- Canais e furos de lubrificação nos anéis externos.
- Porta-rolos de bronze sólido.

**NNU-1**

| Dados de montagem            |                               |                |                | Dados de lubrificação |                    |                   |                  | Fator de geometria<br>$C_g$ | Limites de rotação<br>Óleo RPM | Graxa RPM | Peso kg lb       |
|------------------------------|-------------------------------|----------------|----------------|-----------------------|--------------------|-------------------|------------------|-----------------------------|--------------------------------|-----------|------------------|
| Chanfro                      | Diâmetro do encosto           | Eixo $d_s$     | Mancal $D_s$   | Canal g               | Diâmetro do furo h | Número de furos z | s <sup>(3)</sup> |                             |                                |           |                  |
| r <sub>smin</sub><br>mm pol. | r <sub>1smin</sub><br>mm pol. |                |                | mm pol.               | mm pol.            |                   | mm pol.          |                             |                                |           |                  |
| 2,0<br>0,08                  | 2,0<br>0,08                   | 165,0<br>6,50  | 197,0<br>7,76  | 6,8<br>0,27           | 3<br>0,12          | 6                 | 2,6<br>0,10      | 0,199                       | 2100                           | 1800      | 6,30<br>13,90    |
| 2,0<br>0,08                  | 2,0<br>0,08                   | 175,0<br>6,89  | 207,0<br>8,15  | 6,8<br>0,27           | 3<br>0,12          | 6                 | 2,8<br>0,11      | 0,206                       | 2000                           | 1700      | 6,60<br>14,60    |
| 2,0<br>0,08                  | 2,0<br>0,08                   | 185,0<br>7,28  | 217,0<br>8,54  | 6,8<br>0,27           | 3<br>0,12          | 6                 | 2,8<br>0,11      | 0,161                       | 1900                           | 1600      | 7,00<br>15,40    |
| 2,0<br>0,08                  | 2,0<br>0,08                   | 198,0<br>7,80  | 232,0<br>9,13  | 9,6<br>0,38           | 4,5<br>0,18        | 6                 | 3,4<br>0,13      | 0,136                       | 1700                           | 1500      | 10,50<br>23,10   |
| 2,0<br>0,08                  | 2,0<br>0,08                   | 207,0<br>8,15  | 242,0<br>9,53  | 9,6<br>0,38           | 4,5<br>0,18        | 6                 | 2,0<br>0,08      | 0,141                       | 1600                           | 1400      | 10,80<br>23,80   |
| 2,1<br>0,08                  | 2,1<br>0,08                   | 220,0<br>8,66  | 259,0<br>10,20 | 12,3<br>0,48          | 6<br>0,24          | 6                 | 3,9<br>0,15      | 0,147                       | 1500                           | 1300      | 15,00<br>33,10   |
| 3,0<br>0,12                  | 3,0<br>0,12                   | 229,0<br>9,02  | 315,0<br>12,40 | 12,3<br>0,48          | 6<br>0,24          | 6                 | 5,40<br>0,21     | 0,165                       | 1200                           | 1100      | 51,00<br>112,00  |
| 2,1<br>0,08                  | 2,1<br>0,08                   | 240,0<br>9,45  | 279,0<br>10,98 | 12,3<br>0,48          | 6<br>0,24          | 6                 | 3,9<br>0,15      | 0,157                       | 1400                           | 1200      | 16,50<br>36,40   |
| 4,0<br>0,16                  | 4,0<br>0,16                   | 251,0<br>9,88  | 342,0<br>13,46 | 12,3<br>0,48          | 6<br>0,24          | 6                 | 5,6<br>0,22      | 0,180                       | 1000                           | 940       | 65,00<br>143,00  |
| 2,1<br>0,08                  | 2,1<br>0,08                   | 260,0<br>10,24 | 299,0<br>11,77 | 12,3<br>0,48          | 6<br>0,24          | 6                 | 3,9<br>0,15      | 0,165                       | 1200                           | 1100      | 17,50<br>38,60   |
| 4,0<br>0,16                  | 4,0<br>0,16                   | 275,0<br>10,83 | 368,0<br>14,49 | 12,3<br>0,48          | 6<br>0,24          | 6                 | 7,2<br>0,28      | 0,196                       | 870                            | 800       | 85,00<br>187,40  |
| 2,1<br>0,08                  | 2,1<br>0,08                   | 287,8<br>11,33 | 334,0<br>13,15 | 16,0<br>0,63          | 7,5<br>0,30        | 6                 | 4,4<br>0,17      | 0,181                       | 1100                           | 950       | 30,30<br>66,80   |
| 4,0<br>0,16                  | 4,0<br>0,16                   | 298,9<br>11,77 | 402,0<br>15,83 | 16,0<br>0,63          | 7,5<br>0,30        | 6                 | 6,3<br>0,41      | 0,210                       | 760                            | 710       | 112,00<br>247,00 |
| 2,1<br>0,08                  | 2,1<br>0,08                   | 304,5<br>11,99 | 354,0<br>13,94 | 16,0<br>0,63          | 7,5<br>0,30        | 6                 | 4,8<br>0,19      | 0,190                       | 1000                           | 880       | 32,50<br>71,60   |
| 5,0<br>0,20                  | 5,0<br>0,20                   | 318,9<br>12,56 | 422,0<br>16,61 | 16,0<br>0,63          | 7,5<br>0,29        | 8                 | 6,3<br>0,28      | 0,219                       | 990                            | 910       | 119,00<br>262,00 |
| 3,0<br>0,12                  | 3,0<br>0,12                   | 330,4<br>13,01 | 389,0<br>15,31 | 19,3<br>0,76          | 9,5<br>0,37        | 8                 | 5,3<br>0,21      | 0,205                       | 880                            | 780       | 50,00<br>110,00  |

Continua na próxima página.

**DUAS CARREIRAS** – *continuação*

| Dimensões do rolamento |                         |                         |                           | Capacidade de carga                   |  | Designação do rolamento <sup>(2)</sup> |
|------------------------|-------------------------|-------------------------|---------------------------|---------------------------------------|--|--|
| Furo d<br>mm<br>pol.   | D.E.<br>D<br>mm<br>pol. | Largura B<br>mm<br>pol. | DUR/DOR F/E<br>mm<br>pol. | Estático C <sub>0</sub><br>kN<br>lbf. | Dinâmico C <sub>1</sub> <sup>(1)</sup><br>kN<br>lbf. |  |
| 300,000<br>11,8110     | 500,000<br>19,6850      | 200,000<br>7,8740       | 351,000<br>13,8189        | 6140<br>1382000                       | 3780<br>850000                                       | NNU4160MAW33                           |
| 320,000<br>12,5984     | 440,000<br>17,3228      | 118,000<br>4,6457       | 359,000<br>14,1339        | 2660<br>598000                        | 1270<br>285000                                       | NNU4964MAW33                           |
| 320,000<br>12,5984     | 540,000<br>21,2598      | 218,000<br>8,5827       | 375,000<br>14,7638        | 6280<br>1410000                       | 3940<br>886000                                       | NNU4164MAW33                           |
| 340,0000<br>13,3858    | 460,0000<br>18,1102     | 118,0000<br>4,6457      | 379,0000<br>14,9213       | 2660<br>598000                        | 1250<br>282000                                       | NNU4968MAW33                           |
| 340,0000<br>13,3858    | 520,0000<br>20,4724     | 180,0000<br>7,0866      | 385,0000<br>15,1575       | 5130<br>1153000                       | 2980<br>669000                                       | NNU4068MAW33                           |
| 340,000<br>13,3858     | 580,000<br>22,8346      | 243,000<br>9,5669       | 402,000<br>15,8268        | 7580<br>1704000                       | 4660<br>1050000                                      | NNU4168MAW33                           |
| 360,0000<br>14,1732    | 480,0000<br>18,8976     | 118,0000<br>4,6457      | 399,0000<br>15,7087       | 2800<br>630000                        | 1270<br>285000                                       | NNU4972MAW33                           |
| 360,0000<br>14,1732    | 540,0000<br>21,2598     | 180,0000<br>7,0866      | 405,0000<br>15,9449       | 5580<br>1256000                       | 3180<br>716000                                       | NNU4072MAW33                           |
| 360,000<br>14,1732     | 600,000<br>23,6220      | 243,000<br>9,5669       | 422,000<br>16,6142        | 8480<br>1906000                       | 5000<br>1120000                                      | NNU4172MAW33                           |
| 380,000<br>14,9606     | 520,000<br>20,4724      | 140,000<br>5,5118       | 426,000<br>16,7717        | 3720<br>836000                        | 1660<br>373000                                       | NNU4976MAW33                           |
| 380,000<br>14,9606     | 560,0000<br>22,0472     | 180,0000<br>7,0866      | 425,0000<br>16,7323       | 5860<br>1316000                       | 3260<br>733000                                       | NNU4076MAW33                           |
| 380,000<br>14,9606     | 620,000<br>24,4094      | 243,000<br>9,5669       | 442,000<br>17,4016        | 8520<br>1916000                       | 4990<br>1120000                                      | NNU4176MAW33                           |
| 400,000<br>15,7480     | 540,000<br>21,2598      | 140,000<br>5,5118       | 446,000<br>17,5591        | 3920<br>882000                        | 1710<br>384000                                       | NNU4980MAW33                           |
| 400,0000<br>15,7480    | 600,0000<br>23,6220     | 200,0000<br>7,8740      | 449,0000<br>17,6772       | 7210<br>1621000                       | 3970<br>893000                                       | NNU4080MAW33                           |
| 400,000<br>15,7480     | 650,000<br>25,5906      | 250,000<br>9,8425       | 463,000<br>18,2283        | 9460<br>2120000                       | 5530<br>1240000                                      | NNU4180MAW33                           |
| 420,0000<br>16,5354    | 560,0000<br>22,0472     | 140,0000<br>5,5118      | 466,0000<br>18,3465       | 4140<br>928000                        | 1750<br>394000                                       | NNU4984MAW33                           |
| 420,0000<br>16,5354    | 620,0000<br>24,4094     | 200,0000<br>7,8740      | 469,0000<br>18,4646       | 7600<br>1706000                       | 4070<br>914000                                       | NNU4084MAW33                           |
| 420,000<br>16,5354     | 700,000<br>27,5591      | 280,000<br>11,0236      | 497,000<br>19,5669        | 11420<br>2560000                      | 6430<br>1450000                                      | NNU4184MAW33                           |
| 440,0000<br>17,3228    | 600,0000<br>23,6220     | 160,0000<br>6,2992      | 490,0000<br>19,2913       | 5740<br>1292000                       | 2500<br>562000                                       | NNU4988MAW33                           |
| 440,0000<br>17,3228    | 650,0000<br>25,5906     | 212,0000<br>8,3465      | 487,0000<br>19,1732       | 8180<br>1840000                       | 4530<br>1020000                                      | NNU4088MAW33                           |
| 440,0000<br>17,3228    | 720,0000<br>28,3465     | 280,0000<br>11,0236     | 511,0000<br>20,1181       | 11400<br>2560000                      | 6620<br>1490000                                      | NNU4188MAW33                           |

<sup>(1)</sup>Baseado em uma vida útil L<sub>10</sub> de  $1 \times 10^6$  revoluções, para o método de cálculo de vida útil ISO.<sup>(2)</sup>A folga radial interna (RIC) para o conjunto do rolamento deve ser incluída ao fazer o pedido do conjunto completo.<sup>(3)</sup>O deslocamento axial permitível a partir da posição normal de um anel do rolamento em relação ao outro.

| Dados de montagem |                    |                     |                       | Dados de lubrificação |                    |                   |                  | Fator de geometria<br>Cg | Limite de rotação<br>Óleo | Peso  |
|-------------------|--------------------|---------------------|-----------------------|-----------------------|--------------------|-------------------|------------------|--------------------------|---------------------------|-------|
| Chanfro           |                    | Diâmetro do encosto |                       | Canal g               | Diâmetro do furo h | Número de furos z | s <sup>(3)</sup> |                          |                           |       |
| r <sub>smin</sub> | r <sub>1smin</sub> | Eixo d <sub>s</sub> | Mancal D <sub>s</sub> | mm pol.               | mm pol.            | mm pol.           | mm pol.          | RPM                      | RPM                       | kg lb |
| 5,0<br>0,20       | 5,0<br>0,20        | 343,0<br>13,50      | 463,0<br>18,23        | 12,0<br>0,47          | 6<br>0,24          | 8                 | 6,5<br>0,26      | 0,236                    | 600                       | 560   |
| 3,0<br>0,12       | 3,0<br>0,12        | 351,0<br>13,82      | 409,0<br>16,10        | 10,0<br>0,39          | 5,0<br>0,20        | 8                 | 5,2<br>0,20      | 0,216                    | 790                       | 710   |
| 5,0<br>0,20       | 5,0<br>0,20        | 365,0<br>14,37      | 495,0<br>19,49        | 19,3<br>0,76          | 9,5<br>0,37        | 10                | 8,8<br>0,35      | 0,242                    | 590                       | 550   |
| 3,0<br>0,12       | 3,0<br>0,12        | 380,0<br>14,96      | 487,0<br>19,17        | 19,3<br>0,76          | 9,5<br>0,37        | 8                 | 6,3<br>0,25      | 0,222                    | 760                       | 670   |
| 5,0<br>0,20       | 5,0<br>0,20        | 380,0<br>14,96      | 487,0<br>19,17        | 19,3<br>0,76          | 9,5<br>0,37        | 10                | 8,9<br>0,35      | 0,238                    | 610                       | 560   |
| 5,0<br>0,20       | 5,0<br>0,20        | 391,0<br>15,39      | 530,0<br>20,87        | 19,3<br>0,76          | 9,5<br>0,37        | 10                | 9,6<br>0,38      | 0,258                    | 530                       | 490   |
| 3,0<br>0,12       | 3,0<br>0,12        | 392,0<br>15,43      | 449,0<br>17,68        | 19,3<br>0,76          | 9,5<br>0,37        | 8                 | 5,6<br>0,33      | 0,229                    | 710                       | 630   |
| 5,0<br>0,20       | 5,0<br>0,20        | 400,0<br>15,75      | 507,0<br>19,96        | 19,3<br>0,76          | 9,5<br>0,37        | 10                | 7,9<br>0,33      | 0,248                    | 560                       | 510   |
| 5,0<br>0,20       | 5,0<br>0,20        | 408,0<br>16,06      | 550,0<br>21,65        | 19,3<br>0,76          | 9,5<br>0,37        | 10                | 9,2<br>0,36      | 0,271                    | 470                       | 440   |
| 4,0<br>0,16       | 4,0<br>0,16        | 418,0<br>16,46      | 482,0<br>18,98        | 19,30<br>0,76         | 9,50<br>0,37       | 10                | 6,6<br>0,26      | 0,248                    | 630                       | 560   |
| 5,0<br>0,20       | 5,0<br>0,20        | 415,00<br>16,34     | 525,00<br>20,67       | 19,30<br>0,76         | 9,50<br>0,37       | 10                | 7,90<br>0,31     | 0,256                    | 530                       | 480   |
| 5,0<br>0,20       | 5,0<br>0,20        | 429,0<br>16,89      | 570,0<br>22,44        | 19,30<br>0,76         | 9,50<br>0,37       | 10                | 9,2<br>0,36      | 0,277                    | 460                       | 430   |
| 4,0<br>0,16       | 4,0<br>0,16        | 437,0<br>17,20      | 504,0<br>19,84        | 19,30<br>0,76         | 9,50<br>0,37       | 10                | 7,1<br>0,28      | 0,257                    | 600                       | 530   |
| 5,0<br>0,20       | 5,0<br>0,20        | 440,0<br>17,32      | 560,0<br>22,05        | 19,30<br>0,76         | 9,50<br>0,37       | 10                | 8,2<br>0,32      | 0,274                    | 460                       | 430   |
| 6,0<br>0,24       | 6,0<br>0,24        | 451,4<br>17,77      | 599,0<br>23,58        | 19,30<br>0,76         | 9,50<br>0,37       | 12                | 9,3<br>0,37      | 0,288                    | 410                       | 390   |
| 4,0<br>0,16       | 4,0<br>0,16        | 456,4<br>17,97      | 522,0<br>20,55        | 19,30<br>0,76         | 9,50<br>0,37       | 10                | 5,9<br>0,23      | 0,265                    | 560                       | 500   |
| 5,0<br>0,20       | 5,0<br>0,20        | 459,0<br>18,07      | 577,0<br>22,72        | 19,30<br>0,76         | 9,50<br>0,37       | 10                | 8,40<br>0,33     | 0,282                    | 430                       | 400   |
| 6,0<br>0,24       | 6,0<br>0,24        | 490,0<br>19,29      | 647,0<br>25,47        | 19,30<br>0,76         | 9,50<br>0,37       | 12                | 9,3<br>0,37      | 0,309                    | 370                       | 350   |
| 4,0<br>0,16       | 4,0<br>0,16        | 480,4<br>18,91      | 558,0<br>21,97        | 16,00<br>0,63         | 8,00<br>0,31       | 10                | 6,8<br>0,27      | 0,286                    | 460                       | 420   |
| 6,0<br>0,24       | 6,0<br>0,24        | 478,0<br>18,82      | 607,0<br>23,90        | 19,30<br>0,76         | 9,50<br>0,37       | 12                | 8,80<br>0,35     | 0,290                    | 410                       | 380   |
| 6,0<br>0,24       | 6,0<br>0,24        | 497,4<br>19,58      | 661,0<br>26,02        | 25,3<br>1,00          | 13,0<br>0,51       | 12                | 11,0<br>0,43     | 0,311                    | 370                       | 340   |

Continua na próxima página.

**DUAS CARREIRAS** – *continuação*

| Dimensões do rolamento |                         |                         |                           | Capacidade de carga                   |  | Designação do rolamento <sup>(2)</sup> |
|------------------------|-------------------------|-------------------------|---------------------------|---------------------------------------|--|--|
| Furo d<br>mm<br>pol.   | D.E.<br>D<br>mm<br>pol. | Largura B<br>mm<br>pol. | DUR/DOR F/E<br>mm<br>pol. | Estático C <sub>0</sub><br>kN<br>lbf. | Dinâmico C <sub>1</sub> <sup>(1)</sup><br>kN<br>lbf. |  |
| 460,000<br>18,1102     | 620,000<br>24,4094      | 160,000<br>6,2992       | 510,000<br>20,0787        | 5540<br>1246000                       | 2420<br>544000                                       | NNU4992MAW33                           |
| 460,000<br>18,1102     | 680,0000<br>26,7717     | 218,0000<br>8,5827      | 513,0000<br>20,1969       | 9420<br>2120000                       | 4980<br>1120000                                      | NNU4092MAW33                           |
| 460,000<br>18,1102     | 760,000<br>29,9213      | 300,000<br>11,8110      | 537,000<br>21,1417        | 12960<br>2920000                      | 7440<br>1670000                                      | NNU4192MAW33                           |
| 480,000<br>18,8976     | 650,000<br>25,5906      | 170,000<br>6,6929       | 534,000<br>21,0236        | 6160<br>1382000                       | 2680<br>602000                                       | NNU4996MAW33                           |
| 480,0000<br>18,8976    | 700,0000<br>27,5591     | 218,0000<br>8,5827      | 533,0000<br>20,9843       | 9730<br>2189000                       | 5090<br>1150000                                      | NNU4096MAW33                           |
| 480,000<br>18,8976     | 790,000<br>31,1024      | 308,000<br>12,1260      | 557,000<br>21,9291        | 14260<br>3200000                      | 8190<br>1840000                                      | NNU4196MAW33                           |
| 500,0000<br>19,6850    | 670,0000<br>26,3780     | 170,0000<br>6,6929      | 554,0000<br>21,8110       | 6280<br>1410000                       | 2690<br>605000                                       | NNU49/500MAW33                         |
| 500,0000<br>19,6850    | 720,0000<br>28,3465     | 218,0000<br>8,5827      | 553,0000<br>21,7717       | 10560<br>2380000                      | 5550<br>1250000                                      | NNU40/500MAW33                         |
| 530,0000<br>20,8661    | 710,0000<br>27,9528     | 180,0000<br>7,0866      | 588,0000<br>23,1496       | 8180<br>1839000                       | 3360<br>755000                                       | NNU49/530MAW33                         |
| 530,0000<br>20,8661    | 780,0000<br>30,7087     | 250,0000<br>9,8425      | 591,0000<br>23,2677       | 12160<br>2740000                      | 6330<br>1420000                                      | NNU40/530MAW33                         |
| 560,0000<br>22,0472    | 750,0000<br>29,5276     | 190,0000<br>7,4803      | 623,0000<br>24,5276       | 8780<br>1976000                       | 3590<br>808000                                       | NNU49/560MAW33                         |
| 600,0000<br>23,6220    | 800,0000<br>31,4961     | 200,0000<br>7,8740      | 666,0000<br>26,2205       | 10120<br>2280000                      | 4040<br>907000                                       | NNU49/600MAW33                         |
| 630,0000<br>24,8031    | 850,0000<br>33,4646     | 218,0000<br>8,5827      | 704,0000<br>27,7165       | 11520<br>2580000                      | 4570<br>1030000                                      | NNU49/630MAW33                         |
| 670,0000<br>26,3780    | 900,0000<br>35,4331     | 230,0000<br>9,0551      | 738,0000<br>29,0551       | 13460<br>3020000                      | 5430<br>1220000                                      | NNU49/670MAW33                         |
| 670,0000<br>26,3780    | 980,0000<br>38,5827     | 308,0000<br>12,1260     | 744,0000<br>29,2913       | 18840<br>4236000                      | 9740<br>2190000                                      | NNU40/670MAW33                         |
| 710,0000<br>27,9528    | 950,0000<br>37,4016     | 243,0000<br>9,5669      | 782,0000<br>30,7874       | 14660<br>3300000                      | 6310<br>1420000                                      | NNU49/710MAW33                         |
| 750,0000<br>29,5276    | 1000,0000<br>39,3701    | 250,0000<br>9,8425      | 831,0000<br>32,7165       | 16480<br>3700000                      | 6230<br>1400000                                      | NNU49/750MAW33                         |
| 800,0000<br>31,4961    | 1060,0000<br>41,7323    | 258,0000<br>10,1575     | 880,0000<br>34,6457       | 17390<br>3909000                      | 7070<br>1590000                                      | NNU49/800MAW33                         |
| 850,000<br>33,4646     | 1120,000<br>44,0945     | 272,000<br>10,7087      | 939,000<br>36,9685        | 17900<br>4020000                      | 6810<br>1530000                                      | NNU49/850MAW33                         |
| 900,0000<br>35,4331    | 1180,0000<br>46,4567    | 280,0000<br>11,0236     | 986,0000<br>38,8189       | 20650<br>4643000                      | 7790<br>1750000                                      | NNU49/900MAW33                         |

<sup>(1)</sup>Baseado em uma vida útil L<sub>10</sub> de  $1 \times 10^6$  revoluções, para o método de cálculo de vida útil ISO.<sup>(2)</sup>A folga radial interna (RIC) para o conjunto do rolamento deve ser incluída ao fazer o pedido do conjunto completo.<sup>(3)</sup>O deslocamento axial permitível a partir da posição normal de um anel do rolamento em relação ao outro.

| Dados de montagem |                    |                     |                       | Dados de lubrificação |                    |                   |                  | Fator de geometria<br>$C_g$ | Limites de rotação<br>Óleo RPM | Limites de rotação<br>Graxa RPM | Peso kg lb        |
|-------------------|--------------------|---------------------|-----------------------|-----------------------|--------------------|-------------------|------------------|-----------------------------|--------------------------------|---------------------------------|-------------------|
| Chanfro           |                    | Diâmetro do encosto |                       | Canal g               | Diâmetro do furo h | Número de furos z | s <sup>(3)</sup> |                             |                                |                                 |                   |
| r <sub>smin</sub> | r <sub>1smin</sub> | Eixo d <sub>s</sub> | Mancal D <sub>s</sub> | mm pol.               | mm pol.            | mm pol.           | mm pol.          |                             |                                |                                 |                   |
| 4,0<br>0,16       | 4,0<br>0,16        | 500,0<br>19,69      | 578,0<br>22,76        | 19,3<br>0,76          | 9,5<br>0,37        | 10                | 6,2<br>0,24      | 0,288                       | 460                            | 420                             | 135,00<br>298,00  |
| 6,0<br>0,24       | 6,0<br>0,24        | 502,0<br>19,76      | 633,0<br>24,92        | 19,30<br>0,76         | 9,50<br>0,37       | 12                | 8,40<br>0,33     | 0,305                       | 370                            | 340                             | 240,00<br>529,00  |
| 7,5<br>0,30       | 7,5<br>0,30        | 525,0<br>20,67      | 697,0<br>27,44        | 19,30<br>0,76         | 9,50<br>0,37       | 12                | 11,3<br>0,44     | 0,324                       | 330                            | 320                             | 535,00<br>1179,00 |
| 5,0<br>0,20       | 5,0<br>0,20        | 526,0<br>20,71      | 606,0<br>23,86        | 19,30<br>0,76         | 9,50<br>0,37       | 12                | 6,8<br>0,27      | 0,299                       | 430                            | 390                             | 160,00<br>353,00  |
| 6,0<br>0,24       | 6,0<br>0,24        | 527,0<br>20,75      | 653,0<br>25,71        | 19,3<br>0,76          | 9,5<br>0,37        | 12                | 8,7<br>0,34      | 0,313                       | 350                            | 330                             | 275,00<br>606,00  |
| 7,5<br>0,30       | 7,5<br>0,30        | 543,0<br>21,38      | 727,0<br>28,62        | 25,3<br>1,00          | 13,0<br>0,51       | 12                | 12,0<br>0,47     | 0,335                       | 310                            | 290                             | 590,00<br>1301,00 |
| 5,0<br>0,20       | 5,0<br>0,20        | 543,0<br>21,38      | 626,0<br>24,65        | 19,3<br>0,76          | 9,5<br>0,37        | 12                | 6,4<br>0,25      | 0,306                       | 420                            | 380                             | 170,00<br>375,00  |
| 6,0<br>0,24       | 6,0<br>0,24        | 544,0<br>21,42      | 681,0<br>26,81        | 16,0<br>0,63          | 7,5<br>0,30        | 12                | 7,7<br>0,30      | 0,322                       | 330                            | 310                             | 288,00<br>635,00  |
| 5,0<br>0,20       | 5,0<br>0,20        | 577,7<br>22,74      | 664,0<br>26,14        | 19,3<br>0,76          | 9,5<br>0,37        | 12                | 6,3<br>0,25      | 0,334                       | 350                            | 320                             | 207,00<br>456,00  |
| 6,0<br>0,24       | 6,0<br>0,24        | 579,3<br>22,81      | 727,0<br>28,62        | 19,30<br>0,76         | 9,50<br>0,37       | 12                | 11,00<br>0,43    | 0,341                       | 300                            | 280                             | 420,00<br>925,93  |
| 5,0<br>0,20       | 5,0<br>0,20        | 612,0<br>24,09      | 703,0<br>27,68        | 22,0<br>0,87          | 12,0<br>0,47       | 12                | 6,6<br>0,26      | 0,346                       | 330                            | 300                             | 245,00<br>540,00  |
| 5,0<br>0,20       | 5,0<br>0,20        | 655,0<br>25,79      | 750,0<br>29,53        | 25,3<br>1,00          | 13,0<br>0,51       | 12                | 6,9<br>0,27      | 0,365                       | 290                            | 270                             | 294,00<br>648,00  |
| 6,0<br>0,24       | 6,0<br>0,24        | 691,0<br>27,20      | 794,0<br>31,26        | 25,3<br>1,00          | 13,0<br>0,51       | 16                | 9,4<br>0,37      | 0,383                       | 270                            | 250                             | 365,00<br>804,70  |
| 6,0<br>0,24       | 6,0<br>0,24        | 726,9<br>28,62      | 838,0<br>32,99        | 19,3<br>0,76          | 9,5<br>0,37        | 16                | 8,4<br>0,33      | 0,400                       | 240                            | 230                             | 428,00<br>944,00  |
| 7,5<br>0,30       | 7,5<br>0,30        | 726,9<br>28,62      | 922,0<br>36,30        | 22,0<br>0,87          | 12,0<br>0,47       | 16                | 13,0<br>0,51     | 0,404                       | 210                            | 200                             | 769,00<br>1695,00 |
| 6,0<br>0,24       | 6,0<br>0,24        | 767,3<br>30,21      | 902,1<br>35,52        | 19,3<br>0,76          | 9,5<br>0,37        | 16                | 10,7<br>0,42     | 0,409                       | 220                            | 210                             | 488,00<br>1076,00 |
| 6,0<br>0,24       | 6,0<br>0,24        | 817,9<br>32,20      | 933,0<br>36,73        | 19,3<br>0,76          | 9,5<br>0,37        | 16                | 7,6<br>0,30      | 0,442                       | 200                            | 190                             | 568,00<br>1252,20 |
| 6,0<br>0,24       | 6,0<br>0,24        | 865,4<br>34,07      | 1000,0<br>39,37       | 19,3<br>0,76          | 9,5<br>0,37        | 16                | 10,5<br>0,41     | 0,450                       | 190                            | 180                             | 598,00<br>1318,00 |
| 6,0<br>0,24       | 6,0<br>0,24        | 928,0<br>36,54      | 1047,0<br>41,22       | 25,3<br>1,00          | 13<br>0,51         | 16                | 16,0<br>0,63     | 0,470                       | 190                            | 170                             | 360,00<br>794,00  |
| 6,0<br>0,24       | 6,0<br>0,24        | 968,8<br>38,14      | 1106,0<br>43,54       | 25,3<br>1,00          | 13<br>0,51         | 16                | 11,9<br>0,47     | 0,494                       | 160                            | 150                             | 839,00<br>1850,00 |

## **ROLAMENTOS DE ROLOS CILÍNDRICOS DE QUATRO CARREIRAS**

Os rolamentos de rolos cilíndricos de quatro carreiras da Timken são projetados para os rigores do uso diário em aplicações em que velocidades moderadas e altas, cargas radiais altas, temperaturas elevadas e contaminantes são desafios constantes. Projetados com seções transversais bem balanceadas, esses rolamentos proporcionam alta capacidade de carga radial dentro do conjunto do rolamento.

### **APLICAÇÕES**

Projetado principalmente para aplicações em pescos de cilindros, os rolamentos cilíndricos de quatro carreiras da Timken são amplamente utilizados para trabalhar no cilindro de trabalho ou de encosto em laminadores de produtos planos, produtos longos e estruturais.

#### Características do produto

- Disponível nos tamanhos 140 mm de D.I. a 2000 mm de D.E. (5,512 pol. a 78,740 pol.).
- Anéis e rolos cementados melhoram a durabilidade.
- Pistas de rolamento internas intercambiáveis com conjuntos externos.
- Fabricado com tolerâncias-limite P6 e tolerâncias de excentricidade P5.
- Os exclusivos perfis dos rolos são projetados para alto desempenho.
- Furos cônicos e cilíndricos são disponíveis.



**Fig. 21. Rolamento de rolos cilíndricos de quatro carreiras.**

### **BENEFÍCIOS DO PROJETO**

As nossas configurações mais comuns disponíveis são os tipos RY, RYL e RX. No entanto, a Timken também faz rolamentos com projeto e fabricação customizados para os seus requisitos particulares de tamanho e aplicação. Se você tiver uma nova aplicação em um laminador, nossos engenheiros trabalharão com você nos estágios iniciais de projeto para ajudá-lo a selecionar os rolamentos certos.

### **FOLGA RADIAL INTERNA (RIC)**

Os rolamentos padrão da Timken oferecem diferentes folgas, como C3 ou C4, de acordo com a DIN 620-4. Caso seja necessário para a sua aplicação, eles podem ser fornecidos com furo cônicamente.

A Timken fornece anéis internos de duas formas: um com acabamento final, sem retífica adicional necessária, ou com uma condição semiacabada, com sobremetal para ser retificado adequadamente. Anéis internos semiacabados permitirão que os operadores obtenham a melhor precisão do cilindro através da retífica de acabamento do anel interno após a montagem do mesmo no cilindro.

A designação desses rolamentos e conjuntos de anel interno são identificados pelo sufixo CF.

### **LUBRIFICAÇÃO**

Os novos rolamentos de rolos cilíndricos Timken podem ser usados com sistemas de lubrificação com graxa, ar-óleo, névoa de óleo ou circulação de óleo. Os rolamentos devem ser lubrificados corretamente para obter o máximo desempenho através dos canais de lubrificação, furos no D.E. do anel externo ou através de rasgos na face integradas às faces do anel externo. Consulte os tipos de projeto detalhados nas páginas 84 a 87 para obter mais informações sobre as configurações de lubrificação padrão por tipo de rolamento.

### **MATERIAL**

Nossos rolamentos são projetados para fornecer estabilidade dimensional, resistência à quebra e confiabilidade superiores. Usando somente ligas cementadas de alta qualidade e aplicando um tratamento térmico especial durante o processo de fabricação, temos capacidade para produzir rolamentos de rolos cilíndricos usados em laminadores que podem resistir às grandes tensões e à carga de impacto às quais são submetidos durante a operação.

## DESENHO E NORMA DE MONTAGEM

O tipo de construção do rolamento de rolos cilíndricos acomoda somente carga radial, portanto, um rolamento axial separado deve ser usado para fornecer posicionamento axial do eixo.

A norma de montagem do mancal normalmente resulta em montagem com folga para facilitar a remoção nos intervalos de manutenção regular. Preferencialmente o ajuste no eixo é com interferência. Há ocasiões em que a montagem do eixo com folga são tolerados, como em equipamentos de laminação bruta. Nos casos em que o ajuste no eixo é com folga, canais de lubrificação no furo da pista (anel) interna devem ser incorporados ao rolamento. Verifique mais detalhes sobre a montagem de rolamentos de rolos cilíndricos de quatro carreiras com o seu engenheiro da Timken. As informações de montagem também estão disponíveis no Manual de engenharia da Timken (nº do catálogo 10424) em [timken.com/catalogs](http://timken.com/catalogs)

Para facilitar a desmontagem, rasgos na face podem ser adicionadas aos anéis internos (código de modificação W30B).

Os anéis internos podem ser pedidos separadamente do conjunto externo, para oferecer rolos de reposição adicionais. Os conjuntos do anel interno e externo são intercambiáveis no que diz respeito à folga interna.

## PRINCIPAIS TIPOS DE PROJETO

Elementos de rolamento e geometria da pista de rolamento avançados proporcionam alta capacidade de carga radial dentro do conjunto do rolamento. Além disso, várias construções de porta-rolos e materiais permitem flexibilidade de projeto e a folga radial predefinida simplifica o processo de instalação.

### TIPO RY

O tipo de rolamento RY incorpora duas pistas de rolamento externas com flanges triplos (flanges integradas). A pista interna do rolamento é uma peça única. Os conjuntos externos consistem da pista externa do rolamento, rolos e porta-rolos, que criam um projeto único. Esse projeto simplifica o manuseio. Um canal de carregamento é usado para inserção de rolos. Geralmente, a lubrificação é feita através de canais nas faces do anel externo. O porta-rolos é uma peça única, totalmente usinado, de bronze ou aço. Os compartimentos de rolos são alternados entre as pistas de rolamento

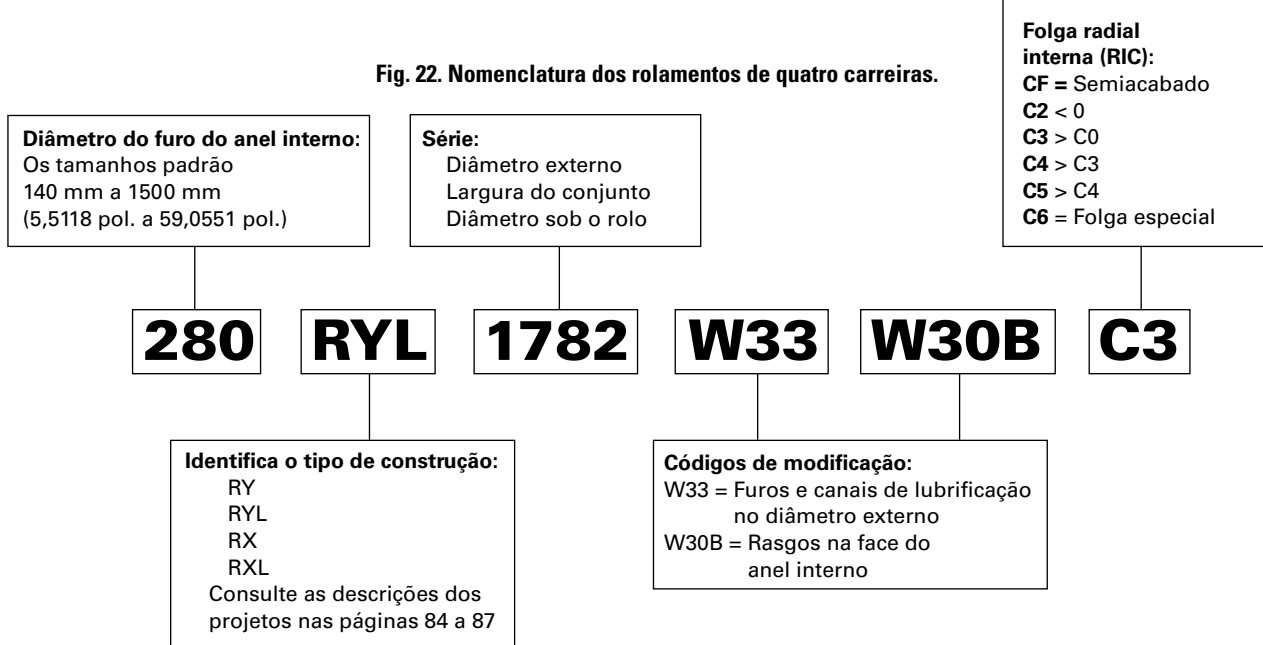
### TIPO RX

Os rolamentos RX têm quatro carreiras, duas delas com pistas externas com flange simples e anéis flange para espaçamento dos roletes. Isso permite a desmontagem completa para inspeção. O tipo RX normalmente é o preferido em rolamentos com furo acima de 400 mm.

Porta-rolos de bronze e do tipo pinado estão disponíveis para esse tipo de rolamento. A maioria das pistas internas são conjuntos de duas peças.

### TIPOS RYL E RXL

Os projetos RYL e RXL, mais recentes, estão disponíveis em tamanhos de até 340 mm de furo e foram especificamente projetados para laminadores de produtos longos. Porta-rolos de aço padrão e características aprimoradas de projeto estão inclusos para maximizar a vida útil do rolamento, reduzir a queda de rolos e otimizar o manuseio do rolamento.



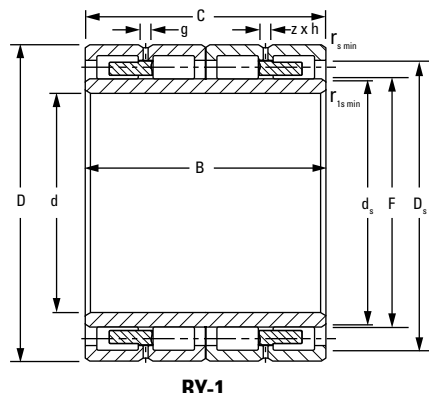
# ROLAMENTOS DE ROLOS CILÍNDRICOS

## QUATRO CARREIRAS

### TIPOS DE PROJETOS DETALHADOS DE QUATRO CARREIRAS

#### RY-1

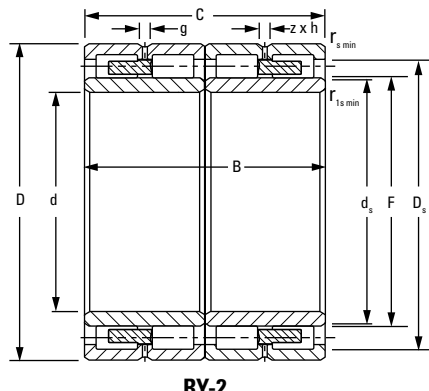
- Dois anéis externos com flanges integradas.
- Anel interno em única peça.
- Canais e furos para lubrificação nos anéis externos.
- Dois porta-rolos de aço sólido ou bronze.



RY-1

#### RY-2

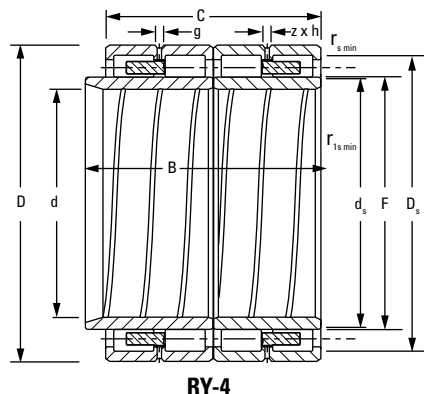
- Dois anéis externos com flanges integradas.
- Dois anéis internos.
- RY-2 – com canais e furos para lubrificação nos anéis externos.
- RY-3 – sem canais e furos para lubrificação nos anéis externos.
- Dois porta-rolos de aço sólido ou bronze.



RY-2

#### RY-4

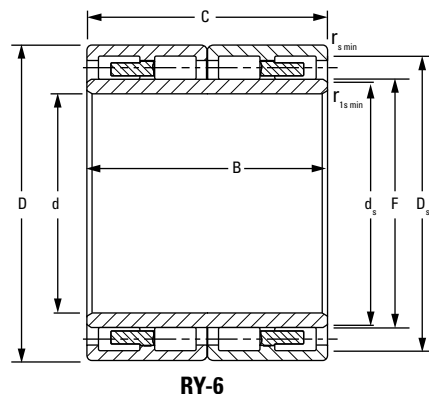
- Dois anéis externos com flanges integradas.
- Canais e furos para lubrificação nos anéis externos.
- Dois anéis internos.
- Canais para lubrificação e rasgos na face dos anéis internos.
- RY-4 – anel interno estendido em um lado.
- RY-5 – anel interno estendido nos dois lados.
- Dois porta-rolos de aço sólido ou bronze.



RY-4

#### RY-6

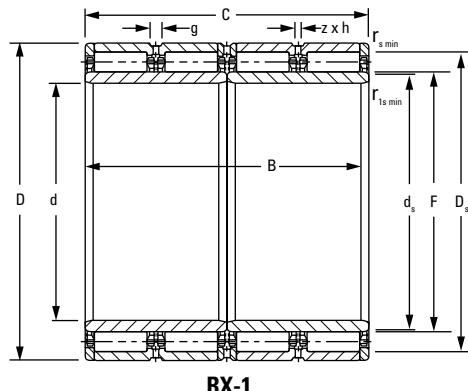
- Dois anéis externos com flanges integradas.
- Anel interno em única peça.
- Rasgos na face dos anéis externos.
- Dois porta-rolos de aço sólido.



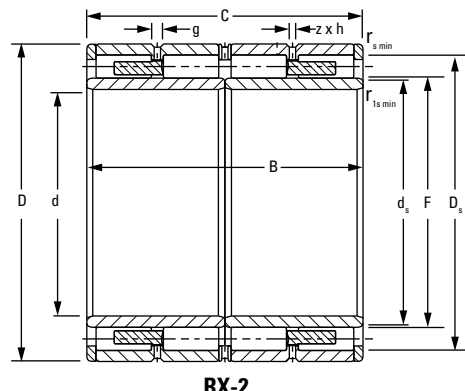
RY-6

**RX-1, RX-9 e RX-11**

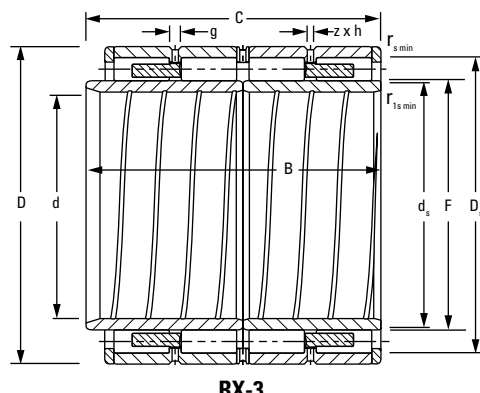
- Dois anéis externos com três anéis flanges.
- Dois anéis internos.
- Quatro porta-rolos de aço do tipo pinado.
- RX-1 – com canais e furos de lubrificação nos anéis externos.
- RX-9 – com bocais de névoa de óleo e O-rings nos anéis externos.
- RX-11 – com canais e furos de lubrificação e O-rings nos anéis externos.

**RX-2**

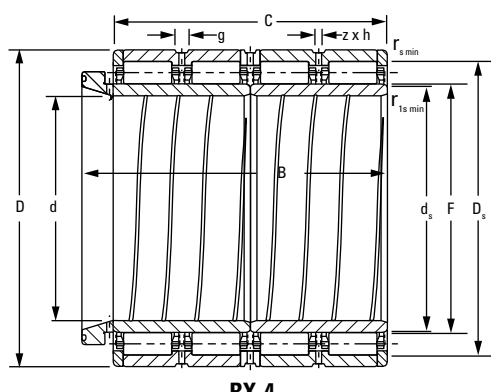
- Dois anéis externos com flanges integradas.
- Dois anéis internos.
- Dois portarolos de aço sólido ou bronze.
- Canais e furos para lubrificação nos anéis externos.

**RX-3**

- Dois anéis externos com três anéis flanges.
- Dois anéis internos.
- Dois portarolos de aço sólido ou bronze.
- Canais para lubrificação e rasgos na face dos anéis internos.
- Canais e furos para lubrificação nos anéis externos.
- Anel interno estendido em um lado.

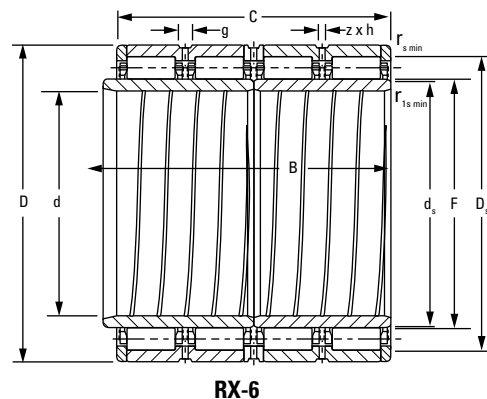
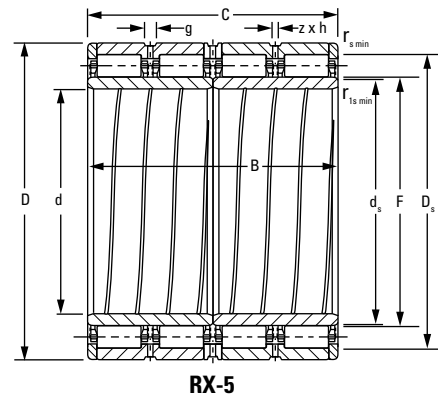
**RX-4**

- Dois anéis externos com três anéis flanges.
- Dois anéis internos.
- Quatro porta-rolos de aço do tipo pinado.
- Canais para lubrificação e rasgos na face dos anéis internos.
- Canais e furos para lubrificação nos anéis externos.
- Anel interno estendido em um lado.



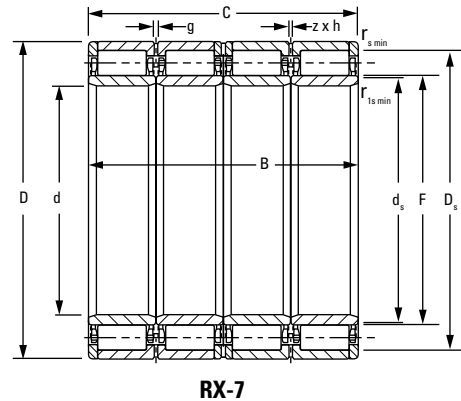
### RX-5 e RX-6

- Dois anéis externos com três anéis flanges.
- Dois anéis internos.
- Quatro porta-rolos de aço do tipo pinado.
- Canais para lubrificação e rasgos na face dos anéis internos.
- Canais e furos para lubrificação nos anéis externos.
- RX-5 – largura idêntica no conjunto externo e interno.
- RX-6 – anel interno estendido em um lado.



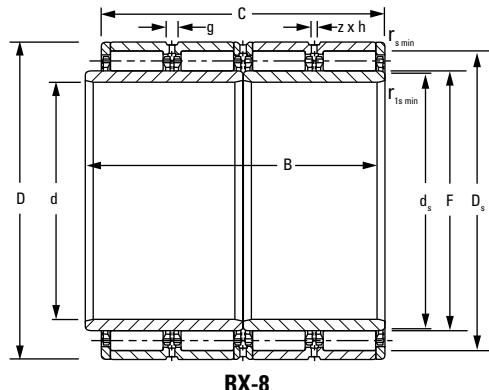
### RX-7

- Dois anéis externos com três anéis flanges.
- Quatro anéis internos.
- Quatro porta-rolos de aço do tipo pinado.
- Canais e furos para lubrificação nos anéis externos.

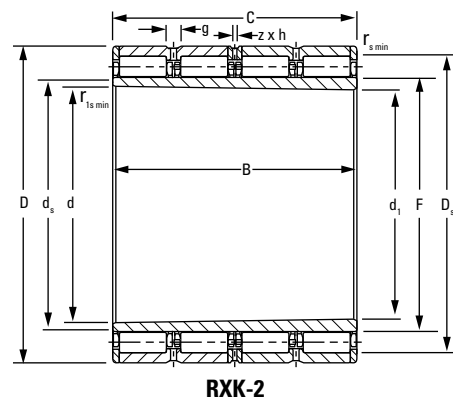
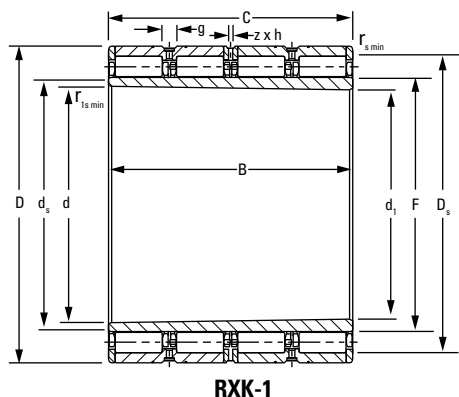
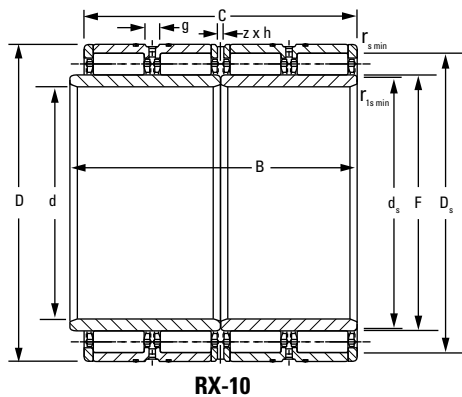


**RX-8 e RX-10**

- Dois anéis externos com três anéis flanges.
- Dois anéis internos.
- Quatro porta-rolos de aço do tipo pinado.
- Canais e furos para lubrificação nos anéis externos.
- Anel interno estendido em um lado.
- RX-10 – com bocais de névoa de óleo e O-rings nos anéis externos.

**RXK-1 e RXK-2**

- Dois anéis externos com três anéis flanges.
- Anel interno com furo côncico em peça única.
- Quatro porta-rolos de aço do tipo pinado.
- Canais e furos para lubrificação nos anéis externos.
- RXK-1 – com bocais de névoa de óleo e O-rings nos anéis externos.



**ROLAMENTOS DE ROLOS CILÍNDRICOS DE QUATRO CARREIRAS**

| Furo<br>d<br><br>mm<br>pol. | Dimensões do rolamento      |                                |                                |                    |  | Capacidade de carga   |                          | Designação da peça |  |
|-----------------------------|-----------------------------|--------------------------------|--------------------------------|--------------------|--|---|--------------------------|--------------------|--|
|                             | D.E.<br>D<br><br>mm<br>pol. | Largura<br>B<br><br>mm<br>pol. | Largura<br>C<br><br>mm<br>pol. | DUR/DOR<br>F/E     | Estático<br>C <sub>0</sub><br><br>kN<br>lbf. | Dinâmico<br>C <sub>1</sub> <sup>(1)</sup><br><br>kN<br>lbf. | Rolamento <sup>(2)</sup> | Tipo               |  |
|                             | mm<br>pol.                  | mm<br>pol.                     | mm<br>pol.                     | mm<br>pol.         | mm<br>pol.                                   | mm<br>pol.  |                          |                    |  |
| 145,000<br>5,7087           | 225,000<br>8,8583           | 156,000<br>6,1417              | 156,000<br>6,1417              | 169,000<br>6,6535  | 1832<br>412000                               | 1100<br>248000  | 145RYL1452               | RY-6               |  |
| 160,000<br>6,2992           | 230,000<br>9,0551           | 130,000<br>5,1181              | 130,000<br>5,1181              | 180,000<br>7,0866  | 1352<br>30440                                | 856<br>192400   | 160RYL1468               | RY-6               |  |
| 160,000<br>6,2992           | 230,000<br>9,0551           | 168,000<br>6,6142              | 168,000<br>6,6142              | 179,000<br>7,0472  | 2224<br>500000                               | 1188<br>268000  | 160RYL1467               | RY-6               |  |
| 165,100<br>6,5000           | 225,425<br>8,8750           | 168,275<br>6,6250              | 168,275<br>6,6250              | 181,000<br>7,1260  | 2264<br>508000                               | 1158<br>260000  | 165RYL1451               | RY-3               |  |
| 180,000<br>7,0866           | 260,000<br>10,2362          | 168,000<br>6,6142              | 168,000<br>6,6142              | 202,000<br>7,9528  | 2568<br>576000                               | 1452<br>326000  | 180RYL1527               | RY-6               |  |
| 190,000<br>7,4803           | 260,000<br>10,2362          | 168,000<br>6,6142              | 168,000<br>6,6142              | 212,000<br>8,3465  | 2604<br>584000                               | 1288<br>290000  | 190RY1528                | RY-1               |  |
| 190,000<br>7,4803           | 270,000<br>10,6299          | 200,000<br>7,8740              | 200,000<br>7,8740              | 212,000<br>8,3465  | 3304<br>744000                               | 1702<br>382000  | 190RY1543                | RY-1               |  |
| 200,000<br>7,8740           | 270,000<br>10,6299          | 170,000<br>6,6929              | 170,000<br>6,6929              | 222,000<br>8,7402  | 2788<br>628000                               | 1334<br>300000  | 200RYL1544               | RY-6               |  |
| 200,000<br>7,8740           | 280,000<br>11,0236          | 170,000<br>6,6929              | 170,000<br>6,6929              | 222,000<br>8,7402  | 2868<br>644000                               | 1542<br>346000  | 200RYL1566               | RY-6               |  |
| 200,000<br>7,8740           | 280,000<br>11,0236          | 200,000<br>7,8740              | 200,000<br>7,8740              | 222,000<br>8,7402  | 3424<br>768000                               | 1730<br>388000  | 200RYL1567               | RY-6               |  |
| 200,000<br>7,8740           | 290,000<br>11,4173          | 192,000<br>7,5591              | 192,000<br>7,5591              | 226,000<br>8,8976  | 3208<br>720000                               | 1774<br>398000  | 200RYL1585               | RY-6               |  |
| 220,000<br>8,6614           | 310,000<br>12,2047          | 192,000<br>7,5591              | 192,000<br>7,5591              | 246,000<br>9,6850  | 3432<br>772000                               | 1840<br>414000  | 220RYL1621               | RY-6               |  |
| 220,000<br>8,6614           | 340,000<br>13,3858          | 218,000<br>8,5827              | 218,000<br>8,5827              | 257,180<br>10,1252 | 4160<br>932000                               | 2320<br>522000  | 220RY1683                | RY-1               |  |
| 230,000<br>9,0551           | 330,000<br>12,9921          | 206,000<br>8,1102              | 206,000<br>8,1102              | 260,000<br>10,2362 | 3988<br>896000                               | 2120<br>478000  | 230RYL1667               | RY-6               |  |
| 240,000<br>9,4488           | 330,000<br>12,9921          | 220,000<br>8,6614              | 220,000<br>8,6614              | 270,000<br>10,6299 | 4320<br>972000                               | 1924<br>432000  | 240RY1668                | RY-1               |  |
| 250,000<br>9,8425           | 340,000<br>13,3858          | 230,000<br>9,0551              | 230,000<br>9,0551              | 276,000<br>10,8661 | 4521<br>1016000                              | 1952<br>438800  | 250RY1681                | RY-1               |  |
| 260,000<br>10,2362          | 370,000<br>14,5669          | 220,000<br>8,6614              | 220,000<br>8,6614              | 292,000<br>11,4961 | 5040<br>1132000                              | 2580<br>582000  | 260RYL1744               | RY-6               |  |
| 260,000<br>10,2362          | 380,000<br>14,9606          | 280,000<br>11,0236             | 280,000<br>11,0236             | 294,000<br>11,5748 | 6280<br>1412000                              | 3240<br>728000  | 260RY1763                | RY-2               |  |
| 280,000<br>11,0236          | 390,000<br>15,3543          | 220,000<br>8,6614              | 220,000<br>8,6614              | 312,000<br>12,2835 | 5200<br>1176000                              | 2620<br>590000  | 280RYL1783               | RY-6               |  |
| 280,000<br>11,0236          | 390,000<br>15,3543          | 275,000<br>10,8268             | 275,000<br>10,8268             | 308,000<br>12,1260 | 7020<br>1578000                              | 3049<br>685500  | 280RYL1782               | RY-3               |  |
| 300,000<br>11,8110          | 420,000<br>16,5354          | 300,000<br>11,8110             | 300,000<br>11,8110             | 332,000<br>13,0709 | 8720<br>1960000                              | 4140<br>932000  | 300RX1846                | RX-1               |  |
| 300,000<br>11,8110          | 420,000<br>16,5354          | 300,000<br>11,8110             | 300,000<br>11,8110             | 332,000<br>13,0709 | 8360<br>1880000                              | 4080<br>918000  | 300RXL1845               | RX-2               |  |

<sup>(1)</sup>Baseado em uma vida útil L<sub>10</sub> de 1 x 10<sup>6</sup> revoluções, para o método de cálculo de vida útil ISO.<sup>(2)</sup>A folga radial interna (RIC) para o conjunto do rolamento deve ser incluída ao fazer o pedido a) do conjunto completo ou b) com o conjunto do anel interno. É aconselhável fazer o pedido do conjunto do anel interno independentemente do conjunto do anel externo quando a retífica final do D.E. do anel interno for realizada após a montagem do pescoço do cilindro.

| Designação da peça do subconjunto       |                          | Dados de montagem |                     |                     |                       | Dados de lubrificação |                    |                   | Peso             |  |
|---|--------------------------|-------------------|---------------------|---------------------|-----------------------|-----------------------|--------------------|-------------------|------------------|--|
|   |                          | Chanfro           |                     | Diâmetro do encosto |                       | Canal g               | Diâmetro do furo h | Número de furos z |                  |  |
|   |                          | r <sub>smin</sub> | r <sub>1smin</sub>  | Eixo d <sub>s</sub> | Mancal D <sub>s</sub> |                       |                    |                   |                  |  |
| Conjunto do anel interno <sup>(2)</sup> | Conjunto do anel externo | mm pol.           | mm pol.             | mm pol.             | mm pol.               | mm pol.               | mm pol.            | kg lb             |                  |  |
| 145ARVSL1452                            | 169RYSL1452              | 2,0<br>0,08       | 2,0<br>0,08         | 164,2<br>6,46       | 205,0<br>8,07         | —                     | —                  | —                 | 23,00<br>50,71   |  |
| 160ARVSL1468                            | 180RYSL1468              | 1,5<br>0,06       | 1,5<br>0,06         | 174,6<br>6,87       | 216,0<br>8,50         | —                     | —                  | —                 | 16,80<br>37,00   |  |
| 160ARVSL1467                            | 179RYSL1467              | 2,0<br>0,08       | 2,0<br>0,08         | 174,5<br>6,87       | 211,0<br>8,31         | —                     | —                  | —                 | 23,10<br>50,80   |  |
| 165ARYSL1451                            | 181RYSL1451              | 1,5<br>0,06       | 1,5<br>0,06         | 176,2<br>6,94       | 211,0<br>8,31         | —                     | —                  | —                 | 19,60<br>43,20   |  |
| 180ARVSL1527                            | 202RYSL1527              | 2,1<br>0,08       | 2,1<br>0,08         | 196,3<br>7,73       | 242,0<br>9,53         | —                     | —                  | —                 | 29,70<br>65,40   |  |
| 190ARVS1528                             | 212RYS1528               | 2,0<br>0,08       | 2,0<br>0,08         | 207,2<br>8,16       | 244,0<br>9,61         | 7,0<br>0,28           | 4,0<br>0,16        | 8                 | 26,50<br>58,20   |  |
| 190ARVS1543                             | 212RYS1543               | 2,1<br>0,08       | 2,1<br>0,08         | 207,2<br>8,16       | 250,0<br>9,84         | 9,6<br>0,38           | 4,5<br>0,18        | 6                 | 37,10<br>81,79   |  |
| 200ARVSL1544                            | 222RYSL1544              | 2,1<br>0,08       | 2,1<br>0,08         | 216,9<br>8,54       | 254,0<br>10,00        | —                     | —                  | —                 | 27,90<br>61,51   |  |
| 200ARVSL1566                            | 222RYSL1566              | 2,1<br>0,08       | 2,1<br>0,08         | 217,5<br>8,56       | 262,0<br>10,31        | —                     | —                  | —                 | 32,40<br>71,20   |  |
| 200ARVSL1567                            | 222RYSL1567              | 2,1<br>0,08       | 2,1<br>0,08         | 218,0<br>8,58       | 260,0<br>10,24        | —                     | —                  | —                 | 39,00<br>85,98   |  |
| 200ARVSL1585                            | 226RYSL1585              | 2,1<br>0,08       | 2,1<br>0,08         | 220,6<br>8,69       | 270,0<br>10,63        | —                     | —                  | —                 | 41,80<br>92,10   |  |
| 220ARVSL1621                            | 246RYSL1621              | 3,0<br>0,12       | 3,0<br>0,12         | 240,5<br>9,47       | 290,0<br>11,42        | —                     | —                  | —                 | 45,10<br>99,30   |  |
| 220ARVS1683                             | 257RYS1683               | 3,0<br>0,12       | 3,0<br>0,12         | 251,0<br>9,88       | 309,2<br>12,17        | 10,0<br>0,39          | 5,0<br>0,20        | 8                 | 75,60<br>166,30  |  |
| 230ARVSL1667                            | 260RYSL1667              | 2,1<br>0,08       | 2,1<br>0,08         | 253,5<br>9,98       | 308,0<br>12,13        | —                     | —                  | —                 | 58,30<br>128,20  |  |
| 240ARVS1668                             | 270RYS1668               | 2,1<br>0,08       | 2,1<br>0,08         | 1917,4<br>75,49     | 306,0<br>12,05        | 9,6<br>0,38           | 4,5<br>0,18        | 6                 | 56,70<br>125,00  |  |
| 250ARVS1681                             | 276RYS1681               | 4,0<br>0,16       | 3,5x45°<br>0,14x45° | 269,5<br>10,61      | 320,0<br>12,60        | 10,0<br>0,39          | 5,0<br>0,20        | 6                 | 60,30<br>132,70  |  |
| 260ARVSL1744                            | 292RYSL1744              | 3,0<br>0,12       | 3,0<br>0,12         | 285,0<br>11,22      | 344,0<br>13,54        | —                     | —                  | —                 | 107,60<br>236,70 |  |
| 260ARYS1763                             | 294RYS1763               | 3,0<br>0,12       | 3,0<br>0,12         | 286,5<br>11,28      | 350,0<br>13,78        | 10,0<br>0,39          | 5,0<br>0,20        | 6                 | 107,60<br>236,70 |  |
| 280ARVSL1783                            | 312RYSL1783              | 4,0<br>0,16       | 4,0<br>0,16         | 305,2<br>12,02      | 364,0<br>14,33        | —                     | —                  | —                 | 81,90<br>180,20  |  |
| 280ARYSL1782                            | 308RYSL1782              | 2,5<br>0,10       | 3,5<br>0,14         | 301,8<br>11,88      | 364,0<br>14,33        | —                     | —                  | —                 | 100,70<br>221,60 |  |
| 300ARXS1845B                            | 332RXS1846               | 3,5<br>0,14       | 7x20°<br>0,28x20°   | 325,1<br>12,80      | 392,0<br>15,43        | 18,0<br>0,71          | 9,0<br>0,35        | 8                 | 130,50<br>287,00 |  |
| 300ARXSL1845                            | 332RXSL1845              | 3,5<br>0,14       | 7x20°<br>0,28x20°   | 326,1<br>12,84      | 392,0<br>15,43        | 12,0<br>0,47          | 6,0<br>0,24        | 8                 | 131,90<br>290,10 |  |

Continua na próxima página.

*Rolamentos de rolos cilíndricos de quatro carreiras* – *continuação*

| Euro<br>d          | D.E.<br>D          | Dimensões do rolamento |                    |                    |                   | Capacidade de carga     |  | Designação da peça       |      |
|--------------------|--------------------|------------------------|--------------------|--------------------|-------------------|-------------------------|--|--------------------------|------|
|                    |                    | Largura<br>B           | Largura<br>C       | DUR/DOR<br>F/E     | Estatíco<br>$C_0$ | Dinâmico<br>$C_1^{(1)}$ |  | Rolamento <sup>(2)</sup> | Tipo |
| mm<br>pol.         | mm<br>pol.         | mm<br>pol.             | mm<br>pol.         | mm<br>pol.         | kN<br>lbf.        | kN<br>lbf.              |  |                          |      |
| 300,000<br>11,8110 | 500,000<br>19,6850 | 360,000<br>14,1732     | 360,000<br>14,1732 | 354,250<br>13,9469 | 10160<br>2288000  | 6200<br>1392000         |  | 300RY2002                | RY-2 |
| 330,000<br>12,9921 | 460,000<br>18,1102 | 340,000<br>13,3858     | 340,000<br>13,3858 | 365,000<br>14,3701 | 10840<br>2440000  | 4980<br>1120000         |  | 330RX1922                | RX-1 |
| 340,000<br>13,3858 | 480,000<br>18,8976 | 310,000<br>12,2047     | 310,000<br>12,2047 | 378,000<br>14,8819 | 9640<br>2164000   | 4660<br>1048000         |  | 340RX1965A               | RX-5 |
| 340,000<br>13,3858 | 480,000<br>18,8976 | 350,000<br>13,7795     | 350,000<br>13,7795 | 378,000<br>14,8819 | 10880<br>2444000  | 5180<br>1162000         |  | 340RYL1963               | RY-3 |
| 370,000<br>14,5669 | 520,000<br>20,4724 | 380,000<br>14,9606     | 380,000<br>14,9606 | 409,000<br>16,1024 | 14040<br>3156000  | 6500<br>1460000         |  | 370RX2045                | RX-1 |
| 380,000<br>14,9606 | 540,000<br>21,2598 | 300,000<br>11,8110     | 300,000<br>11,8110 | 421,000<br>16,5748 | 10560<br>2368000  | 5420<br>1218000         |  | 380RX2089                | RX-1 |
| 380,000<br>14,9606 | 540,000<br>21,2598 | 400,000<br>15,7480     | 380,000<br>14,9606 | 422,000<br>16,6142 | 14360<br>3228000  | 6840<br>1536000         |  | 380RX2086A               | RX-6 |
| 380,000<br>14,9606 | 540,000<br>21,2598 | 400,000<br>15,7480     | 400,000<br>15,7480 | 422,000<br>16,6142 | 14760<br>3316000  | 6900<br>1552000         |  | 380RX2087                | RX-1 |
| 390,000<br>15,3543 | 540,000<br>21,2598 | 320,000<br>12,5984     | 320,000<br>12,5984 | 431,000<br>16,9685 | 11440<br>2576000  | 5540<br>1248000         |  | 390RX2088                | RX-1 |
| 390,000<br>15,3543 | 550,000<br>21,6535 | 400,000<br>15,7480     | 400,000<br>15,7480 | 432,204<br>17,0159 | 13960<br>3136000  | 6680<br>1500000         |  | 390RY2103                | RY-2 |
| 400,000<br>15,7480 | 560,000<br>22,0472 | 410,000<br>16,1417     | 410,000<br>16,1417 | 445,000<br>17,5197 | 16440<br>3700000  | 7460<br>1676000         |  | 400RX2123                | RX-1 |
| 431,500<br>16,9882 | 571,500<br>22,5000 | 300,000<br>11,8110     | 300,000<br>11,8110 | 465,000<br>18,3071 | 10600<br>2388000  | 5200<br>1170000         |  | 431RX2141                | RX-1 |
| 440,000<br>17,3228 | 620,000<br>24,4094 | 450,000<br>17,7165     | 450,000<br>17,7165 | 487,000<br>19,1732 | 20200<br>4560000  | 9100<br>2040000         |  | 440RX2245                | RX-1 |
| 460,000<br>18,1102 | 685,000<br>26,9685 | 400,000<br>15,7480     | 400,000<br>15,7480 | 518,000<br>20,3937 | 15880<br>3576000  | 8780<br>1972000         |  | 460RX2371                | RX-1 |
| 480,000<br>18,8976 | 650,000<br>25,5906 | 450,000<br>17,7165     | 450,000<br>17,7165 | 525,000<br>20,6693 | 21960<br>4920000  | 9540<br>2140000         |  | 480RX2303B               | RX-1 |
| 500,000<br>19,6850 | 670,000<br>26,3780 | 485,000<br>19,0945     | 450,000<br>17,7165 | 540,000<br>21,2598 | 22200<br>5000000  | 9520<br>2140000         |  | 500RX2345A               | RX-4 |
| 500,000<br>19,6850 | 710,000<br>27,9528 | 480,000<br>18,8976     | 480,000<br>18,8976 | 558,000<br>21,9685 | 23800<br>5360000  | 10780<br>2420000        |  | 500RX2422                | RX-1 |
| 500,000<br>19,6850 | 720,000<br>28,3465 | 530,000<br>20,8661     | 530,000<br>20,8661 | 568,000<br>22,3622 | 28680<br>6440000  | 12440<br>2800000        |  | 500RX2443                | RX-1 |
| 510,000<br>20,0787 | 680,000<br>26,7717 | 500,000<br>19,6850     | 500,000<br>19,6850 | 560,000<br>22,0472 | 26040<br>5840000  | 10280<br>2320000        |  | 510RX2364                | RX-1 |
| 510,000<br>20,0787 | 730,000<br>28,7402 | 520,000<br>20,4724     | 520,000<br>20,4724 | 569,000<br>22,4016 | 27280<br>6120000  | 12680<br>2860000        |  | 510RX2461                | RX-1 |
| 530,000<br>20,8661 | 760,000<br>29,9213 | 520,000<br>20,4724     | 520,000<br>20,4724 | 587,000<br>23,1102 | 27680<br>6240000  | 13080<br>2940000        |  | 530RX2522                | RX-1 |
| 550,000<br>21,6535 | 740,000<br>29,1339 | 510,000<br>20,0787     | 510,000<br>20,0787 | 600,000<br>23,6220 | 28400<br>6400000  | 11780<br>2640000        |  | 550RX2484                | RX-1 |

<sup>(1)</sup>Baseado em uma vida útil  $L_{10}$  de  $1 \times 10^6$  revoluções, para o método de cálculo de vida útil ISO.<sup>(2)</sup>A folga radial interna (RIC) para o conjunto do rolamento deve ser incluída ao fazer o pedido a) do conjunto completo ou b) com o conjunto do anel interno. É aconselhável fazer o pedido do conjunto do anel interno independentemente do conjunto do anel externo quando a retífica final do D.E. do anel interno for realizada após a montagem do pESCOÇO do cilindro.

| Designação da peça do subconjunto       |                          | Dados de montagem |                       |                     |                       | Dados de lubrificação |                    |                   | Peso              |
|---|--------------------------|-------------------|-----------------------|---------------------|-----------------------|-----------------------|--------------------|-------------------|-------------------|
|   |                          | Chanfro           |                       | Diâmetro do encosto |                       | Canal g               | Diâmetro do furo h | Número de furos z |                   |
| Conjunto do anel interno <sup>(2)</sup> | Conjunto do anel externo | r <sub>smin</sub> | r <sub>1smin</sub>    | Eixo d <sub>s</sub> | Mancal D <sub>s</sub> | mm pol.               | mm pol.            | kg lb             |                   |
| 300ARYS2002                             | 354RYS2002               | 5,0<br>0,20       | 5,0<br>0,20           | 347,4<br>13,68      | 454,3<br>17,89        | 18,0<br>0,71          | 10,0<br>0,39       | 8                 | 288,70<br>635,10  |
| 330ARXS1922                             | 365RXS1922               | 2,3<br>0,09       | 10,5x20°<br>0,41x20°  | 357,1<br>14,06      | 429,0<br>16,89        | 12,0<br>0,47          | 6,0<br>0,24        | 8                 | 176,30<br>387,80  |
| 340ARXS1965A                            | 378RXS1965A              | 3,0<br>0,12       | 7x20°<br>0,28x20°     | 370,1<br>14,57      | 446,0<br>17,56        | 16,0<br>0,63          | 7,5<br>0,30        | 12                | 179,20<br>394,20  |
| 340ARYSL1963                            | 378RYS1L1963             | 3,0<br>0,12       | 8x20°<br>0,32x20°     | 370,6<br>14,59      | 446,0<br>17,56        | —                     | —                  | —                 | 201,30<br>442,90  |
| 370ARXS2045                             | 409RXS2045               | 1,5<br>0,06       | 10x20°<br>0,39X20°    | 401<br>15,79        | 485,0<br>19,09        | 16,0<br>0,63          | 7,5<br>0,30        | 10                | 257,00<br>565,30  |
| 380ARXS2089                             | 421RXS2089               | 2,0<br>0,08       | 10x20°<br>0,39X20°    | 413<br>16,26        | 505,0<br>19,88        | 12,3<br>0,48          | 6,0<br>0,24        | 16                | 222,10<br>488,50  |
| 380ARXS2086A                            | 422RXS2086               | 4,0<br>0,16       | 7x20°<br>0,28x20°     | 414<br>16,30        | 504,0<br>19,84        | 16,0<br>0,63          | 7,5<br>0,30        | 8                 | 288,30<br>634,20  |
| 380ARXS2087                             | 422RXS2087               | 2,0<br>0,08       | 10x20°<br>0,39X20°    | 412,8<br>16,25      | 502,0<br>19,76        | 16,0<br>0,63          | 8,0<br>0,31        | 8                 | 297,80<br>655,10  |
| 390ARXS2088                             | 431RXS2088               | 2,0<br>0,08       | 10x20°<br>0,39X20°    | 422,4<br>16,63      | 509,0<br>20,04        | 15,0<br>0,59          | 7,5<br>0,30        | 16                | 223,80<br>492,40  |
| 390ARYS2103                             | 432RYS2103               | 4,0<br>0,16       | 11x20°<br>0,43X20°    | 423,1<br>16,66      | 512,2<br>20,17        | 16,0<br>0,63          | 8,0<br>0,31        | 10                | 304,50<br>669,90  |
| 400ARXS2123                             | 445RXS2123               | 4<br>0,16         | 12x20°<br>0,47x20°    | 436<br>17,17        | 525,0<br>20,67        | 16,0<br>0,63          | 7,5<br>0,30        | 10                | 319,90<br>703,70  |
| 431ARXS2141                             | 465RXS2141               | 4<br>0,16         | 10,5x20°<br>0,41x20°  | 456,4<br>17,97      | 545,0<br>21,46        | 18,0<br>0,71          | 9,0<br>0,35        | 8                 | 197,10<br>434,50  |
| 440ARXS2245                             | 487RXS2245               | 4<br>0,16         | 12x20°<br>0,47x20°    | 477,4<br>18,80      | 577,0<br>22,72        | 16,0<br>0,63          | 7,5<br>0,30        | 8                 | 438,80<br>965,30  |
| 460ARXS2371                             | 518RXS2371               | 3<br>0,12         | 11x20°<br>0,43X20°    | 508,4<br>20,02      | 638,0<br>25,12        | 18,0<br>0,71          | 9,0<br>0,35        | 12                | 530,50<br>1167,10 |
| 480ARXS2303B                            | 525RXS2303               | 5<br>0,20         | 12,7x20°<br>0,50x20°  | 514,5<br>20,26      | 615,0<br>24,21        | 18,0<br>0,71          | 9,0<br>0,35        | 12                | 433,40<br>953,40  |
| 500ARXS2345A                            | 540RXS2345               | 5<br>0,20         | 12,5x20°<br>0,49x20°  | 531<br>20,91        | 630,0<br>24,80        | 19,3<br>0,76          | 9,5<br>0,37        | 12                | 457,80<br>1007,30 |
| 500ARXS2422                             | 558RXS2422               | 6<br>0,24         | 18x20°<br>0,71x20°    | 545,7<br>21,48      | 662,0<br>26,06        | 22,0<br>0,87          | 12,0<br>0,47       | 12                | 617,20<br>1357,90 |
| 500ARXS2443                             | 568RXS2443               | 5<br>0,20         | 13x20°<br>0,51x20°    | 556,6<br>21,91      | 672,0<br>26,46        | 22,0<br>0,87          | 12,0<br>0,47       | 16                | 737,30<br>1622,00 |
| 510ARXS2364                             | 560RXS2364               | 5<br>0,20         | 14x20°<br>0,551x20°   | 549,7<br>21,64      | 644,0<br>25,35        | 19,3<br>0,76          | 9,5<br>0,37        | 12                | 514,60<br>1132,20 |
| 510ARXS2461                             | 569RXS2461               | 6<br>0,24         | 17,50x20°<br>0,69x20° | 556,7<br>21,92      | 685,0<br>26,97        | 19,3<br>0,76          | 9,5<br>0,37        | 12                | 750,00<br>1653,45 |
| 530ARXS2522                             | 587RXS2522               | 5<br>0,20         | 12x20°<br>0,47x20°    | 576<br>22,68        | 707,0<br>27,83        | 19,3<br>0,76          | 9,5<br>0,37        | 12                | 787,20<br>1731,80 |
| 550ARXS2484                             | 600RXS2484               | 2<br>0,08         | 15x20°<br>0,59x20°    | 588,5<br>23,17      | 698,0<br>27,48        | 22,0<br>0,87          | 12,0<br>0,47       | 16                | 631,70<br>1389,70 |

Continua na próxima página.

*Rolamentos de rolos cilíndricos de quatro carreiras* – *continuação*

| Furo<br>d<br><br>mm<br>pol. | D.E.<br>D<br><br>mm<br>pol. | Dimensões do rolamento         |                                |                                  |  | Capacidade de carga   |                                      | Designação da peça |  |
|-----------------------------|-----------------------------|--------------------------------|--------------------------------|----------------------------------|--|---|--------------------------------------|--------------------|--|
|                             |                             | Largura<br>B<br><br>mm<br>pol. | Largura<br>C<br><br>mm<br>pol. | DUR/DOR<br>F/E<br><br>mm<br>pol. | Estático<br>C <sub>0</sub><br><br>kN<br>lbf. | Dinâmico<br>C <sub>1</sub> <sup>(1)</sup><br><br>kN<br>lbf. | Rolamento <sup>(2)</sup><br><br>RX-1 | Tipo               |  |
| 560,000<br>22,0472          | 820,000<br>32,2835          | 600,000<br>23,6220             | 600,000<br>23,6220             | 625,000<br>24,6063               | 34240<br>7720000                             | 16180<br>3640000  | 560RX2644                            | RX-1               |  |
| 571,100<br>22,4843          | 812,970<br>32,0067          | 594,000<br>23,3858             | 594,000<br>23,3858             | 636,000<br>25,0394               | 35000<br>7880000                             | 15440<br>3480000  | 571RX2622                            | RX-1               |  |
| 600,000<br>23,6220          | 820,000<br>32,2835          | 575,000<br>22,6378             | 575,000<br>22,6378             | 660,000<br>25,9843               | 36120<br>8120000                             | 14780<br>3320000  | 600RX2643A                           | RX-1               |  |
| 600,000<br>23,6220          | 820,000<br>32,2835          | 575,000<br>22,6378             | 575,000<br>22,6378             | 660,000<br>25,9843               | 36120<br>8120000                             | 14780<br>3320000  | 600RX2643B                           | RX-9               |  |
| 600,000<br>23,6220          | 870,000<br>34,2520          | 640,000<br>25,1969             | 640,000<br>25,1969             | 672,000<br>26,4567               | 40000<br>9000000                             | 18040<br>4060000  | 600RX2744                            | RX-1               |  |
| 650,000<br>25,5906          | 900,000<br>35,4331          | 650,000<br>25,5906             | 650,000<br>25,5906             | 704,000<br>27,7165               | 41200<br>9280000                             | 18980<br>4260000  | 650RX2803A                           | RX-1               |  |
| 650,000<br>25,5906          | 920,000<br>36,2205          | 670,000<br>26,3780             | 670,000<br>26,3780             | 723,000<br>28,4646               | 45600<br>10240000                            | 19520<br>4380000  | 650RX2841C                           | RX-1               |  |
| 690,000<br>27,1654          | 980,000<br>38,5827          | 715,000<br>28,1496             | 715,000<br>28,1496             | 767,500<br>30,2165               | 53200<br>11960000                            | 22400<br>5040000  | 690RX2965                            | RX-1               |  |
| 690,000<br>27,1654          | 980,000<br>38,5827          | 750,000<br>29,5276             | 750,000<br>29,5276             | 766,000<br>30,1575               | 54800<br>12320000                            | 23000<br>5160000  | 690RX2966                            | RX-9               |  |
| 700,000<br>27,5591          | 930,000<br>36,6142          | 620,000<br>24,4094             | 620,000<br>24,4094             | 763,000<br>30,0394               | 44400<br>10000000                            | 16920<br>380000   | 700RX2862                            | RX-1               |  |
| 700,000<br>27,5591          | 980,000<br>38,5827          | 700,000<br>27,5591             | 700,000<br>27,5591             | 774,000<br>30,4724               | 51200<br>11520000                            | 21000<br>4720000  | 700RX2964A                           | RX-1               |  |
| 705,000<br>27,7559          | 1066,905<br>42,0041         | 635,000<br>25,0000             | 635,000<br>25,0000             | 796,000<br>31,3386               | 45200<br>10120000                            | 22600<br>5100000  | 705RX3131B                           | RX-1               |  |
| 710,000<br>27,9528          | 1000,000<br>39,3701         | 715,000<br>28,1496             | 715,000<br>28,1496             | 787,500<br>31,0039               | 54400<br>12240000                            | 22800<br>5120000  | 710RX3006                            | RX-1               |  |
| 730,000<br>28,7402          | 960,000<br>37,7953          | 620,000<br>24,4094             | 620,000<br>24,4094             | 790,000<br>31,1024               | 45200<br>10120000                            | 17500<br>3940000  | 730RX2922                            | RX-1               |  |
| 730,000<br>28,7402          | 1030,000<br>40,5512         | 750,000<br>29,5276             | 750,000<br>29,5276             | 809,000<br>31,8504               | 59200<br>13280000                            | 24600<br>5520000  | 730RX3064                            | RX-1               |  |
| 730,000<br>28,7402          | 1030,000<br>40,5512         | 750,000<br>29,5276             | 750,000<br>29,5276             | 809,000<br>31,8504               | 59200<br>13280000                            | 24600<br>5520000  | 730RX3064A                           | RX-11              |  |
| 750,000<br>29,5276          | 1000,000<br>39,3701         | 670,000<br>26,3780             | 670,000<br>26,3780             | 813,000<br>32,0079               | 52000<br>11680000                            | 20400<br>4580000  | 750RX3005                            | RX-1               |  |
| 760,000<br>29,9213          | 1080,000<br>42,5197         | 790,000<br>31,1024             | 790,000<br>31,1024             | 846,000<br>33,3071               | 63600<br>14320000                            | 26800<br>6040000  | 760RX3166                            | RX-1               |  |
| 760,925<br>29,9577          | 1079,600<br>42,5039         | 787,400<br>31,0000             | 787,400<br>31,0000             | 846,000<br>33,3071               | 64000<br>14440000                            | 26800<br>6040000  | 761RX3166B                           | RX-1               |  |
| 761,425<br>29,9774          | 1079,600<br>42,5039         | 787,400<br>31,0000             | 787,400<br>31,0000             | 846,000<br>33,3071               | 64000<br>14440000                            | 26800<br>6040000  | 761RX3166                            | RX-1               |  |
| 770,000<br>30,3150          | 1075,000<br>42,3228         | 770,000<br>30,3150             | 770,000<br>30,3150             | 847,000<br>33,3465               | 62800<br>14160000                            | 26000<br>5860000  | 770RX3151                            | RX-1               |  |
| 780,000<br>30,7087          | 1070,000<br>42,1260         | 780,000<br>30,7087             | 780,000<br>30,7087             | 853,000<br>33,5827               | 62400<br>14040000                            | 25400<br>5720000  | 780RX3141                            | RX-1               |  |

<sup>(1)</sup>Baseado em uma vida útil L<sub>10</sub> de 1 x 10<sup>6</sup> revoluções, para o método de cálculo de vida útil ISO.<sup>(2)</sup>A folga radial interna (RIC) para o conjunto do rolamento deve ser incluída ao fazer o pedido a) do conjunto completo ou b) com o conjunto do anel interno. É aconselhável fazer o pedido do conjunto do anel interno independentemente do conjunto do anel externo quando a retífica final do D.E. do anel interno for realizada após a montagem do pESCOço do cilindro.

| Designação da peça do subconjunto |             | Dados de montagem |                    |                     |                       | Dados de lubrificação |                    |                   | Peso               |  |
|-----------------------------------|-------------|-------------------|--------------------|---------------------|-----------------------|-----------------------|--------------------|-------------------|--------------------|--|
|                                   |             | Chanfro           |                    | Diâmetro do encosto |                       | Canal g               | Diâmetro do furo h | Número de furos z |                    |  |
|                                   |             | r <sub>smin</sub> | r <sub>1smin</sub> | Eixo d <sub>s</sub> | Mancal D <sub>s</sub> |                       |                    |                   |                    |  |
|                                   |             | mm pol.           | mm pol.            | mm pol.             | mm pol.               | mm pol.               | mm pol.            | kg lb             |                    |  |
| 560ARXS2644                       | 625RXS2644  | 6<br>0,24         | 20x20°<br>0,79x20° | 611,4<br>24,07      | 761,0<br>29,96        | 25,3<br>1,00          | 13,0<br>0,51       | 16                | 1095,40<br>2409,90 |  |
| 571ARXS2622                       | 636RXS2622  | 5<br>0,20         | 14x20°<br>0,55x20° | 623,3<br>24,54      | 758,0<br>29,84        | 25,3<br>1,00          | 13,0<br>0,51       | 16                | 1009,30<br>2220,40 |  |
| 600ARXS2643                       | 660RXS2643A | 3<br>0,12         | 15x20°<br>0,59x20° | 648,3<br>25,52      | 770,0<br>30,31        | 22,0<br>0,87          | 12,0<br>0,47       | 16                | 925,00<br>2035,00  |  |
| 600ARXS2643                       | 660RXS2643B | 3<br>0,12         | 15x20°<br>0,59x20° | 648,3<br>25,52      | 770,0<br>30,31        | 32,0<br>1,26          | 2x1,70<br>2x0,067  | 8                 | 923,70<br>2032,20  |  |
| 600ARXS2744                       | 672RXS2744  | 7,5<br>0,30       | 20x20°<br>0,79x20° | 658,3<br>25,92      | 808,0<br>31,81        | 19,3<br>0,76          | 9,5<br>0,37        | 16                | 1312,00<br>2891,90 |  |
| 650ARXS2803                       | 704RXS2803  | 7,5<br>0,30       | 20x20°<br>0,79x20° | 686,9<br>27,04      | 850,0<br>33,46        | 22,0<br>0,87          | 12,0<br>0,47       | 16                | 1244,90<br>2738,70 |  |
| 650ARXS2841                       | 723RXS2841  | 4<br>0,16         | 18x20°<br>0,71x20° | 705,9<br>27,79      | 859,0<br>33,82        | 25,3<br>1,00          | 13,0<br>0,51       | 16                | 1458,30<br>3208,20 |  |
| 690ARXS2965                       | 768RXS2965  | 4<br>0,16         | 20x20°<br>0,79x20° | 750,4<br>29,54      | 911,5<br>35,89        | 25,3<br>1,00          | 13,0<br>0,51       | 16                | 1781,40<br>3919,00 |  |
| 690ARXS2966                       | 766RXS2966  | 7,5<br>0,30       | 20x20°<br>0,79x20° | 749,6<br>29,51      | 910,0<br>35,83        | 46,0<br>1,81          | 2x1,70<br>2x0,067  | 12                | 1854,10<br>4079,10 |  |
| 700ARXS2862                       | 763RXS2862  | 3<br>0,12         | 18x20°<br>0,71x20° | 745,9<br>29,37      | 875,0<br>34,45        | 22,0<br>0,87          | 12,0<br>0,47       | 16                | 1188,70<br>2615,20 |  |
| 700ARXS2964A                      | 774RXS2964  | 6<br>0,24         | 13x15°<br>0,51x15° | 758,7<br>29,87      | 910,0<br>35,83        | 25,3<br>1,00          | 13,0<br>0,51       | 16                | 1690,00<br>3725,77 |  |
| 705ARXS3131B                      | 796RXS3131  | 6<br>0,24         | 6<br>0,24          | 784,5<br>30,89      | 986,0<br>38,82        | 34,0<br>1,34          | 19,0<br>0,75       | 16                | 2081,90<br>4580,10 |  |
| 710ARXS3006                       | 788RXS3006  | 4<br>0,16         | 17x20°<br>0,67x20° | 773,5<br>30,45      | 931,5<br>36,67        | 25,3<br>1,00          | 13,0<br>0,51       | 16                | 1840,60<br>4049,40 |  |
| 730ARXS2922                       | 790RXS2922  | 3<br>0,12         | 20x20°<br>0,79x20° | 776,3<br>30,56      | 908,0<br>35,75        | 22,0<br>0,87          | 12,0<br>0,47       | 16                | 1230,50<br>2707,20 |  |
| 730ARXS3064                       | 809RXS3064  | 6<br>0,24         | 21x20°<br>0,83x20° | 793,9<br>31,26      | 959,0<br>37,76        | 25,3<br>1,00          | 13,0<br>0,51       | 16                | 2050,10<br>4510,20 |  |
| 730ARXS3064                       | 809RXS3064A | 6<br>0,24         | 21x20°<br>0,83x20° | 793,9<br>31,26      | 959,0<br>37,76        | 25,3<br>1,00          | 13,0<br>0,51       | 16                | 2043,70<br>4496,00 |  |
| 750ARXS3005                       | 813RXS3005  | 3<br>0,12         | 20x20°<br>0,79x20° | 795,9<br>31,33      | 943,0<br>37,13        | 22,0<br>0,87          | 12,0<br>0,47       | 16                | 1508,70<br>3319,10 |  |
| 760ARXS3166                       | 846RXS3166B | 8<br>0,31         | 19x20°<br>0,75x20° | 830,5<br>32,70      | 1006,0<br>39,61       | 22,0<br>0,87          | 12,0<br>0,47       | 8                 | 2423,00<br>5330,70 |  |
| 761ARXS3166B                      | 846RXS3166A | 8<br>0,31         | 19x20°<br>0,75x20° | 830,5<br>32,70      | 1006,0<br>39,61       | 22,0<br>0,87          | 12,0<br>0,47       | 8                 | 2406,30<br>5293,90 |  |
| 761ARXS3166                       | 846RXS3166  | 8<br>0,31         | 19x20°<br>0,75x20° | 830,5<br>32,70      | 1006,0<br>39,61       | 22,0<br>0,87          | 12,0<br>0,47       | 8                 | 2402,60<br>5285,80 |  |
| 770ARXS3151                       | 847RXS3151  | 7,5<br>0,30       | 18x20°<br>0,71x20° | 831,7<br>32,74      | 1003,0<br>39,49       | 25,3<br>1,00          | 13,0<br>0,51       | 16                | 1655,00<br>3648,61 |  |
| 780ARXS3141                       | 853RXS3141  | 6<br>0,24         | 25x20°<br>0,98x20° | 835,9<br>32,91      | 1005,0<br>39,57       | 25,3<br>1,00          | 13,0<br>0,51       | 16                | 2142,00<br>4712,30 |  |

Continua na próxima página.

**Rolamentos de rolos cilíndricos de quatro carreiras** – *continuação*

| Dimensões do rolamento |                     |                     |                     |                     |                    | Capacidade de carga  |                          | Designação da peça |  |
|------------------------|---------------------|---------------------|---------------------|---------------------|--------------------|----------------------|--------------------------|--------------------|--|
| Furo d                 | D.E. D              | Largura B           | Largura C           | DUR/DOR F/E         | Estático $C_0$     | Dinâmico $C_1^{(1)}$ | Rolamento <sup>(2)</sup> | Tipo               |  |
| mm pol.                | mm pol.             | mm pol.             | mm pol.             | mm pol.             | kN lbf.            | kN lbf.              |                          |                    |  |
| 800,000<br>31,4961     | 1080,000<br>42,5197 | 700,000<br>27,5591  | 700,000<br>27,5591  | 878,000<br>34,5669  | 59200<br>13280000  | 22600<br>5100000     | 800RX3165                | RX-1               |  |
| 800,000<br>31,4961     | 1080,000<br>42,5197 | 750,000<br>29,5276  | 750,000<br>29,5276  | 880,000<br>34,6457  | 58800<br>13240000  | 22600<br>5080000     | 800RX3164                | RX-1               |  |
| 820,000<br>32,2835     | 1130,000<br>44,4882 | 650,000<br>25,5906  | 650,000<br>25,5906  | 891,000<br>35,0787  | 52400<br>11800000  | 23200<br>5220000     | 820RX3263                | RX-1               |  |
| 820,000<br>32,2835     | 1100,000<br>43,3071 | 745,000<br>29,3307  | 720,000<br>28,3465  | 892,000<br>35,1181  | 57600<br>12960000  | 23000<br>5180000     | 820RX3201A               | RX-10              |  |
| 820,000<br>32,2835     | 1130,000<br>44,4882 | 800,000<br>31,4961  | 800,000<br>31,4961  | 903,000<br>35,5512  | 68400<br>15360000  | 27400<br>6160000     | 820RX3264                | RX-1               |  |
| 820,000<br>32,2835     | 1130,000<br>44,4882 | 800,000<br>31,4961  | 800,000<br>31,4961  | 903,000<br>35,5512  | 68400<br>15360000  | 27400<br>6160000     | 820RX3264A               | RX-9               |  |
| 820,000<br>32,2835     | 1130,000<br>44,4882 | 825,000<br>32,4803  | 800,000<br>31,4961  | 903,000<br>35,5512  | 68400<br>15360000  | 27400<br>6160000     | 820RX3264C               | RX-8               |  |
| 820,000<br>32,2835     | 1130,000<br>44,4882 | 825,000<br>32,4803  | 800,000<br>31,4961  | 903,000<br>35,5512  | 68400<br>15360000  | 27400<br>6160000     | 820RX3264D               | RX-10              |  |
| 850,000<br>33,4646     | 1150,000<br>45,2756 | 840,000<br>33,0709  | 840,000<br>33,0709  | 928,000<br>36,5354  | 74800<br>16800000  | 28800<br>6480000     | 850RX3304                | RX-1               |  |
| 850,000<br>33,4646     | 1180,000<br>46,4567 | 850,000<br>33,4646  | 850,000<br>33,4646  | 940,000<br>37,0079  | 72800<br>16400000  | 29600<br>6660000     | 850RX3365                | RX-1               |  |
| 862,980<br>33,9756     | 1219,302<br>48,0040 | 876,300<br>34,5000  | 889,000<br>35,0000  | 956,000<br>37,6378  | 84000<br>18840000  | 34600<br>7780000     | 863RX3445A               | RX-1               |  |
| 880,000<br>34,6457     | 1180,000<br>46,4567 | 750,000<br>29,5276  | 750,000<br>29,5276  | 945,000<br>37,2047  | 68000<br>15240000  | 27400<br>6140000     | 880RXK3364A              | RXK-1              |  |
| 880,000<br>34,6457     | 1180,000<br>46,4567 | 750,000<br>29,5276  | 750,000<br>29,5276  | 945,300<br>37,2165  | 66400<br>14920000  | 26600<br>6000000     | 880RXK3366               | RXK-2              |  |
| 900,000<br>35,4331     | 1220,000<br>48,0315 | 840,000<br>33,0709  | 840,000<br>33,0709  | 989,000<br>38,9370  | 78800<br>17680000  | 30200<br>6780000     | 900RX3444                | RX-1               |  |
| 950,000<br>37,4016     | 1360,000<br>53,5433 | 1000,000<br>39,3701 | 1000,000<br>39,3701 | 1075,000<br>42,3228 | 108800<br>24480000 | 43200<br>9700000     | 950RX3723                | RX-1               |  |
| 1040,000<br>40,9449    | 1439,890<br>56,6886 | 1000,000<br>39,3701 | 1000,000<br>39,3701 | 1133,000<br>44,6063 | 101200<br>22760000 | 42600<br>9580000     | 1040RX3882               | RX-7               |  |

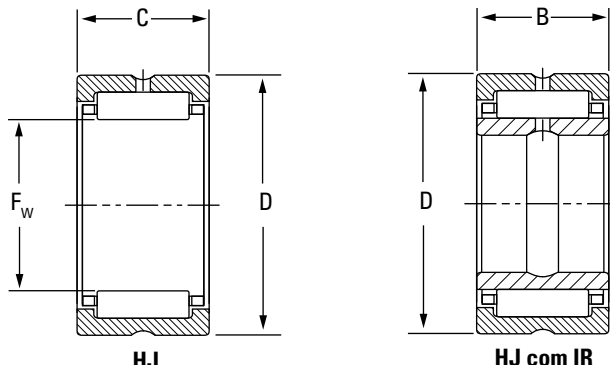
(1)Baseado em uma vida útil  $L_{10}$  de  $1 \times 10^6$  revoluções, para o método de cálculo de vida útil ISO.

(2)A folga radial interna (RIC) para o conjunto do rolamento deve ser incluída ao fazer o pedido a) do conjunto completo ou b) com o conjunto do anel interno. É aconselhável fazer o pedido do conjunto do anel interno independentemente do conjunto do anel externo quando a retífica final do D.E. do anel interno for realizada após a montagem do pESCOÇO do cilindro.

| Designação da peça do subconjunto |             | Dados de montagem |                          |                     |                       | Dados de lubrificação |                    |                   | Peso                |  |
|-----------------------------------|-------------|-------------------|--------------------------|---------------------|-----------------------|-----------------------|--------------------|-------------------|---------------------|--|
|                                   |             | Chanfro           |                          | Diâmetro do encosto |                       | Canal g               | Diâmetro do furo h | Número de furos z |                     |  |
|                                   |             | r <sub>smin</sub> | r <sub>1smin</sub>       | Eixo d <sub>s</sub> | Mancal D <sub>s</sub> |                       |                    |                   |                     |  |
|                                   |             | mm pol.           | mm pol.                  | mm pol.             | mm pol.               | mm pol.               | mm pol.            | kg lb             |                     |  |
| 800ARXS3165                       | 878RXS3165  | 3<br>0,12         | 20x20°<br>0,79x20°       | 864,3<br>34,03      | 1014,0<br>39,92       | 26,0<br>1,02          | 15,0<br>0,59       | 16                | 1915,60<br>4214,40  |  |
| 800ARXS3164                       | 880RXS3164  | —<br>—            | 18x20°<br>0,71x20°       | 863,7<br>34,00      | 1016,0<br>40,00       | 25,3<br>1,00          | 13,0<br>0,51       | 16                | 2050,00<br>4519,43  |  |
| 820ARXS3263                       | 891RXS3263  | 6<br>0,24         | 20x20°<br>0,79x20°       | 873,8<br>34,40      | 1061,0<br>41,77       | 25,3<br>1,00          | 13,0<br>0,51       | 16                | 2030,00<br>4475,34  |  |
| 820ARXS3201A                      | 892RXS3201A | 3<br>0,12         | 22x20°<br>0,87x20°       | 872,2<br>34,34      | 1036,0<br>40,79       | 42,0<br>1,65          | 2x1,70<br>2x0,067  | 12                | 1969,80<br>4333,60  |  |
| 820ARXS3264                       | 903RXS3264  | 7,5<br>0,30       | 23x20°<br>0,91x20°       | 882,5<br>34,74      | 1059,0<br>41,69       | 36,0<br>1,42          | 20,0<br>0,79       | 16                | 2490,40<br>5478,80  |  |
| 820ARXS3264                       | 903RXS3264A | 7,5<br>0,30       | 23x20°<br>0,91x20°       | 882,5<br>34,74      | 1059,0<br>41,69       | 46,0<br>1,81          | 2x1,70<br>2x0,067  | 12                | 2495,00<br>5497,50  |  |
| 820ARXS3264C                      | 903RXS3264  | 7,5<br>0,30       | 23x20°<br>0,91x20°       | 882,5<br>34,74      | 1059,0<br>41,69       | 36,0<br>1,42          | 20,0<br>0,79       | 16                | 2512,30<br>5527,10  |  |
| 820ARXS3264C                      | 903RXS3264A | 7,5<br>0,30       | 23x20°<br>0,91x20°       | 882,5<br>34,74      | 1059,0<br>41,69       | 46,0<br>1,81          | 2x1,70<br>2x0,067  | 12                | 2495,00<br>5545,40  |  |
| 850ARXS3304                       | 928RXS3304  | 4<br>0,16         | 23x20°<br>0,91x20°       | 910,8<br>35,86      | 1080,0<br>42,52       | 22,0<br>0,87          | 12,0<br>0,47       | 16                | 2605,20<br>5731,50  |  |
| 850ARXS3365                       | 940RXS3365  | 7,5<br>0,30       | 25x11°20'<br>0,98x11°20' | 911,7<br>35,89      | 1106,0<br>43,54       | 36,0<br>1,42          | 20,0<br>0,79       | 16                | 2870,00<br>6408,00  |  |
| 863ARXS3445A                      | 956RXS3445A | 5<br>0,20         | 12x20°<br>0,47x20°       | 938,2<br>36,94      | 1140,0<br>44,88       | 25,3<br>1,00          | 13,0<br>0,51       | 16                | 3431,30<br>7548,90  |  |
| 880ARVKS3364                      | 945RXS3364A | 7,5<br>0,30       | 8<br>0,31                | 930<br>36,61        | 1105,0<br>43,50       | 46,0<br>1,81          | 2x1,70<br>2x0,067  | 8                 | 2510,70<br>5523,60  |  |
| 880ARVKS3366                      | 945RXS3366  | 7,5<br>0,30       | 8<br>0,31                | 930<br>36,61        | 1105,0<br>43,50       | 27,0<br>1,06          | 15,0<br>0,59       | 20                | 2497,40<br>5494,20  |  |
| 900ARXS3444                       | 989RXS3444  | 4<br>0,16         | 24x24°<br>0,95x20°       | 971,8<br>38,26      | 1149,0<br>45,24       | 22,0<br>0,87          | 12,0<br>0,47       | 16                | 2959,20<br>6510,30  |  |
| 950ARXS3723                       | 1075RXS3723 | 5<br>0,20         | 22x24°<br>0,87x20°       | 1057,1<br>41,62     | 1275,0<br>50,20       | 34,0<br>1,34          | 19,0<br>0,75       | 16                | 4987,00<br>10971,50 |  |
| 1040ARXS3882                      | 1133RXS3882 | 7,5<br>0,30       | 27x20°<br>1,06x20°       | 1110,2<br>43,71     | 1353,0<br>53,27       | 22,0<br>0,87          | 12,0<br>0,47       | 16                | 4975,50<br>10969,80 |  |

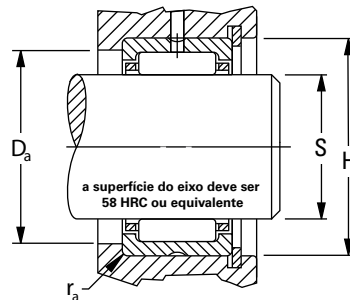
## SÉRIE HJ

- Ajuste com folga, sugerido para o anel externo quando o alojamento é estacionário em relação à carga.
- Ajuste de transição interferente sugerido se o alojamento gira em relação à carga.
- Consulte o seu representante Timken para aplicações oscilantes (por exemplo, problemas de pouca folga radial).
- A extremidade sem marca do anel externo deve ser montada apoiada no ressalto do alojamento.
- Atende à Norma Militar MS 51961.



| Diâmetro do eixo<br>pol. | Dimensões                    |                 |                   |                                  | Dimensões do rolamento | Usado com a designação do anel interno           | Capacidade de carga                   |  | Classificações de velocidade |       |
|--------------------------|------------------------------|-----------------|-------------------|----------------------------------|------------------------|--|---------------------------------------|--|------------------------------|-------|
|                          | F <sub>w</sub><br>mm<br>pol. | D<br>mm<br>pol. | C/B<br>mm<br>pol. | r <sub>s min</sub><br>mm<br>pol. |                        |  | Estático C <sub>0</sub><br>kN<br>lbf. | Dinâmica básica C <sup>(1)</sup><br>kN<br>lbf. | Óleo                         | Graxa |
| 3,75                     | 95,25<br>3,75                | 120,65<br>4,75  | 50,8<br>2         | 2,54<br>0,1                      | HJ-607632              | IR-506032<br>IR-526032                           | 398<br>89400                          | 193<br>43300                                   | 3700                         | 3300  |
| 4                        | 101,6<br>4                   | 127<br>5        | 50,8<br>2         | 2,54<br>0,1                      | HJ-648032              | IR-526432<br>IR-546432<br>IR-566432<br>IR-566432 | 428<br>96200                          | 201<br>45100                                   | 3500                         | 3100  |
| 4,25                     | 107,95<br>4,25               | 133,35<br>5,25  | 50,8<br>2         | 2,54<br>0,1                      | HJ-688432              | IR-566832<br>IR-606832                           | 444<br>99900                          | 203<br>45700                                   | 3300                         | 2900  |
| 4,5                      | 114,3<br>4,5                 | 152,4<br>6      | 57,15<br>2,25     | 2,54<br>0,1                      | HJ-729636              | IR-607236  | 517<br>116000                         | 285<br>64000                                   | 3200                         | 2800  |
|                          | 114,3<br>4,5                 | 152,4<br>6      | 63,5<br>2,5       | 2,54<br>0,1                      | HJ-729640              | IR-607240  | 599<br>135000                         | 320<br>71900                                   | 3200                         | 2800  |
| 5                        | 127<br>5                     | 165,1<br>6,5    | 50,8<br>2         | 2,54<br>0,1                      | HJ-8010432             | —  | 517<br>116000                         | 278<br>62400                                   | 2800                         | 2400  |
|                          | 127<br>5                     | 165,1<br>6,5    | 57,15<br>2,25     | 2,54<br>0,1                      | HJ-8010436             | IR-648036<br>IR-688036                           | 590<br>133000                         | 308<br>69200                                   | 2800                         | 2500  |
|                          | 127<br>5                     | 165,1<br>6,5    | 63,5<br>2,5       | 2,54<br>0,1                      | HJ-8010440             | IR-648040  | 684<br>154000                         | 345<br>77600                                   | 2800                         | 2500  |
| 5,5                      | 139,7<br>5,5                 | 177,8<br>7      | 63,5<br>2,5       | 2,54<br>0,1                      | HJ-8811240             | IR-728840  | 697<br>157000                         | 342<br>76900                                   | 2600                         | 2300  |
|                          | 139,7<br>5,5                 | 177,8<br>7      | 76,2<br>3         | 2,54<br>0,1                      | HJ-8811248             | IR-728848  | 883<br>198000                         | 411<br>92400                                   | 2500                         | 2200  |
| 5,75                     | 146,05<br>5,75               | 184,15<br>7,25  | 76,2<br>3         | 3,05<br>0,12                     | HJ-9211648             | IR-769248  | 918<br>206000                         | 419<br>94200                                   | 2400                         | 2100  |
| 6                        | 152,4<br>6                   | 190,5<br>7,5    | 63,5<br>2,5       | 3,05<br>0,12                     | HJ-9612040             | IR-809640  | 777<br>175000                         | 364<br>81800                                   | 2300                         | 2000  |
|                          | 152,4<br>6                   | 190,5<br>7,5    | 76,2<br>3         | 3,05<br>0,12                     | HJ-9612048             | IR-809648  | 984<br>221000                         | 438<br>98400                                   | 2200                         | 2000  |

<sup>(1)</sup>Fator C<sub>0</sub> para o rolamento sem anel interno.



| Peso<br>kg<br>lb | Fator de<br>geometria<br>$C_g^{(1)}$ | Dimensões de montagem<br>e ajuste com folga |                    |                    |                    | Dimensões<br>do rolamento | Dimensões de Montagem<br>Ajuste de transição interferente |                    |                    |                    | Diâmetro<br>do ressalt<br>$\pm 0,38 \pm 0,015$<br>$D_a$ |
|------------------|--------------------------------------|---|--------------------|--------------------|--------------------|---------------------------|---|--------------------|--------------------|--------------------|---|
|                  |                                      | Máx.<br>mm<br>pol.                          | Mín.<br>mm<br>pol. | Máx.<br>mm<br>pol. | Mín.<br>mm<br>pol. |                           | Máx.<br>mm<br>pol.  | Mín.<br>mm<br>pol. | Máx.<br>mm<br>pol. | Mín.<br>mm<br>pol. |   |
| kg<br>lb         | mm<br>pol.                           | mm<br>pol.                                  | mm<br>pol.         | mm<br>pol.         | mm<br>pol.         |                           | mm<br>pol.  | mm<br>pol.         | mm<br>pol.         | mm<br>pol.         | mm<br>pol.  |
| 1,455<br>3,208   | 0,1011                               | 95,25<br>3,75                               | 95,227<br>3,7491   | 120,691<br>4,7516  | 120,65<br>4,75     | HJ-607632                 | 95,217<br>3,7487  | 95,192<br>3,7477   | 120,594<br>4,7478  | 120,635<br>4,7494  | 111,13<br>4,375   |
| 1,541<br>3,397   | 0,106                                | 101,6<br>4                                  | 101,577<br>3,9991  | 127,041<br>5,0016  | 127<br>5           | HJ-648032                 | 101,564<br>3,9986   | 101,542<br>3,9977  | 126,944<br>4,9978  | 126,985<br>4,9994  | 117,48<br>4,625   |
| 1,626<br>3,586   | 0,1099                               | 107,95<br>4,25                              | 107,927<br>4,2491  | 133,391<br>5,2516  | 133,35<br>5,25     | HJ-688432                 | 107,914<br>4,2486   | 107,892<br>4,2477  | 133,294<br>5,2478  | 133,335<br>5,2494  | 123,83<br>4,875   |
| 3,035<br>6,691   | 0,1100                               | 114,3<br>4,5                                | 114,277<br>4,4991  | 152,441<br>6,0016  | 152,4<br>6         | HJ-729636                 | 114,264<br>4,4986   | 114,242<br>4,4977  | 152,344<br>5,9978  | 152,385<br>5,9994  | 138,11<br>5,438   |
| 3,372<br>7,434   | 0,1137                               | 114,3<br>4,5                                | 114,277<br>4,4991  | 152,441<br>6,0016  | 152,4<br>6         | HJ-729640                 | 114,264<br>4,4986   | 114,242<br>4,4977  | 152,344<br>5,9978  | 152,385<br>5,9994  | 138,11<br>5,438   |
| 2,66<br>5,86     | 0,1162                               | 127<br>5                                    | 126,975<br>4,999   | 165,141<br>6,5016  | 165,1<br>6,5       | HJ-8010432                | 126,959<br>4,9984   | 126,934<br>4,9974  | 165,044<br>6,4978  | 165,085<br>6,4994  | 150,81<br>5,938   |
| 3,324<br>7,327   | 0,1188                               | 127<br>5                                    | 126,975<br>4,999   | 165,141<br>6,5016  | 165,1<br>6,5       | HJ-8010436                | 126,959<br>4,9984   | 126,934<br>4,9974  | 165,044<br>6,4978  | 165,085<br>6,4994  | 150,81<br>5,938   |
| 3,693<br>8,141   | 0,1213                               | 127<br>5                                    | 126,975<br>4,999   | 165,141<br>6,5016  | 165,1<br>6,5       | HJ-8010440                | 126,959<br>4,9984   | 126,934<br>4,9974  | 165,044<br>6,4978  | 165,085<br>6,4994  | 150,81<br>5,938   |
| 4,014<br>8,849   | 0,1297                               | 139,7<br>5,5                                | 139,675<br>5,499   | 177,841<br>7,0016  | 177,8<br>7         | HJ-8811240                | 139,659<br>5,4984   | 139,634<br>5,4974  | 177,744<br>6,9978  | 177,785<br>6,9994  | 163,51<br>6,438   |
| 4,817<br>10,62   | 0,1369                               | 139,7<br>5,5                                | 139,675<br>5,499   | 177,841<br>7,0016  | 177,8<br>7         | HJ-8811248                | 139,659<br>5,4984   | 139,634<br>5,4974  | 177,744<br>6,9978  | 177,785<br>6,9994  | 163,51<br>6,438   |
| 5,009<br>11,04   | 0,1409                               | 146,05<br>5,75                              | 146,025<br>5,749   | 184,196<br>7,2518  | 184,15<br>7,25     | HJ-9211648                | 146,009<br>5,7484   | 145,984<br>5,7474  | 184,089<br>7,2476  | 184,135<br>7,2494  | 169,86<br>6,688   |
| 4,335<br>9,557   | 0,1384                               | 152,4<br>6                                  | 152,375<br>5,999   | 190,546<br>7,5018  | 190,5<br>7,5       | HJ-9612040                | 152,359<br>5,9984   | 152,334<br>5,9974  | 190,439<br>7,4976  | 190,485<br>7,4994  | 176,21<br>6,938   |
| 5,202<br>11,47   | 0,1461                               | 152,4<br>6                                  | 152,375<br>5,999   | 190,546<br>7,5018  | 190,5<br>7,5       | HJ-9612048                | 152,359<br>5,9984   | 152,334<br>5,9974  | 190,439<br>7,4976  | 190,485<br>7,4994  | 176,21<br>6,938   |

Continua na próxima página.

**SÉRIE HJ** – *continuação*

| Diâmetro do eixo<br>pol. | Dimensões                    |                   |                   |                                  | Dimensões do rolamento | Usado com a designação do anel interno | Capacidade de carga                   |  | Classificações de velocidade |       |
|--------------------------|------------------------------|-------------------|-------------------|----------------------------------|------------------------|--|---------------------------------------|--|------------------------------|-------|
|                          | F <sub>w</sub><br>mm<br>pol. | D<br>mm<br>pol.   | C/B<br>mm<br>pol. | r <sub>s,min</sub><br>mm<br>pol. |                        |  | Estático C <sub>0</sub><br>kN<br>lbf. | Dinâmica básica C <sup>(1)</sup><br>kN<br>lbf. | Óleo                         | Graxa |
| 6,5                      | 165,1<br>6,5                 | 203,2<br>8        | 63,5<br>2,5       | 3,05<br>0,12                     | HJ-10412840            | IR-8810440                             | 832<br>187000                         | 376<br>84600                                   | 2100                         | 1800  |
|                          | 165,1<br>6,5                 | 203,2<br>8        | 76,2<br>3         | 3,05<br>0,12                     | HJ-10412848            | IR-8810448                             | 1050<br>237000                        | 452<br>102000                                  | 2000                         | 1800  |
| 7,25                     | 184,15<br>7,25               | 231,775<br>9,125  | 76,2<br>3         | 3,05<br>0,12                     | HJ-11614648            | IR-9611648                             | 1130<br>253000                        | 524<br>118000                                  | 1800                         | 1600  |
| 7,75                     | 196,85<br>7,75               | 244,475<br>9,625  | 76,2<br>3         | 3,05<br>0,12                     | HJ-12415448            | IR-10412448                            | 1210<br>271000                        | 543<br>122000                                  | 1600                         | 1400  |
| 8,25                     | 209,55<br>8,25               | 257,175<br>10,125 | 76,2<br>3         | 3,05<br>0,12                     | HJ-13216248            | IR-11213248                            | 1290<br>290000                        | 563<br>126000                                  | 1500                         | 1300  |
| 8,75                     | 222,25<br>8,75               | 269,875<br>10,625 | 76,2<br>3         | 4,06<br>0,16                     | HJ-14017048            | IR-12014048                            | 1370<br>308000                        | 581<br>131000                                  | 1400                         | 1200  |
| 9,25                     | 234,95<br>9,25               | 282,575<br>11,125 | 76,2<br>3         | 4,06<br>0,16                     | HJ-14817848            | IR-12814848                            | 1350<br>326000                        | 599<br>145000                                  | 1300                         | 1200  |

<sup>(1)</sup>Fator C<sub>0</sub> para o rolamento sem anel interno.

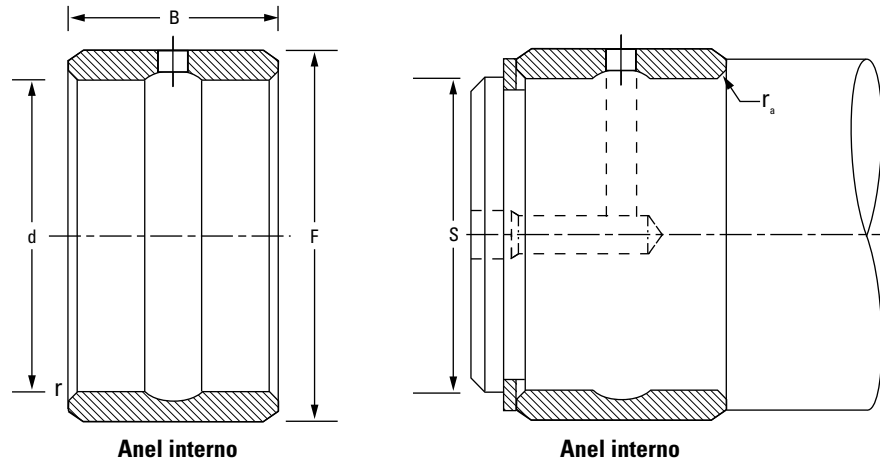
| Peso           | Fator de geometria<br>$C_g^{(1)}$ | Dimensões de montagem e ajuste com folga |                  |                   |                   | Dimensões do rolamento | Dimensões de Montagem Ajuste de transição interferente |                   |                   |                   | Diâmetro do ressalto<br>$\pm 0,38 \pm 0,015$<br>$D_a$ |
|----------------|-----------------------------------|--|------------------|-------------------|-------------------|------------------------|--|-------------------|-------------------|-------------------|---|
|                |                                   |  |                  |                   |                   |                        | S  |                   | H                 |                   |   |
|                |                                   | Máx.                                     | Mín.             | Máx.              | Mín.              |                        | Máx.   | Mín.              | Máx.              | Mín.              |   |
| kg<br>lb       | mm<br>pol.                        | mm<br>pol.                               | mm<br>pol.       | mm<br>pol.        | mm<br>pol.        |                        | mm<br>pol.   | mm<br>pol.        | mm<br>pol.        | mm<br>pol.        | mm<br>pol.  |
| 4,656<br>10,26 | 0,1459                            | 165,1<br>6,5                             | 165,075<br>6,499 | 203,246<br>8,0018 | 203,2<br>8        | HJ-10412840            | 165,059<br>6,4984                                      | 165,034<br>6,4974 | 203,139<br>7,9976 | 203,185<br>7,9994 | 188,91<br>7,438                                       |
| 5,582<br>12,31 | 0,1539                            | 165,1<br>6,5                             | 165,075<br>6,499 | 203,246<br>8,0018 | 203,2<br>8        | HJ-10412848            | 165,059<br>6,4984                                      | 165,034<br>6,4974 | 203,139<br>7,9976 | 203,185<br>7,9994 | 188,91<br>7,438                                       |
| 7,888<br>17,39 | 0,1586                            | 184,15<br>7,25                           | 184,12<br>7,2488 | 231,821<br>9,1268 | 231,775<br>9,125  | HJ-11614648            | 184,099<br>7,248                                       | 184,069<br>7,2468 | 231,714<br>9,1226 | 231,76<br>9,1244  | 216,0<br>8,5  |
| 8,37<br>18,45  | 0,1662                            | 196,85<br>7,75                           | 196,82<br>7,7488 | 244,521<br>9,6268 | 244,475<br>9,625  | HJ-12415448            | 196,799<br>7,748                                       | 196,769<br>7,7468 | 244,414<br>9,6226 | 244,46<br>9,6244  | 228,6<br>9  |
| 8,852<br>19,51 | 0,1736                            | 209,55<br>8,25                           | 209,52<br>8,2488 | 257,226<br>10,127 | 257,175<br>10,125 | HJ-13216248            | 209,499<br>8,248                                       | 209,469<br>8,2468 | 257,109<br>10,122 | 257,16<br>10,124  | 241,3<br>9,5  |
| 9,333<br>20,58 | 0,181                             | 222,25<br>8,75                           | 222,22<br>8,7488 | 269,926<br>10,627 | 269,875<br>10,625 | HJ-14017048            | 222,199<br>8,748                                       | 222,169<br>8,7468 | 269,809<br>10,622 | 269,86<br>10,624  | 254<br>10   |
| 9,815<br>21,64 | 0,1885                            | 234,95<br>9,25                           | 234,92<br>9,2488 | 282,626<br>11,127 | 282,575<br>11,125 | HJ-14817848            | 234,899<br>9,248                                       | 234,869<br>9,2468 | 282,509<br>11,122 | 282,56<br>11,124  | 266,7<br>10,5   |

**ANÉIS INTERNOS**

- A escolha ideal quando o eixo não é prático de usar como pista de rolamento interna.
- Projetados para atender às tolerâncias definidas em polegadas.
- O raio do filete do eixo máximo não pode exceder o chanfro do furo do anel interno, conforme mostrado.
- Canal (furo) de lubrificação centralizado opcional ou furo passante disponível – especifique ao fazer o pedido.
- Projetado para fixação axial apoiado no ressalto para montagem de transição com folga no eixo.
- Depois da montagem, para ajuste de transição interferente (evitando que o anel interno gire em relação ao eixo), o D.E. do anel interno não deve exceder o diâmetro da pista no rolamento correspondente.
- Depois da montagem, se o D.E. do anel interno exceder o diâmetro da pista requerido para o rolamento, o anel deve ser retificado até chegar ao diâmetro adequado, enquanto montado no eixo.
- A extremidade sem marca do anel interno deve ser montada no ressalto do eixo para garantir o alívio máximo permitido do filete do eixo, conforme indicado nas tabelas mostradas.

| Diâmetro do eixo | Dimensões       |                 |                 |                                  | Designação do anel interno | Peso          | Ajuste de transição com folga S |                    | Ajuste com interferência |                    | Usado com a designação do rolamento |
|------------------|-----------------|-----------------|-----------------|----------------------------------|----------------------------|---------------|---------------------------------|--------------------|--------------------------|--------------------|-------------------------------------|
|                  | d<br>pol.       | F<br>mm<br>pol. | B<br>mm<br>pol. | r <sub>s min</sub><br>mm<br>pol. |                            |               | Máx.<br>mm<br>pol.              | Mín.<br>mm<br>pol. | Máx.<br>mm<br>pol.       | Mín.<br>mm<br>pol. |                                     |
| 3,125            | 79,375<br>3,125 | 95,25<br>3,75   | 50,8<br>2       | 2,54<br>0,1                      | IR-506032                  | 0,88<br>1,94  | 79,365<br>3,1246                | 79,347<br>3,1239   | 79,398<br>3,1259         | 79,385<br>3,1254   | HJ-607632                           |
| 3,25             | 82,55<br>3,25   | 95,25<br>3,75   | 50,8<br>2       | 2,54<br>0,1                      | IR-526032                  | 0,708<br>1,56 | 82,537<br>3,2495                | 82,517<br>3,2487   | 82,578<br>3,2511         | 82,563<br>3,2505   | HJ-607632                           |
|                  | 82,55<br>3,25   | 101,6<br>4      | 50,8<br>2       | 2,54<br>0,1                      | IR-526432                  | 1,089<br>2,4  | 82,537<br>3,2495                | 82,517<br>3,2487   | 82,578<br>3,2511         | 82,563<br>3,2505   | HJ-648032                           |
| 3,375            | 85,725<br>3,375 | 101,6<br>4      | 50,8<br>2       | 2,54<br>0,1                      | IR-546432                  | 0,93<br>2,05  | 85,712<br>3,3745                | 85,692<br>3,3737   | 85,753<br>3,3761         | 85,738<br>3,3755   | HJ-648032                           |
| 3,5              | 88,9<br>3,5     | 101,6<br>4      | 50,8<br>2       | 2,54<br>0,1                      | IR-566432                  | 0,757<br>1,67 | 88,887<br>3,4995                | 88,867<br>3,4987   | 88,928<br>3,5011         | 88,913<br>3,5005   | HJ-648032                           |
|                  | 88,9<br>3,5     | 107,95<br>4,25  | 50,8<br>2       | 2,54<br>0,1                      | IR-566832                  | 1,179<br>2,6  | 88,887<br>3,4995                | 88,867<br>3,4987   | 88,928<br>3,5011         | 88,913<br>3,5005   | HJ-688432                           |
| 3,75             | 95,25<br>3,75   | 107,95<br>4,25  | 50,8<br>2       | 2,54<br>0,1                      | IR-606832                  | 1,012<br>2,23 | 95,237<br>3,7495                | 95,217<br>3,7487   | 95,278<br>3,7511         | 95,263<br>3,7505   | HJ-688432                           |
|                  | 95,25<br>3,75   | 114,3<br>4,5    | 57,15<br>2,25   | 2,54<br>0,1                      | IR-607236                  | 1,406<br>3,1  | 95,237<br>3,7495                | 95,217<br>3,7487   | 95,278<br>3,7511         | 95,263<br>3,7505   | HJ-729636                           |
|                  | 95,25<br>3,75   | 114,3<br>4,5    | 63,5<br>2,5     | 2,54<br>0,1                      | IR-607240                  | 1,565<br>3,45 | 95,237<br>3,7495                | 95,217<br>3,7487   | 95,278<br>3,7511         | 95,263<br>3,7505   | HJ-729640                           |
| 4                | 101,6<br>4      | 127<br>5        | 57,15<br>2,25   | 2,54<br>0,1                      | IR-648036                  | 2,046<br>4,51 | 101,587<br>3,9995               | 101,567<br>3,9987  | 101,628<br>4,0011        | 101,613<br>4,0005  | HJ-8010436                          |
|                  | 101,6<br>4      | 127<br>5        | 63,5<br>2,5     | 2,54<br>0,1                      | IR-648040                  | 2,272<br>5,01 | 101,587<br>3,9995               | 101,567<br>3,9987  | 101,628<br>4,0011        | 101,613<br>4,0005  | HJ-8010440                          |
| 4,25             | 107,95<br>4,25  | 127<br>5        | 57,15<br>2,25   | 2,54<br>0,1                      | IR-688036                  | 1,565<br>3,45 | 107,937<br>4,2495               | 107,917<br>4,2487  | 107,978<br>4,2511        | 107,963<br>4,2505  | HJ-8010436                          |
| 4,5              | 114,3<br>4,5    | 139,7<br>5,5    | 63,5<br>2,5     | 2,54<br>0,1                      | IR-728840                  | 2,495<br>5,5  | 114,287<br>4,4995               | 114,267<br>4,4987  | 114,328<br>4,5011        | 114,313<br>4,5005  | HJ-8811240                          |
|                  | 114,3<br>4,5    | 139,7<br>5,5    | 76,2<br>3       | 2,54<br>0,1                      | IR-728848                  | 2,989<br>6,59 | 114,287<br>4,4995               | 114,267<br>4,4987  | 114,328<br>4,5011        | 114,313<br>4,5005  | HJ-8811248                          |
| 4,75             | 120,65<br>4,75  | 146,05<br>5,75  | 76,2<br>3       | 3,05<br>0,12                     | IR-769248                  | 3,18<br>7,01  | 120,635<br>4,7494               | 120,612<br>4,7485  | 120,683<br>4,7513        | 120,665<br>4,7506  | HJ-9211648                          |

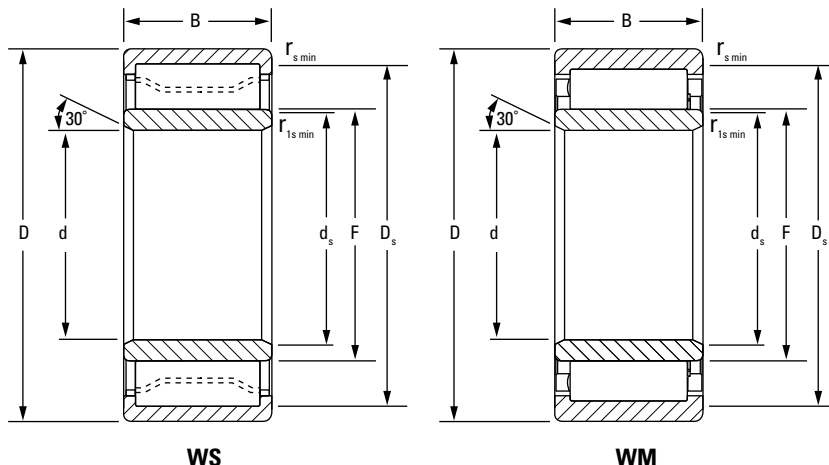
Continua na próxima página.



| Diâmetro do eixo<br>pol. | Dimensões       |                 |                 |                                  | Designação do anel interno | Peso<br>kg<br>lb | Ajuste de transição com folga S |                    | Ajuste com interferência |                    | Usado com a designação do rolamento |
|--------------------------|-----------------|-----------------|-----------------|----------------------------------|----------------------------|------------------|---------------------------------|--------------------|--------------------------|--------------------|-------------------------------------|
|                          | d<br>mm<br>pol. | F<br>mm<br>pol. | B<br>mm<br>pol. | r <sub>s min</sub><br>mm<br>pol. |                            |                  | Máx.<br>mm<br>pol.              | Mín.<br>mm<br>pol. | Máx.<br>mm<br>pol.       | Mín.<br>mm<br>pol. |                                     |
| 5                        | 127<br>5        | 152,4<br>6      | 63,5<br>2,5     | 3,05<br>0,12                     | IR-809640                  | 2,781<br>6,13    | 126,985<br>4,9994               | 126,962<br>4,9985  | 127,033<br>5,0013        | 127,015<br>5,0006  | HJ-9612040                          |
|                          | 127<br>5        | 152,4<br>6      | 76,2<br>3       | 3,05<br>0,12                     | IR-809648                  | 3,325<br>7,33    | 126,985<br>4,9994               | 126,962<br>4,9985  | 127,033<br>5,0013        | 127,015<br>5,0006  | HJ-9612048                          |
| 5,5                      | 139,7<br>5,5    | 165,1<br>6,5    | 63,5<br>2,5     | 3,05<br>0,12                     | IR-8810440                 | 3,035<br>6,69    | 139,685<br>5,4994               | 139,662<br>5,4985  | 139,733<br>5,5013        | 139,715<br>5,5006  | HJ-10412840                         |
|                          | 139,7<br>5,5    | 165,1<br>6,5    | 76,2<br>3       | 3,05<br>0,12                     | IR-8810448                 | 3,629<br>8       | 139,685<br>5,4994               | 139,662<br>5,4985  | 139,733<br>5,5013        | 139,715<br>5,5006  | HJ-10412848                         |
| 6                        | 152,4<br>6      | 184,15<br>7,25  | 76,2<br>3       | 3,05<br>0,12                     | IR-9611648                 | 4,935<br>10,88   | 152,385<br>5,9994               | 152,362<br>5,9985  | 152,433<br>6,0013        | 152,415<br>6,0006  | HJ-11614648                         |
| 6,5                      | 165,1<br>6,5    | 196,85<br>7,75  | 76,2<br>3       | 3,05<br>0,12                     | IR-10412448                | 5,343<br>11,78   | 165,085<br>6,4994               | 165,062<br>6,4985  | 165,133<br>6,5013        | 165,115<br>6,5006  | HJ-12415448                         |
| 7                        | 177,8<br>7      | 209,55<br>8,25  | 76,2<br>3       | 3,05<br>0,12                     | IR-11213248                | 5,389<br>11,88   | 177,785<br>6,9994               | 177,762<br>6,9985  | 177,833<br>7,0013        | 177,815<br>7,0006  | HJ-13216248                         |
| 7,5                      | 190,5<br>7,5    | 222,25<br>8,75  | 76,2<br>3       | 4,06<br>0,16                     | IR-12014048                | 6,11<br>13,47    | 190,485<br>7,4994               | 190,454<br>7,4982  | 190,536<br>7,5014        | 190,515<br>7,5006  | HJ-14017048                         |
| 8                        | 203,2<br>8      | 234,95<br>9,25  | 76,2<br>3       | 4,06<br>0,16                     | IR-12814848                | 6,518<br>14,37   | 203,185<br>7,9994               | 203,154<br>7,9982  | 203,236<br>8,0014        | 203,215<br>8,0006  | HJ-14817848                         |

## **SÉRIE MÉTRICA 5200, A5200**

- As tolerâncias do anel estão na página 39.
  - Os cálculos de vida útil e carga estão na seção de engenharia deste catálogo.
  - Os ajustes do eixo e do alojamento, as tolerâncias e os diâmetros do eixo estão na página 38.



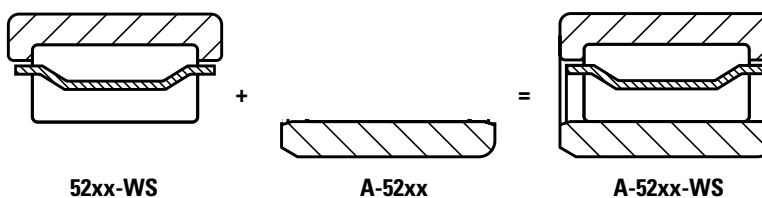
#### **NO NÚMERO DO ROLAMENTO**

**W** = anel externo com duas flanges.

**S** = porta-rolos de aço estampado  
centrado nos rolos

**M** = porta-rolos de bronze usinado centrado nos rolos.

**Conjunto do anel externo e rolos** + **Anéis internos<sup>(1)</sup>** = **Complete bearing**



<sup>(1)</sup>O anel interno pode ser pedido separadamente.

| Dimensões do rolamento |                    |                   |                    | Capacidade de carga     |  | Designação da peça       |      | Dados de montagem         |  |                     |                       | s <sup>(3)</sup> | Fator de geometria C <sub>g</sub> | Limite de rotação | Peso |                  |       |
|------------------------|--------------------|-------------------|--------------------|-------------------------|--|--------------------------|------|---------------------------|--|---------------------|-----------------------|------------------|-----------------------------------|-------------------|------|------------------|-------|
| Furo d                 | D.E. D             | Largura B         | DUR/DOR F/E        | Estático C <sub>0</sub> | Dinâmico C <sub>1</sub> <sup>(1)</sup> | Rolamento <sup>(2)</sup> | Tipo | Chanfro r <sub>smin</sub> | Diâmetro do encosto r <sub>1smin</sub> | Eixo d <sub>s</sub> | Mancal D <sub>s</sub> |                  |                                   |                   |      |                  |       |
| mm pol.                | mm pol.            | mm pol.           | mm pol.            | kN lbf.                 | kN lbf.                                |                          |      | mm pol.                   | mm pol.                                | mm pol.             | mm pol.               | mm pol.          | mm pol.                           | mm pol.           | RPM  | RPM              | kg lb |
| 100,000<br>3,9370      | 180,000<br>7,0866  | 60,325<br>2,3750  | 121,133<br>4,7690  | 594<br>134000           | 474<br>107000                          | A-5220-WS                | WS   | 4,4<br>0,16               | 2,1<br>0,08                            | 117,1<br>4,61       | 165,6<br>6,52         | 4,26<br>0,168    | 0,131                             | 2800              | 2500 | 6,30<br>14,00    |       |
| 110,000<br>4,3307      | 200,000<br>7,8740  | 69,850<br>2,7500  | 133,078<br>5,2393  | 790<br>178000           | 612<br>138000                          | A-5222-WS                | WS   | 4,4<br>0,16               | 2,1<br>0,08                            | 128,8<br>5,07       | 182,3<br>7,18         | 4,29<br>0,169    | 0,144                             | 2400              | 2100 | 9,20<br>20,30    |       |
| 120,000<br>4,7244      | 215,000<br>8,4646  | 76,200<br>3,0000  | 145,265<br>5,7191  | 952<br>214000           | 707<br>159000                          | A-5224-WS                | WS   | 5,5<br>0,22               | 2,1<br>0,08                            | 140,1<br>5,52       | 196,1<br>7,72         | 4,29<br>0,169    | 0,155                             | 2200              | 1900 | 11,60<br>25,60   |       |
| 130,000<br>5,1181      | 230,000<br>9,0551  | 79,375<br>3,1250  | 155,115<br>6,1069  | 1070<br>240000          | 795<br>179000                          | A-5226-WS                | WS   | 5,5<br>0,22               | 3,0<br>0,12                            | 149,7<br>5,89       | 210,7<br>8,30         | 4,90<br>0,193    | 0,162                             | 2000              | 1700 | 13,50<br>29,80   |       |
| 140,000<br>5,5118      | 250,000<br>9,8425  | 82,550<br>3,2500  | 168,603<br>6,6379  | 1210<br>272000          | 899<br>202000                          | A-5228-WS                | WS   | 5,5<br>0,22               | 3,0<br>0,12                            | 163,2<br>6,43       | 229,1<br>9,02         | 5,13<br>0,202    | 0,172                             | 1700              | 1600 | 16,80<br>37,10   |       |
| 150,000<br>5,9055      | 270,000<br>10,6299 | 88,900<br>3,5000  | 181,696<br>7,1534  | 1470<br>330000          | 1080<br>243000                         | A-5230-WS                | WS   | 7,5<br>0,30               | 3,0<br>0,12                            | 176,3<br>6,94       | 248,4<br>9,78         | 5,13<br>0,202    | 0,154                             | 1500              | 1400 | 21,30<br>46,90   |       |
| 160,000<br>6,2992      | 290,000<br>11,4173 | 98,425<br>3,8750  | 193,787<br>7,6294  | 1750<br>394000          | 1270<br>285000                         | A-5232-WS                | WS   | 7,5<br>0,30               | 3,0<br>0,12                            | 187,8<br>7,39       | 265,3<br>10,44        | 5,46<br>0,215    | 0,164                             | 1400              | 1200 | 27,50<br>60,50   |       |
| 170,000<br>6,6929      | 310,000<br>12,2047 | 104,775<br>4,1250 | 205,636<br>8,0959  | 2040<br>459000          | 1450<br>326000                         | A-5234-WS                | WS   | 7,5<br>0,30               | 4,0<br>0,16                            | 201,6<br>7,94       | 285,8<br>11,25        | 3,40<br>0,13     | 0,172                             | 1200              | 1100 | 37,60<br>82,90   |       |
| 180,000<br>7,0866      | 320,000<br>12,5984 | 107,950<br>4,2500 | 216,441<br>8,5213  | 2130<br>479000          | 1510<br>341000                         | A-5236-WS                | WS   | 7,5<br>0,30               | 4,0<br>0,16                            | 209,0<br>8,23       | 294,3<br>11,59        | 4,60<br>0,181    | 0,178                             | 1200              | 1100 | 35,70<br>78,60   |       |
| 190,000<br>7,4803      | 340,000<br>13,3858 | 114,300<br>4,5000 | 229,105<br>9,0199  | 2340<br>526000          | 1670<br>376000                         | A-5238-WS                | WS   | 9,5<br>0,37               | 4,0<br>0,16                            | 223,8<br>8,81       | 312,7<br>12,31        | 5,70<br>0,22     | 0,186                             | 1100              | 1010 | 48,50<br>107,00  |       |
| 200,000<br>7,8740      | 360,000<br>14,1732 | 120,650<br>4,7500 | 242,369<br>9,5421  | 2370<br>534000          | 1600<br>360000                         | A-5240-WM                | WM   | 9,5<br>0,37               | 4,0<br>0,16                            | 233,0<br>9,17       | 318,6<br>12,54        | 6,00<br>0,24     | 0,189                             | 1100              | 990  | 57,60<br>127,00  |       |
| 220,000<br>8,6614      | 400,000<br>15,7480 | 133,350<br>5,2500 | 266,078<br>10,4755 | 3340<br>750000          | 2300<br>517000                         | A-5244-WM                | WM   | 11,0<br>0,43              | 4,0<br>0,16                            | 260,4<br>10,25      | 366,7<br>14,44        | 4,60<br>0,18     | 0,211                             | 860               | 790  | 76,40<br>175,00  |       |
| 240,000<br>9,4488      | 440,000<br>17,3228 | 146,050<br>5,7500 | 291,368<br>11,4712 | 4010<br>902000          | 2750<br>619000                         | A-5248-WM                | WM   | 11,0<br>0,43              | 4,0<br>0,16                            | 285,0<br>11,22      | 402,4<br>15,84        | 4,75<br>0,19     | 0,228                             | 750               | 690  | 106,10<br>234,00 |       |

<sup>(1)</sup>Baseado em uma vida útil L<sub>10</sub> de 1 x 10<sup>6</sup> revoluções, para o método de cálculo de vida útil ISO.<sup>(2)</sup>A folga radial interna (RIC) para o conjunto do rolamento deve ser incluída ao fazer o pedido a) do conjunto completo ou b) com o conjunto do anel interno.<sup>(3)</sup>O deslocamento axial permitível a partir da posição normal de um anel do rolamento em relação ao outro.

**Distribuidor Autorizado:**



**Rolamentos CBF Ltda.**  
**Tel +55 11 3824-6400**  
**E-mail: vendas@cbfcorp.com.br**  
**www.rolamentoscbf.com.br**